

České vysoké učení technické v Praze  
Stavební fakulta  
Katedra ocelových a dřevěných konstrukcí

Konstrukce bytového domu ze za studena  
tvarovaných ocelových profilů

**Statický výpočet**



Vypracoval:	<b>Bc. Ladislav Popovič</b>
Specializace:	Konstrukce a dopravní stavby
Studijní program:	Stavební inženýrství
Forma studia:	Prezenční
Vedoucí práce:	prof. Ing. Michal Jandera, Ph.D.

## 1. Úvod

Předmětem tohoto výpočtu je statické posouzení konstrukce novostavby bytového domu BD Ovčáry.

Tento výpočet vychází z architektonické studie BD Ovčáry.

Budova má půdorysný pravidelný pravoúhlý tvar s celkovými rozměry 16,760 x 11,555 m. Má čtyři nadzemní podlaží. Objekt nebude podsklepen. Zastřešení objektu bude plochou střechou s atikou o výšce 0,5 m. Výška střechy bude 13,184 m. Konstrukce objektu je navržena jako montovaná s konstrukcí z tenkostěnných profilů kombinována s válcovanými profily z těžké oceli. Využití objektu se předpokládá pro bydlení.

Konstrukci bytového domu lze charakterizovat jako skelet z tenkostěnných ocelových profilů. Nosné stěny jsou primárně tvořeny sloupky z C profilů. Střešní a stropní konstrukce je rovněž navržena z tenkostěnných profilů. Střešní konstrukce je rovněž navržena z tenkostěnných profilů ve formě vazníků z C profilů a stropní konstrukce z C nosníků v osové vzdálenosti 625 mm. Založení bude plošné na základových pasech.

Svislé nosné konstrukce jsou tvořeny stěnami z rámu z tenkostěnných profilů. Obvodové stěny a vnitřní nosné stěny jsou tvořeny profily C150/45-1,6. Sloupky stěn jsou v osové vzdálenosti 625 mm a ve třetinách výšky musí být zajištěny paždíkem. Překlady nad otvory jsou řešeny příhradovými nosníky ze stejných profilů. V místě zvýšeného namáhání jsou navrženy sloupky stěn zdvojené, případně navrženy z uzavřených profilů (jekl) a profilu HEA. Ztužení v rovině stěn je navrženo pomocí táhel z pasů 70x1,2 mm.

Konstrukci stropů tvoří nosníky z profilů C300-2,0 a v místě zvýšeného namáhání zdvojené nosníky 2x C300-2,0 v osové vzdálenosti 625 mm. Stropy na chodbě jsou tvořeny stropnicemi z profilů C150/45 - 1,6 a jsou ve třetinách rozpětí zajištěny paždíky. Tuhá stropní rovina je zajištěna záklopem nosníků deskami na bázi dřeva.

Konstrukci střechy tvoří příhradové nosníky s pasy z profilů C100/41,3 - 1,6 o celkové výšce 300 mm, v osové vzdálenosti 625 mm. Tuhá střešní rovina je zajištěna záklopem nosníků deskami na bázi dřeva.

Spoje tenkostěnných profilů jsou řešeny pomocí samořezných šroubů. Kotvení k železobetonovým konstrukcím je pomocí mechanických nebo chemických kotev. Desky opláštění budou šroubovány do tenkostěnných profilů.

## **2. Podklady, normy a software**

- Architektonická studie BD Ovčáry
- Podklady dodavatele systému tenkostěnných konstrukcí
- Sortiment a charakteristiky dodavatele kotev
- Sortiment dodavatele válcovaných profilů
- Design of Cold-formed Steel Structures: Eurocode 3: Design of Steel Structures - kniha, Dan Dubina, Raffaele Landolfo, Viorel Ungureanu
- Ocelové konstrukce - tabulky, ČVUT v Praze, Fakulta stavební, Ing. Zdeněk Sokol Ph.D., Prof. Ing. František Wald, CSc., 2019
  
- ČSN EN 1990: Zásady navrhování konstrukcí
- ČSN EN 1991-1-1: Zatížení konstrukcí - Objemová tíha, vlastní tíha a užitná zatížení
- ČSN EN 1991-1-3: Zatížení konstrukcí - Zatížení sněhem
- ČSN EN 1991-1-4: Zatížení konstrukcí - Zatížení větrem
- ČSN EN 1993-1-1: Navrhování ocelových konstrukcí - Obecná pravidla pro pozemní stavby
- ČSN EN 1993-1-3: Navrhování ocelových konstrukcí - Doplnující pravidla pro tenkostěnné za studena tvarované profily
- ČSN EN 1993-1-5: Navrhování ocelových konstrukcí - Boulení stěn
- ČSN EN 1993-1-8: Navrhování ocelových konstrukcí - Navrhování styčníků
- ČSN EN 1995-1-1: Navrhování dřevěných konstrukcí - Obecná pravidla
  
- MS Office 2021 (Word,Excel)
- AutoCad 2024 (CAD software)
- Dlubal RFEM 5.31 (analýza konstrukce)
- Vertex BD 2023 29.0 (konstrukční model)
- Dlubal SHAPE-THIN 9.10 (tvorba tenkostěnných průřezů)

**3. Výpočet zatížení konstrukce****3.1. Stálé zatížení a vlastní tíha****3.1.1. Střecha**

Materiál	Tloušťka	Obj. tíha	Zatížení
	mm	kN/m <sup>3</sup>	kN/m <sup>2</sup>
PVC Folie	-	-	0,02
Separáční textilie	-	-	0,01
EPS - spádové klíny	80	0,3	0,02
EPS - spádové klíny	140	0,3	0,04
SBS asfaltový pás	-	-	0,05
Penetrace	-	-	0,01
OSB desky 2x18mm	36	6,5	0,23
Minerální izolace mezi profily	150	0,3	0,05
Parozábrana	-	-	0,01
SDK deska Knauf RED	12,5	9	0,11
Minerální izolace	40	0,3	0,01
SDK rošt	-	-	0,05
SDK deska Knauf RED	12,5	9	0,11
<b>Celkem</b>	<b><math>f_{g,1,k} =</math></b>		<b>0,73</b>

Zatížení nosníku dle zatěžovací šířky "s":  $f_{g,k} = s \cdot f_{g,1,k}$

Zatěžovací šířka

mm	kN/m
312,5	<b>0,23</b>
625,0	<b>0,46</b>

**3.1.2. Stropy 1.NP, 2.NP, 3.NP**

Materiál	Tloušťka	Obj. tíha	Zatížení
	mm	kN/m <sup>3</sup>	kN/m <sup>2</sup>
Keramická dlažba	8	24	0,19
Lepidlo	7	24	0,17
Hydroizolační nátěr	-	-	0,01
Anhydrit	65	22	1,43
Deska podlahového vytápění	30	0,4	0,01
Minerální izolace	30	0,5	0,02
OSB desky 2x18 mm	36	6,5	0,23
Minerální izolace mezi profily	150	0,3	0,05
SDK deska Knauf RED	12,5	9	0,11
Minerální izolace	40	0,3	0,01
SDK rošt	-	-	0,05
SDK deska Knauf RED	12,5	9	0,11
<b>Celkem</b>	<b><math>f_{g,1,k} =</math></b>		<b>2,39</b>

Zatížení nosníku dle zatěžovací šířky "s":  $f_{g,k} = s \cdot f_{g,1,k}$

Zatěžovací šířka	Zatížení
mm	kN/m
312,5	<b>0,75</b>
625,0	<b>1,50</b>

**3.1.3. Obvodové stěny**

Materiál	Tloušťka	Obj. tíha	Zatížení
	mm	kN/m <sup>3</sup>	kN/m <sup>2</sup>
Tenkvrstvá omítka	5	24	0,12
Penetrace	-	-	0,01
Lepidlo s perlínkou	5	24	0,12
Minerální fasádní izolace	180	1	0,18
Lepící hmota	5	24	0,12
Sádrovláknitá deska	12,5	12,5	0,16
Minerální izolace	150	0,3	0,05
SDK deska Knauf RED	12,5	9	0,11
Parozábrana	-	-	0,01
Konstrukce předstěny	-	-	0,05
SDK deska Knauf Diamant	12,5	10,5	0,13
Sádrová omítka	10	10	0,10
<b>Celkem</b>	<b><math>f_{g,1,k} =</math></b>		<b>1,16</b>

Zatížení sloupku dle zatěžovací šířky "s":  $f_{g,k} = s \cdot f_{g,1,k}$

	Zatěžovací šířka	Zatížení
	mm	kN/m
	312,5	<b>0,36</b>
	625,0	<b>0,72</b>
otvor šíře 900 mm	762,5	<b>0,88</b>
otvor šíře 1200 mm	912,5	<b>1,05</b>
otvor šíře 1600 mm	1112,5	<b>1,28</b>

**3.1.4. Mezibytové stěny**

Materiál	Tloušťka	Obj. tíha	Zatížení
	mm	kN/m <sup>3</sup>	kN/m <sup>2</sup>
Sádrová omítka	10	10	0,10
SDK deska Knauf Diamant	12,5	10,5	0,13
Konstrukce předstěny	-	-	0,05
SDK deska Knauf RED	15	9	0,14
Minerální izolace	100	0,3	0,03
Dilatace			
Minerální izolace	100	0,3	0,03
SDK deska Knauf RED	15	9	0,14
Konstrukce předstěny	-	-	0,05
SDK deska Knauf Diamant	12,5	10,5	0,13
Sádrová omítka	10	10	0,10
<b>Celkem</b>	<b><math>f_{g,1,k} =</math></b>		<b>0,89</b>

Zatížení sloupku dle zatěžovací šířky "s":  $f_{g,k} = s \cdot f_{g,1,k}$

	Zatěžovací šířka	Zatížení
	mm	kN/m
	312,5	<b>0,28</b>
	625,0	<b>0,56</b>
Výška příčky	$h = 2,8$ m	
Zatížení podélného nosníku	$f_k = 2,5$ kN/m	
Zatížení příčného nosníku	$F_k = 1,57$ kN	

**3.1.5. Schodiště**

Materiál	Tloušťka	Obj. tíha	Zatížení
	mm	kN/m <sup>3</sup>	kN/m <sup>2</sup>
Betonové stupně	100	25	2,50
Keramická dlažba	8	24	0,19
Lepidlo	7	24	0,17
<b>Celkem</b>	$f_{g,1,k} =$		<b>2,86</b>

Zatížení nosníku dle zatěžovací šířky "s":  $f_{g,k} = s \cdot f_{g,1,k}$

Zatěžovací šířka	Zatížení
mm	kN/m
600	<b>1,72</b>
312,5	<b>0,89</b>

**3.1.6. Vnitřní příčky**

Materiál	Tloušťka	Obj. tíha	Zatížení
	mm	kN/m <sup>3</sup>	kN/m <sup>2</sup>
Sádrová omítka	10	10	0,10
SDK deska Knauf Diamant	12,5	10,5	0,13
Minerální izolace	100	0,3	0,03
SDK deska Knauf Diamant	12,5	10,5	0,13
Sádrová omítka	10	10	0,10
<b>Celkem</b>	$f_{g,1,k} =$		<b>0,49</b>

Zatížení sloupku dle zatěžovací šířky "s":  $f_{g,k} = s \cdot f_{g,1,k}$

Zatěžovací šířka	Zatížení
mm	kN/m
312,5	<b>0,15</b>
625,0	<b>0,31</b>

Výška příčky  $h = 2,8$  m

Zatížení podélného nosníku  $f_k = 1,38$  kN/m

Zatížení příčného nosníku  $F_k = 0,86$  kN

**3.2. Užité zatížení**

Střecha - kategorie H  $q_k = 0,75$  kN/m<sup>2</sup>

$f_{q,k} = s \cdot q_k$

Zatěžovací šířka	Zatížení
mm	kN/m
312,5	<b>0,234</b>
625,0	<b>0,469</b>

Stropy - kategorie A  $q_k = 1,5$  kN/m<sup>2</sup>

$f_{q,k} = s \cdot q_k$

Zatěžovací šířka	Zatížení
mm	kN/m
312,5	<b>0,469</b>
625,0	<b>0,938</b>

Schodiště - kategorie A

$$q_k = 3,00 \text{ kN/m}^2$$

$$f_{q,k} = s \cdot q_k$$

Zatěžovací šířka mm	Zatížení kN/m
312,5	<b>0,938</b>
625,0	<b>1,875</b>

**3.3. Zatížení sněhem**

Sněhová oblast

I

Charakteristická hodnota

$$s_k = 0,70 \text{ kN/m}^2$$

Tepelný součinitel

$$C_t = 1,0$$

Součinitel expozice

$$C_e = 1,0$$

Sklon střechy

$$\alpha = 0^\circ$$

Tvarový součinitel

$$\mu_1 = 0,8$$

Hodnota zatížení

$$s = \mu_1 \cdot C_e \cdot C_t \cdot s_k$$

$$f_s = 0,56 \text{ kN/m}^2$$

$$f_{s,k} = s \cdot f_s$$

Zatěžovací šířka mm	Zatížení kN/m
312,5	<b>0,175</b>
625,0	<b>0,35</b>

**Návěje na výstupky a překážky**

Tvarový součinitel

$$\mu_2 = \gamma h / s_k$$

$$\text{s omezením: } 0,8 \leq \mu_2 \leq 2,0$$

$$\mu_2 = 1,4$$

$$l_s = 2h$$

$$\text{s omezením: } 5\text{m} \leq l_s \leq 15\text{m}$$

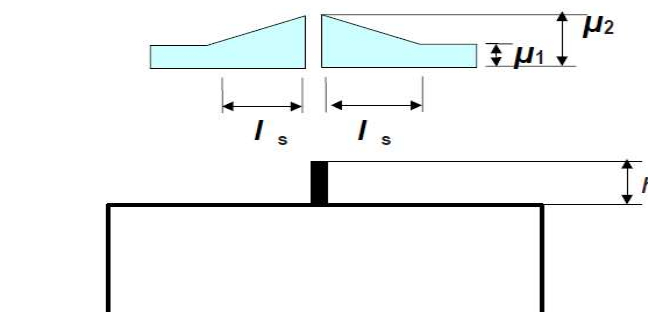
$$l_s = 5\text{m}$$

Hodnota zatížení

$$f_s = 1,00 \text{ kN/m}^2$$

$$\gamma = 2 \text{ kN/m}^3$$

$$h = 0,5 \text{ m}$$

**3.4. Zatížení větrem**

Větrná oblast

II

Výchozí základní rychlost větru

$$v_{b,0} = 25 \text{ m/s}$$

Součinitel směru větru

$$c_{dir} = 1,0$$

Součinitel ročního období

$$c_{season} = 1,0$$

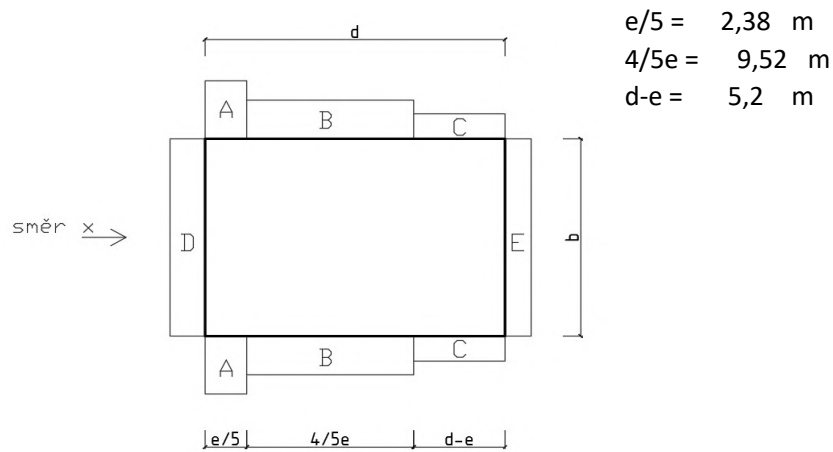
Základní rychlost větru	$V_b = C_{dir} \cdot C_{season} \cdot V_{b,0}$ $V_b = 25 \text{ m/s}$
Výška nad terénem	$z = 12,4 \text{ m}$
Kategorie terénu	III
Parametr drsnosti terénu	$z_0 = 0,3 \text{ m}$
Minimální výška	$z_{min} = 5 \text{ m}$
Součinitel terénu	$k_r = 0,19 \cdot \left( \frac{z_0}{z_{0,II}} \right)^{0,07}$ $z_{0,III} = 0,3$ $k_r = 0,190$
Součinitel drsnosti	$c_r = k_r \cdot \ln \left( \frac{z}{z_0} \right)$ $c_r = 0,707$
Součinitel turbulence	$k_l = 1,0$
Součinitel orografie	$c_0 = 1,0$
Intenzita turbulence	$I_v = \frac{k_l}{c_0 \cdot \ln \left( \frac{z}{z_0} \right)}$ $I_v = 0,269$
Střední rychlost větru	$V_m = C_r \cdot c_0 \cdot V_b$ $V_m = 17,678 \text{ m/s}$
Měrná hmotnost vzduchu	$\rho = 1,25 \text{ kg/m}^3$
Maximální dynamický tlak	$q_p = \left( 1 + 7 \cdot I_v \right) \cdot \frac{1}{2} \rho \cdot v_m^2$ $q_p = 562,7 \text{ Pa}$ $q_p = 0,56 \text{ kN/m}^2$
Tlak větru na povrchy	$W_e = q_p \cdot c_{pe}$
Součinitele vnějšího tlaku $c_{pe}$	

**Svislé stěny****Směr větru - x**

Výška budovy	$h = 12,4 \text{ m}$
Rozměr kolmý na směr větru	$b = 11,9 \text{ m}$
Rozměr rovnoběžný se směrem větru	$d = 17,1 \text{ m}$

Hodnota e:	$e = \min (b; 2 \cdot h)$
	$e = 11,9 \text{ m}$
	$h/d = 0,725$





Oblast	-	A	B	C	D	E
plocha	$\text{m}^2$	29,512	118,048	64,48	147,56	147,56
$C_{pe}$	-	-1,2	-1,184	-0,5	0,764	-0,428
$w_e$	$\text{kN}/\text{m}^2$	<b>-0,68</b>	<b>-0,67</b>	<b>-0,28</b>	<b>0,43</b>	<b>-0,24</b>

#### Zatížení sloupků $\text{kN}/\text{m}$

	zat. šířka	A	B	C	D	E
polovina	312,5	-0,21	-0,21	-0,09	0,13	-0,08
běžné	625	-0,42	-0,42	-0,18	0,27	-0,15
okno 900	762,5	-0,51	-0,51	-0,21	0,33	-0,18
okno 1200	912,5	-0,62	-0,61	-0,26	0,39	-0,22
okno 1600	1112,5	-0,75	-0,74	-0,31	0,48	-0,27

#### Směr větru - y

Výška budovy

$h = 12,4 \text{ m}$

Rozměr kolmý na směr větru

$b = 17,1 \text{ m}$

Rozměr rovnoběžný se směrem větru

$d = 11,9 \text{ m}$

Hodnota e:

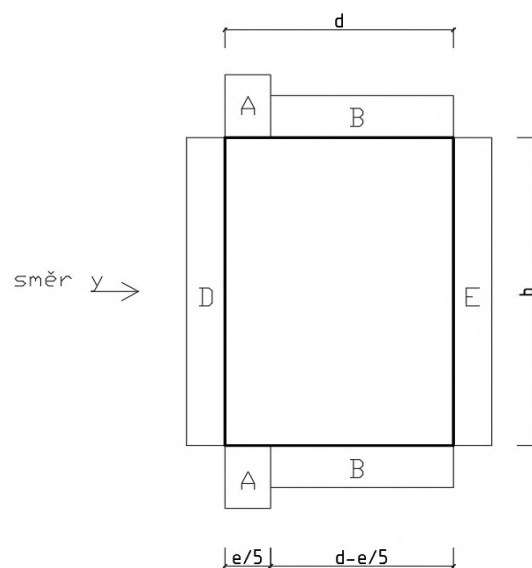
$e = \min(b; 2 \cdot h)$

$e = 17,1 \text{ m}$

$h/d = 1,042$

$e/5 = 3,42 \text{ m}$

$d-e/5 = 8,48 \text{ m}$



Oblast	-	A	B	D	E
plocha	m <sup>2</sup>	42,408	105,152	212,04	212,04
C <sub>pe</sub>	-	-1,2	-1,184	0,764	-0,428
w <sub>e</sub>	kN/m <sup>2</sup>	<b>-0,68</b>	<b>-0,67</b>	<b>0,43</b>	<b>-0,24</b>

**Zatížení sloupků kN/m**

	zat. šířka	A	B	D	E
polovina	312,5	-0,21	-0,21	0,13	-0,08
běžné	625	-0,42	-0,42	0,27	-0,15
okno 900	762,5	-0,51	-0,51	0,33	-0,18
okno 1200	912,5	-0,62	-0,61	0,39	-0,22
okno 1600	1112,5	-0,75	-0,74	0,48	-0,27

**Plochá střecha****Směr větru - x**Výška budovy  $h = 12,4$  mVýška atiky nad rovinou střechy  $h_p = 0,5$  mRozměr kolmý na směr větru  $b = 11,9$  mRozměr rovnoběžný se směrem větru  $d = 17,1$  m

Hodnota e:

$$e = \min(b; 2 \cdot h)$$

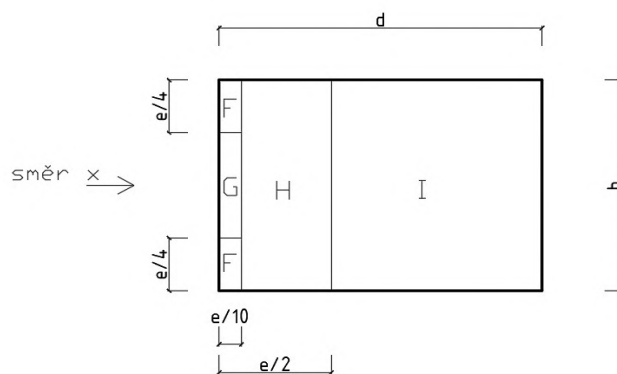
$$e = 11,9$$
 m

$$h_p/h = 0,04$$

$$e/10 = 1,19$$
 m

$$e/4 = 2,975$$
 m

$$e/2 = 5,95$$
 m



Oblast	-	F	G	H	I
plocha	m <sup>2</sup>	3,540	7,081	56,644	132,685
C <sub>pe</sub>	-	-1,48	-0,98	-0,7	-0,2
w <sub>e</sub>	kN/m <sup>2</sup>	<b>-0,83</b>	<b>-0,55</b>	<b>-0,39</b>	<b>-0,11</b>

**Zatížení sloupků kN/m**

	zat. šířka	F	G	H	I
polovina	312,5	-0,26	-0,17	-0,12	-0,04
běžné	625	-0,52	-0,34	-0,25	-0,07

**Směr větru - y**

Výška budovy

$h = 12,4 \text{ m}$

Výška atiky nad rovinou střechy

$h_p = 0,5 \text{ m}$

Rozměr kolmý na směr větru

$b = 17,1 \text{ m}$

Rozměr rovnoběžný se směrem větru

$d = 11,9 \text{ m}$

Hodnota e:

$e = \min(b; 2 \cdot h)$

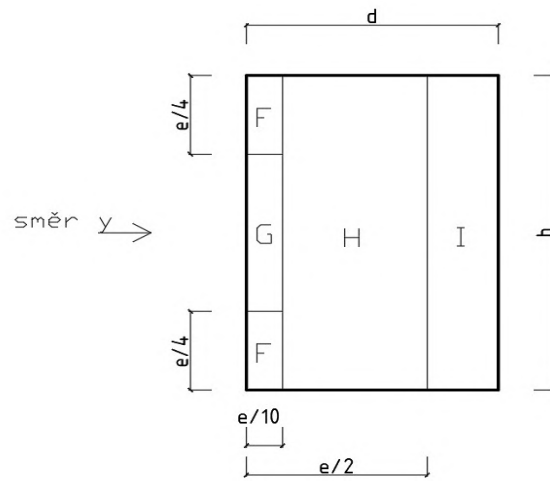
$e = 17,1 \text{ m}$

$h_p/h = 0,04$

$e/10 = 1,71 \text{ m}$

$e/4 = 4,275 \text{ m}$

$e/2 = 8,55 \text{ m}$



Oblast	-	F	G	H	I
plocha	$\text{m}^2$	7,310	14,621	116,964	57,285
$C_{pe}$	-	-1,48	-0,98	-0,7	-0,2
$w_e$	$\text{kN}/\text{m}^2$	<b>-0,83</b>	<b>-0,55</b>	<b>-0,39</b>	<b>-0,11</b>

**Zatížení sloupků kN/m**

	zat. šířka	F	G	H	I
polovina	312,5	-0,26	-0,17	-0,12	-0,04
běžné	625	-0,52	-0,34	-0,25	-0,07

**3.5. Imperfekce soustavy****3.5.1. Imperfekce soustavy ve směru x**

Počáteční pootočení soustavy  $\phi_0 = \frac{1}{200}$  [rad]

Redukční součinitel - výška sloupu  $\alpha_h = \frac{2}{\sqrt{h}} = \frac{2}{\sqrt{12,7}} = 0,5612$

Redukční součinitel - počet sloupů v řadě

$$\alpha_m = \sqrt{\frac{1}{2} \cdot \left(1 + \frac{1}{m}\right)} = 0,723$$

Globální pootočení

$$\phi = \phi_0 \cdot \alpha_h \cdot \alpha_m$$

$$\phi = 0,00203 \quad \text{rad}$$

počet sloupů v řadě  
m = 22

**3.5.2. Imperfekce soustavy v směru y**

Počáteční pootočení soustavy  $\phi_0 = \frac{1}{200}$  [rad]

Redukční součinitel - výška sloupu  $\alpha_h = \frac{2}{\sqrt{h}} = \frac{2}{\sqrt{12,7}} = 0,5612$

Redukční součinitel - počet sloupů v řadě

$$\alpha_m = \sqrt{\frac{1}{2} \cdot \left(1 + \frac{1}{m}\right)} = 0,7237$$

Globální pootočení

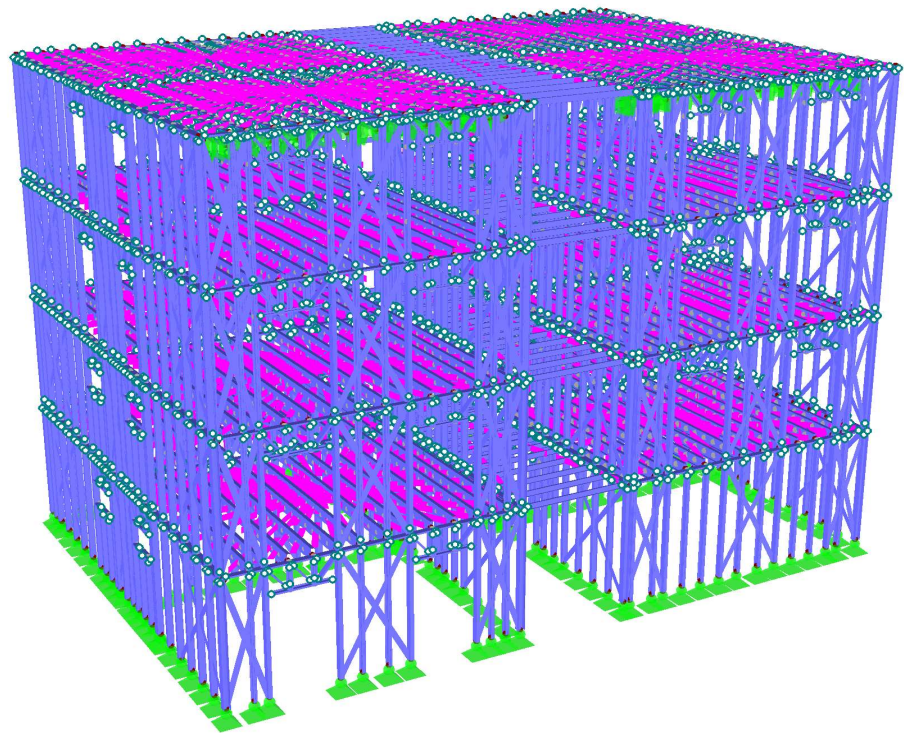
$$\phi = \phi_0 \cdot \alpha_h \cdot \alpha_m$$

$$\phi = 0,00203 \quad \text{rad}$$

počet sloupů v řadě  
m = 21

## 4. Analýza konstrukce

### Výpočetní model konstrukce



#### **Zatěžovací stavy:**

- ZS1 - vlastní tíha - generováno automaticky
- ZS2 - ostatní stálé zatížení - stropy
- ZS3 - ostatní stálé zatížení - střecha
- ZS4 - užité zatížení - stropy
- ZS5 - užité zatížení - střecha
- ZS6 - ostatní stálé - obvodové sloupy
- ZS7 - ostatní stálé - mezibytové sloupy
- ZS8 - příčky
- ZS9 - zatížení sněhem
- ZS10 - zatížení větrem +x sání
- ZS11 - zatížení větrem +y sání
- ZS12 - zatížení větrem -y sání
- ZS13 - zatížení větrem +x tlak
- ZS14 - zatížení větrem -x sanie
- ZS15 - zatížení větrem -x tlak
- ZS16 - zatížení větrem +y tlak
- ZS17 - zatížení větrem -y tlak
- ZS18 - imperfekce -x
- ZS19 - imperfekce +y
- ZS20 - imperfekce +x
- ZS21 - imperfekce -y
- ZS22 - reakce od schodiště MSU
- ZS23 - reakce od schodiště MSP

### Kombinace zatížení

Pro ověření únosnosti byly použity kombinace výše uvedených zatěžovacích stavů podle rovnice:

$$\sum_{j \geq 1} \gamma_{G,j} G_{k,j} + \gamma_{Q,1} Q_{k,1} + \sum_{i > 1} \gamma_{Q,i} \psi_{0,i} Q_{k,i} \quad \text{STR/GEO - soubor B}$$

Pro ověření mezního stavu použitelnosti byly použity kombinace výše uvedených zatěžovacích stavů podle rovnice:

$$\sum_{j \geq 1} G_{k,j} + Q_{k,1} + \sum_{i > 1} \psi_{0,i} Q_{k,i} \quad \text{Charakteristická kombinace}$$

Návrhové hodnoty vnitřních sil jsou generované z obalové křivky všech kombinací.

$\gamma_G = 1,35$  pro nepříznivé stálé zatížení a vlastní tíhu

$\gamma_G = 1,0$  pro příznivé stálé zatížení a vlastní tíhu

$\gamma_Q = 1,5$  pro proměnné zatížení

$\psi_0 = 0,5$  pro zatížení sněhem

$\psi_0 = 0,6$  pro zatížení větrem

$\psi_0 = 0,0$  pro užitné zatížení střechy

$\psi_0 = 0,7$  pro užitné zatížení podlahy

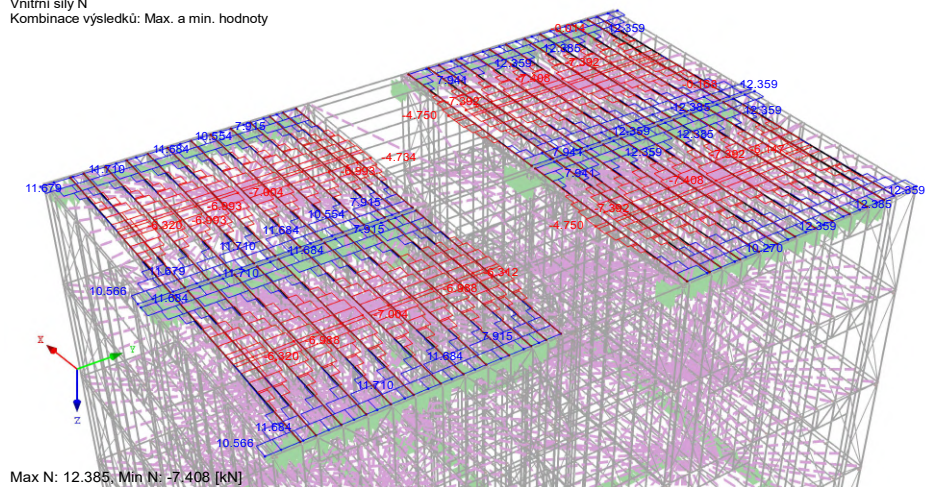
Užitné zatížení střechy kategorie H není kombinováno se zatížením sněhem. Pro tyto kombinace se bezpečně použije hodnota zatížení sněhem v návěži pro celou střechu.

### Vnitřní síly

Střešní vazníky - horní pas -  $N_{ed}$  (kN)

KV1 : MSU  
Vnitřní síly N  
Kombinace výsledků: Max. a min. hodnoty

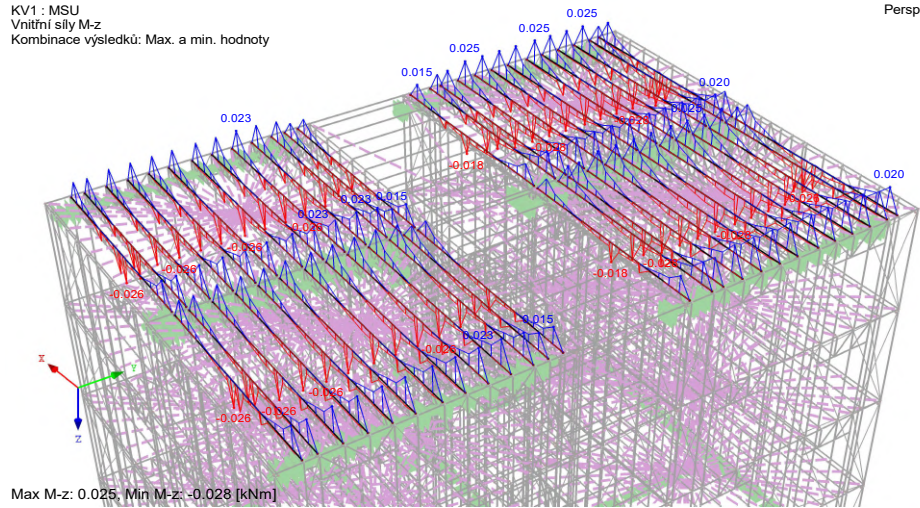
Perspektiva



### Střešní vazníky - horní pas - $M_{z,ed}$ (kNm)

KV1 : MSU  
 Vnitřní síly M-z  
 Kombinace výsledků: Max. a min. hodnoty

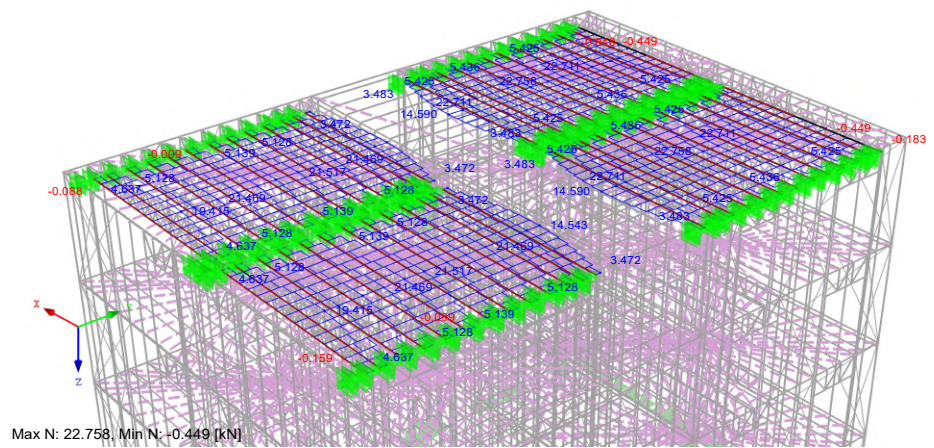
Perspektiva



### Střešní vazníky - dolní pas - $N_{ed}$ (kN)

KV1 : MSU  
 Vnitřní síly N  
 Kombinace výsledků: Max. a min. hodnoty

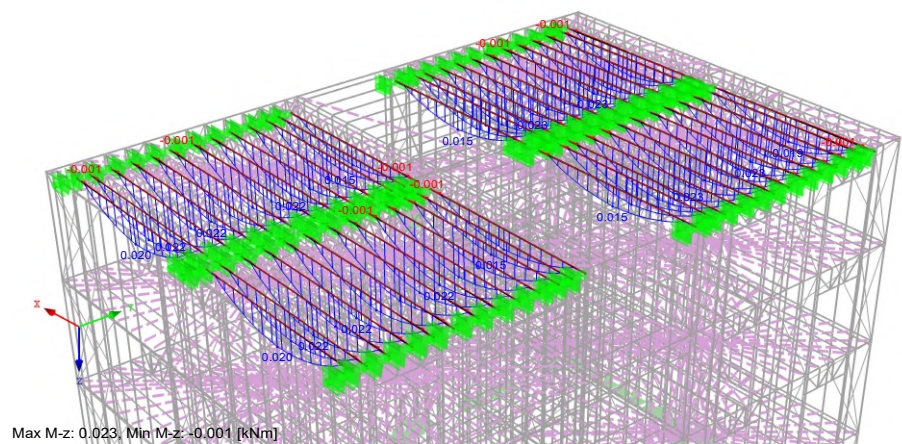
Perspektiva



### Střešní vazníky - dolní pas - $M_{z,ed}$ (kNm)

KV1 : MSU  
 Vnitřní síly M-z  
 Kombinace výsledků: Max. a min. hodnoty

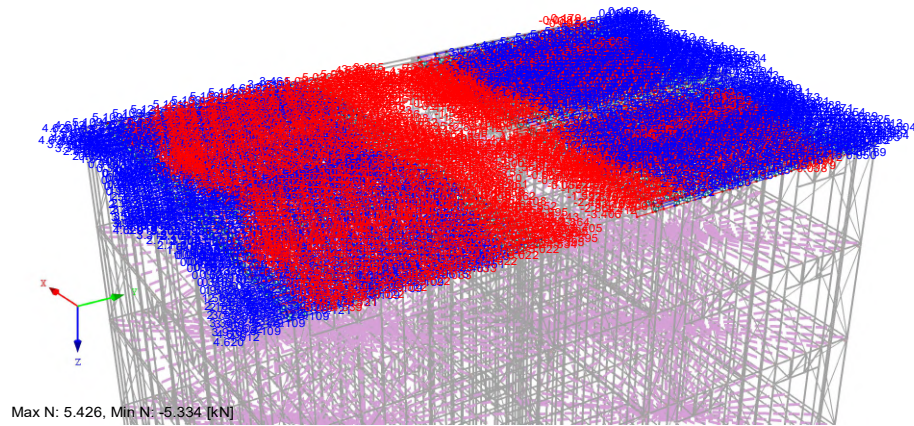
Perspektiva



### Střešní vazníky - diagonály - $N_{ed}$ (kN)

KV1 : MSU  
 Vnitřní síly N  
 Kombinace výsledků: Max. a min. hodnoty

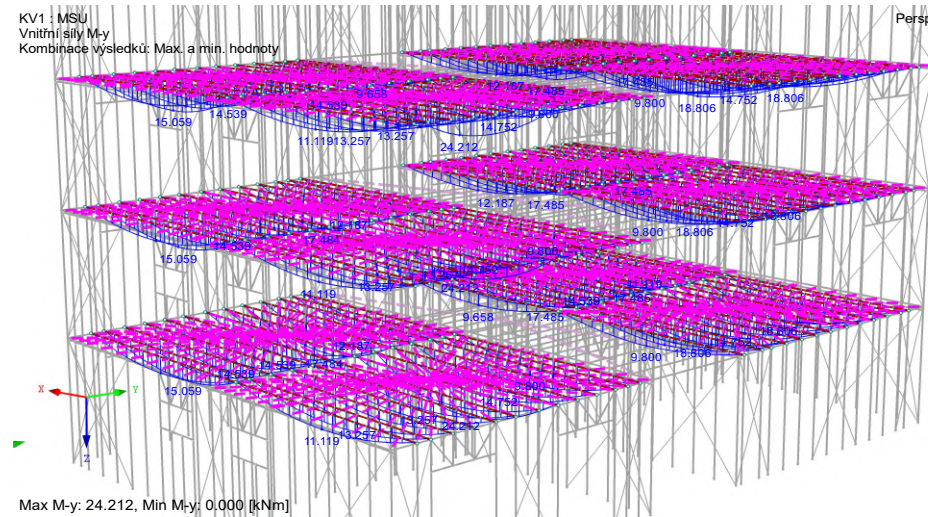
Perspektiva



### Stropní nosníky - $M_{y,ed}$ (kNm)

KV1 : MSU  
 Vnitřní síly M-y  
 Kombinace výsledků: Max. a min. hodnoty

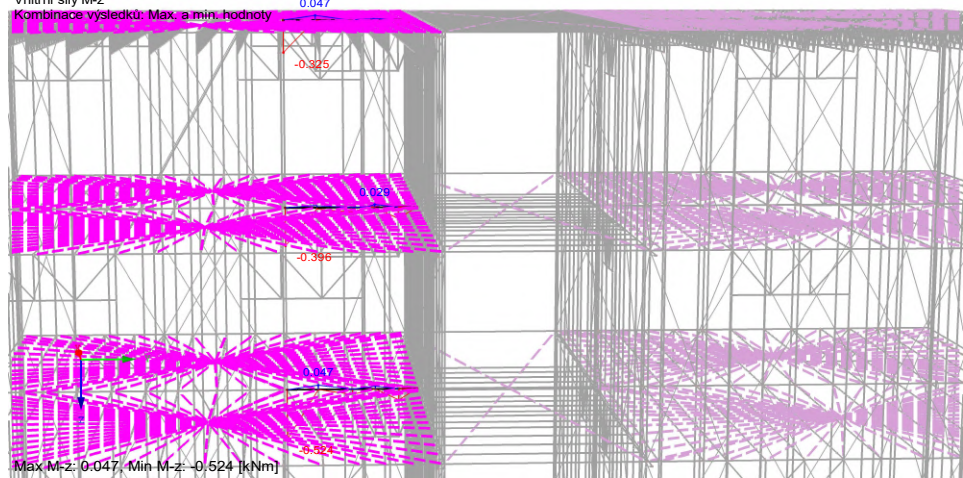
Perspektiva



### Průvlaky - horní pas - $M_{z,ed}$ (kNm)

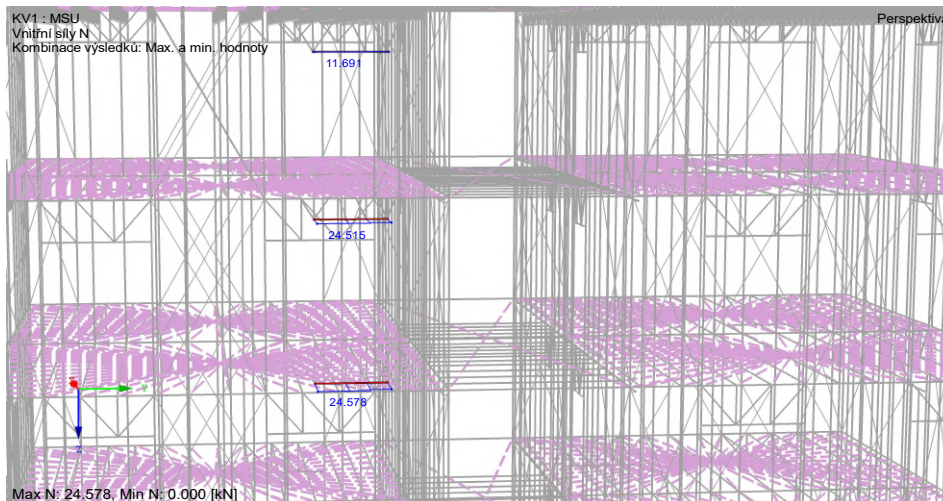
KV1 : MSU  
 Vnitřní síly M-z  
 Kombinace výsledků: Max. a min. hodnoty

Perspektiva

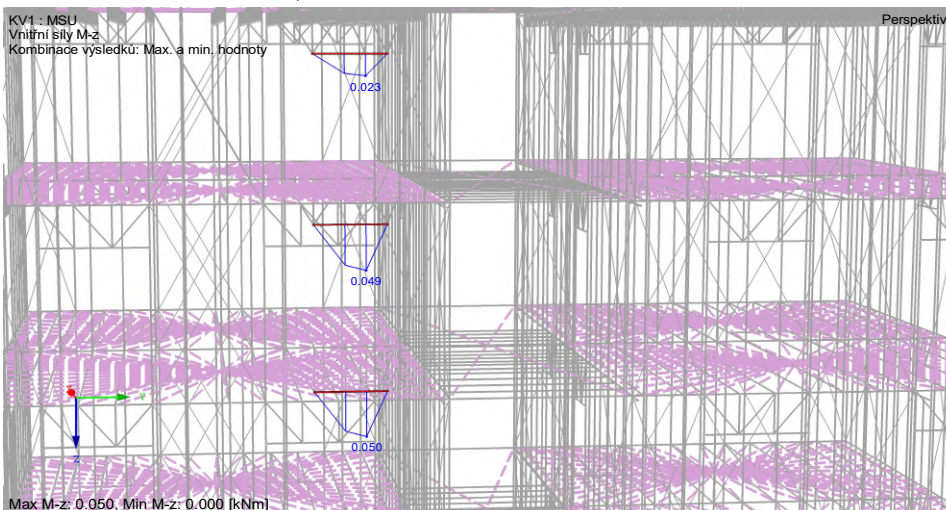




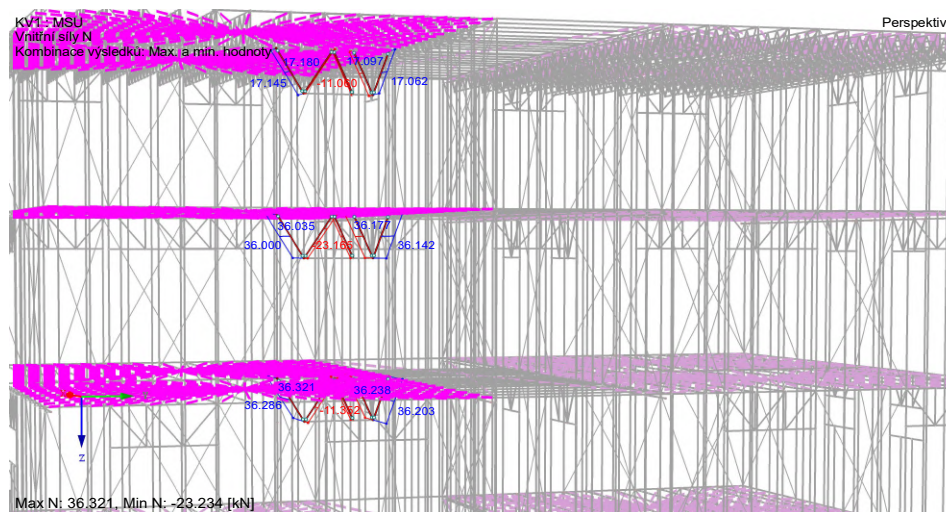
Průvlaky - dolní pas -  $N_{ed}$  (kN)



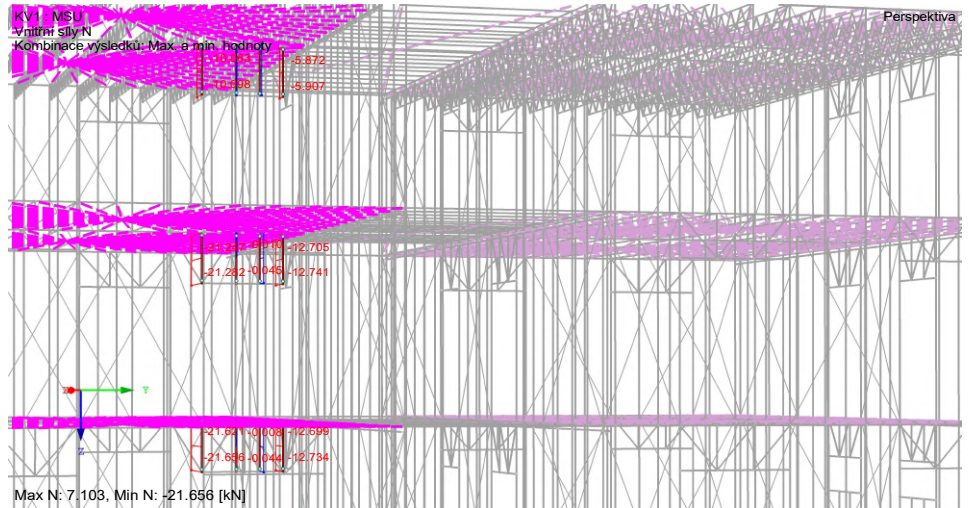
Průvlaky - dolní pas -  $M_{z,ed}$  (kNm)



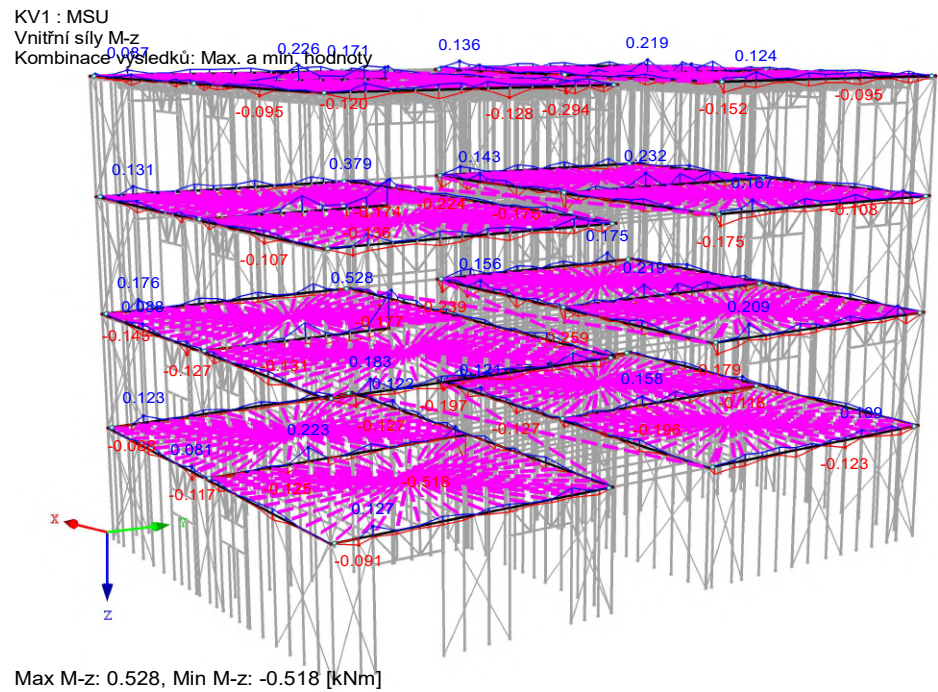
Průvlaky - diagonály -  $N_{ed}$  (kN)



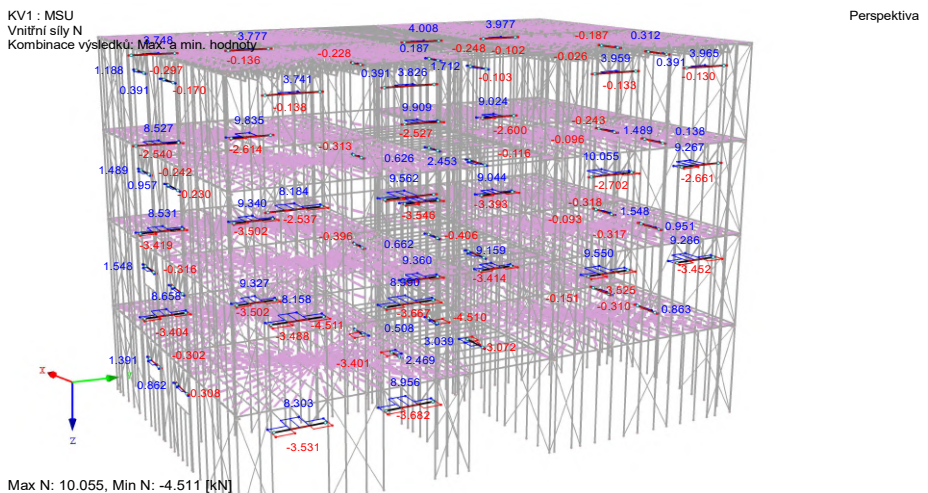
Průvlaky - svislice -  $N_{ed}$  (kN)



Překlady - horní pas -  $M_{z,ed}$  (kNm)

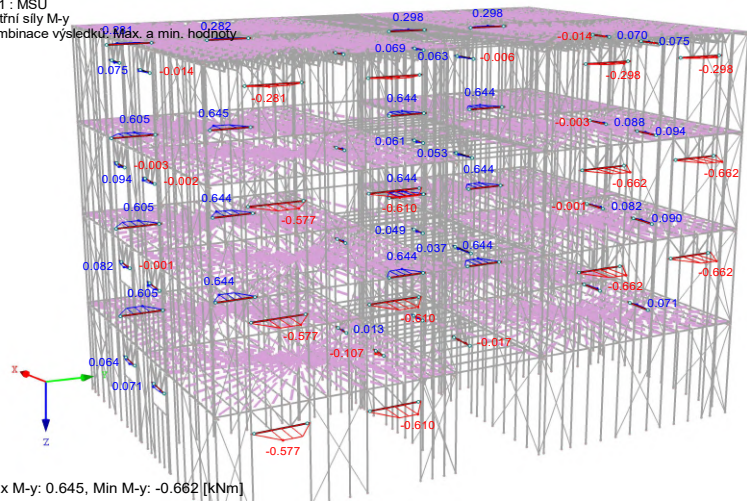


Překlady - dolní pas -  $N_{ed}$  (kN)



### Překlady - dolní pas - $M_{y,ed}$ (kNm)

KV1 : MSU  
Vnitřní síly M-y  
Kombinace výsledků: Max a min. hodnoty

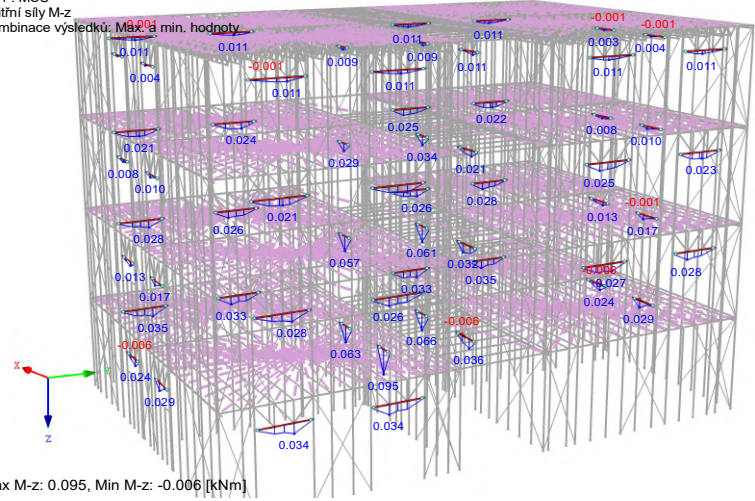


Perspektiva

Max M-y: 0.645, Min M-y: -0.662 [kNm]

### Překlady - dolní pas - $M_{z,ed}$ (kNm)

KV1 : MSU  
Vnitřní síly M-z  
Kombinace výsledků: Max a min. hodnoty

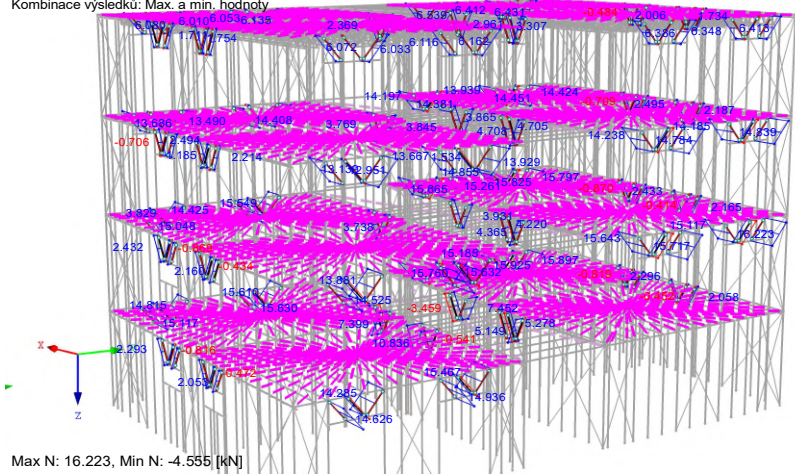


Perspektiva

Max M-z: 0.095, Min M-z: -0.006 [kNm]

### Překlady - diagonály - $N_{ed}$ (kN)

KV1 : MSU  
Vnitřní síly N  
Kombinace výsledků: Max a min. hodnoty



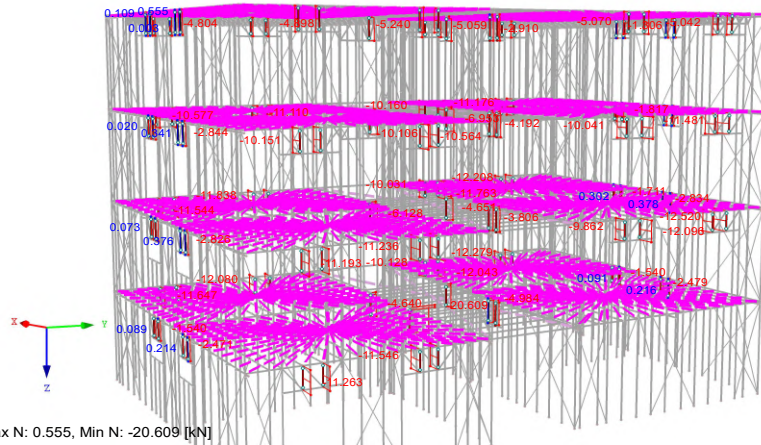
Perspektiva

Max N: 16.223, Min N: -4.555 [kN]

### Překlady - svislice - $N_{ed}$ (kN)

KV1 : MSU  
 Vnitřní síly N  
 Kombinace výsledků: Max. a min. hodnoty

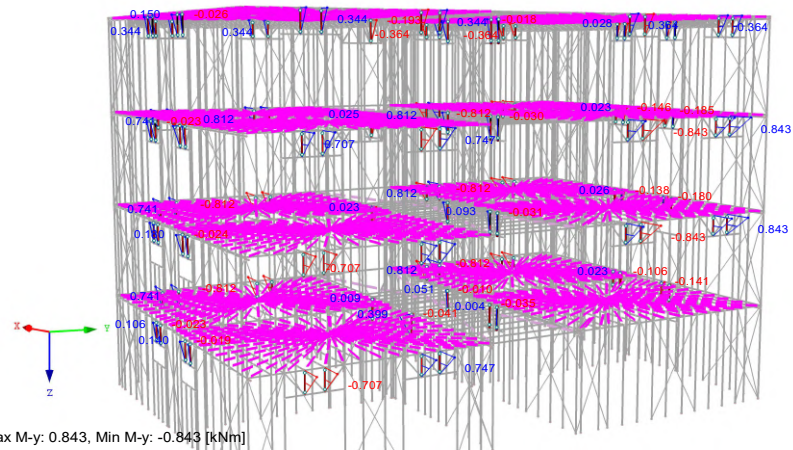
Perspektiva



### Překlady - svislice - $M_{y,ed}$ (kNm)

KV1 : MSU  
 Vnitřní síly M-y  
 Kombinace výsledků: Max. a min. hodnoty

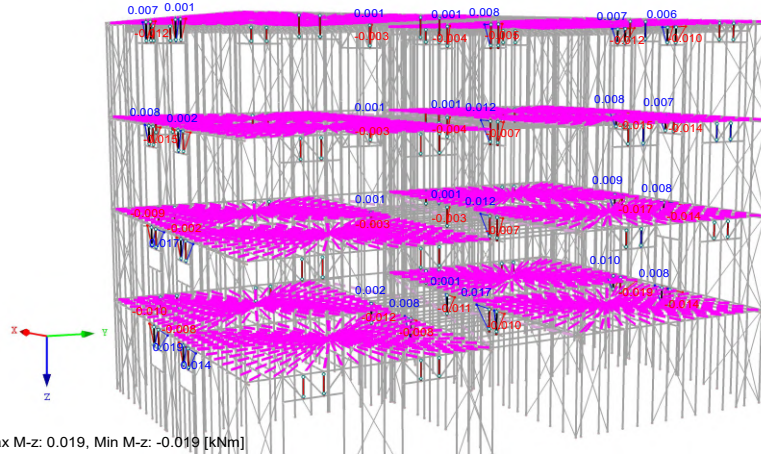
Perspektiva



### Překlady - svislice - $M_{z,ed}$ (kNm)

KV1 : MSU  
 Vnitřní síly M-z  
 Kombinace výsledků: Max. a min. hodnoty

Perspektiva

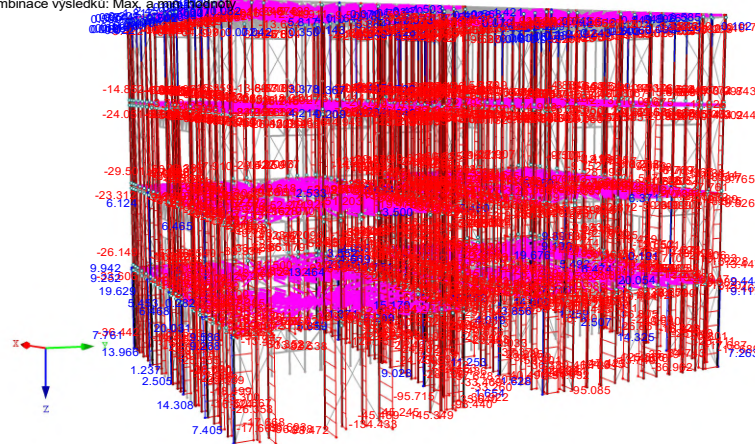


### Obvodové sloupy - $N_{ed}$ (kN)

KV1 : MSU

Vnitřní síly N

Kombinace výsledků: Max. a min. hodnoty



Max N: 20.054, Min N: -145.349 [kN]

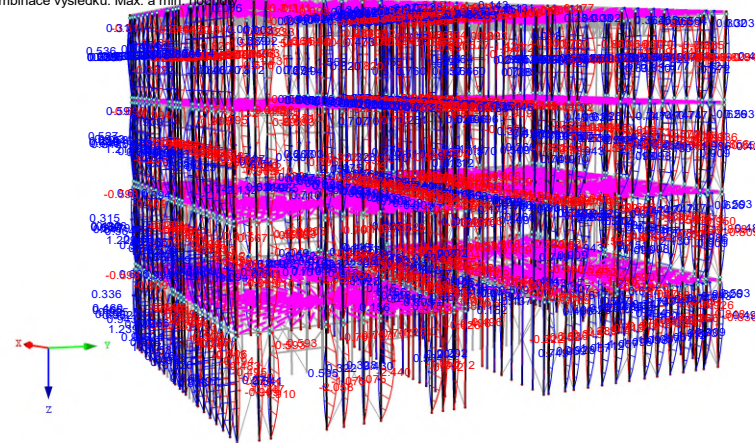
Perspektiva

### Obvodové sloupy - $M_{y,ed}$ (kNm)

KV1 : MSU

Vnitřní síly M-y

Kombinace výsledků: Max. a min. hodnoty



Max M-y: 2.440, Min M-y: -2.440 [kNm]

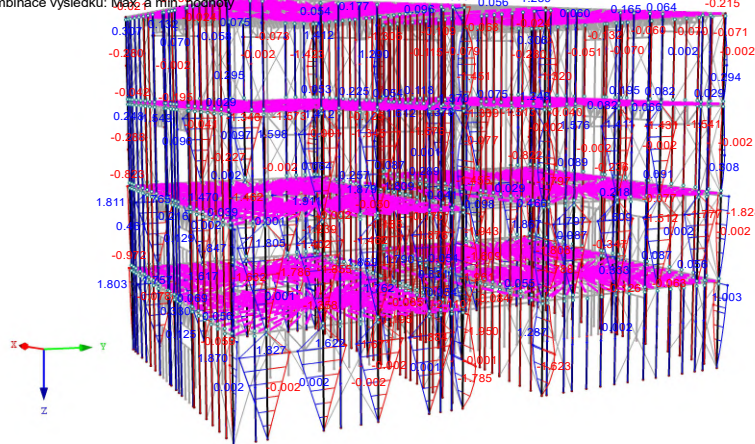
Perspektiva

### Obvodové sloupy - $M_{z,ed}$ (kNm)

KV1 : MSU

Vnitřní síly M-z

Kombinace výsledků: Max. a min. hodnoty



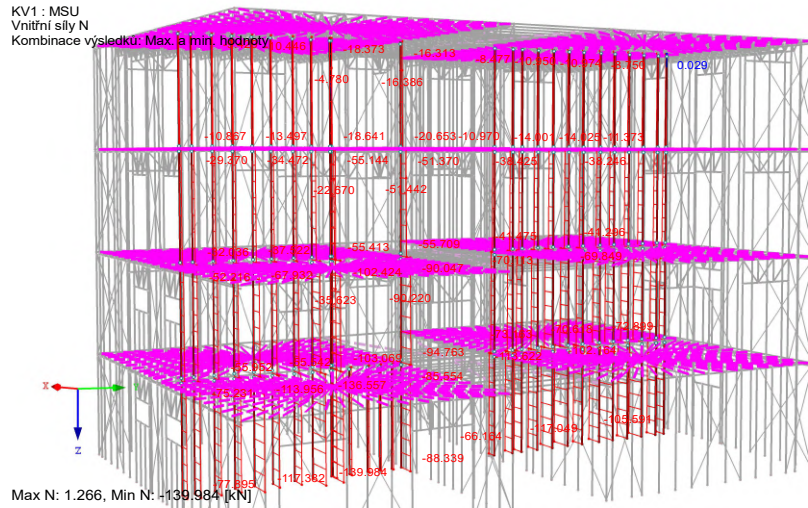
Max M-z: 1.911, Min M-z: -2.110 [kNm]

Perspektiva

### Vnitřní sloupy - $N_{ed}$ (kN)

KV1 : MSU  
Vnitřní síly N  
Kombinace výsledků: Max. a min. hodnoty

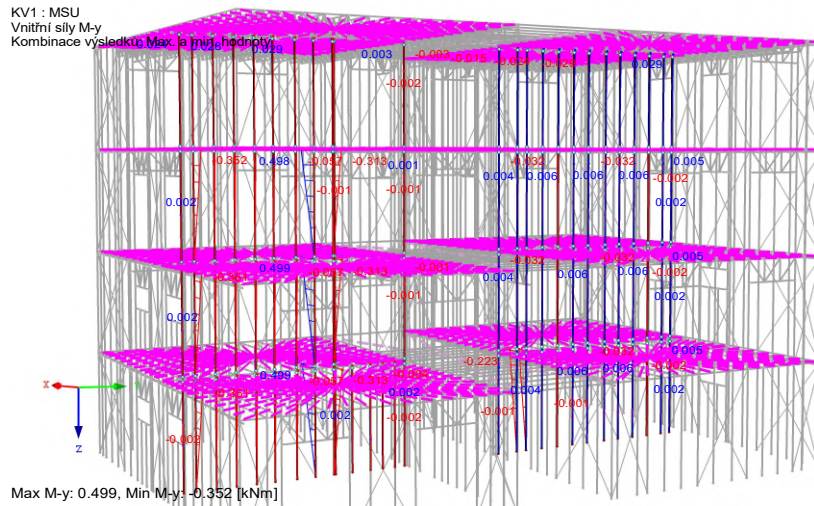
Perspektiva



### Vnitřní sloupy - $M_{y,ed}$ (kNm)

KV1 : MSU  
Vnitřní síly M-y  
Kombinace výsledků: Max. a min. hodnoty

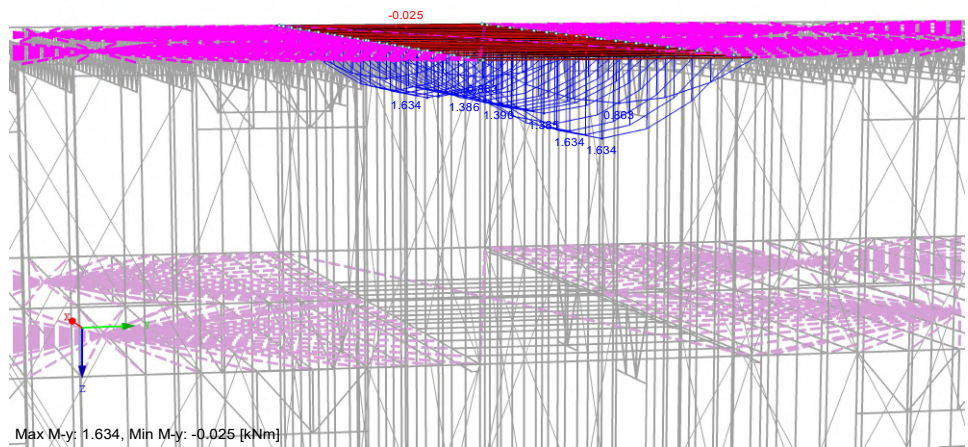
Perspektiva



### Střešní nosník chodba - $M_{y,ed}$ (kNm)

KV1 : MSU  
Vnitřní síly M-y  
Kombinace výsledků: Max. a min. hodnoty

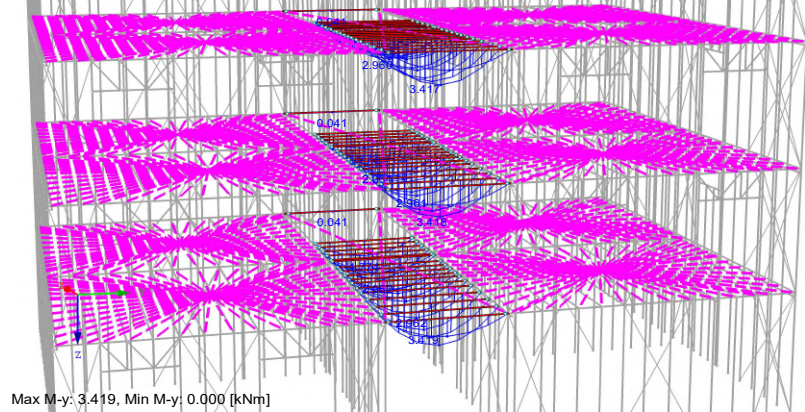
Perspektiva



### Stropní nosník chodba - $M_{y,ed}$ (kNm)

KV1 : MSU  
 Vnitřní síly M-y  
 Kombinace výsledků: Max. a min. hodnoty

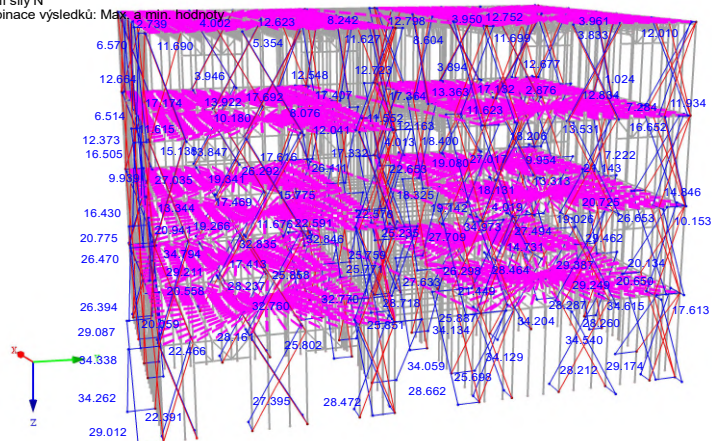
Perspektiva



### Ztužidla - $N_{ed}$ (kN)

KV1 : MSU  
 Vnitřní síly N  
 Kombinace výsledků: Max. a min. hodnoty

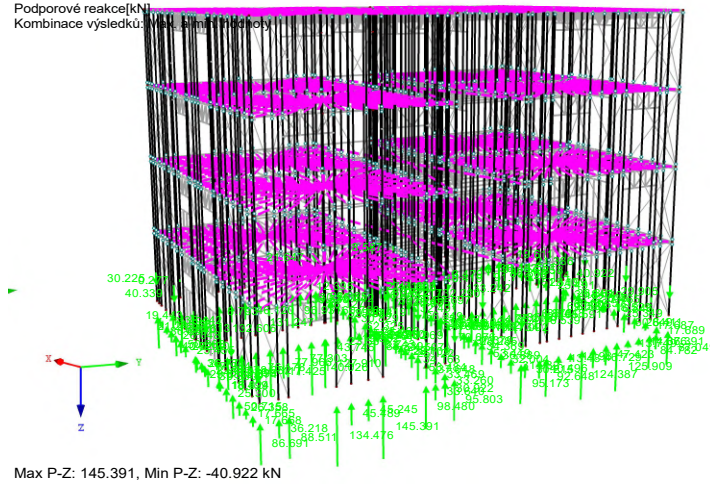
Perspektiva



### Svislé reakce - $R_z$ (kN)

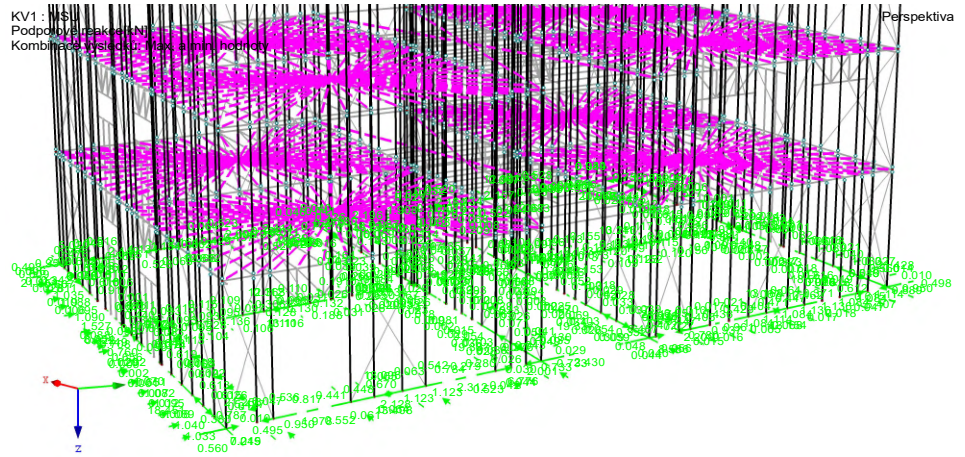
KV1 : MSU  
 Podporové reakce[kN]  
 Kombinace výsledků: Max. a min. hodnoty

Perspektiva



### Vodorovné reakce - $R_x, R_y$ (kN)

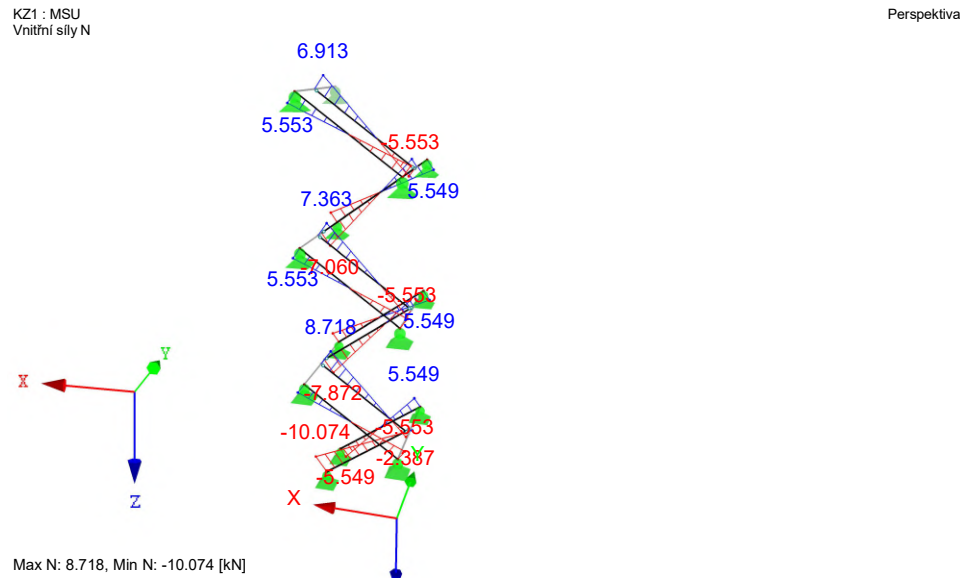
KV1 : MSU  
Podpora V reakce (kN)  
Kombinace ústředí: Max. a min. hodnoty



Max P-X: 21.966, Min P-X: -21.428 kN  
Max P-Y: 13.240, Min P-Y: -13.408 kN

### Schodišťové rameno - $N_{ed}$ (kN)

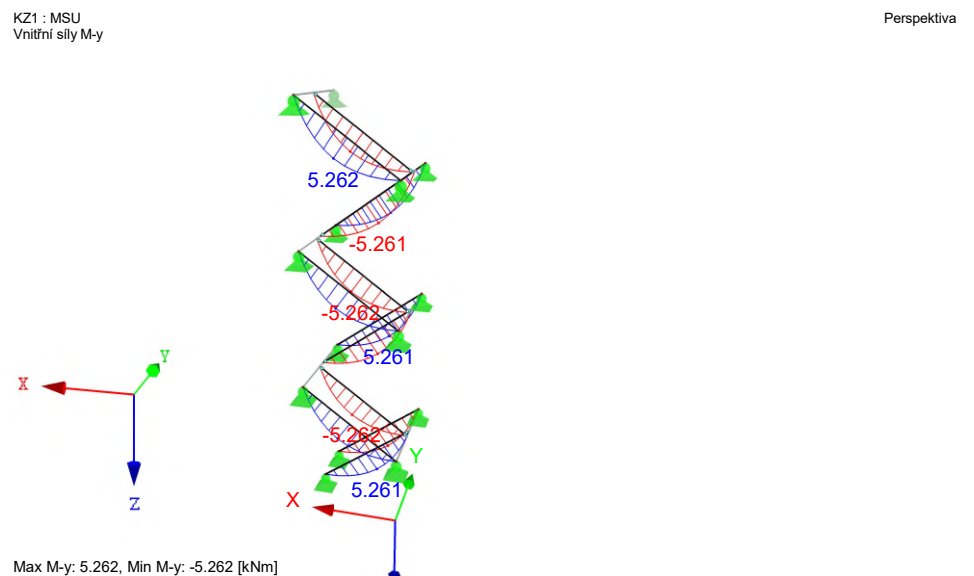
KZ1 : MSU  
Vnitřní síly N



Max N: 8.718, Min N: -10.074 [kN]

### Schodišťové rameno - $M_{y,ed}$ (kNm)

KZ1 : MSU  
Vnitřní síly M-y



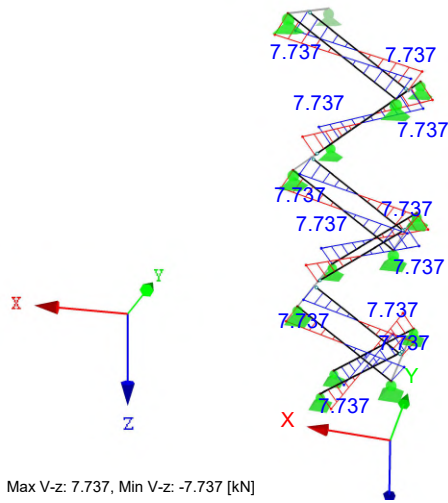
Max M-y: 5.262, Min M-y: -5.262 [kNm]



Schodišťové rameno -  $V_{z,ed}$  (kN)

KZ1 : MSU  
Vnitřní síly V-z

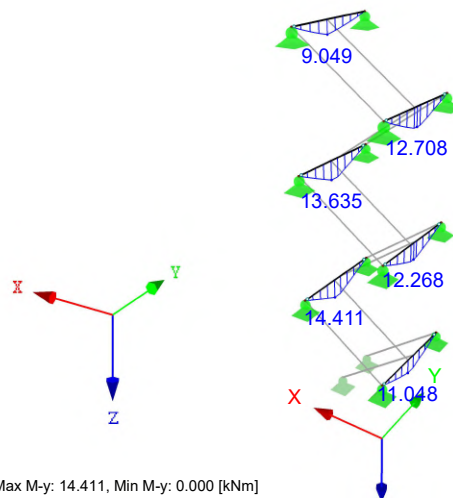
Perspektiva



Schodišťový nosník -  $M_{y,ed}$  (kNm)

KZ1 : MSU  
Vnitřní síly M-y

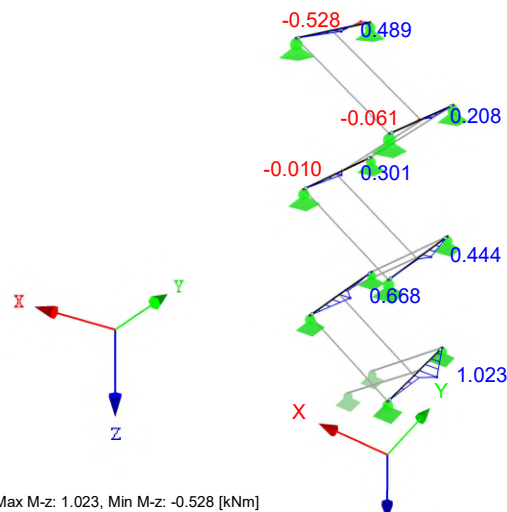
Perspektiva



Schodišťový nosník -  $M_{z,ed}$  (kNm)

KZ1 : MSU  
Vnitřní síly M-z

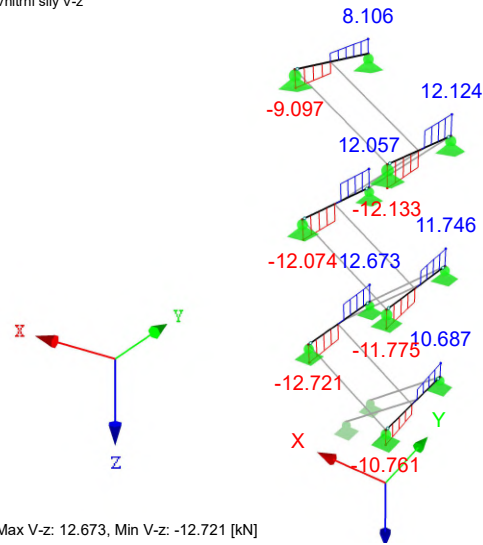
Perspektiva



### Schodišťový nosník - $V_{z,ed}$ (kN)

KZ1 : MSU  
Vnitřní síly V-z

Perspektiva

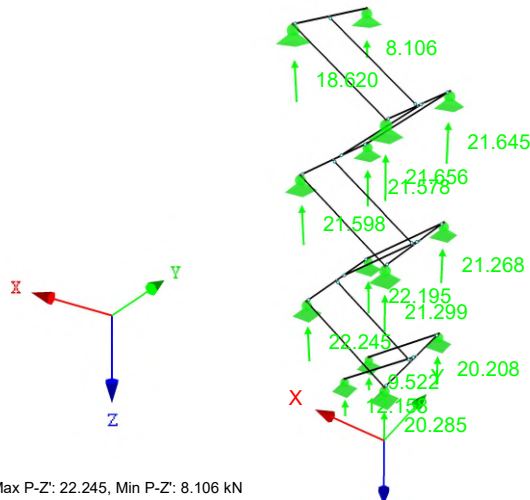


### Svislé reakce - $R_z$ (kN)

reakce ze schodišťového modelu byly započítány do modelu bytového domu

KZ1 : MSU  
Podporové reakce[kN]

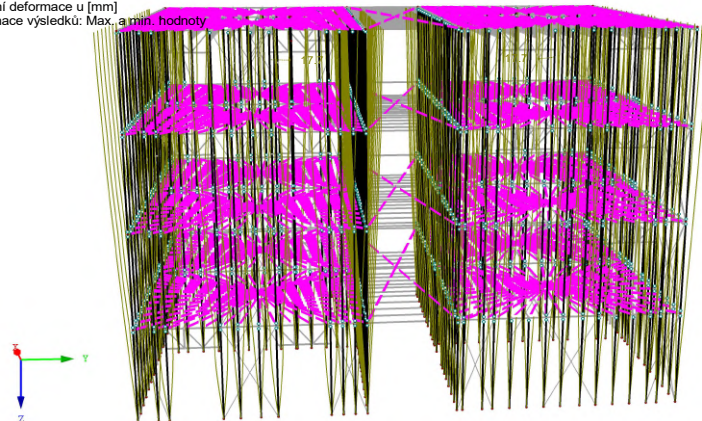
Perspektiva



### Vodorovná deformace u vrcholu budovy (mm)

KV2 : MSP  
Globální deformace u [mm]  
Kombinace výsledků: Max. a min. hodnoty

Perspektiva

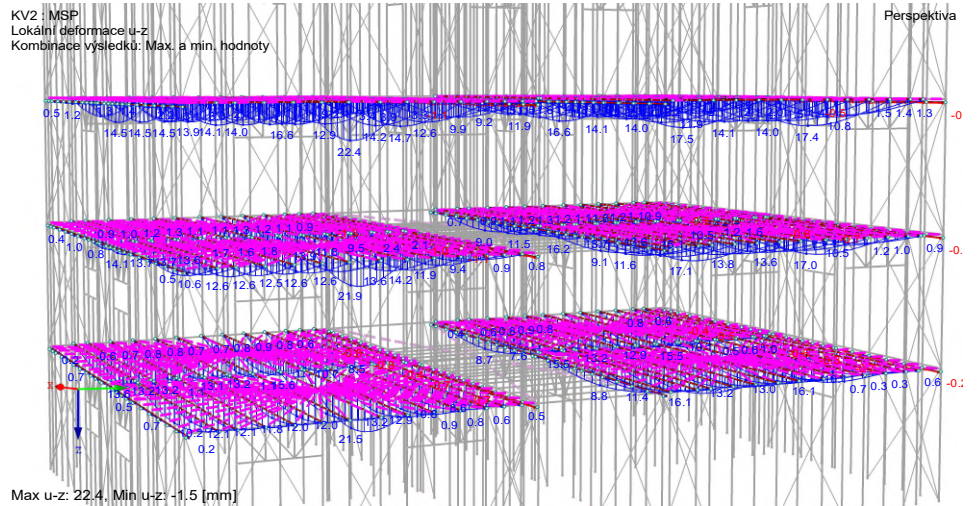


Součinitel pro deformace: 41.00  
Max u: 17.7, Min u: 0.0 mm

### Svislá deformace - stropní nosník (mm)

KV2 : MSP  
 Lokální deformace u-z  
 Kombinace výsledků: Max. a min. hodnoty

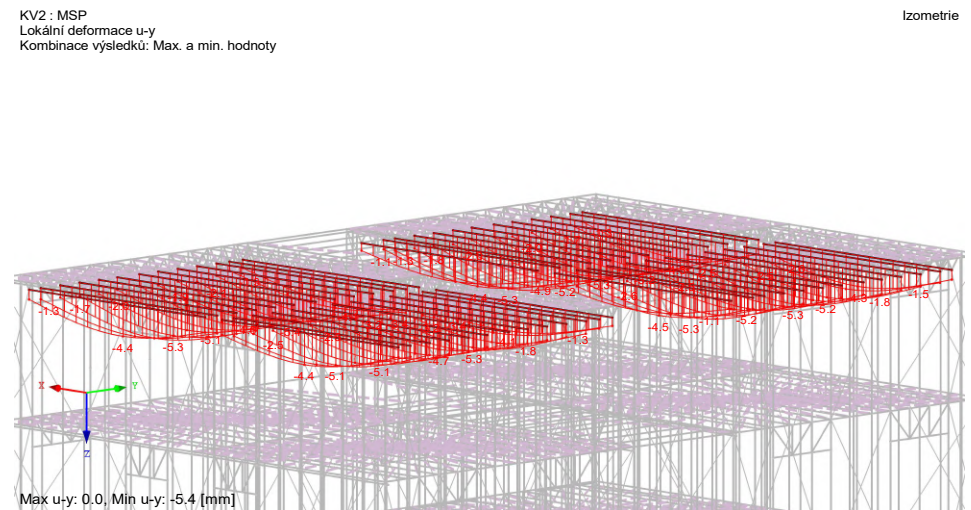
Perspektiva



### Svislá deformace - střešní nosník (mm)

KV2 : MSP  
 Lokální deformace u-y  
 Kombinace výsledků: Max. a min. hodnoty

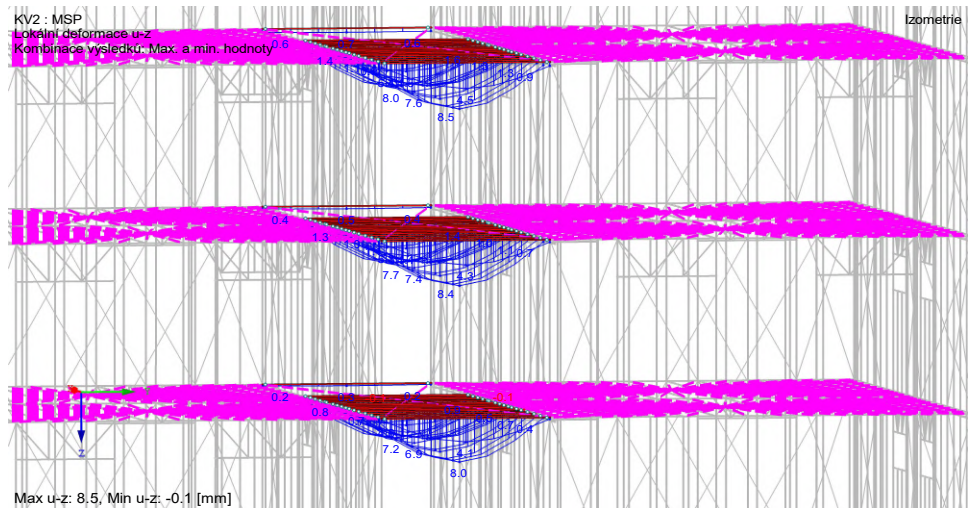
Izometrie



### Svislá deformace - stropní nosník chodba (mm)

KV2 : MSP  
 Lokální deformace u-z  
 Kombinace výsledků: Max. a min. hodnoty

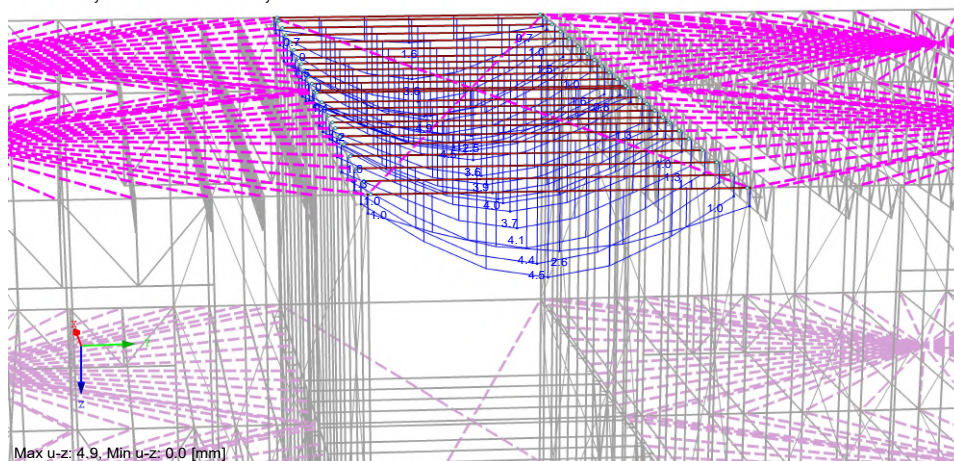
Izometrie



## Svislá deformace - střešní nosník chodba (mm)

KV2 : MSP  
Lokální deformace u-z  
Kombinace výsledků: Max. a min. hodnoty

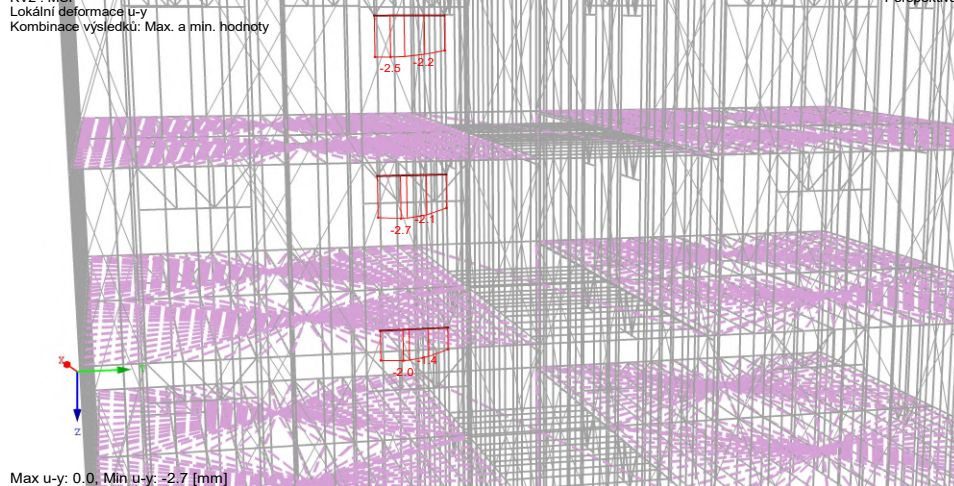
Perspektiva



## Svislá deformace - průvlak (mm)

KV2 : MSP  
Lokální deformace u-y  
Kombinace výsledků: Max. a min. hodnoty

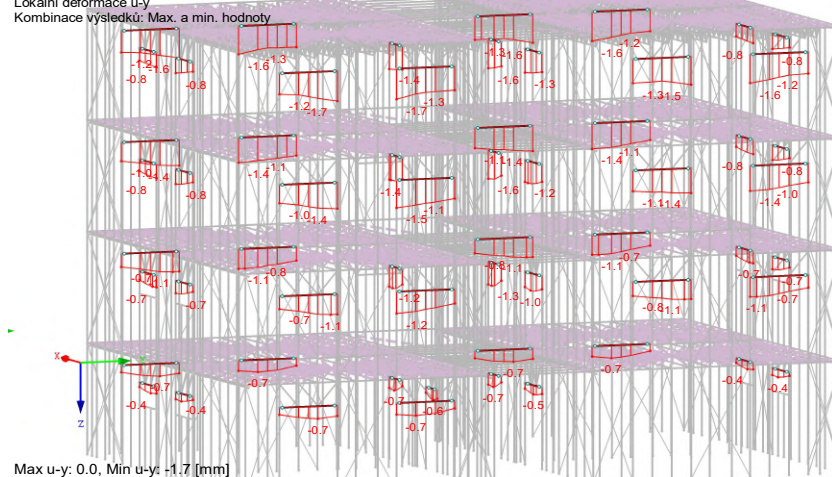
Perspektiva



## Svislá deformace - překlady (mm)

KV2 : MSP  
Lokální deformace u-y  
Kombinace výsledků: Max. a min. hodnoty

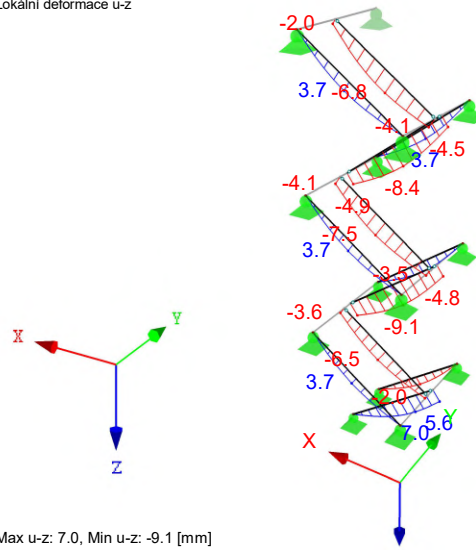
Izometrie



Svislá deformace - schodišťové rameno (mm)

KZ2 : MSP  
Lokální deformace u-z

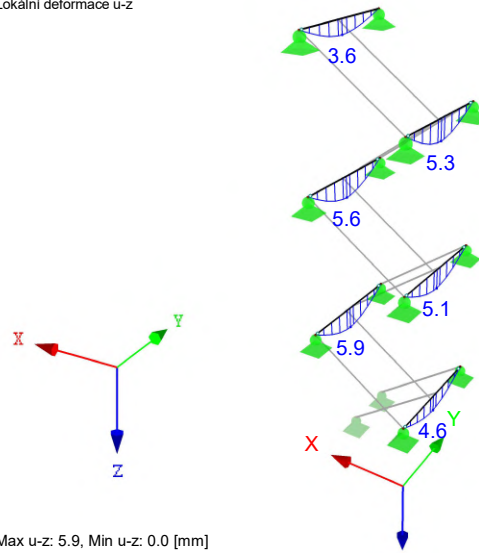
Perspektiva



Svislá deformace - schodišťový nosník (mm)

KZ2 : MSP  
Lokální deformace u-z

Perspektiva



## 5. Posouzení prvků konstrukce pro mezní stav únosnosti

### Vzpěrná únosnost horního pasu střešního vazníku

#### Vnitřní síly:

$$N_{ed,t} = 12,385 \text{ kN}$$

$$N_{ed,c} = -7,408 \text{ kN}$$

$$M_{z,ed} = 0,028 \text{ kNm}$$

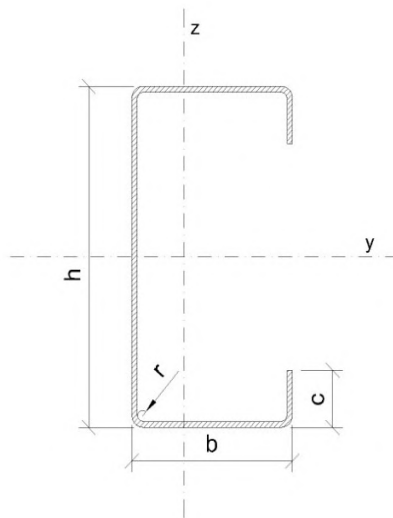
#### Vlastnosti materiálu

Ocel: S350 GD + Z275

Mez kluzu	$f_{yk} =$	350	MPa
Mez pevnosti	$f_{uk} =$	420	MPa
Modul pružnosti	$E =$	210000	MPa
Smykový modul	$G =$	80800	MPa
Poissonova konstanta	$\nu =$	0,3	-

#### Geometrie průřezu

Výška průřezu	$h =$	100	mm
Šířka pásnice	$b =$	41,3	mm
Výška výztuhy	$c =$	10	mm
Nominální tloušťka	$t_{nom} =$	1,6	mm
Výpočetní tloušťka (bez vrstvy zinku Z275 = 0,04mm)	$t =$	1,56	mm
Poloměr zaoblení	$r =$	1,5	mm



**Vnitřní poloměr ohnutí  $r = t$  lze ve výpočtu zanedbat protože:**

$$r \leq 5t$$

$$1,5 \leq 5 \times 1,16 \quad \text{VYHOVUJE}$$

$$r \leq 0,1b$$

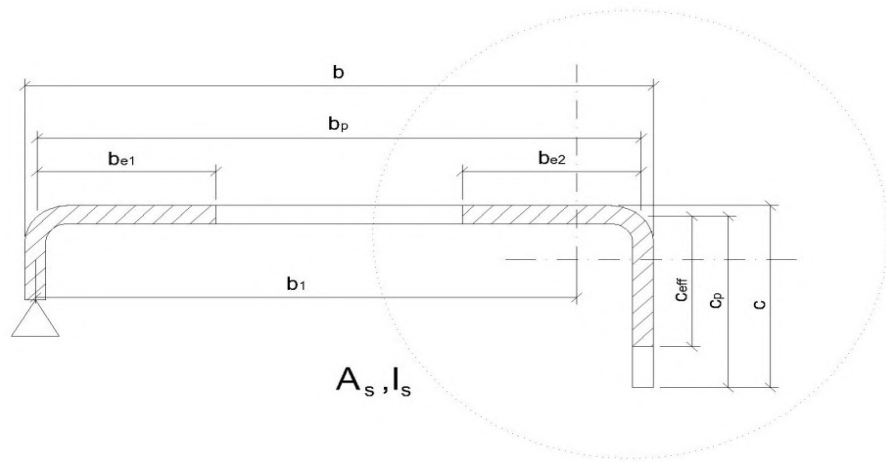
$$1,5 \leq 0,1 \times 41,3 \quad \text{VYHOVUJE}$$

**Působící namáhání**

Vpěr kolmo k ose y	ANO
Vzpěr kolmo k ose z	ANO
Prostorový vzpěr	ANO

**Geometrie nosníku**

Vzpěrná délka pro vybočení kolmo k ose y	$L_{cr,y} = 625$ mm
Vzpěrná délka pro vybočení kolmo k ose z	$L_{cr,z} = 350$ mm
Vzpěrná délka pro vybočení prostorovým vzpěrem	$L_{cr,T} = 625$ mm

**Pásnice - lokální a distorzní boulení****Krok 1**

Součinitel kritického napětí  $k_{\sigma} = 4$  dle tab. 4.1 (EN 1993-1-5)

Poměrná stěnová štíhlost

$$b_p = b - t$$

$$b_p = 39,74 \text{ mm}$$

$$\bar{\lambda}_p = \frac{\frac{b_p}{t}}{28,4 \times \sqrt{\frac{235}{f_y}} \times \sqrt{k_{\sigma}}} = 0,547$$

Poměr napětí na krajích pás.  $\Psi = 1$

Součinitel boulení pro  $\bar{\lambda}_p \leq 0,673$   $\rho = 1,0$

$$\text{pro } \bar{\lambda}_p > 0,673 \quad \rho = \frac{\bar{\lambda}_p - 0,055(3+\Psi)}{\bar{\lambda}_p^2}$$

$$\rho = 1$$

Počáteční účinná šířka pás.  $b_{eff} = \rho \times b_p = 39,740$  mm

Účinná šířka

$$b_{ei} = \frac{b_{eff}}{2}$$

$$b_{e1} = 19,87 \text{ mm}$$

$$b_{e2} = 19,87 \text{ mm}$$

$$c_p = c - \frac{t}{2}$$

$$c_p = 9,22 \text{ mm}$$

Poměr délky výztuhy a pás.  $\frac{c_p}{b_p} = 0,232$

Součinitel kritického napětí

pro  $c_p/b_p \leq 0,35$   $k_\sigma = 0,5$

pro  $0,35 < c_p/b_p \leq 0,6$   $k_\sigma = 0,5 + 0,83 \sqrt[3]{\left(\frac{c_p}{b_p} - 0,35\right)^2}$

$$k_\sigma = 0,5$$

Poměrná stěnová štíhlost

$$\bar{\lambda}_p = \frac{\frac{c_p}{t}}{28,4 \times \sqrt{\frac{235}{f_y}} \times \sqrt{k_\sigma}} = 0,359$$

Poměr napětí na krajích pás.  $\Psi = 1$

Součinitel boulení pro  $\bar{\lambda}_p \leq 0,748$   $\rho = 1,0$

pro  $\bar{\lambda}_p > 0,748$   $\rho = \frac{\bar{\lambda}_p - 0,188}{\bar{\lambda}_p^2}$

$$\rho = 1$$

Počáteční účinná šířka pás.  $c_{\text{eff}} = \rho \times c_p = 9,22 \text{ mm}$

Těžiště rohu s výztuhou

$$y_t = c_p - \frac{c_{\text{eff}} \times b_{e2} + \frac{c_{\text{eff}}^2}{2}}{c_{\text{eff}} + b_{e2}} = 1,4611 \text{ mm}$$

$$b_1 = b_p - b_{e2} - \left( \frac{c_{\text{eff}} \times b_{e2} + \frac{b_{e2}^2}{2}}{c_{\text{eff}} + b_{e2}} \right)$$

$$b_1 = 32,95 \text{ mm}$$

Plocha rohu s výztuhou  $A_s = t \times (c_{\text{eff}} + b_{e2}) = 45,38 \text{ mm}^2$

Moment setrv. rohu s výztuhou

$$I_s = \frac{1}{12} b_{e2} t^3 + b_{e2} t y_t^2 + \frac{1}{12} t c_{\text{eff}}^3 + t c_{\text{eff}} \left( \frac{c_{\text{eff}}}{2} - y_t \right)^2$$

$$I_s = 316,97 \text{ mm}^4$$

Pérová tuhost výztuhy

$$K = \frac{E t^3}{4 \times (1 - \nu^2)} \times \frac{1}{b_1^2 h_p + b_1^3 + 0,5 b_1 b_2 h_p k_f}$$

$$K = 0,9247$$

$$k_f = 1,0$$

souměr. tlač. průř.

$$h_p = h - t$$

$$h_p = 98,44 \text{ mm}$$

Kritické napětí okrajové výztuhy

$$\sigma_{cr,s} = \frac{2 \times \sqrt{K \times E \times I_s}}{A_s} = 345,77 \text{ Mpa}$$

Poměrná štíhlost

$$\bar{\lambda}_d = \sqrt{\frac{f_{yk}}{\sigma_{cr,s}}} = 1,01$$



Součinitel vzpěrnosti

$$\text{pro } \bar{\lambda}_d \leq 0,65 \quad \chi_d = 1,0$$

$$\text{pro } 0,65 < \bar{\lambda}_d < 1,38$$

$$\chi_d = 1,47 - 0,723 \bar{\lambda}_d$$

$$\text{pro } \bar{\lambda}_d \geq 1,38 \quad \chi_d = \frac{0,66}{\bar{\lambda}_d}$$

$$\chi_d = 0,74$$

Max. tlak. napětí ve stěně  $\sigma_{\text{com}} = \chi_d \times f_{yk} = 259,91 \text{ Mpa}$

**Krok 2**

Poměrná stěnová štíhlost  $\bar{\lambda}_{p,\text{red}} = \bar{\lambda}_p \times \sqrt{\chi_d} = 0,472$

Poměr napětí na krajích pás.  $\Psi = 1$

Součinitel boulení

$$\text{pro } \bar{\lambda}_p \leq 0,673 \quad \rho = 1,0$$

$$\text{pro } \bar{\lambda}_p > 0,673 \quad \rho = \frac{\bar{\lambda}_p - 0,055(3+\Psi)}{\bar{\lambda}_p^2}$$

$$\rho = 1$$

Počáteční účinná šířka pás.  $b_{\text{eff}} = \rho \times b_p = 39,740 \text{ mm}$

Účinná šířka

$$b_{ei} = \frac{b_{\text{eff}}}{2}$$

$$b_{e1} = 19,87 \text{ mm}$$

$$b_{e2} = 19,87 \text{ mm}$$

Poměrná stěnová štíhlost  $\bar{\lambda}_{p,\text{red}} = \bar{\lambda}_p \times \sqrt{\chi_d} = 0,310$

Poměr napětí na krajích pás.  $\Psi = 1$

Součinitel boulení

$$\text{pro } \bar{\lambda}_p \leq 0,748 \quad \rho = 1,0$$

$$\text{pro } \bar{\lambda}_p > 0,748 \quad \rho = \frac{\bar{\lambda}_p - 0,188}{\bar{\lambda}_p^2}$$

$$\rho = 1$$

Počáteční účinná šířka pás.  $c_{\text{eff}} = \rho \times c_p = 9,22 \text{ mm}$

Těžiště rohu s výztuhou

$$y_t = c_p - \frac{c_{\text{eff}} \times b_{e2} + \frac{c_{\text{eff}}^2}{2}}{c_{\text{eff}} + b_{e2}} = 1,4611 \text{ mm}$$

$$b_1 = b_p - b_{e2} - \left( \frac{c_{\text{eff}} \times b_{e2} + \frac{b_{e2}^2}{2}}{c_{\text{eff}} + b_{e2}} \right)$$

$$b_1 = 32,95 \text{ mm}$$

Plocha rohu s výztuhou  $A_s = t \times (c_{\text{eff}} + b_{e2}) = 45,38 \text{ mm}^2$

Moment setrv. rohu s výztuhou

$$I_s = \frac{1}{12} b_{e2} t^3 + b_{e2} t y_t^2 + \frac{1}{12} t c_{\text{eff}}^3 + t c_{\text{eff}} \left( \frac{c_{\text{eff}}}{2} - y_t \right)^2$$

$$I_s = 316,97 \text{ mm}^4$$

Pérová tuhost výztuhy

$$K = \frac{Et^3}{4 \times (1 - \nu^2)} \times \frac{1}{b_1^2 h_p + b_1^3 + 0,5 b_1 b_2 h_p k_f}$$

$$K = 0,925$$

Kritické napětí okrajové výztuhy

$$\sigma_{cr,s} = \frac{2 \times \sqrt{K \times E \times I_s}}{A_s} = 345,77 \text{ Mpa}$$

Poměrná štíhlost

$$\bar{\lambda}_d = \sqrt{\frac{f_{yk}}{\sigma_{cr,s}}} = 1,01$$

Součinitel vzpěrnosti

pro  $\bar{\lambda}_d \leq 0,65$   $\chi_d = 1,0$

pro  $0,65 < \bar{\lambda}_d < 1,38$

$$\chi_d = 1,47 - 0,723 \bar{\lambda}_d$$

pro  $\bar{\lambda}_d \geq 1,38$   $\chi_d = \frac{0,66}{\bar{\lambda}_d}$

$$\chi_d = 0,74$$

Max. tlak. napětí ve stěně  $\sigma_{com} = \chi_d \times f_{yk} = 259,91 \text{ Mpa}$

### Krok 3

Poměrná stěnová štíhlost  $\bar{\lambda}_{p,red} = \bar{\lambda}_p \times \sqrt{\chi_d} = 0,472$

Poměr napětí na krajích pás.  $\Psi = 1$

Součinitel boulení pro  $\bar{\lambda}_p \leq 0,673$   $\rho = 1,0$

pro  $\bar{\lambda}_p > 0,673$   $\rho = \frac{\bar{\lambda}_p - 0,055(3+\Psi)}{\bar{\lambda}_p^2}$

$$\rho = 1$$

Počáteční účinná šířka pás.  $b_{eff} = \rho \times b_p = 39,740 \text{ mm}$

Účinná šířka

$$b_{ei} = \frac{b_{eff}}{2}$$

$$b_{e1} = 19,87 \text{ mm}$$

$$b_{e2} = 19,87 \text{ mm}$$

Poměrná stěnová štíhlost  $\bar{\lambda}_{p,red} = \bar{\lambda}_p \times \sqrt{\chi_d} = 0,310$

Poměr napětí na krajích pás.  $\Psi = 1$

Součinitel boulení pro  $\bar{\lambda}_p \leq 0,748$   $\rho = 1,0$

pro  $\bar{\lambda}_p > 0,748$   $\rho = \frac{\bar{\lambda}_p - 0,188}{\bar{\lambda}_p^2}$

$$\rho = 1$$

Počáteční účinná šířka pás.  $c_{eff} = \rho \times c_p = 9,22 \text{ mm}$

Těžiště rohu s výztuhou

$$y_t = c_p - \frac{c_{eff} \times b_{e2} + \frac{c_{eff}^2}{2}}{c_{eff} + b_{e2}} = 1,4611 \text{ mm}$$

$$b_1 = b_p - b_{e2} - \left( \frac{c_{\text{eff}} \times b_{e2} + \frac{b_{e2}^2}{2}}{c_{\text{eff}} + b_{e2}} \right)$$

$$b_1 = 32,95 \text{ mm}$$

Plocha rohu s výztuhou  $A_s = t \times (c_{\text{eff}} + b_{e2}) = 45,38 \text{ mm}^2$

Moment setrv. rohu s výztuhou

$$I_s = \frac{1}{12} b_{e2} t^3 + b_{e2} t y_t^2 + \frac{1}{12} t c_{\text{eff}}^3 + t c_{\text{eff}} \left( \frac{c_{\text{eff}}}{2} - y_t \right)^2$$

$$I_s = 316,97 \text{ mm}^4$$

Pérová tuhost výztuhy

$$K = \frac{E t^3}{4 \times (1 - \nu^2)} \times \frac{1}{b_1^2 h_p + b_1^3 + 0,5 b_1 b_2 h_p k_f}$$

$$K = 0,925$$

Kritické napětí okrajové výztuhy

$$\sigma_{cr,s} = \frac{2 \times \sqrt{K \times E \times I_s}}{A_s} = 345,77 \text{ Mpa}$$

Poměrná štíhlost

$$\bar{\lambda}_d = \sqrt{\frac{f_{yk}}{\sigma_{cr,s}}} = 1,01$$

Součinitel vzpěrnosti

$$\text{pro } \bar{\lambda}_d \leq 0,65 \quad \chi_d = 1,0$$

$$\text{pro } 0,65 < \bar{\lambda}_d < 1,38$$

$$\chi_d = 1,47 - 0,723 \bar{\lambda}_d$$

$$\text{pro } \bar{\lambda}_d \geq 1,38 \quad \chi_d = \frac{0,66}{\bar{\lambda}_d}$$

$$\chi_d = 0,74$$

Max. tlak. napětí ve stěně  $\sigma_{\text{com}} = \chi_d \times f_{yk} = 259,91 \text{ Mpa}$

**Konec iterace**

Redukovaná tloušťka výztuhy

$$t_{\text{red}} = \chi_d \times t = 1,1584 \text{ mm}$$

**Stojina - lokální boulení**

Poměr napětí v tažené a tlačené pásnici  $\Psi = 1,0$

Součinitel kritického napětí  $k_\sigma = 4,0$

Poměrná stěnová štíhlost

$$\bar{\lambda}_p = \frac{\frac{h_p}{t}}{28,4 \times \sqrt{\frac{235}{f_y}} \times \sqrt{k_\sigma}} = 1,356$$

Součinitel boulení

$$\text{pro } \bar{\lambda}_p \leq 0,673 \quad \rho = 1,0$$

$$\text{pro } \bar{\lambda}_p > 0,673 \quad \rho = \frac{\bar{\lambda}_p - 0,055(3+\Psi)}{\bar{\lambda}_p^2}$$

$$\rho = 0,618$$

Počáteční účinná šířka pásnice

$$h_{\text{eff}} = \rho \times h_p = 60,82 \text{ mm}$$

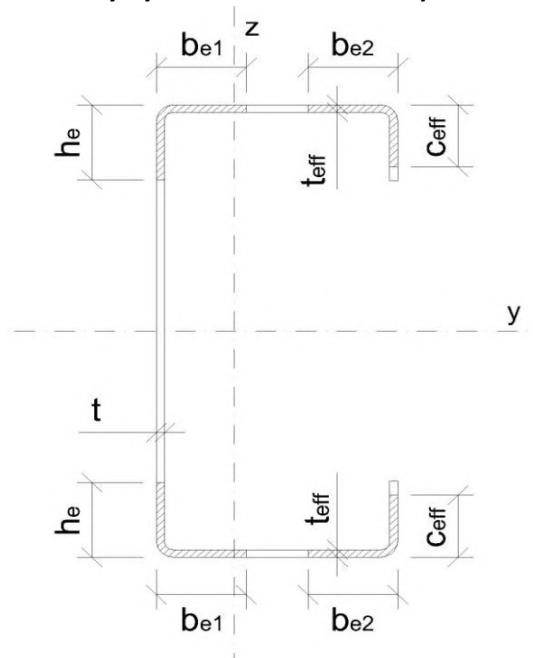
Účinná šířka

$$h_{\text{ei}} = \frac{h_{\text{eff}}}{2}$$

$$h_{\text{e1}} = 30,41 \text{ mm}$$

$$h_{\text{e2}} = 30,41 \text{ mm}$$

Parametry výsledného efektivního průřezu



Efektivní plocha průřezu

$$A_{\text{eff}} = 216,728 \text{ mm}^2$$

Plná plocha průřezu

$$A_g = 306,322 \text{ mm}^2$$

Poměr efektivní a plné plochy průřezu

$$\beta_a = 0,71$$

Souřadnice těžiště plného průřezu ve směru z

$$c_z = 11,77 \text{ mm}$$

Souřadnice těžiště efektivního průřezu ve směru z

$$c_{z,\text{eff}} = 12,65 \text{ mm}$$

Posun těž. osy z-z v důsledku působení osově síly

$$e_{N,z} = 0,87 \text{ mm}$$

Moment setrvačnosti k ose y pro plný průřez

$$I_y = 472417 \text{ mm}^4$$

Poloměr setrvačnosti k ose y pro plný průřez

$$i_y = 39,27 \text{ mm}$$

Moment setrvačnosti k ose z pro plný průřez

$$I_z = 68268 \text{ mm}^4$$

Poloměr setrvačnosti k ose z pro plný průřez

$$i_z = 14,93 \text{ mm}$$

**Vzpěrná únosnost efektivního průřezu****Rovinný vzpěr kolmo k ose y**

obě pásnice jsou drženy pláštěm,  
je bráněno vyboč. ve směru měkké osy

$$\lambda_y = \frac{L_{cr,y}}{i_y} = 15,915$$

$$\lambda_1 = 93,9 \times \sqrt{\frac{235}{f_{yk}}} = 76,94$$

$$\bar{\lambda}_y = \frac{\lambda_y}{\lambda_1} \times \sqrt{\beta_a} = 0,17$$

Součinitel vzpěrnosti

$$\alpha = 0,34$$

$$\phi = 0,5 \times [ 1 + \alpha ( \bar{\lambda}_y - 0,2 ) + \bar{\lambda}_y^2 ]$$

$$\phi = 0,5107$$

$$\chi = \frac{1}{\phi + \sqrt{\phi^2 + \bar{\lambda}_y^2}} = 0,95$$

Vzpěrná únosnost bez prostorového vzpěru

$$N_{b,Rd} = \frac{\chi \times A_{eff} \times f_{yk}}{\gamma_{M0}}$$

$$N_{b,y,Rd} = 72,23 \text{ kN}$$

**Rovinný vzpěr kolmo k ose z**

obě pásnice jsou drženy pláštěm,  
je bráněno vyboč. ve směru měkké osy

$$\lambda_z = \frac{L_{cr,z}}{i_z} = 23,445$$

$$\lambda_1 = 93,9 \times \sqrt{\frac{235}{f_{yk}}} = 76,94$$

$$\bar{\lambda}_z = \frac{\lambda_z}{\lambda_1} \times \sqrt{\beta_a} = 0,26$$

Součinitel vzpěrnosti

$$\alpha = 0,34$$

$$\phi = 0,5 \times [ 1 + \alpha ( \bar{\lambda}_z - 0,2 ) + \bar{\lambda}_z^2 ]$$

$$\phi = 0,5424$$

$$\chi = \frac{1}{\phi + \sqrt{\phi^2 + \bar{\lambda}_z^2}} = 0,88$$

Vzpěrná únosnost bez prostorového vzpěru

$$N_{b,Rd} = \frac{\chi \times A_{eff} \times f_{yk}}{\gamma_{M0}}$$

$$N_{b,z,Rd} = 66,40 \text{ kN}$$

**Prostorový vzpěr**

Výšečový deviační moment

$$I_{wy} = \iint_A \omega z dA$$

$$I_{w,y} = 6265340,19 \text{ mm}^5$$

Vzdálenost středu smyku od stojiny

$$c_y = \frac{I_{w,y}}{I_y} = 13,26 \text{ mm}$$

Výšečový moment setrvačnosti

$$I_w = \iint_A \omega^2 dA$$

$$a = 653$$

$$b = -1956$$

$$c = -2445$$

$$I_w = 301626030 \text{ mm}^6$$

Moment setrvačnosti v prost. kroucení

$$I_t = \frac{1}{3} \sum b_i \times t_i^3$$

$$I_t = 248,488 \text{ mm}^4$$

Vzdálenost středu smyku od těžiště

$$y_0 = c_y + c_z = 25,04 \text{ mm}$$

$$i_0^2 = i_y^2 + i_z^2 + y_0^2$$

$$i_0^2 = 2391,94 \text{ mm}^2$$

Kritické napětí pro vybočení zkroucením

$$\sigma_{cr,T} = \frac{1}{A_g i_0^2} \left( G I_t + \frac{\pi^2 E I_w}{L_t^2} \right)$$

$$\sigma_{cr,T} = 2211,64 \text{ Mpa}$$

Kritické napětí pro vybočení kolmo k ose

$$\sigma_{cr,y} = \frac{\pi^2 \times E}{\left( \frac{L_y}{i_y} \right)^2} = 8183 \text{ Mpa}$$

$$\beta = 1 - \left( \frac{y_0}{i_0} \right)^2$$

$$\beta = 0,74$$

Kritické napětí pro prostorový vzpěr

$$\sigma_{cr,TF} = \frac{1}{2\beta} \left( \left( \sigma_{cr,y} + \sigma_{cr,T} \right) - \sqrt{\left( \sigma_{cr,y} + \sigma_{cr,T} \right)^2 - 4\beta \sigma_{cr,y} \sigma_{cr,T}} \right)$$

$$\sigma_{cr,TF} = 2035,09 \text{ Mpa}$$

$$\lambda = \sqrt{\frac{f_y}{\sigma_{cr,TF}} \times \frac{A_{eff}}{A}} = 0,33$$

$$\phi = 0,5 \times [ 1 + \alpha ( \lambda - 0,2 ) + \lambda^2 ]$$

$$\phi = 0,5789$$

$$\chi = \frac{1}{\phi + \sqrt{\phi^2 + \lambda^2}} = 0,95$$

$$\alpha = 0,34$$

Vzpěrná únos. prutu s prostor. vzpěrem

$$N_{b,Rd} = \frac{\chi \times A_{eff} \times f_{yk}}{Y_{M0}}$$

$$N_{b,Rd} = 72,158 \text{ kN}$$

Výsledná vzpěrná únosnost

$$N_{Rd} = 66,403 \text{ kN}$$

**Momentová únosnost horního pasu střešního vazníku -  $M_{z,Rd}$  - záporný**

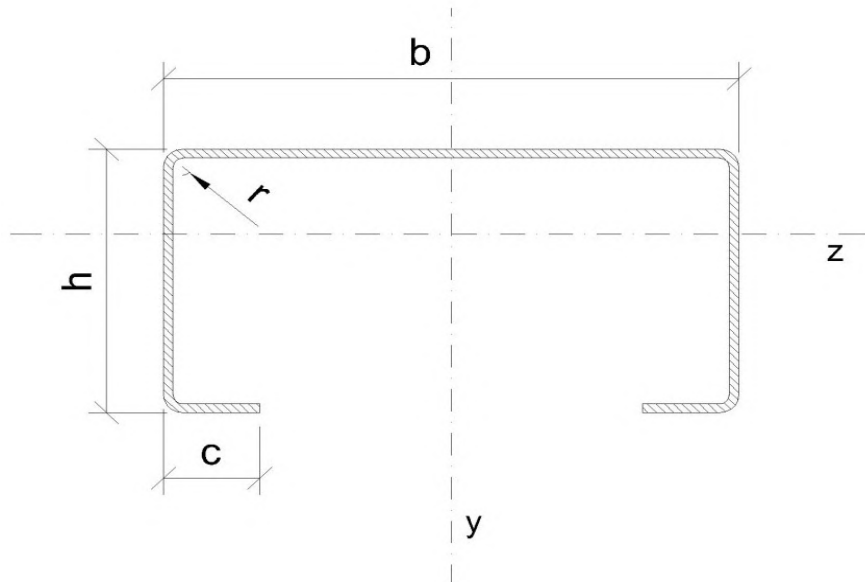
Ocel: S350 GD + Z275

**Vlastnosti materiálu**

Mez kluzu	$f_{yk} =$	350	MPa
Mez pevnosti	$f_{uk} =$	420	MPa
Modul pružnosti	$E =$	210000	MPa
Smykový modul	$G =$	80800	MPa
Poissonova konstanta	$\nu =$	0,3	-

**Geometrie průřezu**

Výška průřezu	$h =$	41,3	mm
Šířka pásnice	$b =$	100	mm
Výška výztuhy	$c =$	10	mm
Nominální tloušťka	$t_{nom} =$	1,6	mm
Výpočetní tloušťka (bez vrstvy zinku Z275 = 0,04mm)	$t =$	1,56	mm
Poloměr zaoblení	$r =$	1,5	mm

**Vnitřní poloměr ohnutí  $r = t$  lze ve výpočtu zanedbat protože:**

$r \leq 5t$	
$1,5 \leq 5 \times 1,16$	<b>VYHOVUJE</b>
$r \leq 0,1b$	
$1,5 \leq 0,1 \times 41,3$	<b>VYHOVUJE</b>

**Geometrie nosníku**

Délka mezi body s nulovým momentem	$L_e =$	1650	mm
Moment			záporný

**Smykové ochabnutí tažené pásnice**

Polovina šířky pásnice	$b_0 = \frac{b_p}{2} =$	49,22	mm
------------------------	-------------------------	-------	----

$$c_p = c - \frac{t}{2}$$

$$c_p = 9,22 \text{ mm}$$

$$b_p = b - t$$

$$b_p = 98,44 \text{ mm}$$

$$h_p = h - t$$

$$h_p = 39,74 \text{ mm}$$

Limitní šířka pásnice

$$\frac{L_e}{50} = 33 \text{ mm}$$

Nastává smykové ochabnutí

ANO

$$\kappa = \frac{b_0}{L_e} = 0,060$$

Součinitel účinné šířky

$$\beta = 0,76 \text{ dle tab. 3.1 (EN 1993-1-5)}$$

**Účinná šířka tažené pásnice**

$$b_{\text{eff}} = b_p \times \beta = 74,38 \text{ mm}$$

**Krok 1**

Součinitel kritického napětí

$$k_\sigma = 4 \text{ dle tab. 4.1 (EN 1993-1-5)}$$

Poměrná stěnová štíhlost

$$\bar{\lambda}_p = \frac{\frac{h_p}{t}}{28,4 \times \sqrt{\frac{235}{f_y}} \times \sqrt{k_\sigma}} = 0,547$$

Poměr napětí na krajích pás.

$$\Psi = 1$$

Součinitel boulení

$$\text{pro } \bar{\lambda}_p \leq 0,673 \quad \rho = 1,0$$

$$\text{pro } \bar{\lambda}_p > 0,673 \quad \rho = \frac{\bar{\lambda}_p - 0,055(3+\Psi)}{\bar{\lambda}_p^2}$$

$$\rho = 1$$

Počáteční účinná šířka pás.

$$h_{\text{eff}} = \rho \times h_p = 39,740 \text{ mm}$$

Účinná šířka

$$h_{ei} = \frac{h_{\text{eff}}}{2}$$

$$h_{e1} = 19,87 \text{ mm}$$

$$h_{e2} = 19,87 \text{ mm}$$

Poměr délky výztuhy a pás.

$$\frac{c_p}{h_p} = 0,232$$

Součinitel kritického napětí

pro  $c_p/h_p \leq 0,35$ 

$$k_\sigma = 0,5$$

pro  $0,35 < c_p/h_p \leq 0,6$ 

$$k_\sigma = 0,5 + 0,83 \sqrt[3]{\left(\frac{c_p}{h_p} - 0,35\right)^2}$$

$$k_\sigma = 0,5$$

Poměrná stěnová štíhlost

$$\bar{\lambda}_p = \frac{\frac{c_p}{t}}{28,4 \times \sqrt{\frac{235}{f_y}} \times \sqrt{k_\sigma}} = 0,359$$

Poměr napětí na krajích pás.

$$\Psi = 1$$

Součinitel boulení

$$\text{pro } \bar{\lambda}_p \leq 0,748 \quad \rho = 1,0$$

$$\text{pro } \bar{\lambda}_p > 0,748 \quad \rho = \frac{\bar{\lambda}_p - 0,188}{\bar{\lambda}_p^2}$$



$$\rho = 1$$

Počáteční účinná šířka pás.  $c_{\text{eff}} = \rho \times c_p = 9,22 \text{ mm}$

Těžiště rohu s výztuhou

$$y_t = c_p - \frac{c_{\text{eff}} \times h_{e2} + \frac{c_{\text{eff}}^2}{2}}{c_{\text{eff}} + h_{e2}} = 1,4611 \text{ mm}$$

$$h_1 = h_p - h_{e2} - \left( \frac{c_{\text{eff}} \times h_{e2} + \frac{h_{e2}^2}{2}}{c_{\text{eff}} + h_{e2}} \right)$$

$$h_1 = 32,95 \text{ mm}$$

Plocha rohu s výztuhou  $A_s = t \times (c_{\text{eff}} + h_{e2}) = 45,38 \text{ mm}^2$

Moment setrv. rohu s výztuhou

$$I_s = \frac{1}{12} h_{e2} t^3 + h_{e2} t y_t^2 + \frac{1}{12} t c_{\text{eff}}^3 + t c_{\text{eff}} \left( \frac{c_{\text{eff}}}{2} - y_t \right)^2$$

$$I_s = 316,97 \text{ mm}^4$$

Pérová tuhost výztuhy

$$K = \frac{E t^3}{4 \times (1 - \nu^2)} \times \frac{1}{h_1^2 b_p + h_1^3 + 0,5 h_1 h_2 b_p k_f}$$

$$K = 1,2711$$

$k_f = 0,0$   
ohýbaný průř.

Kritické napětí okrajové výztuhy

$$\sigma_{\text{cr},s} = \frac{2 \times \sqrt{K \times E \times I_s}}{A_s} = 405,39 \text{ Mpa}$$

Poměrná štíhlost

$$\bar{\lambda}_d = \sqrt{\frac{f_{yk}}{\sigma_{\text{cr},s}}} = 0,929$$

Součinitel vzpěrnosti

pro  $\bar{\lambda}_d \leq 0,65$   $\chi_d = 1,0$

pro  $0,65 < \bar{\lambda}_d < 1,38$

$$\chi_d = 1,47 - 0,723 \bar{\lambda}_d$$

pro  $\bar{\lambda}_d \geq 1,38$   $\chi_d = \frac{0,66}{\bar{\lambda}_d}$

$$\chi_d = 0,798$$

Max. tlak. napětí ve stěně

$$\sigma_{\text{com}} = \chi_d \times f_{yk} = 279,37 \text{ Mpa}$$

## Krok 2

Poměrná stěnová štíhlost

$$\bar{\lambda}_{p,\text{red}} = \bar{\lambda}_p \times \sqrt{\chi_d} = 0,489$$

Poměr napětí na krajích pás.

$$\psi = 1$$

Součinitel boulení

pro  $\bar{\lambda}_p \leq 0,673$   $\rho = 1,0$

pro  $\bar{\lambda}_p > 0,673$   $\rho = \frac{\bar{\lambda}_p - 0,055(3+\psi)}{\bar{\lambda}_p^2}$

$$\rho = 1$$

Počáteční účinná šířka pás.  $h_{\text{eff}} = \rho \times h_p = 39,740 \text{ mm}$

Účinná šířka  $h_{ei} = \frac{b_{\text{eff}}}{2}$

$$h_{e1} = 19,87 \text{ mm}$$

$$h_{e2} = 19,87 \text{ mm}$$

Poměrná stěnová štíhlost  $\bar{\lambda}_{p,\text{red}} = \bar{\lambda}_p \times \sqrt{\chi_d} = 0,321$

Poměr napětí na krajích pás.  $\Psi = 1$

Součinitel boulení pro  $\bar{\lambda}_p \leq 0,748$   $\rho = 1,0$

pro  $\bar{\lambda}_p > 0,748$   $\rho = \frac{\bar{\lambda}_p - 0,188}{\bar{\lambda}_p^2}$

$$\rho = 1$$

Počáteční účinná šířka pás.  $c_{\text{eff}} = \rho \times c_p = 9,22 \text{ mm}$

Těžiště rohu s výztuhou

$$y_t = c_p - \frac{c_{\text{eff}} \times h_{e2} + \frac{c_{\text{eff}}^2}{2}}{c_{\text{eff}} + h_{e2}} = 1,4611 \text{ mm}$$

$$h_1 = h_p - h_{e2} - \left( \frac{c_{\text{eff}} \times h_{e2} + \frac{h_{e2}^2}{2}}{c_{\text{eff}} + h_{e2}} \right)$$

$$h_1 = 32,95 \text{ mm}$$

Plocha rohu s výztuhou  $A_s = t \times (c_{\text{eff}} + h_{e2}) = 45,38 \text{ mm}^2$

Moment setrv. rohu s výztuhou

$$I_s = \frac{1}{12} h_{e2} t^3 + h_{e2} t y_t^2 + \frac{1}{12} t c_{\text{eff}}^3 + t c_{\text{eff}} \left( \frac{c_{\text{eff}}}{2} - y_t \right)^2$$

$$I_s = 316,97 \text{ mm}^4$$

Pérová tuhost výztuhy

$$K = \frac{E t^3}{4 \times (1 - \nu^2)} \times \frac{1}{h_1^2 b_p + h_1^3 + 0,5 h_1 h_2 b_p k_f}$$

$$K = 1,271$$

Kritické napětí okrajové výztuhy

$$\sigma_{\text{cr},s} = \frac{2 \times \sqrt{K \times E \times I_s}}{A_s} = 405,39 \text{ Mpa}$$

Poměrná štíhlost  $\bar{\lambda}_d = \sqrt{\frac{f_{yk}}{\sigma_{\text{cr},s}}} = 0,929$

Součinitel vzpěrnosti pro  $\bar{\lambda}_d \leq 0,65$   $\chi_d = 1,0$

$$\text{pro } 0,65 < \bar{\lambda}_d < 1,38$$

$$\chi_d = 1,47 - 0,723 \bar{\lambda}_d$$

$$\text{pro } \bar{\lambda}_d \geq 1,38 \quad \chi_d = \frac{0,66}{\bar{\lambda}_d}$$

$$\chi_d = 0,798$$

$$\text{Max. tlak. napětí ve stěně} \quad \sigma_{\text{com}} = \chi_d \times f_{yk} = 279,37 \text{ Mpa}$$

**Krok 3**

$$\text{Poměrná stěnová štíhlost} \quad \bar{\lambda}_{p,\text{red}} = \bar{\lambda}_p \times \sqrt{\chi_d} = 0,489$$

$$\text{Poměr napětí na krajích pás.} \quad \Psi = 1$$

$$\text{Součinitel boulení} \quad \text{pro } \bar{\lambda}_p \leq 0,673 \quad \rho = 1,0$$

$$\text{pro } \bar{\lambda}_p > 0,673 \quad \rho = \frac{\bar{\lambda}_p - 0,055(3+\Psi)}{\bar{\lambda}_p^2}$$

$$\rho = 1$$

$$\text{Počáteční účinná šířka pás.} \quad h_{\text{eff}} = \rho \times h_p = 39,740 \text{ mm}$$

$$\text{Účinná šířka} \quad h_{ei} = \frac{h_{\text{eff}}}{2}$$

$$h_{e1} = 19,87 \text{ mm}$$

$$h_{e2} = 19,87 \text{ mm}$$

$$\text{Poměrná stěnová štíhlost} \quad \bar{\lambda}_{p,\text{red}} = \bar{\lambda}_p \times \sqrt{\chi_d} = 0,321$$

$$\text{Poměr napětí na krajích pás.} \quad \Psi = 1$$

$$\text{Součinitel boulení} \quad \text{pro } \bar{\lambda}_p \leq 0,748 \quad \rho = 1,0$$

$$\text{pro } \bar{\lambda}_p > 0,748 \quad \rho = \frac{\bar{\lambda}_p - 0,188}{\bar{\lambda}_p^2}$$

$$\rho = 1$$

$$\text{Počáteční účinná šířka pás.} \quad c_{\text{eff}} = \rho \times c_p = 9,22 \text{ mm}$$

Těžiště rohu s výztuhou

$$y_t = c_p - \frac{c_{\text{eff}} \times h_{e2} + \frac{c_{\text{eff}}^2}{2}}{c_{\text{eff}} + h_{e2}} = 1,4611 \text{ mm}$$

$$h_1 = h_p - h_{e2} - \left( \frac{c_{\text{eff}} \times h_{e2} + \frac{h_{e2}^2}{2}}{c_{\text{eff}} + h_{e2}} \right)$$

$$h_1 = 32,95 \text{ mm}$$

$$\text{Plocha rohu s výztuhou} \quad A_s = t \times (c_{\text{eff}} + h_{e2}) = 45,38 \text{ mm}^2$$

Moment setrv. rohu s výztuhou

$$I_s = \frac{1}{12} h_{e2} t^3 + h_{e2} t y_t^2 + \frac{1}{12} t c_{\text{eff}}^3 + t c_{\text{eff}} \left( \frac{c_{\text{eff}}}{2} - y_t \right)^2$$

$$I_s = 316,97 \text{ mm}^4$$

Pérová tuhost výztuhy

$$K = \frac{Et^3}{4 \times (1-\nu^2)} \times \frac{1}{h_1^2 b_p + h_1^3 + 0,5 h_1 h_2 b_p k_f}$$

$$K = 1,271$$

Kritické napětí okrajové výztuhy

$$\sigma_{cr,s} = \frac{2 \times \sqrt{K \times E \times I_s}}{A_s} = 405,39 \text{ Mpa}$$

Poměrná štíhlost

$$\bar{\lambda}_d = \sqrt{\frac{f_{yk}}{\sigma_{cr,s}}} = 0,929$$

Součinitel vzpěrnosti

$$\text{pro } \bar{\lambda}_d \leq 0,65 \quad \chi_d = 1,0$$

$$\text{pro } 0,65 < \bar{\lambda}_d < 1,38$$

$$\chi_d = 1,47 - 0,723 \bar{\lambda}_d$$

$$\text{pro } \bar{\lambda}_d \geq 1,38 \quad \chi_d = \frac{0,66}{\bar{\lambda}_d}$$

$$\chi_d = 0,798$$

Max. tlak. napětí ve stěně

$$\sigma_{com} = \chi_d \times f_{yk} = 279,37 \text{ Mpa}$$

**Konec iterace**

Redukovaná tloušťka výztuhy

$$t_{red} = \chi_d \times t = 1,2452 \text{ mm}$$

**Smykové ochabnutí tlačené pásnice**

$$A_{eff} = A_{c,eff} \beta^k \geq A_{c,eff} \beta$$

Polovina šířky pásnice

$$b_0 = \frac{b_p}{2} = 49,22 \text{ mm}$$

Limitní šířka pásnice

$$\frac{L_e}{50} = 33 \text{ mm}$$

Nastává smykové ochabnutí

ANO

$$\kappa = \frac{b_0}{L_e} = 0,060$$

Součinitel účinné šířky

$$\beta = 0,76 \text{ dle tab. 3.1 (EN 1993-1-5)}$$

Redukovaná tloušťka výztuhy

(včetně smyk. ochabnutí)

$$t_{red} = 1,2246 \text{ mm}$$

**Boulení vislé stěny**

Původní výška těžiště průřezu

$$c_z = \frac{b_p \times h_p + 2 \times h_p \times \frac{h_p}{2}}{b_p + 2 \times h_p + 2 \times c_p} = 27,97 \text{ mm}$$

$$c_{z,n} = \frac{2 \times h_{e2} \times t_{red} \times \frac{h_{e2}}{2} + 2 \times t \times h_{e1} \times \left( \frac{h_{e1}}{2} + h_{e2} \right) + b_{eff} \times h_p}{t_{red} \times c_{eff} + 2 \times h_{e2} \times t_{red} + 2 \times h_{e1} \times t + b_{eff} \times t}$$

$$c_{z,n} = 29,17 \text{ mm}$$

$$\text{Změna polohy neutrální osy } e = 1,21 \text{ mm}$$

Délka tlačené části stojiny

$$h_t = 29,17 \text{ mm}$$

$$\text{Poměr napětí v taž. a tlač. pásnici } \psi = \frac{h_p - h_t}{-h_t} = -0,36$$

$$\begin{aligned} \text{Součinitel kritického napětí } k_\sigma &= 7,81 - 6,29 \psi + 9,78 \psi^2 \\ k_\sigma &= 11,37 \end{aligned}$$

Poměrná stěnová štíhlost

$$\bar{\lambda}_p = \frac{h_t}{t} \times \sqrt{\frac{12 \times (1 - \nu^2) f_{yb}}{\pi^2 E k_\sigma}} = 0,238$$

Součinitel boulení

$$\text{pro } \bar{\lambda}_p \leq 0,673 \quad \rho = 1,0$$

$$\text{pro } \bar{\lambda}_p > 0,673 \quad \rho = \frac{\bar{\lambda}_p - 0,055(3+\psi)}{\bar{\lambda}_p^2}$$

$$\rho = 1,000$$

Počáteční účinná výška stojiny

$$h_{eff} = \rho \times h_t = 29,172 \text{ mm}$$

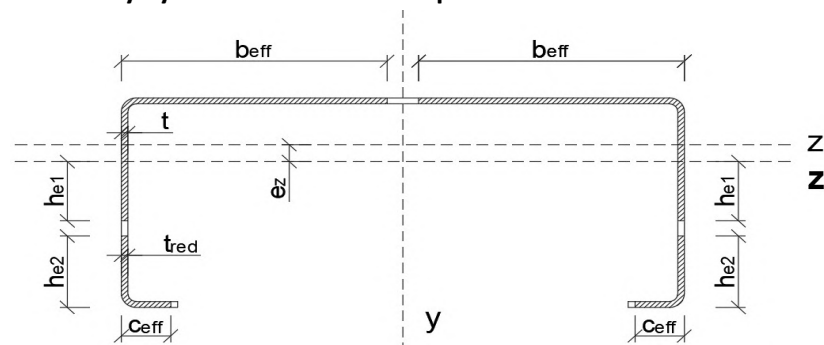
Účinná výška 1

$$h_{e1} = 0,4 \quad h_{eff} = 11,67 \text{ mm}$$

Účinná výška 2

$$h_{e2} = 0,6 \quad h_{eff} = 17,50 \text{ mm}$$

### Parametry výsledného efektivního průřezu



$$\text{Původní výška těžiště průřezu } c_z = 27,97 \text{ mm}$$

$$\text{Nová výška těžiště průřezu } c_{z,n} = 29,17 \text{ mm}$$

$$\text{Posun těžiště průřezu } e_z = 1,21 \text{ mm}$$

$$\text{Moment setrvačnosti k ose z } I_{eff,z} = 54051,67 \text{ mm}^4$$

$$\text{Průřezový modul k ose z } W_{eff,z} = 1852,86 \text{ mm}^3$$

### Moment únosnosti

$$M_{z,Rd} = W_{eff,z} \frac{f_{yk}}{\gamma_{M1}} = 0,65 \text{ kNm}$$

**Momentová únosnost horního pasu střešního vazníku -  $M_{z,Rd}$  - kladný**

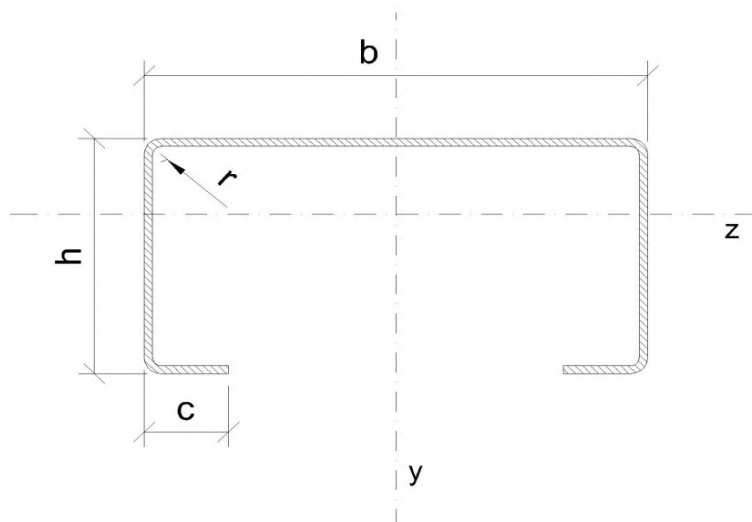
Ocel: S350 GD + Z275

**Vlastnosti materiálu**

Mez kluzu	$f_{yk} =$	350	MPa
Mez pevnosti	$f_{uk} =$	420	MPa
Modul pružnosti	$E =$	210000	MPa
Smykový modul	$G =$	80800	MPa
Poissonova konstanta	$\nu =$	0,3	-

**Geometrie průřezu**

Výška průřezu	$h =$	41,3	mm
Šířka pásnice	$b =$	100	mm
Výška výztuhy	$c =$	10	mm
Nominální tloušťka	$t_{nom} =$	1,6	mm
Výpočetní tloušťka (bez vrstvy zinku Z275 = 0,04mm)	$t =$	1,56	mm
Poloměr zaoblení	$r =$	1,5	mm

**Vnitřní poloměr ohnutí  $r = t$  lze ve výpočtu zanedbat protože:**

$$r \leq 5t$$

$$1,5 \leq 5 \times 1,16 \quad \text{VYHOVUJE}$$

$$r \leq 0,1b$$

$$1,5 \leq 0,1 \times 41,3 \quad \text{VYHOVUJE}$$

**Geometrie nosníku**

Délka mezi body s nulovým momentem	$L_e =$	1650	mm
Moment (k - kladný/ z - záporný)	$k$		

**Smykové ochabnutí tažené pásnice**

$$\text{Šířka pásnice} \quad c_0 = c_p = 9,22 \quad \text{mm}$$

$$\text{Limitní šířka pásnice} \quad \frac{L_e}{50} = 33 \quad \text{mm}$$

$$b_p = b - t$$

$$b_p = 98,44 \text{ mm}$$

$$c_p = c - \frac{t}{2}$$

$$c_p = 9,22 \text{ mm}$$

$$h_p = h - t$$

$$h_p = 39,74 \text{ mm}$$

Nastává smykové ochabnutí

NE

Součinitel účinné šířky

$$\kappa = \frac{c_0}{L_e} = 0,006$$

**Účinná šířka tažené pásnice**

$$\beta = 1,00 \text{ dle tab. 3.1 (EN 1993-1-5)}$$

**Boulení tlačené pásnice**

$$c_{\text{eff}} = c_p \times \beta = 9,22 \text{ mm}$$

Součinitel kritického napětí

$$k_{\sigma} = 4 \text{ dle tab. 4.1 (EN 1993-1-5)}$$

Poměrná stěnová štíhlost

$$\lambda_p = \frac{b_p}{t} \times \sqrt{\frac{12 (1 - \nu^2) f_{yb}}{\pi^2 E k_{\sigma}}}$$

$$\lambda_p = 1,35$$

Poměr napětí na krajích pás.

$$\Psi = 1$$

Součinitel boulení

$$\text{pro } \lambda_p \leq 0,673 \quad \rho = 1,0$$

$$\text{pro } \lambda_p > 0,673 \quad \rho = \frac{\lambda_p - 0,055(3+\Psi)}{\lambda_p^2}$$

$$\rho = 0,61823$$

Účinná šířka pás.

$$b_{\text{eff}} = \rho \times b_p = 60,858 \text{ mm}$$

Účinná šířka

$$b_{ei} = \frac{b_{\text{eff}}}{2}$$

$$b_{e1} = 30,429 \text{ mm}$$

$$b_{e2} = 30,429 \text{ mm}$$

**Boulení svislé stěny**

Změna polohy neutrální osy

$$e = \frac{b_p \times h_p + 2 \times h_p \times \frac{h_p}{2}}{b_p + 2 \times h_p + 2 \times c_p} - \frac{b_{e1} \times h_p + b_{e2} \times h_p + 2 \times h_p \times \frac{h_p}{2}}{b_{e1} + b_{e2} + 2 \times h_p + 2 \times c_p}$$

$$e = 2,79 \text{ mm}$$

Délka tlačené části stojiny

$$h_t = h_p - \frac{b_{e1} \times h_p + b_{e2} \times h_p + 2 \times h_p \times \frac{h_p}{2}}{b_{e1} + b_{e2} + 2 \times h_p + 2 \times c_{\text{eff}}} = 14,562 \text{ mm}$$

Poměr napětí v taž. a tlač. pásnici

$$\Psi = \frac{h_p - h_t}{-h_t} = -1,73$$

Součinitel kritického napětí

$$k_{\sigma} = 5,98 \times (1-\Psi)^2$$

$$k_{\sigma} = 44,54$$

Poměrná stěnová štíhlost

$$\bar{\lambda}_p = \frac{h_t}{t} \times \sqrt{\frac{12 \times (1 - \nu^2) f_{yb}}{\pi^2 E k_{\sigma}}} = 0,060$$

Součinitel boulení

$$\text{pro } \bar{\lambda}_p \leq 0,673 \quad \rho = 1,0$$

$$\text{pro } \bar{\lambda}_p > 0,673 \quad \rho = \frac{\bar{\lambda}_p - 0,055(3+\Psi)}{\bar{\lambda}_p^2}$$

$$\rho = 1,000$$

Počáteční účinná šířka stojiny

$$h_{\text{eff}} = \rho \times h_t = 14,562 \text{ mm}$$

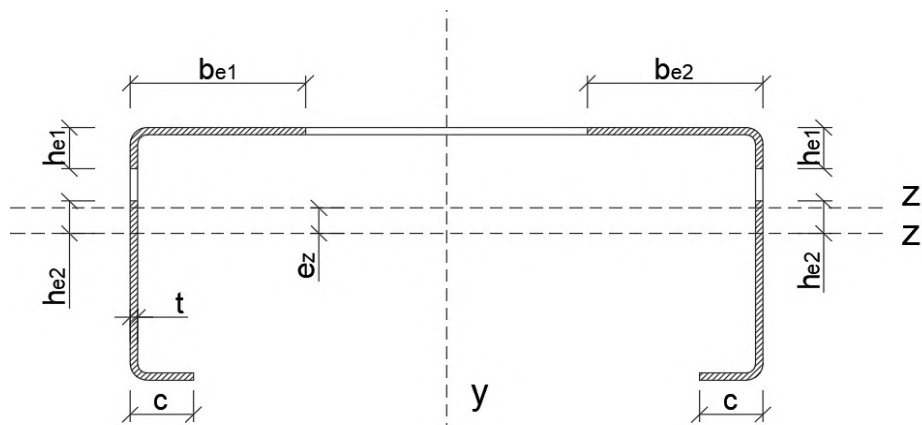
Účinná šířka 1

$$h_{e1} = 0,4 h_{\text{eff}} = 5,82 \text{ mm}$$

Účinná šířka 1

$$h_{e2} = 0,6 h_{\text{eff}} = 8,74 \text{ mm}$$

### Parametry výsledného efektivního průřezu



Původní výška těžiště průřezu

$$c_z = 27,97 \text{ mm}$$

Nová výška těžiště průřezu

$$c_{z,n} = 25,18 \text{ mm}$$

Posun těžiště průřezu

$$e_z = 2,79 \text{ mm}$$

Moment setrvačnosti k ose z

$$I_{\text{eff},z} = 58203,92 \text{ mm}^4$$

Průřezový modul k ose z

$$W_{\text{eff},z} = 2311,67 \text{ mm}^3$$

### Moment únosnosti

$$M_{z,Rd} = W_{\text{eff},z} \frac{f_{yk}}{\gamma_{M1}} = 0,81 \text{ kNm}$$

### Posouzení:

Posouzení kombinace namáhání podle vztahů dle ČSN EN 1993-1-3 vzorec 6.36:

Kombinace tlaku a ohybu:

$$\left( \frac{N_{\text{ed},c}}{N_{c,Rd}} \right)^{0,8} + \left( \frac{M_{y,\text{ed}}}{M_{y,Rd}} \right)^{0,8} + \left( \frac{M_{z,\text{ed}}}{M_{z,Rd}} \right)^{0,8} \leq 1,0$$

$$\left( \frac{7,41}{66,4} \right)^{0,8} + \left( \frac{0}{M_{y,Rd}} \right)^{0,8} + \left( \frac{0,03}{0,81} \right)^{0,8} \leq 1,0$$

$$0,25 \leq 1,0 \quad \text{VYHOVUJE}$$



$$N_{t,Rd} = 107 \text{ kN}$$

Kombinace tahu a ohybu:

$$\left( \frac{N_{ed,t}}{N_{t,Rd}} \right) + \left( \frac{M_{y,ed}}{M_{y,Rd}} \right) + \left( \frac{M_{z,ed}}{M_{z,Rd}} \right) \leq 1,0$$

$$\left( \frac{12,4}{107} \right) + \left( \frac{0}{M_{y,Rd}} \right) + \left( \frac{0,03}{0,65} \right) \leq 1,0$$

$$0,25 \leq 1,0 \quad \text{VYHOVUJE}$$

### Momentová únosnost oslabeného průřezu horního pasu střešního vazníku - záporný moment

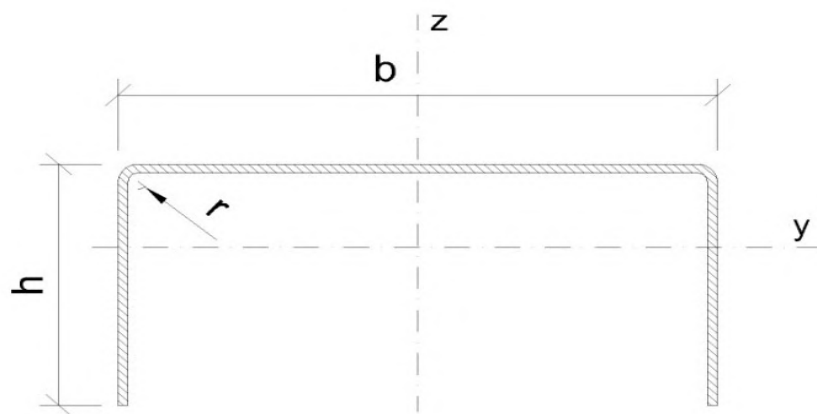
Ocel: S350 GD + Z275

#### Vlastnosti materiálu

Mez kluzu	$f_{yk} =$	350	MPa
Mez pevnosti	$f_{uk} =$	420	MPa
Modul pružnosti	$E =$	210000	MPa
Smykový modul	$G =$	80800	MPa
Poissonova konstanta	$\nu =$	0,3	-

#### Geometrie průřezu

Výška průřezu	$h =$	41,3	mm
Šířka pásnice	$b =$	100	mm
Výška výztuhy	$c =$	10	mm
Nominální tloušťka	$t_{nom} =$	1,6	mm
Výpočetní tloušťka (bez vrstvy zinku Z275 = 0,04mm)	$t =$	1,56	mm
Poloměr zaoblení	$r =$	1,5	mm



Vnitřní poloměr ohnutí  $r = t$  lze ve výpočtu zanedbat protože:

$$r \leq 5t$$

$$1,5 \leq 5 \times 1,16 \quad \text{VYHOVUJE}$$

$$r \leq 0,1b$$

$$1,5 \leq 0,1 \times 41,3 \quad \text{VYHOVUJE}$$

#### Geometrie nosníku

Délka mezi body s nulovým momentem	$L_e =$	1650	mm
Moment			záporný

$$b_p = b - t$$

$$b_p = 98,44 \quad \text{mm}$$

#### Smykové ochabnutí tažené pásnice

Polovina šířka pásnice	$b_0 = \frac{b_p}{2} =$	49,22	mm
------------------------	-------------------------	-------	----

$$c_p = c - \frac{t}{2}$$

$$c_p = 9,22 \text{ mm}$$

$$h_p = h - t$$

$$h_p = 39,74 \text{ mm}$$

Limitní šířka pásnice

$$\frac{L_e}{50} = 33 \text{ mm}$$

Nastává smykové ochabnutí

ANO

$$\kappa = \frac{b_0}{L_e} = 0,03$$

Součinitel účinné šířky (záp. moment)

$$\beta = 0,91 \text{ dle tab. 3.1 (EN 1993-1-5)}$$

Účinná šířka tažené pásnice

$$b_{\text{eff,osl}} = b_p \times \beta = 89,49 \text{ mm}$$

**Boulení vislé stěny**

Poloha neutrální osy plného průřezu

$$z_y = \frac{2 \times h_p \times \frac{h_p}{2}}{2 \times h_p + b_p} = 8,876 \text{ mm}$$

Délka tlačené části stojiny

$$h_t = h_p - z_y = 30,86 \text{ mm}$$

Poměr napětí v taž. a tlač. pásnici

$$\psi = \frac{h_p - h_t}{-h_t} = -0,288$$

Součinitel kritického napětí

$$k_\sigma = 0,57$$

Poměrná stěnová štíhlost

$$\bar{\lambda} = \frac{h_t}{t} \sqrt{\frac{12 (1 - \nu^2) f_{yb}}{\pi^2 E k_\sigma}} = 1,13$$

Součinitel boulení

$$\text{pro } \bar{\lambda}_p \leq 0,748 \quad \rho = 1,0$$

$$\text{pro } \bar{\lambda}_p > 0,748 \quad \rho = \frac{\bar{\lambda}_p - 0,188}{\bar{\lambda}_p^2}$$

$$\rho = 0,771$$

Účinná výška stojiny

$$h_{\text{eff}} = \rho \times h_p = 23,79 \text{ mm}$$

$$h_{e1} = 0,4 \times h_{\text{eff}} = 9,52 \text{ mm}$$

$$h_{e2} = 0,6 \times h_{\text{eff}} = 14,27 \text{ mm}$$

**Parametry výsledného efektivního průřezu**

Původní výška těžiště průřezu

$$c_z = 8,876 \text{ mm}$$

Nová výška těžiště průřezu

$$c_{z,n} = 9,01 \text{ mm}$$

Posun těžiště průřezu

$$e_z = -0,13 \text{ mm}$$

Moment setrvačnosti k ose z

$$I_{\text{eff},z} = 15868,3 \text{ mm}^4$$

Průřezový modul k ose z

$$W_{\text{eff},z} = 552 \text{ mm}^3$$

**Moment únosnosti**

$$M_{z,Rd} = W_{\text{eff},z} \frac{f_{yk}}{\gamma_{M1}} = 0,19 \text{ kNm}$$

### Momentová únosnost oslabeného průřezu horního pasu střešního vazníku - kladný moment

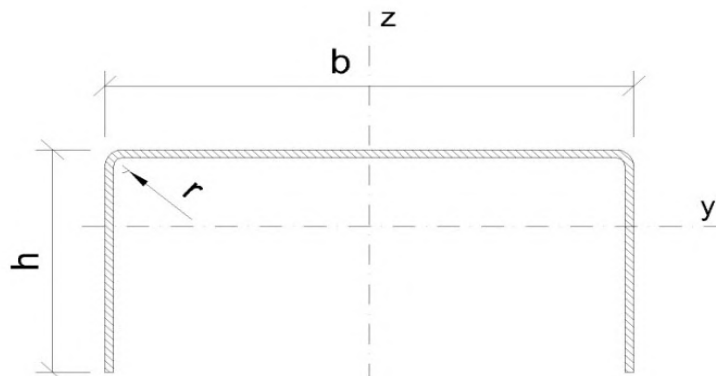
Ocel: S350 GD + Z275

#### Vlastnosti materiálu

Mez kluzu	$f_{yk} =$	350	MPa
Mez pevnosti	$f_{uk} =$	420	MPa
Modul pružnosti	$E =$	210000	MPa
Smykový modul	$G =$	80800	MPa
Poissonova konstanta	$\nu =$	0,3	-

#### Geometrie průřezu

Výška průřezu	$h =$	41,3	mm
Šířka pásnice	$b =$	100	mm
Výška výztuhy	$c =$	10	mm
Nominální tloušťka	$t_{nom} =$	1,6	mm
Výpočetní tloušťka (bez vrstvy zinku Z275 = 0,04mm)	$t =$	1,56	mm
Poloměr zaoblení	$r =$	1,5	mm



Vnitřní poloměr ohnutí  $r = t$  lze ve výpočtu zanedbat protože:

$$r \leq 5t$$

$$1,5 \leq 5 \times 1,16 \quad \text{VYHOVUJE}$$

$$r \leq 0,1b$$

$$1,5 \leq 0,1 \times 41,3 \quad \text{VYHOVUJE}$$

#### Geometrie nosníku

Délka mezi body s nulovým momentem  $L_e = 1650$  mm

Moment (k - kladný/ z - záporný) k

#### Boulení tlačené pásnice

Součinitel kritického napětí  $k_\sigma = 4$  dle tab. 4.1 (EN 1993-1-5)

$$b_p = b - t$$

$$b_p = 98,44 \text{ mm}$$

Poměrná stěnová štíhlost  $\lambda_p = \frac{b_p}{t} \times \sqrt{\frac{12 (1 - \nu^2) f_{yb}}{\pi^2 E k_\sigma}}$

$$\lambda_p = 1,35$$

Poměr napětí na krajích pás.  $\Psi = 1$

Součinitel boulení

$$\text{pro } \lambda_p \leq 0,673 \quad \rho = 1,0$$

$$\text{pro } \lambda_p > 0,673 \quad \rho = \frac{\lambda_p - 0,055(3+\Psi)}{\lambda_p^2}$$

$$\rho = 0,618$$

Účinná šířka pás.  $b_{\text{eff}} = \rho \times b_p = 60,858 \text{ mm}$

Účinná šířka

$$b_{ei} = \frac{b_{\text{eff}}}{2}$$

$$b_{e1} = 30,429 \text{ mm}$$

$$b_{e2} = 30,429 \text{ mm}$$

### Smykové ochabnutí tlačené pásnice

$$\alpha_0 = \sqrt{\frac{t \times b_{\text{eff}}}{t \times b_p}} = 0,79$$

$$\kappa = \alpha_0 \times \frac{b}{L_e} = 0,04691$$

Součinitel účinné šířky (klad. moment)  $\beta_1 = 0,99$  dle tab. 3.1 (EN 1993-1-5)

Součinitel účinné šířky (záp. moment)  $\beta_2 = 0,81$

Součinitel účinné šířky  $\beta = 0,99$

$$c_p = c - \frac{t}{2}$$

$$c_p = 9,22 \text{ mm}$$

Účinná šířka pásnice s vlivem ochabnutí

$$b_{e1} = 30,01 \text{ mm}$$

$$b_{e2} = 30,01 \text{ mm}$$

$$h_p = h - t$$

$$h_p = 39,74 \text{ mm}$$

### Boulení svislé stěny

Poloha neutrální osy plného průřezu

$$z_y = \frac{2 \times h_p \times \frac{h_p}{2}}{2 \times h_p + b_p} = 8,88 \text{ mm}$$

Změna polohy neutrální osy

$$e = \frac{b_p \times z_y - b_{e1} \times z_y - b_{e2} \times z_y}{2 \times h + b_{e1} + b_{e2}} = 2,44521 \text{ mm}$$

Délka tlačené části stojiny

$$h_t = h - \left( \frac{h}{2} + e \right) = 11,321 \text{ mm}$$

Poměr napětí v taž. a tlač. pásnici  $\psi = \frac{h_p - h_t}{-h_t} = -2,51$

Součinitel kritického napětí  $k_\sigma = 23,80$

Poměrná stěnová štíhlost

$$\bar{\lambda}_p = \frac{h_t}{t} \times \sqrt{\frac{12 \times (1 - \nu^2) f_{yb}}{\pi^2 E k_\sigma}} = 0,064$$

Součinitel boulení pro  $\bar{\lambda}_p \leq 0,673$   $\rho = 1,0$

pro  $\bar{\lambda}_p > 0,673$   $\rho = \frac{\bar{\lambda}_p - 0,055(3+\psi)}{\bar{\lambda}_p^2}$

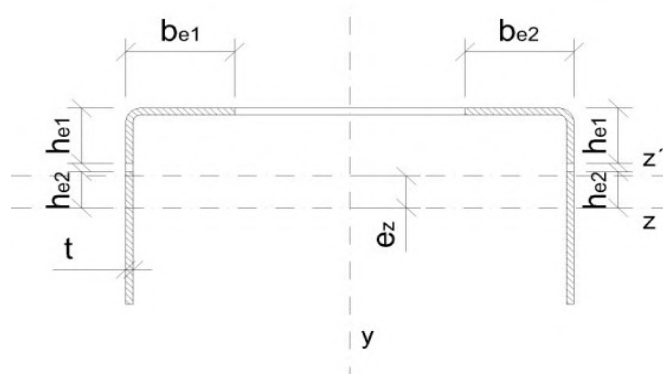
$$\rho = 1,000$$

Počáteční účinná šířka stojiny  $h_{eff} = \rho \times h_t = 11,321 \text{ mm}$

Účinná šířka 1  $h_{e1} = 0,4$   $h_{eff} = 4,53 \text{ mm}$

Účinná šířka 2  $h_{e2} = 0,6$   $h_{eff} = 6,79 \text{ mm}$

### Parametry výsledného efektivního průřezu



Původní výška těžiště průřezu  $c_z = 8,876 \text{ mm}$

Nová výška těžiště průřezu  $c_{z,n} = 11,321 \text{ mm}$

Posun těžiště průřezu  $e_z = -2,445 \text{ mm}$

Moment setrvačnosti k ose z  $I_{eff,z} = 37397,21 \text{ mm}^4$

Průřezový modul k ose z  $W_{eff,z} = 1315,95 \text{ mm}^3$

### Moment únosnosti

$$M_{z,Rd} = \frac{W_{eff,z} f_{yk}}{\gamma_{M1}} = 0,46 \text{ kNm}$$

**Posouzení:**

Kombinace tlaku a ohybu:

$$\left( \frac{N_{ed,c}}{N_{c,Rd}} \right)^{0,8} + \left( \frac{M_{y,ed}}{M_{y,Rd}} \right)^{0,8} + \left( \frac{M_{z,ed}}{M_{z,Rd}} \right)^{0,8} \leq 1,0$$

$$\left( \frac{7,41}{66,4} \right)^{0,8} + \left( \frac{0}{M_{y,Rd}} \right)^{0,8} + \left( \frac{0,03}{0,46} \right)^{0,8} \leq 1,0$$

$$0,28 \leq 1,0 \quad \text{VYHOVUJE}$$

Kombinace tahu a ohybu:

$$\left( \frac{N_{ed,t}}{N_{t,Rd}} \right) + \left( \frac{M_{y,ed}}{M_{y,Rd}} \right) + \left( \frac{M_{z,ed}}{M_{z,Rd}} \right) \leq 1,0$$

$$\left( \frac{12,4}{107,2} \right) + \left( \frac{0}{M_{y,Rd}} \right) + \left( \frac{0,03}{0,19} \right) \leq 1,0$$

$$0,38 \leq 1,0 \quad \text{VYHOVUJE}$$

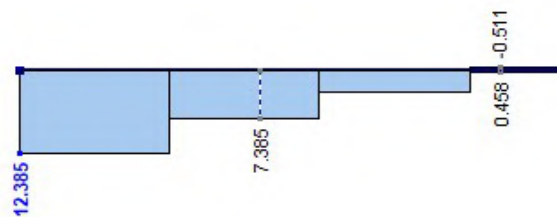
**Přídavný moment od excentricity přípoje v příhradovém vazníku**

$$\Delta N = 5,0 \text{ kN}$$

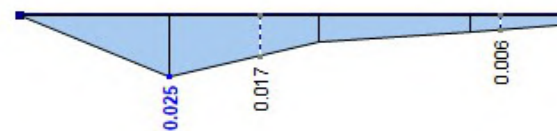
$$e = 36 \text{ mm}$$

$$M = (\Delta N \times e) / 2 = 0,09 \text{ kNm}$$

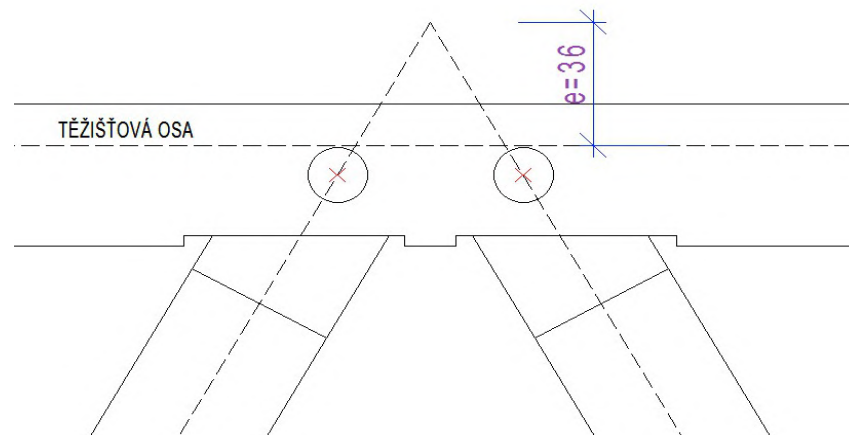
Vnitřní síly - N [kN]



Vnitřní síly - M<sub>z</sub> [kNm]



$$M_z = 0,03 \text{ kNm}$$



$$M_{z,ed} = M_z + M = 0,12 \text{ kNm}$$

**Posouzení:**

Kombinace tlaku a ohybu:

$$\left( \frac{N_{ed,c}}{N_{c,Rd}} \right)^{0,8} + \left( \frac{M_{y,ed}}{M_{y,Rd}} \right)^{0,8} + \left( \frac{M_{z,k,ed}}{M_{z,k,Rd}} \right)^{0,8} \leq 1,0$$

$$0,50 \leq 1,0 \quad \text{VYHOVUJE}$$

Kombinace tahu a ohybu:

$$\left( \frac{N_{ed,t}}{N_{t,Rd}} \right) + \left( \frac{M_{y,ed}}{M_{y,Rd}} \right) + \left( \frac{M_{z,ed}}{M_{z,Rd}} \right) \leq 1,0$$

$$0,72 \leq 1,0 \quad \text{VYHOVUJE}$$



**Smyková únosnost horního pasu střešního vazníku -  $V_{y,Rd}$** 

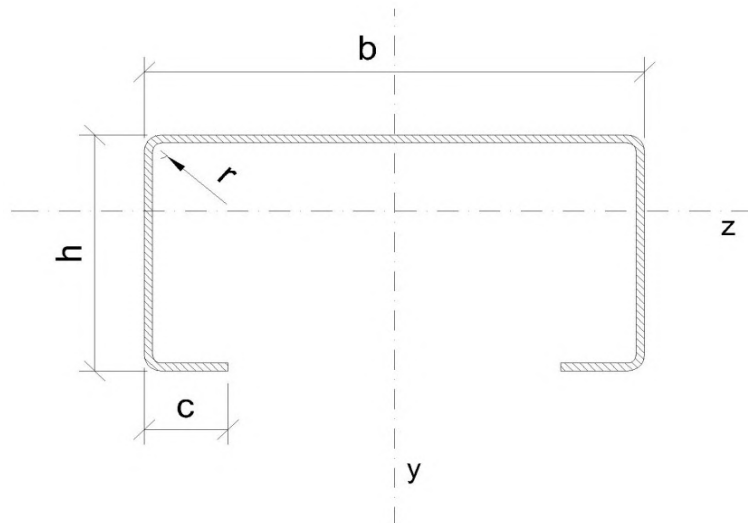
Ocel: S350 GD + Z275

**Vlastnosti materiálu**

Mez kluzu	$f_{yk} =$	350	MPa
Mez pevnosti	$f_{uk} =$	420	MPa
Modul pružnosti	$E =$	210000	MPa
Smykový modul	$G =$	80800	MPa
Poissonova konstanta	$\nu =$	0,3	-

**Geometrie průřezu**

Výška průřezu	$h =$	41,3	mm
Šířka pásnice	$b =$	100	mm
Výška výztuhy	$c =$	10	mm
Nominální tloušťka	$t_{nom} =$	1,6	mm
Výpočetní tloušťka (bez vrstvy zinku Z275 = 0,04mm)	$t =$	1,56	mm
Poloměr zaoblení	$r =$	1,5	mm
Roznášecí délka působícího zatížení	$s_s =$	50	mm
Sklon stojiny vzhledem k pásnicím	$\phi =$	90	°

**Vnitřní poloměr ohnutí  $r = t$  lze ve výpočtu zanedbat protože:**

$$b_p = b - t$$

$$b_p = 98,44 \text{ mm}$$

$$r \leq 5t$$

$$1,5 \leq 5 \times 1,16 \quad \text{VYHOVUJE}$$

$$c_p = c - \frac{t}{2}$$

$$c_p = 9,22 \text{ mm}$$

$$r \leq 0,1b$$

$$1,5 \leq 0,1 \times 41,3 \quad \text{VYHOVUJE}$$

Štíhlost stojiny bez podélných výztuh

$$h_p = h - t$$

$$h_p = 39,74 \text{ mm}$$

$$\lambda_w = 0,346 \frac{h_p}{t} \sqrt{\frac{f_{yb}}{E}} = 0,36$$

Smyková pevnost (bez podporového ztužení)

$$\text{pro } \lambda_w \leq 0,88 \quad \longrightarrow \quad f_{bv} = 0,58 f_{yb}$$

$$\text{pro } 0,83 \lambda_w \leq 1,4 \quad \longrightarrow \quad f_{bv} = 0,48 \frac{f_{yb}}{\lambda_w}$$

$$\text{pro } \lambda_w \leq 0,88 \quad \longrightarrow \quad f_{bv} = 0,67 \frac{f_{yb}}{\lambda_w^2}$$

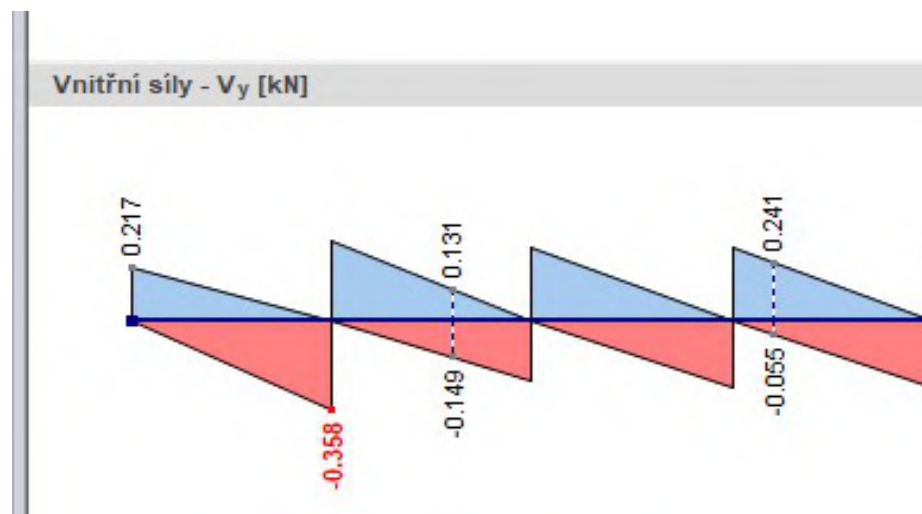
$$f_{bv} = \mathbf{203,00 \text{ Mpa}}$$

Smyková únosnost

$$V_{b,Rd} = 2 \times \frac{\frac{h_p}{\sin\phi} \times t \times f_{bv}}{V_{Mo}} = 25,17 \text{ kN}$$

$$V_{ed} = 0,36 \text{ kN}$$

$$\text{Posouzení: } \frac{V_{ed}}{V_{b,Rd}} = \frac{0,36}{25,17} = 0,01 \quad \text{VYHOVUJE}$$



**Momentová únosnost stropního nosníku -  $M_{y,Rd}$** 

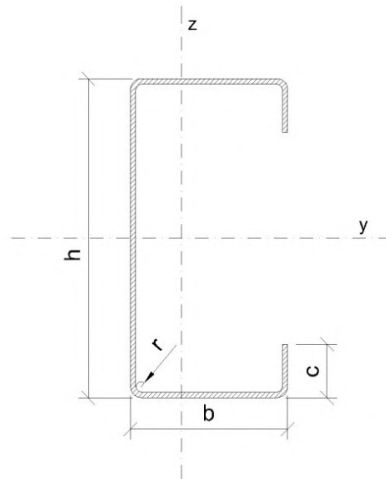
Ocel: S350 GD + Z275

**Vlastnosti materiálu**

Mez kluzu	$f_{yk} =$	350	MPa
Mez pevnosti	$f_{uk} =$	420	MPa
Modul pružnosti	$E =$	210000	MPa
Smykový modul	$G =$	80800	MPa
Poissonova konstanta	$\nu =$	0,3	-

**Geometrie průřezu**

Výška průřezu	$h =$	300	mm
Šířka pásnice	$b =$	82	mm
Výška výztuhy	$c =$	29,8	mm
Nominální tloušťka	$t_{nom} =$	2	mm
Výpočetní tloušťka (bez vrstvy zinku Z275 = 0,04mm)	$t =$	1,91	mm
Poloměr zaoblení	$r =$	3	mm

**Vnitřní poloměr ohnutí  $r = t$  lze ve výpočtu zanedbat protože:**

$$r \leq 5t$$

$$1,5 \leq 5 \times 1,16 \quad \text{VYHOVUJE}$$

$$r \leq 0,1b$$

$$1,5 \leq 0,1 \times 41,3 \quad \text{VYHOVUJE}$$

**Geometrie nosníku**délka mezi body s nulovým momentem  $L_e = 5627$  mm

Moment (k - kladný/ z - záporný) k

**Smykové ochabnutí tažené pásnice**

$$b_p = b - t$$

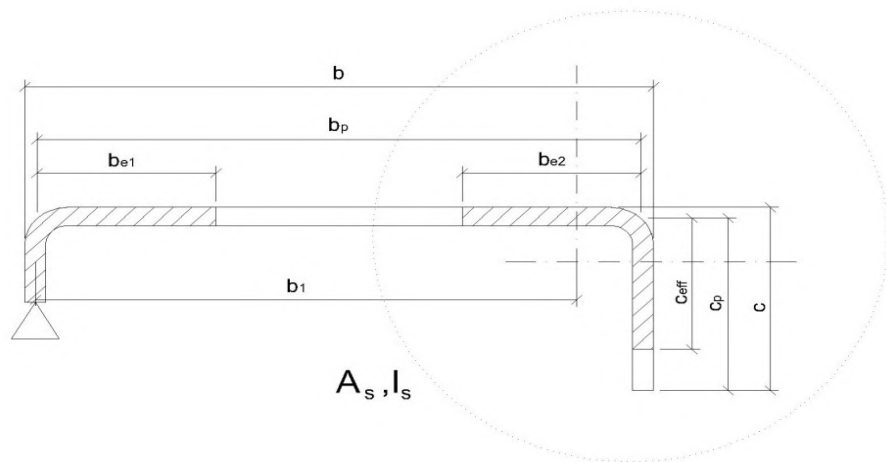
$$b_p = 80,09 \text{ mm}$$

Polovina šířky pásnice

$$b_0 = \frac{b_p}{2} = 40,045 \text{ mm}$$

Limitní šířka pásnice	$\frac{L_e}{50} = 113 \text{ mm}$
Nastává smykové ochabnutí	NE
	$\kappa = \frac{b_0}{L_e} = 0,01$
Součinitel účinné šířky (klad. moment)	$\beta_1 = 1,00$
Součinitel účinné šířky (záp. moment)	$\beta_2 = 1,00$
Součinitel účinné šířky	$\beta = 1,00$
Součinitel účinné šířky	$b_{\text{eff,osl}} = b_p \times \beta = 80,1 \text{ mm}$

### Tlačená pásnice - lokální a distorzní boulení



#### Krok 1

Součinitel kritického napětí  $k_\sigma = 4$  dle tab. 4.1 (EN 1993-1-5)

Poměrná stěnová štíhlost

$$b_p = b - t$$

$$b_p = 80,09 \text{ mm}$$

$$\bar{\lambda}_p = \frac{\frac{b_p}{t}}{28,4 \times \sqrt{\frac{235}{f_y}} \times \sqrt{k_\sigma}} = 0,901$$

Poměr napětí na krajích pás.  $\Psi = 1$

Součinitel boulení

$$\text{pro } \bar{\lambda}_p \leq 0,673 \quad \rho = 1,0$$

$$\text{pro } \bar{\lambda}_p > 0,673 \quad \rho = \frac{\bar{\lambda}_p - 0,055(3+\Psi)}{\bar{\lambda}_p^2}$$

$$\rho = 0,83891$$

Počáteční účinná šířka pás.  $b_{\text{eff}} = \rho \times b_p = 67,188 \text{ mm}$

Účinná šířka

$$b_{ei} = \frac{b_{\text{eff}}}{2}$$

$$b_{e1} = 33,594 \text{ mm}$$

$$b_{e2} = 33,594 \text{ mm}$$

$$c_p = c - \frac{t}{2}$$

$$c_p = 28,85 \text{ mm}$$

Poměr délky výztuhy a pás.  $\frac{c_p}{b_p} = 0,3602$

Součinitel kritického napětí  
pro  $c_p/b_p \leq 0,35$

$$k_\sigma = 0,5$$

pro  $0,35 < c_p/b_p \leq 0,6$

$$k_\sigma = 0,5 + 0,83 \sqrt[3]{\left(\frac{c_p}{b_p} - 0,35\right)^2}$$

$$k_\sigma = 0,54$$

Poměrná stěnová štíhlost

$$\bar{\lambda}_p = \frac{\frac{c_p}{t}}{28,4 \times \sqrt{\frac{235}{f_y}} \times \sqrt{k_\sigma}} = 0,884$$

Poměr napětí na krajích pás.  $\Psi = 1$

Součinitel boulení

pro  $\bar{\lambda}_p \leq 0,748$   $\rho = 1,0$

pro  $\bar{\lambda}_p > 0,748$   $\rho = \frac{\bar{\lambda}_p - 0,188}{\bar{\lambda}_p^2}$

$$\rho = 0,89064$$

Počáteční účinná šířka pás.  $c_{\text{eff}} = \rho \times c_p = 25,69 \text{ mm}$

Těžiště rohu s výztuhou

$$y_t = c_p - \frac{c_{\text{eff}} \times b_{e2} + \frac{c_{\text{eff}}^2}{2}}{c_{\text{eff}} + b_{e2}} = 8,7208 \text{ mm}$$

$$b_1 = b_p - b_{e2} - \left( \frac{c_{\text{eff}} \times b_{e2} + \frac{b_{e2}^2}{2}}{c_{\text{eff}} + b_{e2}} \right)$$

$$b_1 = 70,57 \text{ mm}$$

Plocha rohu s výztuhou  $A_s = t \times (c_{\text{eff}} + b_{e2}) = 113,23 \text{ mm}^2$

Moment setrv. rohu s výztuhou

$$I_s = \frac{1}{12} b_{e2} t^3 + b_{e2} t y_t^2 + \frac{1}{12} t c_{\text{eff}}^3 + t c_{\text{eff}} \left( \frac{c_{\text{eff}}}{2} - y_t \right)^2$$

$$I_s = 8433 \text{ mm}^4$$

Pérová tuhost výztuhy

$$K = \frac{E t^3}{4 \times (1 - \nu^2)} \times \frac{1}{b_1^2 h_p + b_1^3 + 0,5 b_1 b_2 h_p k_f}$$

$$K = 0,1813$$

$k_f = 0,0$   
ohýbaný průř.

$$h_p = h - t$$

$$h_p = 298,09 \text{ mm}$$

Kritické napětí okrajové výztuhy

$$\sigma_{cr,s} = \frac{2 \times \sqrt{K \times E \times I_s}}{A_s} = 316,49 \text{ Mpa}$$

Poměrná štíhlost

$$\bar{\lambda}_d = \sqrt{\frac{f_{yk}}{\sigma_{cr,s}}} = 1,05$$

Součinitel vzpěrnosti

$$\begin{aligned} \text{pro } \bar{\lambda}_d &\leq 0,65 & \chi_d &= 1,0 \\ \text{pro } 0,65 &< \bar{\lambda}_d < 1,38 & & \\ & & \chi_d &= 1,47 - 0,723 \bar{\lambda}_d \\ \text{pro } \bar{\lambda}_d &\geq 1,38 & \chi_d &= \frac{0,66}{\bar{\lambda}_d} \end{aligned}$$

$$\chi_d = 0,71$$

Max. tlak. napětí ve stěně  $\sigma_{com} = \chi_d \times f_{yk} = 248,39 \text{ Mpa}$

**Krok 2**

Poměrná stěnová štíhlost  $\bar{\lambda}_{p,red} = \bar{\lambda}_p \times \sqrt{\chi_d} = 0,759$

Poměr napětí na krajích pás.  $\Psi = 1$

Součinitel boulení

$$\begin{aligned} \text{pro } \bar{\lambda}_p &\leq 0,673 & \rho &= 1,0 \\ \text{pro } \bar{\lambda}_p &> 0,673 & \rho &= \frac{\bar{\lambda}_p - 0,055(3+\Psi)}{\bar{\lambda}_p^2} \\ & & \rho &= 0,936 \end{aligned}$$

Počáteční účinná šířka pás.  $b_{eff} = \rho \times b_p = 74,936 \text{ mm}$

Účinná šířka

$$b_{ei} = \frac{b_{eff}}{2}$$

$$b_{e1} = 37,468 \text{ mm}$$

$$b_{e2} = 37,468 \text{ mm}$$

Poměrná stěnová štíhlost  $\bar{\lambda}_{p,red} = \bar{\lambda}_p \times \sqrt{\chi_d} = 0,745$

Poměr napětí na krajích pás.  $\Psi = 1$

Součinitel boulení

$$\begin{aligned} \text{pro } \bar{\lambda}_p &\leq 0,748 & \rho &= 1,0 \\ \text{pro } \bar{\lambda}_p &> 0,748 & \rho &= \frac{\bar{\lambda}_p - 0,188}{\bar{\lambda}_p^2} \\ & & \rho &= 1 \end{aligned}$$

Počáteční účinná šířka pás.  $c_{eff} = \rho \times c_p = 28,85 \text{ mm}$

Těžiště rohu s výztuhou

$$y_t = c_p - \frac{c_{eff} \times b_{e2} + \frac{c_{eff}^2}{2}}{c_{eff} + b_{e2}} = 6,2735 \text{ mm}$$

$$b_1 = b_p - b_{e2} - \left( \frac{c_{eff} \times b_{e2} + \frac{b_{e2}^2}{2}}{c_{eff} + b_{e2}} \right)$$

$$b_1 = 69,50 \text{ mm}$$

Plocha rohu s výztuhou  $A_s = t \times (c_{eff} + b_{e2}) = 126,66 \text{ mm}^2$

Moment setrv. rohu s výztuhou

$$I_s = \frac{1}{12} b_{e2} t^3 + b_{e2} t y_t^2 + \frac{1}{12} t c_{eff}^3 + t c_{eff} \left( \frac{c_{eff}}{2} - y_t \right)^2$$

$$I_s = 10317 \text{ mm}^4$$

Pérová tuhost výztuhy

$$K = \frac{Et^3}{4 \times (1-\nu^2)} \times \frac{1}{b_1^2 h_p + b_1^3 + 0,5 b_1 b_2 h_p k_f}$$

$$K = 0,187$$

Kritické napětí okrajové výztuhy

$$\sigma_{cr,s} = \frac{2 \times \sqrt{K \times E \times I_s}}{A_s} = 318,22 \text{ Mpa}$$

Poměrná štíhlost

$$\bar{\lambda}_d = \sqrt{\frac{f_{yk}}{\sigma_{cr,s}}} = 1,05$$

Součinitel vzpěrnosti

$$\begin{aligned} \text{pro } \bar{\lambda}_d \leq 0,65 & \quad \chi_d = 1,0 \\ \text{pro } 0,65 < \bar{\lambda}_d < 1,38 & \quad \chi_d = 1,47 - 0,723 \bar{\lambda}_d \\ \text{pro } \bar{\lambda}_d \geq 1,38 & \quad \chi_d = \frac{0,66}{\bar{\lambda}_d} \\ & \quad \chi_d = 0,71 \end{aligned}$$

Max. tlak. napětí ve stěně

$$\sigma_{com} = \chi_d \times f_{yk} = 249,12 \text{ Mpa}$$

### Krok 3

Poměrná stěnová štíhlost

$$\bar{\lambda}_{p,red} = \bar{\lambda}_p \times \sqrt{\chi_d} = 0,760$$

Poměr napětí na krajích pás.

$$\Psi = 1$$

Součinitel boulení

$$\begin{aligned} \text{pro } \bar{\lambda}_p \leq 0,673 & \quad \rho = 1,0 \\ \text{pro } \bar{\lambda}_p > 0,673 & \quad \rho = \frac{\bar{\lambda}_p - 0,055(3+\Psi)}{\bar{\lambda}_p^2} \\ & \quad \rho = 0,935 \end{aligned}$$

Počáteční účinná šířka pás.

$$b_{eff} = \rho \times b_p = 74,871 \text{ mm}$$

Účinná šířka

$$b_{ei} = \frac{b_{eff}}{2}$$

$$b_{e1} = 37,436 \text{ mm}$$

$$b_{e2} = 37,436 \text{ mm}$$

Poměrná stěnová štíhlost

$$\bar{\lambda}_{p,red} = \bar{\lambda}_p \times \sqrt{\chi_d} = 0,746$$

Poměr napětí na krajích pás.

$$\Psi = 1$$

Součinitel boulení

$$\begin{aligned} \text{pro } \bar{\lambda}_p \leq 0,748 & \quad \rho = 1,0 \\ \text{pro } \bar{\lambda}_p > 0,748 & \quad \rho = \frac{\bar{\lambda}_p - 0,188}{\bar{\lambda}_p^2} \\ & \quad \rho = 1 \end{aligned}$$

Počáteční účinná šířka pás.

$$c_{eff} = \rho \times c_p = 28,85 \text{ mm}$$

Těžiště rohu s výztuhou

$$y_t = c_p - \frac{c_{eff} \times b_{e2} + \frac{c_{eff}^2}{2}}{c_{eff} + b_{e2}} = 6,2766 \text{ mm}$$

$$b_1 = b_p - b_{e2} - \left( \frac{c_{eff} \times b_{e2} + \frac{b_{e2}^2}{2}}{c_{eff} + b_{e2}} \right)$$

$$b_1 = 69,52 \text{ mm}$$

Plocha rohu s výztuhou  $A_s = t \times (c_{eff} + b_{e2}) = 126,6 \text{ mm}^2$

Moment setrv. rohu s výztuhou

$$I_s = \frac{1}{12} b_{e2} t^3 + b_{e2} t y_t^2 + \frac{1}{12} t c_{eff}^3 + t c_{eff} \left( \frac{c_{eff}}{2} - y_t \right)^2$$

$$I_s = 10314 \text{ mm}^4$$

Pérová tuhost výztuhy

$$K = \frac{E t^3}{4 \times (1 - \nu^2)} \times \frac{1}{b_1^2 h_p + b_1^3 + 0,5 b_1 b_2 h_p k_f}$$

$$K = 0,187$$

Kritické napětí okrajové výztuhy

$$\sigma_{cr,s} = \frac{2 \times \sqrt{K \times E \times I_s}}{A_s} = 318,27 \text{ Mpa}$$

Poměrná štíhlost

$$\bar{\lambda}_d = \sqrt{\frac{f_{yk}}{\sigma_{cr,s}}} = 1,05$$

Součinitel vzpěrnosti

$$\text{pro } \bar{\lambda}_d \leq 0,65 \quad \chi_d = 1,0$$

$$\text{pro } 0,65 < \bar{\lambda}_d < 1,38$$

$$\chi_d = 1,47 - 0,723 \bar{\lambda}_d$$

$$\text{pro } \bar{\lambda}_d \geq 1,38 \quad \chi_d = \frac{0,66}{\bar{\lambda}_d}$$

$$\chi_d = 0,71$$

Max. tlak. napětí ve stěně  $\sigma_{com} = \chi_d \times f_{yk} = 249,14 \text{ Mpa}$

**Konec iterace**

Redukovaná tloušťka výztuhy  $t_{red} = \chi_d \times t = 1,3596 \text{ mm}$

**Smykové ochabnutí tlačené pásnice**

$$A_{eff} = A_{c,eff} \beta^k \geq A_{c,eff} \beta$$

Redukovaná tloušťka výztuhy

(včetně smyk. ochabnutí)

$$t_{red} = 1,3596 \text{ mm}$$

**Boulení svislé stěny**

Změna polohy neutrální osy

$$e = \frac{t_{red} b_{e2} \frac{h_p}{2} + t_{red} c_{eff} \left( \frac{h_p}{2} - \frac{c_{eff}}{2} \right) + t b_{e1} \frac{h_p}{2} - t b_p \frac{h_p}{2} - t c_p \left( \frac{h_p}{2} - \frac{c_{eff}}{2} \right)}{t_{red} (b_{e2} + c_{eff}) + t (b_{e1} + h + b_p + c_p)}$$

$$e = -7,13 \text{ mm}$$

Délka tlačené části stojiny

$$h_t = \frac{h_p}{2} - e = 156,2 \text{ mm}$$



Poměr napětí v taž. a tlač. pásnici  $\psi = \frac{h_p - h_t}{-h_t} = -0,909$

Součinitel kritického napětí  $k_\sigma = 7,81 - 6,29 \psi + 9,78 \psi^2$   
 $k_\sigma = 21,6$

Poměrná stěnová štíhlost  $\bar{\lambda}_p = \frac{\frac{h_p}{t}}{28,4 \times \sqrt{\frac{235}{f_y}} \times \sqrt{k_\sigma}} = 1,443$

Součinitel boulení pro  $\bar{\lambda}_p \leq 0,673$   $\rho = 1,0$   
 pro  $\bar{\lambda}_p > 0,673$   $\rho = \frac{\bar{\lambda}_p - 0,055(3+\psi)}{\bar{\lambda}_p^2}$   
 $\rho = 0,638$

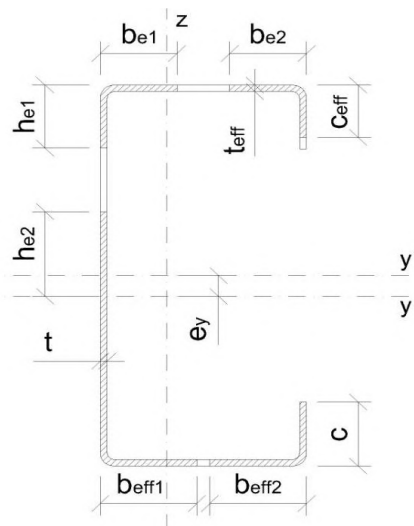
Počáteční účinná šířka stojiny  $h_{\text{eff}} = \rho \times \frac{h_p}{1 - \psi} = 99,6 \text{ mm}$

Účinná šířka 1  $h_{e1} = 0,4 h_{\text{eff}} = 39,8 \text{ mm}$

Účinná šířka 2  $h_{e2} = 0,6 h_{\text{eff}} = 59,8 \text{ mm}$

Tažená část stojiny  $h_{\text{tah}} = 141,9 \text{ mm}$

### Parametry výsledného efektivního průřezu



Posun těžiště průřezu  $e_y = 18,58 \text{ mm}$

Moment setrvačnosti k ose y  $I_{\text{eff},y} = 1,1\text{E}+07 \text{ mm}^2$

Průřezový modul k ose y  $W_{\text{eff},y} = 65218 \text{ mm}^3$

### Moment únosnosti

$$M_{y,Rd} = W_{\text{eff},y} \frac{f_{yk}}{\gamma_{M1}} = 22,83 \text{ kNm}$$

Posouzení:  $\frac{M_{ed}}{M_{y,Rd}} = \frac{18,81}{22,83} = 0,82$  **VYHOVUJE**

**Momentová únosnost stropního nosníku na chodbě -  $M_{y,Rd}$** 

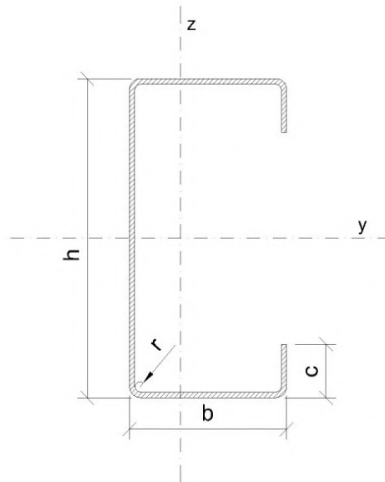
Ocel: S350 GD + Z275

**Vlastnosti materiálu**

Mez kluzu	$f_{yk} =$	350	MPa
Mez pevnosti	$f_{uk} =$	420	MPa
Modul pružnosti	$E =$	210000	MPa
Smykový modul	$G =$	80800	MPa
Poissonova konstanta	$\nu =$	0,3	-

**Geometrie průřezu**

Výška průřezu	$h =$	150	mm
Šířka pásnice	$b =$	45	mm
Výška výztuhy	$c =$	10	mm
Nominální tloušťka	$t_{nom} =$	1,6	mm
Výpočetní tloušťka (bez vrstvy zinku Z275 = 0,04mm)	$t =$	1,56	mm
Poloměr zaoblení	$r =$	1,5	mm

**Vnitřní poloměr ohnutí  $r = t$  lze ve výpočtu zanedbat protože:**

$$r \leq 5t$$

$$1,5 \leq 5 \times 1,16 \quad \text{VYHOVUJE}$$

$$r \leq 0,1b$$

$$1,5 \leq 0,1 \times 41,3 \quad \text{VYHOVUJE}$$

**Geometrie nosníku**délka mezi body s nulovým momentem  $L_e = 2805 \text{ mm}$ Moment (k - kladný/ z - záporný)  $k$ **Smykové ochabnutí tažené pásnice**

$$b_p = b - t$$

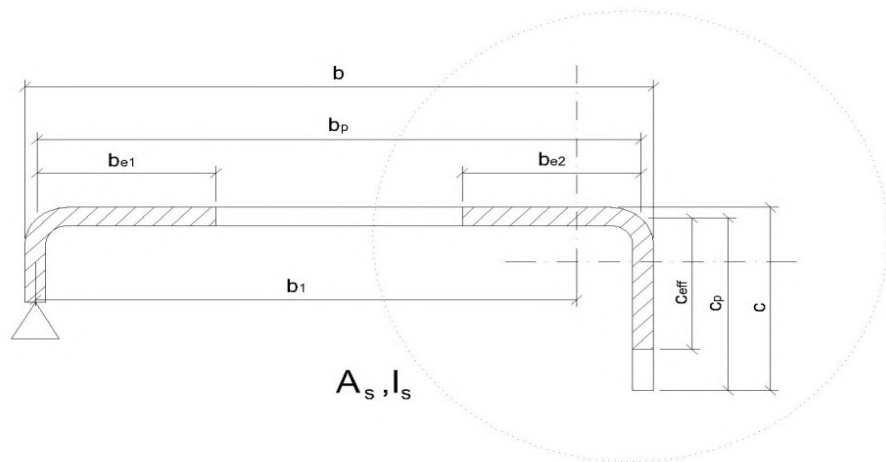
$$b_p = 43,44 \text{ mm}$$

Polovina šířky pásnice

$$b_0 = \frac{b_p}{2} = 21,72 \text{ mm}$$

Limitní šířka pásnice	$\frac{L_e}{50} = 56,1 \text{ mm}$
Nastává smykové ochabnutí	NE
	$\kappa = \frac{b_0}{L_e} = 0,01$
Součinitel účinné šířky (klad. moment)	$\beta_1 = 1,00$
Součinitel účinné šířky (záp. moment)	$\beta_2 = 1,00$
Součinitel účinné šířky	$\beta = 1,00$
Součinitel účinné šířky	$b_{\text{eff,osl}} = b_p \times \beta = 43,4 \text{ mm}$

### Tlačená pásnice - lokální a distorzní boulení



#### Krok 1

Součinitel kritického napětí  $k_\sigma = 4$  dle tab. 4.1 (EN 1993-1-5)

Poměrná stěnová štíhlost

$$\bar{\lambda}_p = \frac{\frac{b_p}{t}}{28,4 \times \sqrt{\frac{235}{f_y}} \times \sqrt{k_\sigma}} = 0,598$$

Poměr napětí na krajích pás.  $\Psi = 1$

Součinitel boulení

$$\text{pro } \bar{\lambda}_p \leq 0,673 \quad \rho = 1,0$$

$$\text{pro } \bar{\lambda}_p > 0,673 \quad \rho = \frac{\bar{\lambda}_p - 0,055(3+\Psi)}{\bar{\lambda}_p^2}$$

$$\rho = 1$$

Počáteční účinná šířka pás.  $b_{\text{eff}} = \rho \times b_p = 43,440 \text{ mm}$

Účinná šířka

$$b_{ei} = \frac{b_{\text{eff}}}{2}$$

$$b_{e1} = 21,72 \text{ mm}$$

$$b_{e2} = 21,72 \text{ mm}$$

$$c_p = c - \frac{t}{2}$$

$$c_p = 9,22 \text{ mm}$$

Poměr délky výztuhy a pás.  $\frac{c_p}{b_p} = 0,2122$

Součinitel kritického napětí  
pro  $c_p/b_p \leq 0,35$

$$k_\sigma = 0,5$$

pro  $0,35 < c_p/b_p \leq 0,6$

$$k_\sigma = 0,5 + 0,83 \sqrt[3]{\left(\frac{c_p}{b_p} - 0,35\right)^2}$$

$$k_\sigma = 0,5$$

Poměrná stěnová štíhlost

$$\bar{\lambda}_p = \frac{\frac{c_p}{t}}{28,4 \times \sqrt{\frac{235}{f_y}} \times \sqrt{k_\sigma}} = 0,359$$

Poměr napětí na krajích pás.  $\Psi = 1$

Součinitel boulení

pro  $\bar{\lambda}_p \leq 0,748$   $\rho = 1,0$

pro  $\bar{\lambda}_p > 0,748$   $\rho = \frac{\bar{\lambda}_p - 0,188}{\bar{\lambda}_p^2}$

$$\rho = 1$$

Počáteční účinná šířka pás.  $c_{\text{eff}} = \rho \times c_p = 9,22 \text{ mm}$

Těžiště rohu s výztuhou

$$y_t = c_p - \frac{c_{\text{eff}} \times b_{e2} + \frac{c_{\text{eff}}^2}{2}}{c_{\text{eff}} + b_{e2}} = 1,3738 \text{ mm}$$

$$b_1 = b_p - b_{e2} - \left( \frac{c_{\text{eff}} \times b_{e2} + \frac{b_{e2}^2}{2}}{c_{\text{eff}} + b_{e2}} \right)$$

$$b_1 = 35,82 \text{ mm}$$

Plocha rohu s výztuhou  $A_s = t \times (c_{\text{eff}} + b_{e2}) = 48,266 \text{ mm}^2$

Moment setrv. rohu s výztuhou

$$I_s = \frac{1}{12} b_{e2} t^3 + b_{e2} t y_t^2 + \frac{1}{12} t c_{\text{eff}}^3 + t c_{\text{eff}} \left( \frac{c_{\text{eff}}}{2} - y_t \right)^2$$

$$I_s = 323,35 \text{ mm}^4$$

Pérová tuhost výztuhy

$$K = \frac{E t^3}{4 \times (1 - \nu^2)} \times \frac{1}{b_1^2 h_p + b_1^3 + 0,5 b_1 b_2 h_p k_f}$$

$$K = 0,7673$$

$k_f = 0,0$   
ohýbaný průř.

$$h_p = h - t$$

$$h_p = 148,44 \text{ mm}$$

Kritické napětí okrajové výztuhy

$$\sigma_{cr,s} = \frac{2 \times \sqrt{K \times E \times I_s}}{A_s} = 299,11 \text{ Mpa}$$

Poměrná štíhlost

$$\bar{\lambda}_d = \sqrt{\frac{f_{yk}}{\sigma_{cr,s}}} = 1,08$$

Součinitel vzpěrnosti

$$\begin{aligned} \text{pro } \bar{\lambda}_d &\leq 0,65 & \chi_d &= 1,0 \\ \text{pro } 0,65 &< \bar{\lambda}_d < 1,38 & & \\ & & \chi_d &= 1,47 - 0,723 \bar{\lambda}_d \\ \text{pro } \bar{\lambda}_d &\geq 1,38 & \chi_d &= \frac{0,66}{\bar{\lambda}_d} \end{aligned}$$

$$\chi_d = 0,69$$

Max. tlak. napětí ve stěně  $\sigma_{\text{com}} = \chi_d \times f_{yk} = 240,77 \text{ Mpa}$

**Krok 2**

Poměrná stěnová štíhlost  $\bar{\lambda}_{p,\text{red}} = \bar{\lambda}_p \times \sqrt{\chi_d} = 0,496$

Poměr napětí na krajích pás.  $\Psi = 1$

Součinitel boulení

$$\begin{aligned} \text{pro } \bar{\lambda}_p &\leq 0,673 & \rho &= 1,0 \\ \text{pro } \bar{\lambda}_p &> 0,673 & \rho &= \frac{\bar{\lambda}_p - 0,055(3+\Psi)}{\bar{\lambda}_p^2} \\ & & \rho &= 1,000 \end{aligned}$$

Počáteční účinná šířka pás.  $b_{\text{eff}} = \rho \times b_p = 43,440 \text{ mm}$

Účinná šířka

$$b_{ei} = \frac{b_{\text{eff}}}{2}$$

$$b_{e1} = 21,72 \text{ mm}$$

$$b_{e2} = 21,72 \text{ mm}$$

Poměrná stěnová štíhlost  $\bar{\lambda}_{p,\text{red}} = \bar{\lambda}_p \times \sqrt{\chi_d} = 0,298$

Poměr napětí na krajích pás.  $\Psi = 1$

Součinitel boulení

$$\begin{aligned} \text{pro } \bar{\lambda}_p &\leq 0,748 & \rho &= 1,0 \\ \text{pro } \bar{\lambda}_p &> 0,748 & \rho &= \frac{\bar{\lambda}_p - 0,188}{\bar{\lambda}_p^2} \\ & & \rho &= 1 \end{aligned}$$

Počáteční účinná šířka pás.  $c_{\text{eff}} = \rho \times c_p = 9,22 \text{ mm}$

Těžiště rohu s výztuhou

$$y_t = c_p - \frac{c_{\text{eff}} \times b_{e2} + \frac{c_{\text{eff}}^2}{2}}{c_{\text{eff}} + b_{e2}} = 1,3738 \text{ mm}$$

$$b_1 = b_p - b_{e2} - \left( \frac{c_{\text{eff}} \times b_{e2} + \frac{b_{e2}^2}{2}}{c_{\text{eff}} + b_{e2}} \right)$$

$$b_1 = 35,82 \text{ mm}$$

Plocha rohu s výztuhou  $A_s = t \times (c_{\text{eff}} + b_{e2}) = 48,266 \text{ mm}^2$

Moment setrv. rohu s výztuhou

$$I_s = \frac{1}{12} b_{e2} t^3 + b_{e2} t y_t^2 + \frac{1}{12} t c_{\text{eff}}^3 + t c_{\text{eff}} \left( \frac{c_{\text{eff}}}{2} - y_t \right)^2$$

$$I_s = 323,35 \text{ mm}^4$$

Pérová tuhost výztuhy

$$K = \frac{Et^3}{4 \times (1-\nu^2)} \times \frac{1}{b_1^2 h_p + b_1^3 + 0,5 b_1 b_2 h_p k_f}$$

$$K = 0,767$$

Kritické napětí okrajové výztuhy

$$\sigma_{cr,s} = \frac{2 \times \sqrt{K \times E \times I_s}}{A_s} = 299,11 \text{ Mpa}$$

Poměrná štíhlost

$$\bar{\lambda}_d = \sqrt{\frac{f_{yk}}{\sigma_{cr,s}}} = 1,08$$

Součinitel vzpěrnosti

$$\text{pro } \bar{\lambda}_d \leq 0,65 \quad \chi_d = 1,0$$

$$\text{pro } 0,65 < \bar{\lambda}_d < 1,38 \quad \chi_d = 1,47 - 0,723 \bar{\lambda}_d$$

$$\text{pro } \bar{\lambda}_d \geq 1,38 \quad \chi_d = \frac{0,66}{\bar{\lambda}_d}$$

$$\chi_d = 0,69$$

Max. tlak. napětí ve stěně

$$\sigma_{com} = \chi_d \times f_{yk} = 240,77 \text{ Mpa}$$

### Krok 3

Poměrná stěnová štíhlost

$$\bar{\lambda}_{p,red} = \bar{\lambda}_p \times \sqrt{\chi_d} = 0,496$$

Poměr napětí na krajích pás.  $\Psi = 1$

Součinitel boulení

$$\text{pro } \bar{\lambda}_p \leq 0,673 \quad \rho = 1,0$$

$$\text{pro } \bar{\lambda}_p > 0,673 \quad \rho = \frac{\bar{\lambda}_p - 0,055(3+\Psi)}{\bar{\lambda}_p^2}$$

$$\rho = 1,000$$

Počáteční účinná šířka pás.  $b_{eff} = \rho \times b_p = 43,440 \text{ mm}$

Účinná šířka

$$b_{ei} = \frac{b_{eff}}{2}$$

$$b_{e1} = 21,72 \text{ mm}$$

$$b_{e2} = 21,72 \text{ mm}$$

Poměrná stěnová štíhlost

$$\bar{\lambda}_{p,red} = \bar{\lambda}_p \times \sqrt{\chi_d} = 0,298$$

Poměr napětí na krajích pás.  $\Psi = 1$

Součinitel boulení

$$\text{pro } \bar{\lambda}_p \leq 0,748 \quad \rho = 1,0$$

$$\text{pro } \bar{\lambda}_p > 0,748 \quad \rho = \frac{\bar{\lambda}_p - 0,188}{\bar{\lambda}_p^2}$$

$$\rho = 1$$

Počáteční účinná šířka pás.  $c_{eff} = \rho \times c_p = 9,22 \text{ mm}$

Těžiště rohu s výztuhou

$$y_t = c_p - \frac{c_{eff} \times b_{e2} + \frac{c_{eff}^2}{2}}{c_{eff} + b_{e2}} = 1,3738 \text{ mm}$$

$$b_1 = b_p - b_{e2} - \left( \frac{c_{eff} \times b_{e2} + \frac{b_{e2}^2}{2}}{c_{eff} + b_{e2}} \right)$$

$$b_1 = 35,82 \text{ mm}$$

Plocha rohu s výztuhou  $A_s = t \times (c_{eff} + b_{e2}) = 48,266 \text{ mm}^2$

Moment setrv. rohu s výztuhou

$$I_s = \frac{1}{12} b_{e2} t^3 + b_{e2} t y_t^2 + \frac{1}{12} t c_{eff}^3 + t c_{eff} \left( \frac{c_{eff}}{2} - y_t \right)^2$$

$$I_s = 323,35 \text{ mm}^4$$

Pérová tuhost výztuhy

$$K = \frac{Et^3}{4 \times (1-\nu^2)} \times \frac{1}{b_1^2 h_p + b_1^3 + 0,5 b_1 b_2 h_p k_f}$$

$$K = 0,767$$

Kritické napětí okrajové výztuhy

$$\sigma_{cr,s} = \frac{2 \times \sqrt{K \times E \times I_s}}{A_s} = 299,11 \text{ Mpa}$$

Poměrná štíhlost

$$\bar{\lambda}_d = \sqrt{\frac{f_{yk}}{\sigma_{cr,s}}} = 1,08$$

Součinitel vzpěrnosti

$$\text{pro } \bar{\lambda}_d \leq 0,65 \quad \chi_d = 1,0$$

$$\text{pro } 0,65 < \bar{\lambda}_d < 1,38$$

$$\chi_d = 1,47 - 0,723 \bar{\lambda}_d$$

$$\text{pro } \bar{\lambda}_d \geq 1,38 \quad \chi_d = \frac{0,66}{\bar{\lambda}_d}$$

$$\chi_d = 0,69$$

Max. tlak. napětí ve stěně  $\sigma_{com} = \chi_d \times f_{yk} = 240,77 \text{ Mpa}$

**Konec iterace**

Redukovaná tloušťka výztuhy  $t_{red} = \chi_d \times t = 1,0731 \text{ mm}$

**Smykové ochabnutí tlačené pásnice**

$$A_{eff} = A_{c,eff} \beta^k \geq A_{c,eff} \beta$$

Redukovaná tloušťka výztuhy

(včetně smyk. ochabnutí)

$$t_{red} = 1,0731 \text{ mm}$$

**Boulení svislé stěny**

Změna polohy neutrální osy

$$e = \frac{t_{red} b_{e2} \frac{h_p}{2} + t_{red} c_{eff} \left( \frac{h_p}{2} - \frac{c_{eff}}{2} \right) + t b_{e1} \frac{h_p}{2} - t b_p \frac{h_p}{2} - t c_p \left( \frac{h_p}{2} - \frac{c_{eff}}{2} \right)}{t_{red} (b_{e2} + c_{eff}) + t (b_{e1} + h + b_p + c_p)}$$

$$e = -2,88 \text{ mm}$$

Délka tlačené části stojiny

$$h_t = \frac{h_p}{2} - e = 77,1 \text{ mm}$$

Poměr napětí v taž. a tlač. pásnici  $\psi = \frac{h_p - h_t}{-h_t} = -0,925$

Součinitel kritického napětí  $k_\sigma = 7,81 - 6,29 \psi + 9,78 \psi^2$   
 $k_\sigma = 22,0$

Poměrná stěnová štíhlost  $\bar{\lambda}_p = \frac{\frac{h_p}{t}}{28,4 \times \sqrt{\frac{235}{f_y}} \times \sqrt{k_\sigma}} = 0,872$

Součinitel boulení pro  $\bar{\lambda}_p \leq 0,673 \quad \rho = 1,0$   
 pro  $\bar{\lambda}_p > 0,673 \quad \rho = \frac{\bar{\lambda}_p - 0,055(3+\psi)}{\bar{\lambda}_p^2}$   
 $\rho = 0,997$

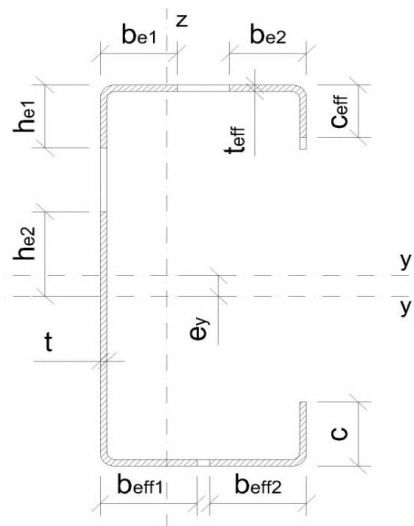
Počáteční účinná šířka stojiny  $h_{\text{eff}} = \rho \times \frac{h_p}{1 - \psi} = 76,9 \text{ mm}$

Účinná šířka 1  $h_{e1} = 0,4 \quad h_{\text{eff}} = 30,7 \text{ mm}$

Účinná šířka 2  $h_{e2} = 0,6 \quad h_{\text{eff}} = 46,1 \text{ mm}$

Tažená část stojiny  $h_{\text{tah}} = 71,3 \text{ mm}$

### Parametry výsledného efektivního průřezu



Posun těžiště průřezu  $e_y = 2,93 \text{ mm}$

Moment setrvačnosti k ose y  $I_{\text{eff},y} = 1227299 \text{ mm}^2$

Průřezový modul k ose y  $W_{\text{eff},y} = 15909 \text{ mm}^3$

### Moment únosnosti

$$M_{y,Rd} = W_{\text{eff},y} \frac{f_{yk}}{\gamma_{M1}} = 5,57 \text{ kNm}$$

Posouzení:  $\frac{M_{ed}}{M_{y,Rd}} = \frac{3,42}{5,57} = 0,61 \quad \text{VYHOVUJE}$



**Vzpěrná únosnost sloupku profilu C150-1.6**

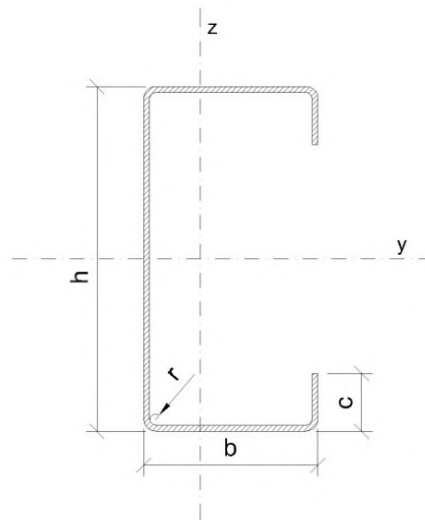
Ocel: S350 GD + Z275

**Vlastnosti materiálu**

Mez kluzu	$f_{yk} =$	350	MPa
Mez pevnosti	$f_{uk} =$	420	MPa
Modul pružnosti	$E =$	210000	MPa
Smykový modul	$G =$	80800	MPa
Poissonova konstanta	$\nu =$	0,3	-

**Geometrie průřezu**

Výška průřezu	$h =$	150	mm
Šířka pásnice	$b =$	45	mm
Výška výztuhy	$c =$	10	mm
Nominální tloušťka	$t_{nom} =$	1,6	mm
Výpočetní tloušťka (bez vrstvy zinku Z275 = 0,04mm)	$t =$	1,56	mm
Poloměr zaoblení	$r =$	1,5	mm

**Vnitřní poloměr ohnutí  $r = t$  lze ve výpočtu zanedbat protože:**

$$r \leq 5t$$

$$1,5 \leq 5 \times 1,16 \quad \text{VYHOVUJE}$$

$$r \leq 0,1b$$

$$1,5 \leq 0,1 \times 41,3 \quad \text{VYHOVUJE}$$

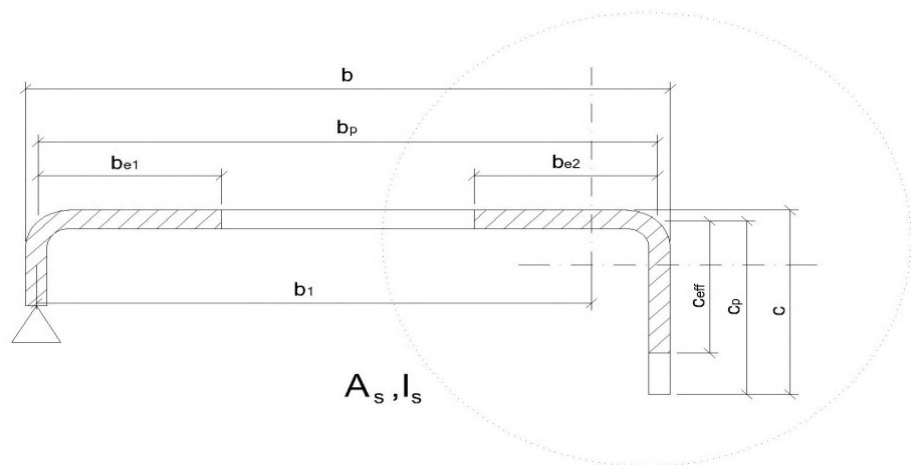
**Působící namáhání**

Vpěr kolmo k ose y	ANO
Vzpěr kolmo k ose z	ANO
Prostorový vzpěr	ANO

**Geometrie nosníku**

Vzpěrná délka pro vybočení kolmo k ose y	$L_{cr,y} =$	3171	mm
Vzpěrná délka pro vybočení kolmo k ose z	$L_{cr,z} =$	1057	mm
Vzpěrná délka pro vybočení prostorovým vzpěrem (zajištění sloupu pažďíky ve třetinách délky sloupu)	$L_{cr,T} =$	1057	mm

## Pásnice - lokální a distorzní boulení



## Krok 1

Součinitel kritického napětí

$$k_{\sigma} = 4 \quad \text{dle tab. 4.1 (EN 1993-1-5)}$$

Poměrná stěnová štíhlost

$$\bar{\lambda}_p = \frac{b_p}{t} \times \frac{1}{28,4 \times \sqrt{\frac{235}{f_y}} \times \sqrt{k_{\sigma}}} = 0,598$$

Poměr napětí na krajích pás.

$$\Psi = 1$$

Součinitel boulení

$$\text{pro } \bar{\lambda}_p \leq 0,673 \quad \rho = 1,0$$

$$\text{pro } \bar{\lambda}_p > 0,673 \quad \rho = \frac{\bar{\lambda}_p - 0,055(3+\Psi)}{\bar{\lambda}_p^2}$$

$$\rho = 1$$

Počáteční účinná šířka pás.

$$b_{\text{eff}} = \rho \times b_p = 43,440 \text{ mm}$$

Účinná šířka

$$b_{ei} = \frac{b_{\text{eff}}}{2}$$

$$b_{e1} = 21,72 \text{ mm}$$

$$b_{e2} = 21,72 \text{ mm}$$

$$c_p = c - \frac{t}{2}$$

$$c_p = 9,22 \text{ mm}$$

Poměr délky výztuhy a pás

$$\frac{c_p}{b_p} = 0,2122$$

Součinitel kritického napětí

pro  $c_p/b_p \leq 0,35$ 

$$k_{\sigma} = 0,5$$

pro  $0,35 < c_p/b_p \leq 0,6$ 

$$k_{\sigma} = 0,5 + 0,83 \sqrt[3]{\left(\frac{c_p}{b_p} - 0,35\right)^2}$$

$$k_{\sigma} = 0,5$$

Poměrná stěnová štíhlost

$$\bar{\lambda}_p = \frac{\frac{c_p}{t}}{28,4 \times \sqrt{\frac{235}{f_y}} \times \sqrt{k_\sigma}} = 0,359$$

Poměr napětí na krajích pás.

$$\Psi = 1$$

Součinitel boulení

$$\text{pro } \bar{\lambda}_p \leq 0,748 \quad \rho = 1,0$$

$$\text{pro } \bar{\lambda}_p > 0,748 \quad \rho = \frac{\bar{\lambda}_p - 0,188}{\bar{\lambda}_p^2}$$

$$\rho = 1$$

Počáteční účinná šířka pás.

$$c_{\text{eff}} = \rho \times c_p = 9,22 \text{ mm}$$

Těžiště rohu s výztuhou

$$y_t = c_p - \frac{c_{\text{eff}} \times b_{e2} + \frac{c_{\text{eff}}^2}{2}}{c_{\text{eff}} + b_{e2}} = 1,3738 \text{ mm}$$

$$b_1 = b_p - b_{e2} - \left( \frac{c_{\text{eff}} \times b_{e2} + \frac{b_{e2}^2}{2}}{c_{\text{eff}} + b_{e2}} \right)$$

$$b_1 = 35,82 \text{ mm}$$

Plocha rohu s výztuhou

$$A_s = t \times (c_{\text{eff}} + b_{e2}) = 48,266 \text{ mm}^2$$

Moment setrv. rohu s výztuhou

$$I_s = \frac{1}{12} b_{e2} t^3 + b_{e2} t y_t^2 + \frac{1}{12} t c_{\text{eff}}^3 + t c_{\text{eff}} \left( \frac{c_{\text{eff}}}{2} - y_t \right)^2$$

$$I_s = 323,35 \text{ mm}^4$$

Pérová tuhost výztuhy

$$K = \frac{E t^3}{4 \times (1 - \nu^2)} \times \frac{1}{b_1^2 h_p + b_1^3 + 0,5 b_1 b_2 h_p k_f}$$

$$K = 0,547$$

$k_f = 1,0$   
souvěr. tlač. průř.

$$h_p = h - t$$

$$h_p = 148,44 \text{ mm}$$

Kritické napětí okrajové výztuhy

$$\sigma_{cr,s} = \frac{2 \times \sqrt{K \times E \times I_s}}{A_s} = 252,54 \text{ Mpa}$$

Poměrná štíhlost

$$\bar{\lambda}_d = \sqrt{\frac{f_{yk}}{\sigma_{cr,s}}} = 1,18$$

Součinitel vzpěrnosti

$$\text{pro } \bar{\lambda}_d \leq 0,65 \quad \chi_d = 1,0$$

$$\text{pro } 0,65 < \bar{\lambda}_d < 1,38$$

$$\chi_d = 1,47 - 0,723 \bar{\lambda}_d$$

$$\text{pro } \bar{\lambda}_d \geq 1,38 \quad \chi_d = \frac{0,66}{\bar{\lambda}_d}$$

$$\chi_d = 0,62$$

Max. tlak. napětí ve stěně

$$\sigma_{com} = \chi_d \times f_{yk} = 216,60 \text{ Mpa}$$

**Krok 2**

Poměrná stěnová štíhlost  $\bar{\lambda}_{p,red} = \bar{\lambda}_p \times \sqrt{\chi_d} = 0,471$

Poměr napětí na krajích pás.  $\Psi = 1$

Součinitel boulení pro  $\bar{\lambda}_p \leq 0,673$   $\rho = 1,0$

pro  $\bar{\lambda}_p > 0,673$   $\rho = \frac{\bar{\lambda}_p - 0,055(3+\Psi)}{\bar{\lambda}_p^2}$

$\rho = 1$

Počáteční účinná šířka pás.  $b_{eff} = \rho \times b_p = 43,440 \text{ mm}$

Účinná šířka  $b_{ei} = \frac{b_{eff}}{2}$

$b_{e1} = 21,72 \text{ mm}$

$b_{e2} = 21,72 \text{ mm}$

Poměrná stěnová štíhlost  $\bar{\lambda}_{p,red} = \bar{\lambda}_p \times \sqrt{\chi_d} = 0,283$

Poměr napětí na krajích pás.  $\Psi = 1$

Součinitel boulení pro  $\bar{\lambda}_p \leq 0,748$   $\rho = 1,0$

pro  $\bar{\lambda}_p > 0,748$   $\rho = \frac{\bar{\lambda}_p - 0,188}{\bar{\lambda}_p^2}$

$\rho = 1$

Počáteční účinná šířka pás.  $c_{eff} = \rho \times c_p = 9,22 \text{ mm}$

Těžiště rohu s výztuhou

$$y_t = c_p - \frac{c_{eff} \times b_{e2} + \frac{c_{eff}^2}{2}}{c_{eff} + b_{e2}} = 1,3738 \text{ mm}$$

$$b_1 = b_p - b_{e2} - \left( \frac{c_{eff} \times b_{e2} + \frac{b_{e2}^2}{2}}{c_{eff} + b_{e2}} \right)$$

$b_1 = 35,82 \text{ mm}$

Plocha rohu s výztuhou  $A_s = t \times (c_{eff} + b_{e2}) = 48,266 \text{ mm}^2$

Moment setrv. rohu s výztuhou

$$I_s = \frac{1}{12} b_{e2} t^3 + b_{e2} t y_t^2 + \frac{1}{12} t c_{eff}^3 + t c_{eff} \left( \frac{c_{eff}}{2} - y_t \right)^2$$

$I_s = 323,35 \text{ mm}^4$

Pérová tuhost výztuhy

$$K = \frac{Et^3}{4 \times (1-\nu^2)} \times \frac{1}{b_1^2 h_p + b_1^3 + 0,5 b_1 b_2 h_p k_f}$$

$$K = 0,547$$

Kritické napětí okrajové výztuhy

$$\sigma_{cr,s} = \frac{2 \times \sqrt{K \times E \times I_s}}{A_s} = 252,54 \text{ Mpa}$$

Poměrná štíhlost

$$\bar{\lambda}_d = \sqrt{\frac{f_{yk}}{\sigma_{cr,s}}} = 1,18$$

Součinitel vzpěrnosti

pro  $\bar{\lambda}_d \leq 0,65$   $\chi_d = 1,0$   
 pro  $0,65 < \bar{\lambda}_d < 1,38$   
 $\chi_d = 1,47 - 0,723 \bar{\lambda}_d$   
 pro  $\bar{\lambda}_d \geq 1,38$   $\chi_d = \frac{0,66}{\bar{\lambda}_d}$

$$\chi_d = 0,62$$

Max. tlak. napětí ve stěně

$$\sigma_{com} = \chi_d \times f_{yk} = 216,60 \text{ Mpa}$$

### Krok 3

Poměrná stěnová štíhlost

$$\bar{\lambda}_{p,red} = \bar{\lambda}_p \times \sqrt{\chi_d} = 0,471$$

Poměr napětí na krajích pás.

$$\Psi = 1$$

Součinitel boulení

pro  $\bar{\lambda}_p \leq 0,673$   $\rho = 1,0$   
 pro  $\bar{\lambda}_p > 0,673$   $\rho = \frac{\bar{\lambda}_p - 0,055(3+\Psi)}{\bar{\lambda}_p^2}$   
 $\rho = 1$

Počáteční účinná šířka pás.

$$b_{eff} = \rho \times b_p = 43,440 \text{ mm}$$

Účinná šířka

$$b_{ei} = \frac{b_{eff}}{2}$$

$$b_{e1} = 21,72 \text{ mm}$$

$$b_{e2} = 21,72 \text{ mm}$$

Poměrná stěnová štíhlost

$$\bar{\lambda}_{p,red} = \bar{\lambda}_p \times \sqrt{\chi_d} = 0,283$$

Poměr napětí na krajích pás.

$$\Psi = 1$$

Součinitel boulení

pro  $\bar{\lambda}_p \leq 0,748$   $\rho = 1,0$   
 pro  $\bar{\lambda}_p > 0,748$   $\rho = \frac{\bar{\lambda}_p - 0,188}{\bar{\lambda}_p^2}$   
 $\rho = 1$

Počáteční účinná šířka pás.

$$c_{eff} = \rho \times c_p = 9,22 \text{ mm}$$

Těžiště rohu s výztuhou

$$y_t = c_p - \frac{c_{\text{eff}} \times b_{e2} + \frac{c_{\text{eff}}^2}{2}}{c_{\text{eff}} + b_{e2}} = 1,3738 \text{ mm}$$

$$b_1 = b_p - b_{e2} - \left( \frac{c_{\text{eff}} \times b_{e2} + \frac{b_{e2}^2}{2}}{c_{\text{eff}} + b_{e2}} \right)$$

$$b_1 = 35,82 \text{ mm}$$

Plocha rohu s výztuhou

$$A_s = t \times (c_{\text{eff}} + b_{e2}) = 48,266 \text{ mm}^2$$

Moment setrv. rohu s výztuhou

$$I_s = \frac{1}{12} b_{e2} t^3 + b_{e2} t y_t^2 + \frac{1}{12} t c_{\text{eff}}^3 + t c_{\text{eff}} \left( \frac{c_{\text{eff}}}{2} - y_t \right)^2$$

$$I_s = 323,35 \text{ mm}^4$$

Pérová tuhost výztuhy

$$K = \frac{E t^3}{4 \times (1 - \nu^2)} \times \frac{1}{b_1^2 h_p + b_1^3 + 0,5 b_1 b_2 h_p k_f}$$

$$K = 0,547$$

Kritické napětí okrajové výztuhy

$$\sigma_{cr,s} = \frac{2 \times \sqrt{K \times E \times I_s}}{A_s} = 252,54 \text{ Mpa}$$

Poměrná štíhlost

$$\bar{\lambda}_d = \sqrt{\frac{f_{yk}}{\sigma_{cr,s}}} = 1,18$$

Součinitel vzpěrnosti

$$\text{pro } \bar{\lambda}_d \leq 0,65 \quad \chi_d = 1,0$$

$$\text{pro } 0,65 < \bar{\lambda}_d < 1,38$$

$$\chi_d = 1,47 - 0,723 \bar{\lambda}_d$$

$$\text{pro } \bar{\lambda}_d \geq 1,38 \quad \chi_d = \frac{0,66}{\bar{\lambda}_d}$$

$$\chi_d = 0,62$$

Max. tlak. napětí ve stěně

$$\sigma_{com} = \chi_d \times f_{yk} = 216,60 \text{ Mpa}$$

**Konec iterace**

Redukovaná tloušťka výztuhy

$$t_{red} = \chi_d \times t = 0,965 \text{ mm}$$

**Stojina - lokální boulení**Poměr napětí v tažené a tlačené pásnici  $\Psi = 1,0$ Součinitel kritického napětí  $k_\sigma = 4,0$ 

Poměrná stěnová štíhlost

$$\bar{\lambda}_p = \frac{\frac{h_p}{t}}{28,4 \times \sqrt{\frac{235}{f_y}} \times \sqrt{k_\sigma}} = 2,044$$

Součinitel boulení

$$\text{pro } \bar{\lambda}_p \leq 0,673 \quad \rho = 1,0$$

$$\text{pro } \bar{\lambda}_p > 0,673 \quad \rho = \frac{\bar{\lambda}_p - 0,055(3+\Psi)}{\bar{\lambda}_p^2}$$

$$\rho = 0,436$$

Počáteční účinná šířka pásnic  $h_{\text{eff}} = \rho \times h_p = 64,79 \text{ mm}$

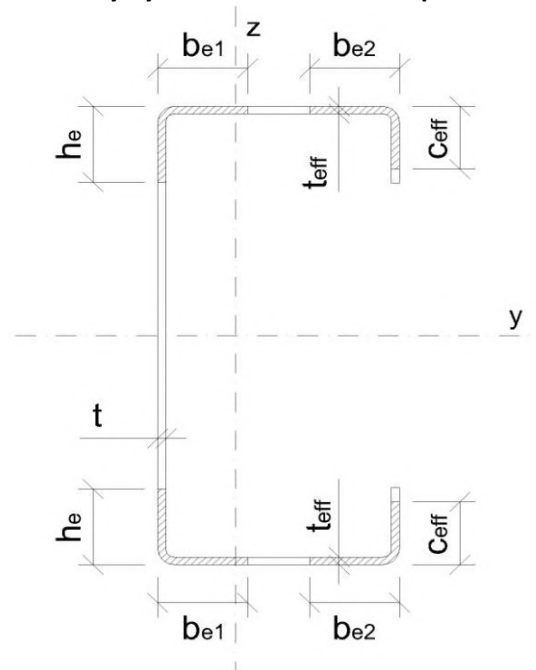
Účinná šířka

$$h_{ei} = \frac{h_{\text{eff}}}{2}$$

$$h_{e1} = 32,40 \text{ mm}$$

$$h_{e2} = 32,40 \text{ mm}$$

### Parametry výsledného efektivního průřezu



Efektivní plocha průřezu	$A_{\text{eff}} = 221,851 \text{ mm}^2$
Plná plocha průřezu	$A_g = 395,866 \text{ mm}^2$
Poměr efektivní a plné plochy průřezu	$\beta_a = 0,56$
Souřadnice těžiště plného průřezu ve směru z	$c_z = 10,59 \text{ mm}$
Souřadnice těžiště efektivního průřezu ve směru z	$c_{z,\text{eff}} = 12,58 \text{ mm}$
Posun těžišťové osy z-z v důsledku působení osově síly	$e_{N,z} = 1,99 \text{ mm}$
Moment setrvačnosti k ose y pro plný průřez	$I_y = 1295810 \text{ mm}^4$
Poloměr setrvačnosti k ose y pro plný průřez	$i_y = 57,21 \text{ mm}$
Moment setrvačnosti k ose z pro plný průřez	$I_z = 95167 \text{ mm}^4$
Poloměr setrvačnosti k ose z pro plný průřez	$i_z = 15,50 \text{ mm}$

**Vzpěrná únosnost efektivního průřezu****Rovinný vzpěr kolmo k ose y**

obě pásnice jsou drženy pláštěm,

je bráněno vybočení ve směru měkké osy

$$\lambda_y = \frac{L_{cr,y}}{i_y} = 55,424$$

$$\lambda_1 = 93,9 \times \sqrt{\frac{235}{f_{yk}}} = 76,94$$

$$\bar{\lambda}_y = \frac{\lambda_y}{\lambda_1} \times \sqrt{\beta_a} = 0,54$$

Součinitel vzpěrnosti

$$\alpha = 0,34$$

$$\phi = 0,5 \times [ 1 + \alpha ( \bar{\lambda}_y - 0,2 ) + \bar{\lambda}_y^2 ]$$

$$\phi = 0,7031$$

$$\chi = \frac{1}{\phi + \sqrt{\phi^2 + \bar{\lambda}_y^2}} = 0,63$$

Vzpěrná únosnost bez prostorového vzpěři

$$N_{b,Rd} = \frac{\chi \times A_{eff} \times f_{yk}}{Y_{M0}}$$

$$N_{b,y,Rd} = 48,86 \text{ kN}$$

**Rovinný vzpěr kolmo k ose z**

obě pásnice jsou drženy pláštěm,

je bráněno vybočení ve směru měkké osy

$$\lambda_z = \frac{L_{cr,z}}{i_z} = 68,172$$

$$\lambda_1 = 93,9 \times \sqrt{\frac{235}{f_{yk}}} = 76,94$$

$$\bar{\lambda}_z = \frac{\lambda_z}{\lambda_1} \times \sqrt{\beta_a} = 0,66$$

Součinitel vzpěrnosti

$$\alpha = 0,34$$

$$\phi = 0,5 \times [ 1 + \alpha ( \bar{\lambda}_z - 0,2 ) + \bar{\lambda}_z^2 ]$$

$$\phi = 0,7987$$

$$\chi = \frac{1}{\phi + \sqrt{\phi^2 + \bar{\lambda}_z^2}} = 0,54$$

Vzpěrná únosnost bez prostorového vzpěři

$$N_{b,Rd} = \frac{\chi \times A_{eff} \times f_{yk}}{Y_{M0}}$$

$$N_{b,z,Rd} = 42,27 \text{ kN}$$

**Prostorový vzpěr**

Výsečový deviační moment

$$I_{wy} = \iint_A \omega z dA$$

$$I_{w,y} = 16958846,1 \text{ mm}^5$$



Vzdálenost středu smyku od stojiny

$$c_y = \frac{I_{w,y}}{I_y} = 13,09 \text{ mm}$$

Výsečový moment setrvačnosti

$$I_w = \iint_A \omega^2 dA$$

$$a = 971$$

$$b = -3224$$

$$c = -3745$$

$$I_w = 837242221 \text{ mm}^6$$

Moment setrvačnosti v prostém kroucení

$$I_t = \frac{1}{3} \sum b_i \times t_i^3$$

$$I_t = 321,126 \text{ mm}^4$$

Vzdálenost středu smyku od těžiště

$$y_0 = c_y + c_z = 23,68 \text{ mm}$$

$$i_0^2 = i_y^2 + i_z^2 + y_0^2$$

$$i_0^2 = 4074,52 \text{ mm}^2$$

Kritické napětí pro vybočení zkroucením

$$\sigma_{cr,T} = \frac{1}{A_g i_0^2} \left( G I_t + \frac{\pi^2 E I_w}{L_t^2} \right)$$

$$\sigma_{cr,T} = 979,018 \text{ Mpa}$$

Kritické napětí pro vybočení kolmo k ose y

$$\sigma_{cr,y} = \frac{\pi^2 \times E}{\left( \frac{L_y}{i_y} \right)^2} = 675 \text{ Mpa}$$

$$\beta = 1 - \left( \frac{y_0}{i_0} \right)^2$$

$$\beta = 0,86$$

Kritické napětí pro prostorový vzpěr

$$\sigma_{cr,TF} = \frac{1}{2\beta} \left( \left( \sigma_{cr,y} + \sigma_{cr,T} \right) - \sqrt{\left( \sigma_{cr,y} + \sigma_{cr,T} \right)^2 - 4\beta \sigma_{cr,y} \sigma_{cr,T}} \right)$$

$$\sigma_{cr,TF} = 567,20 \text{ Mpa}$$

$$\lambda = \sqrt{\frac{f_y}{\sigma_{cr,TF}} \times \frac{A_{eff}}{A}} = 0,45$$

$$\phi = 0,5 \times [ 1 + \alpha ( \lambda - 0,2 ) + \lambda^2 ]$$

$$\phi = 0,6423$$

$$\chi = \frac{1}{\phi + \sqrt{\phi^2 + \lambda^2}} = 0,91$$

$$\alpha = 0,34$$

Vzpěrná únos. prutu s prostorovým vzpěrem

$$N_{b,Rd} = \frac{\chi \times A_{eff} \times f_{yk}}{\gamma_{M0}}$$

$$N_{b,Rd} = 70,405 \text{ kN}$$

**Výsledná vzpěrná únosnost**

$$N_{Rd} = 42,27 \text{ kN}$$

Momentová únosnost sloupu C150-1,6 se spočítá stejným způsobem jako bylo ukázáno v předešlých částech statického výpočtu.

**Posouzení zesíleného sloupu**

Průřez: JKL 150x100x4.0

Zatřídění průřezu:*Tlačený nebo tlačený a ohýbaný průřez*

$$f_{yd} = 235 \text{ MPa}$$

$$N_{ed} = -146 \text{ kN}$$

Delší stojina:

$$\alpha = 0,5 \times \left( 1 + \frac{N_{ed}}{t_w \times f_{yd} \times d} \right) = 1,08$$

$$\left. \begin{aligned} \frac{c}{t_w} = \frac{d}{t_w} &= 33,5 \\ \frac{456 \cdot \epsilon}{13 \cdot \alpha - 1} &= 34,981 \end{aligned} \right\} 33,5 \leq 35,0 \quad \text{Průřez třídy 2}$$

Kratší stojina:

$$\alpha = 0,5 \times \left( 1 + \frac{N_{ed}}{t_f \times f_{yd} \times d} \right) = 1,425$$

$$\left. \begin{aligned} \frac{c}{t_f} &= 21 \\ \frac{396 \cdot \epsilon}{13 \cdot \alpha - 1} &= 22,601 \end{aligned} \right\} 21,0 \leq 22,6 \quad \text{Průřez třídy 1}$$

*Stojka splňuje podmínku třídy 2*

Průřezové char.

$$h = 150 \text{ mm}$$

$$b = 100 \text{ mm}$$

$$t_w = 4 \text{ mm}$$

$$t_f = 4 \text{ mm}$$

$$r = 4 \text{ mm}$$

$$d = 134 \text{ mm}$$

$$c = 84 \text{ mm}$$

$$A = 1890 \text{ mm}^2$$

$$I_y = 5950000 \text{ mm}^4$$

$$I_z = 3190000 \text{ mm}^4$$

$$I_w = 3,4E+14 \text{ mm}^6$$

$$I_t = 6620000 \text{ mm}^4$$

$$W_{pl,y} = 95700 \text{ mm}^3$$

$$W_{pl,z} = 72500 \text{ mm}^3$$

$$A_{vz} = 1075 \text{ mm}^2$$

$$\epsilon = \sqrt{\frac{235}{235}} = 1,0$$

$$E = 210 \text{ GPa}$$

**Vzpěr**

$$N_{ed} = -146 \text{ kN}$$

$$V_{ed} = 0 \text{ kN}$$

$$M_{y,ed} = 2,43 \text{ kNm}$$

$$M_{z,ed} = 1,892 \text{ kNm}$$

Vzpěrné délky

$$L_{cr,y} = L_{cr,z} = h = 3,171 \text{ m}$$

Kritické síly:

$$N_{cr,y} = \frac{\pi^2 \cdot E \cdot I_y}{L_{cr,y}^2} = \frac{\pi^2 \cdot 210 \cdot 10^6 \cdot 6E-06}{10,055} = 1226,43 \text{ kN}$$

$$N_{cr,z} = \frac{\pi^2 \cdot E \cdot I_z}{L_{cr,z}^2} = \frac{\pi^2 \cdot 210 \cdot 10^6 \cdot 3E-06}{10,055} = 657,53 \text{ kN}$$

Poměrná štíhlost:

$$\lambda_y = \sqrt{\frac{A \cdot f_{yd}}{N_{cr,y}}} = \sqrt{\frac{0,002 \cdot 235 \cdot 10^3}{1226,43}} = 0,602$$

$$\lambda_z = \sqrt{\frac{A \cdot f_{yd}}{N_{cr,z}}} = \sqrt{\frac{0,002 \cdot 235 \cdot 10^3}{657,53}} = 0,822$$

$$\chi_y = 0,89$$

$$\chi_z = 0,784$$

$$\gamma_{M1} = 1$$

Posouzení:

$$N_{b,Rd} = \frac{\min(\chi_y; \chi_z) \cdot A \cdot f_{yd}}{\gamma_{M1}} = 348,21 \text{ kN}$$

$$\frac{N_{ed}}{N_{b,Rd}} = \frac{146,03}{348,21} = 0,42 < 1$$

**Momentová únosnost**

$$N_{ed} = -146 \text{ kN}$$

$$V_{ed} = 0 \text{ kN}$$

$$M_{y,ed} = 2,43 \text{ kNm}$$

$$M_{z,ed} = 1,892 \text{ kNm}$$

Únosnost při klopení:

$$M_{y,Rd} = \frac{W_y \cdot f_{yk}}{\gamma_{M1}} = 22,49 \text{ kNm}$$

$$\frac{M_{y,ed}}{M_{y,Rd}} = \frac{2,43}{22,49} = 0,11 < 1$$

**Interakce tlak + ohyb**

$$N_{ed} = -146 \text{ kN}$$

$$V_{ed} = 0 \text{ kN}$$

$$M_{ed} = 2,43 \text{ kNm}$$

$$M_{z,ed} = 1,892 \text{ kNm}$$

Součinitele ekvivalentních konstantních momentů:

$$C_{my} = 0,95$$

$$C_{mz} = 0,95$$

$$C_{mLT} = 0,95$$

Součinitele interakce:

$$N_{Rk} = 444,15 \text{ kN}$$

$$M_{y,Rk} = 22,49 \text{ kNm}$$

$$M_{z,Rk} = 17,04 \text{ kNm}$$

$$k_{yy} = \min \left\{ \begin{array}{l} C_{my} \left( 1 + (\bar{\lambda}_y - 0,2) \cdot \frac{N_{ed}}{\chi_y \cdot N_{Rk}} \right) = 1,091 \\ C_{my} \left( 1 + 0,8 \cdot \frac{N_{ed}}{\chi_y \cdot N_{Rk}} \right) = 1,231 \end{array} \right\} = 1,091$$

$$k_{zy} = 0,6 \cdot k_{yy} = 0,655$$

$$k_{zz} = \min \left\{ \begin{array}{l} C_{mz} \left( 1 + (\bar{\lambda}_z - 0,2) \cdot \frac{N_{ed}}{\chi_z \cdot N_{Rk}} \right) = 1,198 \\ C_{mz} \left( 1 + 0,8 \cdot \frac{N_{ed}}{\chi_z \cdot N_{Rk}} \right) = 1,269 \end{array} \right\} = 1,198$$

$$k_{yz} = 0,6 \cdot k_{zz} = 0,719$$

$$\gamma_{M1} = 1$$

Posouzení:

1)

$$\frac{N_{ed}}{\chi_y \cdot N_{Rk} / \gamma_{M1}} + k_{yy} \cdot \frac{M_{y,Ed}}{M_{y,Rk} / \gamma_{M1}} + k_{yz} \cdot \frac{M_{z,Ed}}{M_{z,Rk} / \gamma_{M1}} = \mathbf{0,567}$$

$$\mathbf{0,567 < 1}$$

2)

$$\frac{N_{ed}}{\chi_z \cdot N_{Rk} / \gamma_{M1}} + k_{zy} \cdot \frac{M_{y,Ed}}{M_{y,Rk} / \gamma_{M1}} + k_{zz} \cdot \frac{M_{z,Ed}}{M_{z,Rk} / \gamma_{M1}} = \mathbf{0,623}$$

$$\mathbf{0,623 < 1}$$

3)

$$\frac{N_{ed}}{N_{Rk} / \gamma_{M1}} + \frac{M_{y,Ed}}{M_{y,Rk} / \gamma_{M1}} + \frac{M_{z,Ed}}{M_{z,Rk} / \gamma_{M1}} = \mathbf{0,548}$$

$$\mathbf{0,548 < 1}$$

**Posouzení zesíleného sloupku**

Průřez: HEA 160

Zatřídění průřezu:*Tlačený nebo tlačený a ohýbaný průřez*

$$f_{yd} = 235 \text{ MPa}$$

$$N_{ed} = -95,72 \text{ kN}$$

Stojina:

$$\alpha = 0,5 \times \left( 1 + \frac{N_{ed}}{t_w \times f_{yd} \times d} \right) = 0,826$$

$$\left. \begin{array}{l} \frac{c}{t_w} = \frac{d}{t_w} = 17,333 \\ \frac{396 \cdot \epsilon}{13 \cdot \alpha - 1} = 40,646 \end{array} \right\} 17,3 \leq 40,6 \quad \text{Průřez třídy 1}$$

Pásnice:

$$\alpha = 0,5 \times \left( 1 + \frac{N_{ed}}{t_f \times f_{yd} \times d} \right) = 0,865$$

$$\left. \begin{array}{l} \frac{c}{t_f} = 6,8889 \\ 9 \times \epsilon = 9 \end{array} \right\} 6,9 \leq 9,0 \quad \text{Průřez třídy 1}$$

*Stojka splňuje podmínku třídy 1*

Průřezové char.

$$h = 152 \text{ mm}$$

$$b = 160 \text{ mm}$$

$$t_w = 6 \text{ mm}$$

$$t_f = 9 \text{ mm}$$

$$r = 15 \text{ mm}$$

$$d = 104 \text{ mm}$$

$$c = 62 \text{ mm}$$

$$A = 3877 \text{ mm}^2$$

$$I_y = 1,7E+07 \text{ mm}^4$$

$$I_z = 6156000 \text{ mm}^4$$

$$I_w = 3,1E+10 \text{ mm}^6$$

$$I_t = 121900 \text{ mm}^4$$

$$W_{pl,y} = 245100 \text{ mm}^3$$

$$W_{pl,z} = 117600 \text{ mm}^3$$

$$A_{vz} = 1321 \text{ mm}^2$$

$$\epsilon = \sqrt{\frac{235}{235}} = 1,0$$

$$E = 210 \text{ GPa}$$

**Vzpěr**

$$N_{ed} = -95,72 \text{ kN}$$

$$V_{ed} = 0 \text{ kN}$$

$$M_{y,ed} = 0,176 \text{ kNm}$$

$$M_{z,ed} = 1,961 \text{ kNm}$$

Vzpěrné délky

$$L_{cr,y} = L_{cr,z} = h = 3,171 \text{ m}$$

Kritické síly:

$$N_{cr,y} = \frac{\pi^2 \cdot E \cdot I_y}{L_{cr,y}^2} = \frac{\pi^2 \cdot 210 \cdot 10^6 \cdot 2E-05}{10,055} = 3448,44 \text{ kN}$$

$$N_{cr,z} = \frac{\pi^2 \cdot E \cdot I_z}{L_{cr,z}^2} = \frac{\pi^2 \cdot 210 \cdot 10^6 \cdot 6E-06}{10,055} = 1268,89 \text{ kN}$$

Poměrná štíhlost:

$$\begin{array}{l} \lambda_y = \sqrt{\frac{A \cdot f_{yd}}{N_{cr,y}}} = \sqrt{\frac{0,004 \cdot 235 \cdot 10^3}{3448,44}} = 0,514 \\ \lambda_z = \sqrt{\frac{A \cdot f_{yd}}{N_{cr,z}}} = \sqrt{\frac{0,004 \cdot 235 \cdot 10^3}{1268,89}} = 0,847 \end{array} \quad \longrightarrow \quad \begin{array}{l} \chi_y = 0,92 \\ \chi_z = 0,695 \end{array}$$

$$\gamma_{M1} = 1$$

Posouzení:

$$N_{b,Rd} = \frac{\min(\chi_y; \chi_z) \cdot A \cdot f_{yd}}{\gamma_{M1}} = 633,21 \text{ kN}$$

$$\frac{N_{ed}}{N_{b,Rd}} = \frac{95,715}{633,21} = 0,15 < 1$$

**Klopení**

$$N_{ed} = -95,72 \text{ kN}$$

$$V_{ed} = 0 \text{ kN}$$

$$M_{y,ed} = 0,176 \text{ kNm}$$

$$M_{z,ed} = 1,961 \text{ kNm}$$

Součinitele kritické délky:

$$k_y = 1,0 \quad k_z = 1,0 \quad k_w = 1,0$$

**Tabulka B.1 – Interakční součinitele  $k_{ij}$  pro pruty, které nejsou náchylné ke zkroucení**

Interakční součinitele	Typ průřezu	Předpoklady navrhování	
		Pružnostní návrh – průřezy třídy 3 a 4	Plasticitní návrh – průřezy třídy 1 a 2
$k_{yy}$	I průřezy, pravouhlé duté průřezy	$C_{my} \left( 1 + 0,6 \bar{\lambda}_y \frac{N_{Ed}}{\chi_y N_{Rk} / \gamma_{M1}} \right) \leq C_{my} \left( 1 + 0,6 \frac{N_{Ed}}{\chi_y N_{Rk} / \gamma_{M1}} \right)$	$C_{my} \left( 1 + (\bar{\lambda}_y - 0,2) \frac{N_{Ed}}{\chi_y N_{Rk} / \gamma_{M1}} \right) \leq C_{my} \left( 1 + 0,8 \frac{N_{Ed}}{\chi_y N_{Rk} / \gamma_{M1}} \right)$
$k_{yz}$	I průřezy, pravouhlé duté průřezy	$k_{zz}$	$0,6 k_{zz}$
$k_{zy}$	I průřezy, pravouhlé duté průřezy	$0,8 k_{yy}$	$0,6 k_{yy}$
$k_{zz}$	I průřezy	$C_{mz} \left( 1 + 0,6 \bar{\lambda}_z \frac{N_{Ed}}{\chi_z N_{Rk} / \gamma_{M1}} \right) \leq C_{mz} \left( 1 + 0,6 \frac{N_{Ed}}{\chi_z N_{Rk} / \gamma_{M1}} \right)$	$C_{mz} \left( 1 + (2\bar{\lambda}_z - 0,6) \frac{N_{Ed}}{\chi_z N_{Rk} / \gamma_{M1}} \right) \leq C_{mz} \left( 1 + 1,4 \frac{N_{Ed}}{\chi_z N_{Rk} / \gamma_{M1}} \right)$
	pravouhlé duté průřezy		$C_{mz} \left( 1 + (\bar{\lambda}_z - 0,2) \frac{N_{Ed}}{\chi_z N_{Rk} / \gamma_{M1}} \right) \leq C_{mz} \left( 1 + 0,8 \frac{N_{Ed}}{\chi_z N_{Rk} / \gamma_{M1}} \right)$

Pro I a H-průřezy a pro pravouhlé duté průřezy namáhané osovým tlakem a rovinným ohybem  $M_{y,Ed}$  může být  $k_{zy} = 0$ .

$$L_{LT} = 3,171 \text{ m}$$

$$G = 80,7 \text{ GPa}$$

Parametr zkroucení:

$$k_{wt} = \frac{\pi}{k_w \cdot L_{LT}} \cdot \sqrt{\frac{E \cdot I_w}{G \cdot I_t}} = \frac{\pi}{1,0 \cdot 3,2} \cdot \sqrt{\frac{210 \cdot 10^6 \cdot 3E-08}{80,7 \cdot 10^6 \cdot 1E-07}} = 0,811$$

Součinitele  $C_1; C_2; C_3$ :

$$\psi = 0$$

$$C_{1,1} = 1,13$$

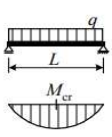
$$C_{1,0} = 1,13$$

$$C_1 = 1,13$$

$$C_2 = 0,46$$

$$C_3 = 0,53$$

**Tabulka NB.3.2 – Hodnoty součinitelů  $C_1, C_2$  a  $C_3$  pro různé případy příčného zatížení v závislosti na hodnotě součinitelů  $k_y, k_z, k_w$  a součinitelů  $\psi$  a  $k_{wt}$**

Zatížení a podmínky podepření	Součinitele vzpěrné délky			Hodnoty součinitelů								
	$k_y$	$k_z$	$k_w$	$C_1$ <sup>1)</sup>		$C_2$			$C_3$			
				$C_{1,0}$	$C_{1,1}$	$\perp$ $\psi_f = -1$	$\text{I I I I}$ $-0,9 \leq \psi_f \leq 0,9$	$\text{T}$ $\psi_f = 1$	$\perp$ $\psi_f = -1$	$\text{I I I I}$ $-0,9 \leq \psi_f \leq 0,9$	$\text{T}$ $\psi_f = 1$	
	1	1	1	1,13	1,13	0,33	0,46	0,50	0,93	0,53	0,38	
	1	1	0,5	1,13	1,23	0,33	0,39	0,50	0,93	0,81	0,38	
	1	0,5	1	0,95	1,00	0,25	0,41	0,40	0,84	0,48	0,44	
	1	0,5	0,5	0,95	0,97	0,25	0,31	0,40	0,84	0,67	0,44	

Bezrozměrný kritický moment:

$$\mu_{cr} = \frac{C_1}{k_z} \cdot \sqrt{1 + k_{wt}^2} = \frac{1,130}{1,0} \cdot \sqrt{1 + 0,81^2} = \mathbf{1,455}$$

Kritický moment:

$$M_{cr} = \mu_{cr} \cdot \frac{\pi \cdot \sqrt{E \cdot I_z \cdot G \cdot I_t}}{L_{LT}} = \mathbf{162,57 \text{ kNm}}$$

Poměrná štíhlost při klopení:

$$\bar{\lambda}_{LT} = \sqrt{\frac{W_y \cdot f_{yk}}{M_{cr}}} = \sqrt{\frac{2,5E-04 \cdot 235 \cdot 10^3}{162,57}} = \mathbf{0,595}$$

Parametr  $\Phi_{LT}$ :

$$\Phi_{LT} = 0,5 \cdot [1 + \alpha_{LT} \cdot (\bar{\lambda}_{LT} - \bar{\lambda}_{LT,0}) + \beta \cdot \bar{\lambda}_{LT}^2] = \mathbf{0,744}$$

Součinitel klopení:

$$\chi_{LT} = \frac{1}{\Phi_{LT} + \sqrt{\Phi_{LT}^2 - \beta \cdot \bar{\lambda}_{LT}^2}} = \mathbf{0,8394} \left\{ \begin{array}{l} 1,00 \\ \frac{1}{\bar{\lambda}_{LT}^2} = 2,8 \end{array} \right\} = \mathbf{0,84}$$

Únosnost při klopení:

$$M_{y,Rd} = \frac{\chi_{LT} \cdot W_y \cdot f_{yk}}{\gamma_{M1}} = \mathbf{48,35 \text{ kNm}}$$

$$\frac{M_{y,ed}}{M_{y,Rd}} = \frac{0,176}{48,35} = \mathbf{0,00 < 1}$$

**Interakce tlak + ohyb**

$$N_{ed} = -95,72 \text{ kN}$$

$$V_{ed} = 0 \text{ kN}$$

$$M_{ed} = 0,176 \text{ kNm}$$

$$M_{z,ed} = 1,961 \text{ kNm}$$

Součinitele ekvivalentních konstantních momentů:

$$C_{my} = 0,95$$

$$C_{mz} = 0,95$$

$$C_{mLT} = 0,95$$

Součinitele interakce:

$$N_{Rk} = 911,10 \text{ kN}$$

$$M_{y,Rk} = 57,60 \text{ kNm}$$

$$M_{z,Rk} = 27,64 \text{ kNm}$$

$$k_{yy} = \min \left\{ \begin{array}{l} C_{my} \left( 1 + (\bar{\lambda}_y - 0,2) \cdot \frac{N_{ed}}{\chi_y \cdot N_{Rk}} \right) = 0,984 \\ C_{my} \left( 1 + 0,8 \cdot \frac{N_{ed}}{\chi_y \cdot N_{Rk}} \right) = 1,037 \end{array} \right\} = \mathbf{0,984}$$

$$k_{zy} = 0,6 \cdot k_{yy} = \mathbf{0,590}$$

$$k_{zz} = \min \left\{ \begin{array}{l} C_{mz} \left( 1 + (\bar{\lambda}_z - 0,2) \cdot \frac{N_{ed}}{\chi_z \cdot N_{Rk}} \right) = 1,043 \\ C_{mz} \left( 1 + 0,8 \cdot \frac{N_{ed}}{\chi_z \cdot N_{Rk}} \right) = 1,065 \end{array} \right\} = \mathbf{1,043}$$

$$k_{yz} = 0,6 \cdot k_{zz} = \mathbf{0,626}$$



Posouzení:

$$\gamma_{M1} = 1$$

1)

$$\frac{N_{ed}}{\chi_y \cdot N_{Rk} / \gamma_{M1}} + k_{yy} \cdot \frac{M_{y,Ed}}{\chi_{LT} \cdot M_{y,Rk} / \gamma_{M1}} + k_{yz} \cdot \frac{M_{z,Ed}}{M_{z,Rk} / \gamma_{M1}} = \mathbf{0,162}$$

$$\mathbf{0,162 < 1}$$

2)

$$\frac{N_{ed}}{\chi_z \cdot N_{Rk} / \gamma_{M1}} + k_{zy} \cdot \frac{M_{y,Ed}}{\chi_{LT} \cdot M_{y,Rk} / \gamma_{M1}} + k_{zz} \cdot \frac{M_{z,Ed}}{M_{z,Rk} / \gamma_{M1}} = \mathbf{0,227}$$

$$\mathbf{0,227 < 1}$$

3)

$$\frac{N_{ed}}{N_{Rk} / \gamma_{M1}} + \frac{M_{y,Ed}}{M_{y,Rk} / \gamma_{M1}} + \frac{M_{z,Ed}}{M_{z,Rk} / \gamma_{M1}} = \mathbf{0,179}$$

$$\mathbf{0,179 < 1}$$

**Posouzení schodišťového ramena**

Průřez: UPE 120

Zatřídění průřezu:*Tlačený nebo tlačený a ohýbaný průřez*

$$f_{yd} = 235 \text{ MPa}$$

$$N_{ed} = -10,07 \text{ kN}$$

Stojina:

$$\alpha = 0,5 \times \left( 1 + \frac{N_{ed}}{t_w \times f_{yd} \times d} \right) = 0,554$$

$$\left. \begin{aligned} \frac{c}{t_w} = \frac{d}{t_w} = 16 \\ \frac{396 \cdot \epsilon}{13 \cdot \alpha - 1} = 63,906 \end{aligned} \right\} 16,0 \leq 63,9 \quad \text{Průřez třídy 1}$$

Pásnice:

$$\alpha = 0,5 \times \left( 1 + \frac{N_{ed}}{t_f \times f_{yd} \times d} \right) = 0,562$$

$$\left. \begin{aligned} \frac{c}{t_f} = 5,375 \\ 9 \times \epsilon = 9 \end{aligned} \right\} 5,4 \leq 9,0 \quad \text{Průřez třídy 1}$$

*Nosník splňuje podmínku třídy 1*

Průřezové char.

$$h = 120 \text{ mm}$$

$$b = 60 \text{ mm}$$

$$t_w = 5 \text{ mm}$$

$$t_f = 8 \text{ mm}$$

$$r = 12 \text{ mm}$$

$$d = 80 \text{ mm}$$

$$c = 43 \text{ mm}$$

$$A = 1542 \text{ mm}^2$$

$$I_y = 3635000 \text{ mm}^4$$

$$I_z = 554000 \text{ mm}^4$$

$$I_w = 1,1E+09 \text{ mm}^6$$

$$I_t = 29000 \text{ mm}^4$$

$$W_{pl,y} = 70330 \text{ mm}^3$$

$$W_{pl,z} = 25280 \text{ mm}^3$$

$$A_{vz} = 718 \text{ mm}^2$$

$$\epsilon = \sqrt{\frac{235}{235}} = 1,0$$

$$E = 210 \text{ GPa}$$

**Vzpěr**

$$N_{ed} = -10,07 \text{ kN}$$

$$V_{ed} = 7,737 \text{ kN}$$

$$M_{y,ed} = 5,262 \text{ kNm}$$

Vzpěrné délky

$$L_{cr,y} = L = 2,72 \text{ m}$$

$$L_{cr,z} = 2,72 \text{ m}$$

Kritické síly:

$$N_{cr,y} = \frac{\pi^2 \cdot E \cdot I_y}{L_{cr,y}^2} = \frac{\pi^2 \cdot 210 \cdot 10^6 \cdot 4E-06}{7,398} = 1018,32 \text{ kN}$$

$$N_{cr,z} = 155,20 \text{ kN}$$

Poměrná štíhlost:

$$\lambda_y = \sqrt{\frac{A \cdot f_{yd}}{N_{cr,y}}} = \sqrt{\frac{0,002 \cdot 235 \cdot 10^3}{1018,32}} = 0,597$$

$$\lambda_z = \sqrt{\frac{A \cdot f_{yd}}{N_{cr,z}}} = \sqrt{\frac{0,554 \cdot 0 \cdot 10^3}{155,20}} = 1,444$$

$$\chi_y = 0,785$$

$$\chi_z = 0,334$$

Posouzení:

$$\gamma_{M1} = 1$$

$$N_{b,Rd} = \frac{\min(\chi_y; \chi_z) \cdot A \cdot f_{yd}}{\gamma_{M1}} = 121,03 \text{ kN}$$

$$\frac{N_{ed}}{N_{b,Rd}} = \frac{10,074}{121,03} = 0,08 < 1$$

**Klopení**

$$N_{ed} = -10,07 \text{ kN}$$

$$V_{ed} = 7,737 \text{ kN}$$

$$M_{y,ed} = 5,262 \text{ kNm}$$

Součinitele kritické délky:

$$k_y = 1,0 \quad k_z = 1,0 \quad k_w = 1,0$$

**Tabulka B.1 – Interakční součinitele  $k_{ij}$  pro pruty, které nejsou náchylné ke zkroucení**

Interakční součinitele	Typ průřezu	Předpoklady navrhování	
		Pružnostní návrh – průřezy třídy 3 a 4	Plasticitní návrh – průřezy třídy 1 a 2
$k_{yy}$	I průřezy, pravouhlé duté průřezy	$C_{my} \left( 1 + 0,6 \bar{\lambda}_y \frac{N_{Ed}}{\chi_y N_{Rk} / \gamma_{M1}} \right) \leq C_{my} \left( 1 + 0,6 \frac{N_{Ed}}{\chi_y N_{Rk} / \gamma_{M1}} \right)$	$C_{my} \left( 1 + (\bar{\lambda}_y - 0,2) \frac{N_{Ed}}{\chi_y N_{Rk} / \gamma_{M1}} \right) \leq C_{my} \left( 1 + 0,8 \frac{N_{Ed}}{\chi_y N_{Rk} / \gamma_{M1}} \right)$
$k_{yz}$	I průřezy, pravouhlé duté průřezy	$k_{zz}$	$0,6 k_{zz}$
$k_{zy}$	I průřezy, pravouhlé duté průřezy	$0,8 k_{yy}$	$0,6 k_{yy}$
$k_{zz}$	I průřezy	$C_{mz} \left( 1 + 0,6 \bar{\lambda}_z \frac{N_{Ed}}{\chi_z N_{Rk} / \gamma_{M1}} \right) \leq C_{mz} \left( 1 + 0,6 \frac{N_{Ed}}{\chi_z N_{Rk} / \gamma_{M1}} \right)$	$C_{mz} \left( 1 + (2\bar{\lambda}_z - 0,6) \frac{N_{Ed}}{\chi_z N_{Rk} / \gamma_{M1}} \right) \leq C_{mz} \left( 1 + 1,4 \frac{N_{Ed}}{\chi_z N_{Rk} / \gamma_{M1}} \right)$
	pravouhlé duté průřezy		$C_{mz} \left( 1 + (\bar{\lambda}_z - 0,2) \frac{N_{Ed}}{\chi_z N_{Rk} / \gamma_{M1}} \right) \leq C_{mz} \left( 1 + 0,8 \frac{N_{Ed}}{\chi_z N_{Rk} / \gamma_{M1}} \right)$

Pro I a H-průřezy a pro pravouhlé duté průřezy namáhané osovým tlakem a rovinným ohybem  $M_{y,Ed}$  může být  $k_{zy} = 0$ .

Parametr kroucení:

$$L_{LT} = 2,72 \text{ m}$$

$$G = 80,7 \text{ GPa}$$

$$k_{wt} = \frac{\pi}{k_w \cdot L_{LT}} \cdot \sqrt{\frac{E \cdot I_w}{G \cdot I_t}} = \frac{\pi}{1,0 \cdot 2,7} \cdot \sqrt{\frac{210 \cdot 10^6 \cdot 1E-09}{80,7 \cdot 10^6 \cdot 3E-08}} = 0,366$$

Součinitele  $C_1; C_2; C_3$ :

$$\psi = 0$$

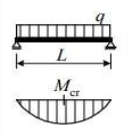
$$C_{1,1} = 1,13$$

$$C_{1,0} = 1,13$$

$$C_1 = C_{1,0} + (C_{1,1} - C_{1,0}) \cdot k_{wt} = 1,13$$

$$C_2 = 0,46$$

**Tabulka NB.3.2 – Hodnoty součinitelů  $C_1, C_2$  a  $C_3$  pro různé případy příčné zatížení v závislosti na hodnotě součinitelů  $k_y, k_z, k_w$  a součinitelů  $\psi$  a  $k_{wt}$**

Zatížení a podmínky podepření	Součinitele vzpěrné délky			Hodnoty součinitelů							
	$k_y$	$k_z$	$k_w$	$C_1$ <sup>1)</sup>		$C_2$			$C_3$		
				$C_{1,0}$	$C_{1,1}$	$\perp$ $\psi_f = -1$	$\perp$ $\perp$ $\perp$ $0,9 \leq \psi_f \leq 0,9$	$\top$ $\psi_f = 1$	$\perp$ $\psi_f = -1$	$\perp$ $\perp$ $\perp$ $0,9 \leq \psi_f \leq 0,9$	$\top$ $\psi_f = 1$
	1	1	1	1,13	1,13	0,33	0,46	0,50	0,93	0,53	0,38
	1	1	0,5	1,13	1,23	0,33	0,39	0,50	0,93	0,81	0,38
	1	0,5	1	0,95	1,00	0,25	0,41	0,40	0,84	0,48	0,44
	1	0,5	0,5	0,95	0,97	0,25	0,31	0,40	0,84	0,67	0,44

Bezrozměrný parametr působivosti zatížení vzhledem ke středu smyku:

$$z_g = h_{UPE}/2$$

$$z_g = 60 \text{ mm}$$

$$\zeta_g = \frac{\pi \cdot z_g}{k_z \cdot L_{LT}} \cdot \sqrt{\frac{E \cdot I_z}{G \cdot I_t}} = \frac{\pi \cdot 0,06}{1,0 \cdot 2,72} \cdot \sqrt{\frac{210 \cdot 10^6 \cdot 6E-07}{80,7 \cdot 10^6 \cdot 3E-08}} = 0,489$$

Bezrozměrný kritický moment:

$$\mu_{cr} = \frac{C_1}{k_z} \cdot \left( \sqrt{1 + k_{wt}^2 + [C_2 \cdot \zeta_g]^2} - [C_2 \cdot \zeta_g] \right) = 1,262$$

Kritický moment:

$$M_{cr} = \mu_{cr} \cdot \frac{\pi \cdot \sqrt{E \cdot I_z \cdot G \cdot I_t}}{L_{LT}} = 24,06 \text{ kNm}$$

Poměrná štíhlost při klopení:

$$\bar{\lambda}_{LT} = \sqrt{\frac{W_y \cdot f_{yk}}{M_{cr}}} = \sqrt{\frac{7,0E-05 \cdot 235 \cdot 10^3}{24,06}} = 0,829$$

Parametr  $\Phi_{LT}$ :

$$\Phi_{LT} = 0,5 \cdot [1 + \alpha_{LT} \cdot (\bar{\lambda}_{LT} - \bar{\lambda}_{LT,0}) + \beta \cdot \bar{\lambda}_{LT}^2] = 0,803$$

Součinitel klopení:

$$\chi_{LT} = \frac{1}{\Phi_{LT} + \sqrt{\Phi_{LT}^2 - \beta \cdot \bar{\lambda}_{LT}^2}} = 0,8607 \left\{ \begin{array}{l} 1,00 \\ \frac{1}{\bar{\lambda}_{LT}^2} = 1,5 \end{array} \right\} = 0,861$$

Únosnost při klopení:

$$M_{y,Rd} = \frac{\chi_{LT} \cdot W_y \cdot f_{yk}}{\gamma_{M1}} = \frac{0,861 \cdot 7,0E-05 \cdot 235 \cdot 10^3}{1} = 14,23 \text{ kNm}$$

$$\frac{M_{y,ed}}{M_{y,Rd}} = \frac{5,262}{14,23} = 0,37 < 1$$

**Interakce tlak + ohyb**

$$N_{ed} = -10,07 \text{ kN}$$

$$V_{ed} = 7,737 \text{ kN}$$

$$M_{ed} = 5,262 \text{ kNm}$$

Součinitele ekvivalentních konstantních momentů:

$$C_{my} = 0,95$$

$$C_{mLT} = 0,95$$

Součinitele interakce:

$$k_{yy} = \min \left\{ \begin{array}{l} C_{my} \left( 1 + (\bar{\lambda}_y - 0,2) \cdot \frac{N_{ed}}{\chi_y \cdot N_{Rk}} \right) = 0,963 \\ C_{my} \left( 1 + 0,8 \cdot \frac{N_{ed}}{\chi_y \cdot N_{Rk}} \right) = 0,925 \end{array} \right\} = 0,925$$

$$k_{zy} = \min \left\{ \begin{array}{l} 1 - \frac{0,1 \cdot \bar{\lambda}_z}{(C_{mLT} - 0,25)} \cdot \frac{N_{ed}}{\chi_z \cdot N_{Rk}} = 0,983 \\ 0,6 + \bar{\lambda}_z = 0,6 + 1,4 = 2,04 \end{array} \right\} = 0,98$$

Posouzení:

1)

$$\frac{N_{ed}}{\chi_y \cdot N_{Rk} / \gamma_{M1}} + k_{yy} \cdot \frac{M_{y,ed}}{\chi_{LT} \cdot M_{y,Rk} / \gamma_{M1}} = 0,3778$$

$$\alpha_{LT} = b = 0,21$$

$$\beta = 0,75$$

$$\bar{\lambda}_{LT,0} = 0,40$$

$$N_{Rk} = 362,37 \text{ kN}$$

$$M_{y,Rk} = 16,53 \text{ kNm}$$

$$\gamma_{M1} = 1$$

$$0,38 < 1$$

2)

$$\frac{N_{ed}}{\chi_z \cdot N_{Rk} / \gamma_{M1}} + k_{zy} \cdot \frac{M_{y,Ed}}{\chi_{LT} \cdot M_{y,Rk} / \gamma_{M1}} = 0,4468$$

$$0,45 < 1$$

3)

$$\frac{N_{ed}}{N_{Rk} / \gamma_{M0}} + \frac{M_{y,Ed}}{M_{y,Rk} / \gamma_{M0}} = 0,3462$$

$$0,35 < 1$$

$$\gamma_{M0} = 1$$

**Smyk**

$$V_{pl,Rd} = \frac{A_{vz} \cdot f_{yk}}{\sqrt{3} \cdot \gamma_{M0}} = 97,42 \text{ kN}$$

$$\frac{V_{ed}}{V_{pl,Rd}} = 0,1 \leq 0,5$$

**Posouzení MSP**

- svislý průhyb

$$w_{max} < \frac{L}{250} = \frac{2720}{250} = 10,88 \text{ mm}$$

$$w = 9,1 \text{ mm}$$

$$w_{max} > w$$

$$10,88 > 9 \text{ VYHOVUJE}$$

**Posouzení schodišťového nosníku**

Průřez: IPE 160

Zatřídění průřezu:*Tlačený nebo tlačený a ohýbaný průřez*

$$f_{yd} = 235 \text{ MPa}$$

$$N_{ed} = 0 \text{ kN}$$

Stojina:

$$\alpha = 0,5 \times \left( 1 + \frac{N_{ed}}{t_w \times f_{yd} \times d} \right) = 0,5$$

$$\left. \begin{aligned} \frac{c}{t_w} = \frac{d}{t_w} &= 25,44 \\ \frac{396 \cdot \epsilon}{13 \cdot \alpha - 1} &= 72 \end{aligned} \right\} 25,4 \leq 72,0 \quad \text{Průřez třídy 1}$$

Pásnice:

$$\alpha = 0,5 \times \left( 1 + \frac{N_{ed}}{t_f \times f_{yd} \times d} \right) = 0,5$$

$$\left. \begin{aligned} \frac{c}{t_f} &= 4,0 \\ 9 \times \epsilon &= 9 \end{aligned} \right\} 4,0 \leq 9,0 \quad \text{Průřez třídy 1}$$

*Nosník splňuje podmínku třídy 1*

Průřezové char.

$$h = 160 \text{ mm}$$

$$b = 82 \text{ mm}$$

$$t_w = 5 \text{ mm}$$

$$t_f = 7,4 \text{ mm}$$

$$r = 9 \text{ mm}$$

$$d = 127,2 \text{ mm}$$

$$c = 29,5 \text{ mm}$$

$$A = 2009 \text{ mm}^2$$

$$I_y = 8693000 \text{ mm}^4$$

$$I_z = 683100 \text{ mm}^4$$

$$I_w = 4E+09 \text{ mm}^6$$

$$I_t = 36040 \text{ mm}^4$$

$$W_{pl,y} = 123900 \text{ mm}^3$$

$$W_{pl,z} = 26100 \text{ mm}^3$$

$$A_{vz} = 966 \text{ mm}^2$$

$$\epsilon = \sqrt{\frac{235}{235}} = 1,0$$

$$E = 210 \text{ GPa}$$

**Vzpěr**

$$N_{ed} = 0 \text{ kN}$$

$$V_{ed} = 12,721 \text{ kN}$$

$$M_{y,ed} = 14,411 \text{ kNm}$$

$$M_{z,ed} = 1,023 \text{ kNm}$$

Vzpěrné délky

$$L_{cr,y} = L = 2,655 \text{ m}$$

$$L_{cr,z} = L = 2,655 \text{ m}$$

Kritické síly:

$$N_{cr,y} = \frac{\pi^2 \cdot E \cdot I_y}{L_{cr,y}^2} = \frac{\pi^2 \cdot 210 \cdot 10^6 \cdot 9E-06}{7,049} = 2555,99 \text{ kN}$$

$$N_{cr,z} = \frac{\pi^2 \cdot E \cdot I_z}{L_{cr,z}^2} = \frac{\pi^2 \cdot 210 \cdot 10^6 \cdot 7E-07}{7,049} = 200,85 \text{ kN}$$

Poměrná štíhlost:

$$\lambda_y = \sqrt{\frac{A \cdot f_{yd}}{N_{cr,y}}} = \sqrt{\frac{0,002 \cdot 235 \cdot 10^3}{2555,99}} = 0,430 \quad \rightarrow \quad \chi_y = 0,945$$

$$\lambda_z = \sqrt{\frac{A \cdot f_{yd}}{N_{cr,z}}} = \sqrt{\frac{0,002 \cdot 235 \cdot 10^3}{200,85}} = 1,533 \quad \rightarrow \quad \chi_z = 0,331$$

$\gamma_{M1} = 1$

Posouzení:

$$N_{b,Rd} = \frac{\min(\chi_y; \chi_z) \cdot A \cdot f_{yd}}{\gamma_{M1}} = 156,27 \text{ kN}$$

$$\frac{N_{ed}}{N_{b,Rd}} = \frac{0}{156,27} = 0,00 < 1$$

Klopení

$N_{ed} = 0 \text{ kN}$

$V_{ed} = 12,721 \text{ kN}$

$M_{y,ed} = 14,411 \text{ kNm}$

$M_{z,ed} = 1,023 \text{ kNm}$

Součinitele kritické délky:

$k_y = 1,0 \quad k_z = 1,0 \quad k_w = 1,0$

Tabulka B.1 – Interakční součinitele  $k_{ij}$  pro pruty, které nejsou náchylné ke zkroucení

Interakční součinitele	Typ průřezu	Předpoklady navrhování	
		Pružnostní návrh – průřezy třídy 3 a 4	Plasticitní návrh – průřezy třídy 1 a 2
$k_{yy}$	I průřezy, pravouhlé duté průřezy	$C_{my} \left( 1 + 0,6 \bar{\lambda}_y \frac{N_{ed}}{\chi_y N_{Rk} / \gamma_{M1}} \right) \leq C_{my} \left( 1 + 0,6 \frac{N_{ed}}{\chi_y N_{Rk} / \gamma_{M1}} \right)$	$C_{my} \left( 1 + (\bar{\lambda}_y - 0,2) \frac{N_{ed}}{\chi_y N_{Rk} / \gamma_{M1}} \right) \leq C_{my} \left( 1 + 0,8 \frac{N_{ed}}{\chi_y N_{Rk} / \gamma_{M1}} \right)$
$k_{yz}$	I průřezy, pravouhlé duté průřezy	$k_{zz}$	$0,6 k_{zz}$
$k_{zy}$	I průřezy, pravouhlé duté průřezy	$0,8 k_{yy}$	$0,6 k_{yy}$
$k_{zz}$	I průřezy	$C_{mz} \left( 1 + 0,6 \bar{\lambda}_z \frac{N_{ed}}{\chi_z N_{Rk} / \gamma_{M1}} \right) \leq C_{mz} \left( 1 + 0,6 \frac{N_{ed}}{\chi_z N_{Rk} / \gamma_{M1}} \right)$	$C_{mz} \left( 1 + (2\bar{\lambda}_z - 0,6) \frac{N_{ed}}{\chi_z N_{Rk} / \gamma_{M1}} \right) \leq C_{mz} \left( 1 + 1,4 \frac{N_{ed}}{\chi_z N_{Rk} / \gamma_{M1}} \right)$
	pravouhlé duté průřezy		$C_{mz} \left( 1 + (\bar{\lambda}_z - 0,2) \frac{N_{ed}}{\chi_z N_{Rk} / \gamma_{M1}} \right) \leq C_{mz} \left( 1 + 0,8 \frac{N_{ed}}{\chi_z N_{Rk} / \gamma_{M1}} \right)$

Pro I a H-průřezy a pro pravouhlé duté průřezy namáhané osovým tlakem a rovinným ohybem  $M_{y,Ed}$  může být  $k_{zy} = 0$ .

Parametr kroucení:

$L_{LT} = 2,655 \text{ m}$   
 $G = 80,7 \text{ GPa}$

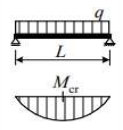
$$k_{wt} = \frac{\pi}{k_w \cdot L_{LT}} \cdot \sqrt{\frac{E \cdot I_w}{G \cdot I_t}} = \frac{\pi}{1,0 \cdot 2,7} \cdot \sqrt{\frac{210 \cdot 10^6 \cdot 4E-09}{80,7 \cdot 10^6 \cdot 4E-08}} = 0,633$$

Součinitele  $C_1; C_2; C_3$ :

$\psi = 0$   
 $C_{1,1} = 1,13$   
 $C_{1,0} = 1,13$

$C_1 = C_{1,0} + (C_{1,1} - C_{1,0}) \cdot k_{wt} = 1,13$   
 $C_2 = 0,46$

Tabulka NB.3.2 – Hodnoty součinitelů  $C_1, C_2$  a  $C_3$  pro různé případy příčného zatížení v závislosti na hodnotě součinitelů  $k_y, k_z, k_w$  a součinitelů  $\psi$  a  $k_{wt}$

Zatížení a podmínky podepření	Součinitele vzpěrné délky			Hodnoty součinitelů								
	$k_y$	$k_z$	$k_w$	$C_1$ <sup>1)</sup>		$C_2$			$C_3$			
				$C_{1,0}$	$C_{1,1}$	$\perp$ $\psi_f = -1$	$\perp$ $-0,9 \leq \psi_f \leq 0,9$	$\perp$ $\psi_f = 1$	$\perp$ $\psi_f = -1$	$\perp$ $-0,9 \leq \psi_f \leq 0,9$	$\perp$ $\psi_f = 1$	
	1	1	1	1,13	1,13	0,33	0,46	0,50	0,93	0,53	0,38	
	1	1	0,5	1,13	1,23	0,33	0,39	0,50	0,93	0,81	0,38	
	1	0,5	1	0,95	1,00	0,25	0,41	0,40	0,84	0,48	0,44	
	1	0,5	0,5	0,95	0,97	0,25	0,31	0,40	0,84	0,67	0,44	

$$z_g = h_{IPE}/2$$

$$z_g = 80 \text{ mm}$$

$$\alpha_{LT} = b = 0,21$$

$$\beta = 0,75$$

$$\bar{\lambda}_{LT,0} = 0,40$$

$$N_{Rk} = 472,12 \text{ kN}$$

$$M_{y,Rk} = 29,12 \text{ kNm}$$

$$M_{z,Rk} = 6,13 \text{ kNm}$$

Bezrozměrný parametr působivosti zatížení vzhledem ke středu smyku:

$$\zeta_g = \frac{\pi \cdot z_g}{k_z \cdot L_{LT}} \cdot \sqrt{\frac{E \cdot I_z}{G \cdot I_t}} = \frac{\pi \cdot 0,08}{1,0 \cdot 2,66} \cdot \sqrt{\frac{210 \cdot 10^6 \cdot 7E-07}{80,7 \cdot 10^6 \cdot 4E-08}} = \mathbf{0,665}$$

Bezrozměrný kritický moment:

$$\mu_{cr} = \frac{C_1}{k_z} \cdot \left( \sqrt{1 + \kappa_{wt}^2 + [C_2 \cdot \zeta_g]^2} - [C_2 \cdot \zeta_g] \right) = \mathbf{1,613}$$

Kritický moment:

$$M_{cr} = \mu_{cr} \cdot \frac{\pi \cdot \sqrt{E \cdot I_z \cdot G \cdot I_t}}{L_{LT}} = \mathbf{38,97 \text{ kNm}}$$

Poměrná štíhlost při klopení:

$$\bar{\lambda}_{LT} = \sqrt{\frac{W_y \cdot f_{yk}}{M_{cr}}} = \sqrt{\frac{1,2E-04 \cdot 235 \cdot 10^3}{38,97}} = \mathbf{0,864}$$

Parametr  $\Phi_{LT}$ :

$$\Phi_{LT} = 0,5 \cdot [1 + \alpha_{LT} \cdot (\bar{\lambda}_{LT} - \bar{\lambda}_{LT,0}) + \beta \cdot \bar{\lambda}_{LT}^2] = \mathbf{0,829}$$

Součinitel klopení:

$$\chi_{LT} = \frac{1}{\Phi_{LT} + \sqrt{\Phi_{LT}^2 - \beta \cdot \bar{\lambda}_{LT}^2}} = \mathbf{0,8439} \left[ \begin{array}{l} 1,00 \\ \frac{1}{\bar{\lambda}_{LT}^2} = 1,3 \end{array} \right] = \mathbf{0,844}$$

Únosnost při klopení:

$$M_{y,Rd} = \frac{\chi_{LT} \cdot W_y \cdot f_{yk}}{Y_{M1}} = \frac{0,844 \cdot 1,2E-04 \cdot 235 \cdot 10^3}{1} = \mathbf{24,57 \text{ kNm}}$$

$$\frac{M_{y,ed}}{M_{y,Rd}} = \frac{14,411}{24,57} = \mathbf{0,59 < 1}$$

**Interakce tlak + ohyb**

$$N_{ed} = 0 \text{ kN}$$

$$V_{ed} = 12,721 \text{ kN}$$

$$M_{y,ed} = 14,411 \text{ kNm}$$

$$M_{z,ed} = 1,023 \text{ kNm}$$

Součinitele ekvivalentních konstantních momentů:

$$C_{my} = 0,95$$

$$C_{mz} = 0,95$$

$$C_{mLT} = 0,95$$

Součinitele interakce:

$$k_{yy} = \min \left\{ \begin{array}{l} C_{my} \left( 1 + (\bar{\lambda}_y - 0,2) \cdot \frac{N_{ed}}{\chi_y \cdot N_{Rk}} \right) = 0,950 \\ C_{my} \left( 1 + 0,8 \cdot \frac{N_{ed}}{\chi_y \cdot N_{Rk}} \right) = 0,900 \end{array} \right\} = \mathbf{0,900}$$

$$k_{zy} = \min \left\{ \begin{array}{l} 1 - \frac{0,1 \cdot \bar{\lambda}_z}{(C_{mLT} - 0,25)} \cdot \frac{N_{ed}}{\chi_z \cdot N_{Rk}} = 1,00 \\ 0,6 + \bar{\lambda}_z = 0,6 + 1,5 = 2,13 \end{array} \right\} = \mathbf{1,00}$$



$$k_{zz} = \min \left\{ \begin{array}{l} C_{mz} \left[ 1 + (2\bar{\lambda}_z - 0,6) \cdot \frac{N_{ed}}{\chi_z \cdot N_{Rk}} \right] = 0,950 \\ C_{mz} \left[ 1 + 1,4 \cdot \frac{N_{ed}}{\chi_z \cdot N_{Rk}} \right] = 1,0 \end{array} \right\} = \mathbf{0,950}$$

$$k_{yz} = 0,6 \cdot k_{zz} = \mathbf{0,570}$$

Posouzení:

1)

$$Y_{M1} = 1$$

$$\frac{N_{ed}}{\chi_y \cdot N_{Rk} / Y_{M1}} + k_{yy} \cdot \frac{M_{y,Ed}}{\chi_{LT} \cdot M_{y,Rk} / Y_{M1}} + k_{yz} \cdot \frac{M_{z,Ed}}{M_{z,Rk} / Y_{M1}} = \mathbf{0,6229}$$

$$\mathbf{0,6229 < 1}$$

2)

$$\frac{N_{ed}}{\chi_z \cdot N_{Rk} / Y_{M1}} + k_{zy} \cdot \frac{M_{y,Ed}}{\chi_{LT} \cdot M_{y,Rk} / Y_{M1}} + k_{zz} \cdot \frac{M_{z,Ed}}{M_{z,Rk} / Y_{M1}} = \mathbf{0,7449}$$

$$\mathbf{0,7449 < 1}$$

3)

$$\frac{N_{ed}}{N_{Rk} / Y_{M0}} + \frac{M_{y,Ed}}{M_{y,Rk} / Y_{M0}} + \frac{M_{z,Ed}}{M_{z,Rk} / Y_{M0}} = \mathbf{0,6617}$$

$$\mathbf{0,6617 < 1}$$

**Smyk**

$$Y_{M0} = 1$$

$$V_{pl,Rd} = \frac{A_{vz} \cdot f_{yk}}{\sqrt{3} \cdot Y_{M0}} = \mathbf{131,06 \text{ kN}}$$

$$\frac{V_{ed}}{V_{pl,Rd}} = \mathbf{0,1 \leq 0,5}$$

**Posouzení MSP**

- svislý průhyb

$$w_{max} < \frac{L}{250} = \frac{2655}{250} = 10,62 \text{ mm}$$

$$w = 5,9 \text{ mm}$$

$$w_{max} > w$$

$$\mathbf{10,62 > 6 \text{ VYHOVUJE}}$$

## Posouzení prvků konstrukce pro mezní stav únosnosti - přehled

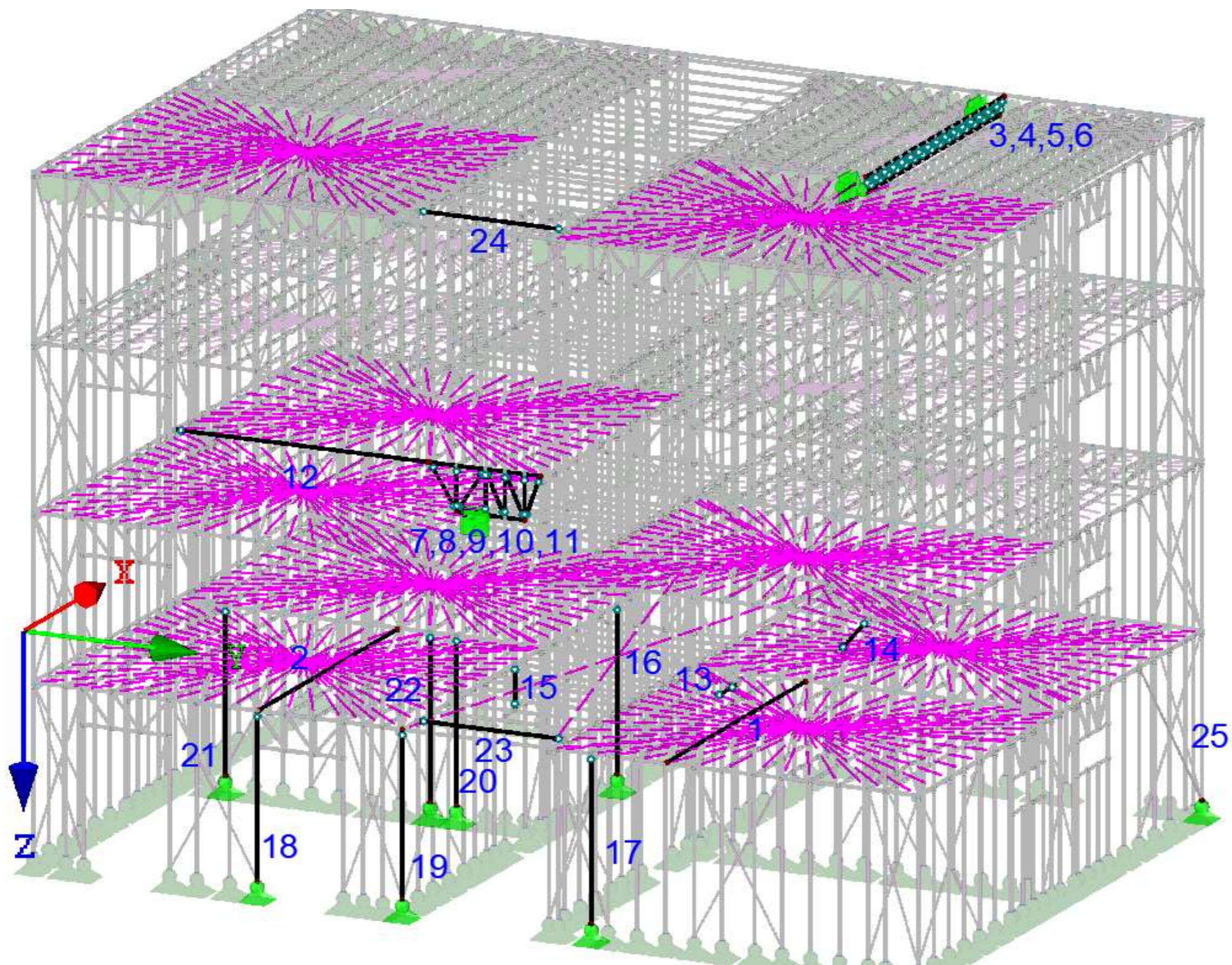
## Kombinace ohybu a normálové síly

Číslo	Prvek	Profil	Účinky zatížení			Vzpěrné délky			Únosnost				Posouzení	
			N <sub>ED</sub> (kN)	M <sub>y,ED</sub> (kNm)	M <sub>z,ED</sub> (kNm)	L <sub>cr,y</sub> mm	L <sub>cr,z</sub> mm	L <sub>cr,T</sub> mm	N <sub>t,RD</sub> (kN)	N <sub>c,RD</sub> (kN)	M <sub>RD,y</sub> (kNm)	M <sub>RD,z</sub> (kNm)	Využití M+N %	Vyhovuje? -
1	Stropní nosník	C300-2.0	0,00	18,81	0,00						22,83		82,4	vyhovuje
2	Stropní nosník zdvojený	2xC300-2.0	0,00	24,21	0,00						45,66		53,0	vyhovuje
3	Střešní vazník - horní pás	C100-1,6	12,39	0,00	0,12				107,21			0,19	72,1	vyhovuje
4	Střešní vazník - dolní pás	C100-1,6	22,76	0,00	0,14				107,21			0,19	96,5	vyhovuje
5	Střešní vazník - diagonála tlačená	C100-1,6	-5,33	0,00	0,00	350	350	350		-66,40			8,0	vyhovuje
6	Střešní vazník - diagonála tažená	C100-1,6	5,38	0,00	0,00				107,21				5,0	vyhovuje
7	Průvlak - horní pas	C150-1,6	0,00	0,00	0,52							0,69	75,9	vyhovuje
8	Průvlak - dolní pas	C150-1,6	24,58	0,00	0,01				138,55			0,61	18,6	vyhovuje
9	Průvlak - diagonála tažená	C150-1,6	36,32	0,00	0,00				138,55				26,2	vyhovuje
10	Průvlak - diagonála tlačená	C150-1,6	-23,23	0,00	0,00	1000	1000	1000		-44,06			52,7	vyhovuje
11	Průvlak - svislice	C150-1,6	-21,66	0,00	0,00	850	850	850		-49,20			44,0	vyhovuje
12	Překlad horní pas	C150-1,6	0,00	0,00	0,53							0,91	58,0	vyhovuje
13	Překlad dolní pas	C150-1,6	-4,51	0,66	0,10	550	1645	1645		-28,36	5,57	0,61	64,7	vyhovuje
14	Překlad diagonála	C150-1,6	16,20	0,00	0,00				138,55				11,7	vyhovuje
15	Překlad svislice	C150-1,6	-20,61	0,84	0,02	850	850	850		-49,20	5,57	0,61	78,2	vyhovuje
16	Obvodový sloupek běžný	C150-1,6	-27,24	0,22	0,09	3171	1057	1057		-42,27	5,57	0,61	99,6	vyhovuje
17	Obvodový sloupek zdvojený	2xC150-1,6	-44,01	0,91	0,24	3171	1057	1057		-84,54	11,14	1,22	99,9	vyhovuje
18	Obvodový sloupek zesílený	JKL 150x100x4.0	-146,03	2,43	0,19	3171	3171			-348,21	22,49	17,04	69,6	vyhovuje
19	Obvodový sloupek rohový zesílený	HEA 160	-95,72	0,18	1,96	3171	3171			-633,21	57,60	27,64	22,7	vyhovuje
20	Interiérový sloupek běžný	C150-1,6	-23,60	0,01	0,00	3171	1057	1057		-42,27	5,57		63,2	vyhovuje
21	Interiérový sloupek zdvojený	2xC150-1,6	-77,56	0,35	0,00	3171	1057	1057		-84,54	11,14		99,6	vyhovuje
22	Interiérový sloupek zesílený	JKL 150x100x4.0	-140,00	0,50	0,00	3171	3171			-348,21	22,49		68,5	vyhovuje
23	Stropní nosník chodba	C150-1,6	0,00	3,42	0,00						5,57		61,4	vyhovuje
24	Střešní nosník chodba	C150-1,6	0,00	1,63	0,00						5,57		29,3	vyhovuje
25	Zavětrovací pás 2x 70x1,2	Plech 70x1,2	34,97	0,00	0,00				58,80				59,5	vyhovuje
26	Schodišťový nosník	IPE 160	0,00	14,41	1,02						24,57	6,13	75,0	vyhovuje
27	Schodišťové rameno	UPE 120	-10,07	5,26	0,00	2720	2720			-121,03			44,7	vyhovuje

## Posouzení prvků konstrukce pro mezní stav použitelnosti

Číslo	Prvek	Profil	Deformace	Limit L/	Rozpětí	Limit	Využití	Vyhovuje?
			(mm)	(-)	(mm)	(mm)	(%)	(-)
1	Stropní nosník	C300-2.0	17,5	250	5627	22,5	77,8	vyhovuje
2	Stropní nosník zdvojený	2xC300-2.0	22,4	250	5627	22,5	99,5	vyhovuje
2	Střešní vazník	C100-1,2	5,4	250	5627	22,5	24,0	vyhovuje
3	Stropní nosník schodistova chodba	C150-1,6	8,5	250	2655	10,6	80,0	vyhovuje
3	Střešní nosník schodistova chodba	C150-1,6	4,9	250	2655	10,6	46,1	vyhovuje
4	Vodorovný posun u vrcholu budovy	-	17,70	500	12700	25,40	69,7	vyhovuje
5	Průvlak	C150-1,6	2,70	400	1300	3,25	83,1	vyhovuje
6	Překlad	C150-1,6	1,70	400	833	2,08	81,6	vyhovuje
5	Schodišťový nosník	IPE 160	5,90	250	2655	10,62	55,6	vyhovuje
5	Schodišťové rameno	UPE 120	9,10	250	2720	10,88	83,6	vyhovuje

Posouzení prvků konstrukce pro mezní stav únosnosti - grafický přehled



**6. Přípoje****Přípoj stropnice na sloupek****Připojení stropního nosníku do vodícího profilu**Návrhové síly:

$$V_{ed} = 14,70 \quad \text{kN}$$

$$N_{ed} = 0 \quad \text{kN}$$

$$M_{ed} = 0 \quad \text{kNm}$$

$$\text{Tloušťka plechu 1} \quad t_1 = 2 \quad \text{mm}$$

$$\text{Tloušťka plechu 2} \quad t_2 = 2 \quad \text{mm}$$

$$\text{Průměr závitu šroubu} \quad d = 4,8 \quad \text{mm}$$

$$d_0 = 3,5 \quad \text{mm}$$

## Minimální rozteče

$$e_1 \geq 3d \quad p_1 \geq 3d \quad 3,0\text{mm} \leq d \leq 8,0\text{mm}$$

$$e_2 \geq 1,5d \quad p_2 \geq 3d$$

$$\text{Rozteče} \quad e_1 = 20 \quad \text{mm}$$

$$e_2 = 20 \quad \text{mm}$$

$$p_1 = 20 \quad \text{mm}$$

$$p_2 = 20 \quad \text{mm}$$

$$\text{Mez pevnosti oceli plechu} \quad f_u = 420 \quad \text{MPa}$$

$$\text{Dílčí součinitel} \quad \gamma_{M2} = 1,25$$

$$\text{Počet šroubů v přípoji} \quad n = 1$$

$$\text{Char. únosnost šroubu ve stříhu} \quad F_{v,Rk,i} = 8 \quad \text{kN}$$

Hodnota z tabulky  
výrobce

**Únosnost ve stříhu**

$$F_{v,Rd} = \frac{n \times F_{v,Rk,i}}{\gamma_{M2}} = \frac{1 \times 8}{1,25} = 6,40 \quad \text{kN}$$

**Únosnost v otláčení dle ČSN EN 1993-1-3**

$$\text{Tloušťka tenčího z plechů} \quad t = 2 \quad \text{mm}$$

$$\text{Tloušťka tlustšího z plechů} \quad t_1 = 2 \quad \text{mm}$$

$$F_{b,Rd} = n \times \frac{\alpha f_u d_0 t}{\gamma_{M2}}$$

$$\text{pro } t=t_1 \quad \longrightarrow \quad \alpha = 3,2 \sqrt{(t/d)} \quad \text{ale } \alpha \leq 2,1$$

$$\text{pro } t_1 \geq 2,5t \text{ a } t < 1,0\text{mm} \quad \longrightarrow \quad \alpha = 3,2 \sqrt{(t/d)} \quad \text{ale } \alpha \leq 2,1$$

$$\text{pro } t_1 \geq 2,5t \text{ a } t < 1,0\text{mm} \quad \longrightarrow \quad \alpha = 2,1$$

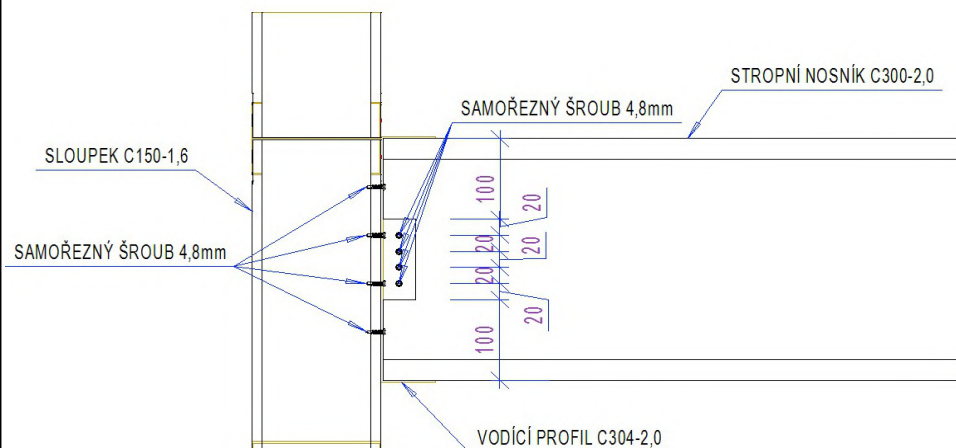
mezilehlé hodnoty interpolací

$$\alpha = 2,066$$

$$F_{b,Rd} = 6,663 \text{ kN}$$

**Výsledná únosnost jednoho šroubu**  $F_{Rd} = 6,40 \text{ kN}$

Počet šroubů v přípoji (ks)	2	4	6	8	10	12
Výsledná únosnost (kN)	12,80	25,60	38,40	51,20	64,00	76,80



Návrh: 4x samořezný šroub  $\varnothing 4,8\text{mm}$

Posouzení:  $\frac{V_{ed}}{F_{b,Rd}} = \frac{14,70}{25,60} = 0,57 \quad \text{VYHOVUJE}$

#### Připojení vodícího profilu na sloupek

Návrhové síly:

$$V_{ed} = 14,70 \text{ kN}$$

$$N_{ed} = 0 \text{ kN}$$

$$M_{ed} = 0 \text{ kNm}$$

Tloušťka plechu 1  $t_1 = 2 \text{ mm}$

Tloušťka plechu 2  $t_2 = 1,6 \text{ mm}$

Průměr závitu šroubu  $d = 4,8 \text{ mm}$

$$d_0 = 3,5 \text{ mm}$$

Rozteče  $e_1 = 60 \text{ mm}$

$$e_2 = 60 \text{ mm}$$

$$p_1 = 60 \text{ mm}$$

$$p_2 = 60 \text{ mm}$$

Mez pevnosti oceli plechu  $f_u = 420 \text{ MPa}$

Dílčí součinitel  $\gamma_{M2} = 1,25$

Počet šroubů v přípoji  $n = 1$

Char. únosnost šroubu ve stříhu  $F_{v,Rk,i} = 8 \text{ kN}$

#### Únosnost ve stříhu

$$F_{v,Rd} = \frac{n \times F_{v,Rk,i}}{\gamma_{M2}} = \frac{1 \times 8}{1,25} = 6,40 \text{ kN}$$

**Únosnost v otláčení dle ČSN EN 1993-1-3**Tloušťka tenčího z plechů  $t = 1,6$  mmTloušťka tlustšího z plechů  $t_1 = 2$  mm

$$F_{b,Rd} = n \times \frac{\alpha f_u d_0 t}{\gamma_{M2}}$$

pro  $t=t_1 \rightarrow \alpha = 3,2 \sqrt{(t/d)}$  ale  $\alpha \leq 2,1$ pro  $t_1 \geq 2,5 \times t$  a  $t < 1,0$  mm  $\rightarrow \alpha = 3,2 \sqrt{(t/d)}$  ale  $\alpha \leq 2,1$ pro  $t_1 \geq 2,5 \times t$  a  $t < 1,0$  mm  $\rightarrow \alpha = 2,1$ 

mezilehlé hodnoty interpolací

$$\alpha = 1,89$$

$$F_{b,Rd} = 4,876 \text{ kN}$$

**Výsledná únosnost jednoho šroubu  $F_{b,Rd} = 4,88$  kN**

Počet šroubů v přípoji (ks)	2	4	6	8	10	12
Výsledná únosnost (kN)	9,75	19,50	29,26	39,01	48,76	58,51

Návrh: 4x samořezný šroub  $\varnothing 4,8$  mm

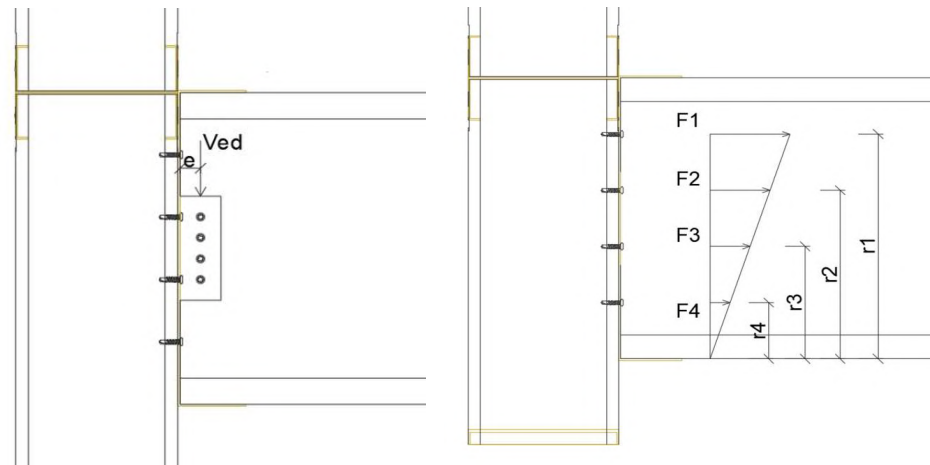
$$\text{Posouzení: } \frac{V_{ed}}{F_{b,Rd}} = \frac{14,70}{19,50} = 0,75 \quad \text{VYHOVUJE}$$

**Únosnost šroubů v tahu dle ČSN EN 1993-1-3**Vytržení - plech tl. 1,6 mmPočet šroubů  $n = 1$  ksPrůměr šroubu  $d = 4,8$  mmMez pevnosti plechu  $f_{u,sup} = 420$  MPaTloušťka plechu  $t_{sup} = 1,6$  mm

$$F_{o,Rd} = n \times \frac{0,65 d t_{sup} f_{u,sup}}{\gamma_{M2}} = 1,677 \text{ kN}$$

Protažení hlavičky - plech tl. 1,6 mmPočet šroubů  $n = 1$  ksPrůměr hlavy šroubu  $d_w = 9,3$  mmMez pevnosti šroubu  $f_u = 360$  MPaTloušťka plechu  $t = 1,6$  mm

$$F_{o,Rd} = n \times \frac{0,5 d_w t f_u}{\gamma_{M2}} = 2,14 \text{ kN}$$

**Tahové zatížení šroubů od excentricity přípoje**

Excentricita	$e = 20 \text{ mm}$
Posouvající síla	$V_{ed} = 14,70 \text{ kN}$
Moment od excentricity	$M = e \times V_{ed} = 0,294 \text{ kNm}$
Rameno síly	$r_1 = r_2 = r_3 = r_4 = 60 \text{ mm}$

$$\text{Tahová síla} \quad F_{t,Ed} = F_1 = \frac{M \times r_1}{2 \times \sum r_i^2} = 0,613 \text{ kN}$$

Návrh: 4x samořezný šroub  $\varnothing 4,8\text{mm}$

$$\text{Posouzení:} \quad \frac{F_{t,Ed}}{F_{o,Rd}} = \frac{0,61}{1,68} = 0,37 \quad \text{VYHOVUJE}$$

**Ohybová únosnost konzolky**

Tloušťka konzolky	$t_{plech} = 2 \text{ mm}$
Výška konzolky	$h_{plech} = 100 \text{ mm}$
Modul pružnosti plechu	$f_y = 350 \text{ MPa}$
Průřezový modul	$W_{el} = \frac{1}{6} \times h_{plech}^2 \times t_{plech} = 3,33E-06 \text{ m}^3$
Moment únosnosti	$M_{Rd} = \frac{W_{el} \times f_y}{\gamma_{M0}} = 1,17 \text{ kNm}$

$$\text{Posouzení:} \quad \frac{M_{Ed}}{M_{Rd}} = \frac{0,29}{1,17} = 0,25 \quad \text{VYHOVUJE}$$

**Smyková únosnost konzolky**

$$V_{Rd} = \frac{h_{plech} \times t_{plech} \times f_y}{\sqrt{3} \times \gamma_{M0}} = 40,41 \text{ kN}$$

$$\text{Posouzení:} \quad \frac{2 \times V_{Ed}}{V_{Rd}} = \frac{29,40}{40,41} = 0,73 \quad \text{VYHOVUJE} \rightarrow \text{MALÝ SMYK}$$

**Přípoj střešního vazníku na sloupek**Návrhové síly:

$$V_{ed} = 5,10 \quad \text{kN}$$

$$N_{ed} = 0 \quad \text{kN}$$

$$M_{ed} = 0 \quad \text{kNm}$$

$$\text{Tloušťka plechu 1} \quad t_1 = 1,6 \quad \text{mm}$$

$$\text{Tloušťka plechu 2} \quad t_2 = 2 \quad \text{mm}$$

$$\text{Průměr závitu šroubu} \quad d = 4,8 \quad \text{mm}$$

$$d_0 = 3,5 \quad \text{mm}$$

## Minimální rozteče

$$e_1 \geq 3d \quad p_1 \geq 3d \quad 3,0\text{mm} \leq d \leq 8,0\text{mm}$$

$$e_2 \geq 1,5d \quad p_2 \geq 3d$$

$$\text{Rozteče} \quad e_1 = 25 \quad \text{mm}$$

$$e_2 = 15 \quad \text{mm}$$

$$p_1 = 50 \quad \text{mm}$$

$$p_2 = 15 \quad \text{mm}$$

$$\text{Mez pevnosti oceli plechu} \quad f_u = 420 \quad \text{MPa}$$

$$\text{Dílčí součinitel} \quad \gamma_{M2} = 1,25$$

$$\text{Počet šroubů v přípoji} \quad n = 1$$

$$\text{Char. Únosnost šroubu ve stříhu} \quad F_{v,Rk,i} = 8 \quad \text{kN}$$

Hodnota z tabulky  
výrobce

**Únosnost ve stříhu**

$$F_{v,Rd} = \frac{n \times F_{v,Rk,i}}{\gamma_{M2}} = \frac{1 \times 8}{1,25} = 6,40 \quad \text{kN}$$

**Únosnost v otláčení dle ČSN EN 1993-1-3**

$$\text{Tloušťka tenčího z plechů} \quad t = 1,6 \quad \text{mm}$$

$$\text{Tloušťka tlustšího z plechů} \quad t_1 = 2 \quad \text{mm}$$

$$F_{b,Rd} = n \times \frac{\alpha f_u d_0 t}{\gamma_{M2}}$$

$$\text{pro } t=t_1 \quad \longrightarrow \quad \alpha = 3,2 \sqrt{(t/d)} \quad \text{ale } \alpha \leq 2,1$$

$$\text{pro } t_1 \geq 2,5 \times t \text{ a } t < 1,0\text{mm} \quad \longrightarrow \quad \alpha = 3,2 \sqrt{(t/d)} \quad \text{ale } \alpha \leq 2,1$$

$$\text{pro } t_1 \geq 2,5 \times t \text{ a } t < 1,0\text{mm} \quad \longrightarrow \quad \alpha = 2,1$$

mezilehlé hodnoty interpolací

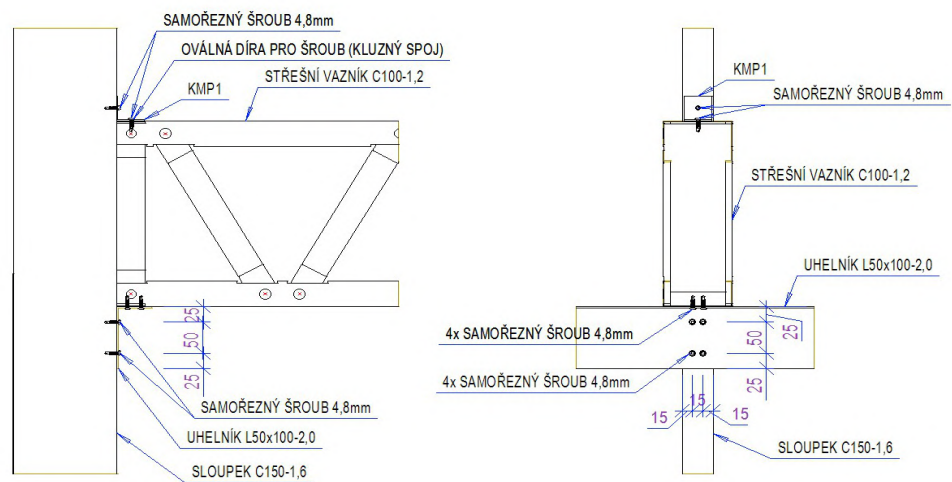
$$\alpha = 1,89$$

$$F_{b,Rd} = 4,876 \quad \text{kN}$$



Výsledná únosnost jednoho šroubu  $F_{b,Rd} = 4,88 \text{ kN}$

Počet šroubů v přípoji (ks)	2	4	6	8	10	12
Výsledná únosnost (kN)	9,75	19,50	29,26	39,01	48,76	58,51



Návrh: 4x samořezný šroub  $\varnothing 4,8\text{mm}$

Posouzení:  $\frac{V_{ed}}{F_{b,Rd}} = \frac{5,10}{19,50} = 0,26 \quad \text{VYHOVUJE}$

**Přípoj průvlaku na sloup JKL**Návrhové síly:

$$V_{ed} = 35,33 \text{ kN}$$

$$N_{ed} = 0 \text{ kN}$$

$$M_{ed} = 0 \text{ kNm}$$

$$\text{Tloušťka plechu 1} \quad t_1 = 1,6 \text{ mm}$$

$$\text{Tloušťka plechu 2} \quad t_2 = 4 \text{ mm}$$

$$\text{Průměr závitu šroubu} \quad d = 4,8 \text{ mm}$$

$$d_0 = 3,5 \text{ mm}$$

## Minimální rozteče

$$e_1 \geq 3d \quad p_1 \geq 3d \quad 3,0\text{mm} \leq d \leq 8,0\text{mm}$$

$$e_2 \geq 1,5d \quad p_2 \geq 3d$$

$$\text{Rozteče} \quad e_1 = 50 \text{ mm}$$

$$e_2 = 50 \text{ mm}$$

$$p_1 = 50 \text{ mm}$$

$$p_2 = 50 \text{ mm}$$

$$\text{Mez pevnosti oceli plechu} \quad f_u = 420 \text{ MPa}$$

$$\text{Dílčí součinitel} \quad \gamma_{M2} = 1,25$$

$$\text{Počet šroubů v přípoji} \quad n = 1$$

$$\text{Char. únosnost šroubu ve stříhu} \quad F_{v,Rk,i} = 8 \text{ kN}$$

Hodnota z tabulky  
výrobce

**Únosnost ve stříhu**

$$F_{v,Rd} = \frac{n \times F_{v,Rk,i}}{\gamma_{M2}} = \frac{1 \times 8}{1,25} = 6,40 \text{ kN}$$

**Únosnost v otláčení dle ČSN EN 1993-1-3**

$$\text{Tloušťka tenčího z plechů} \quad t = 1,6 \text{ mm}$$

$$\text{Tloušťka tlustšího z plechů} \quad t_1 = 4 \text{ mm}$$

$$F_{b,Rd} = n \times \frac{\alpha f_u d_0 t}{\gamma_{M2}}$$

$$\text{pro } t=t_1 \quad \longrightarrow \quad \alpha = 3,2 \sqrt{(t/d)} \quad \text{ale } \alpha \leq 2,1$$

$$\text{pro } t_1 \geq 2,5 \times t \text{ a } t < 1,0\text{mm} \quad \longrightarrow \quad \alpha = 3,2 \sqrt{(t/d)} \quad \text{ale } \alpha \leq 2,1$$

$$\text{pro } t_1 \geq 2,5 \times t \text{ a } t < 1,0\text{mm} \quad \longrightarrow \quad \alpha = 2,1$$

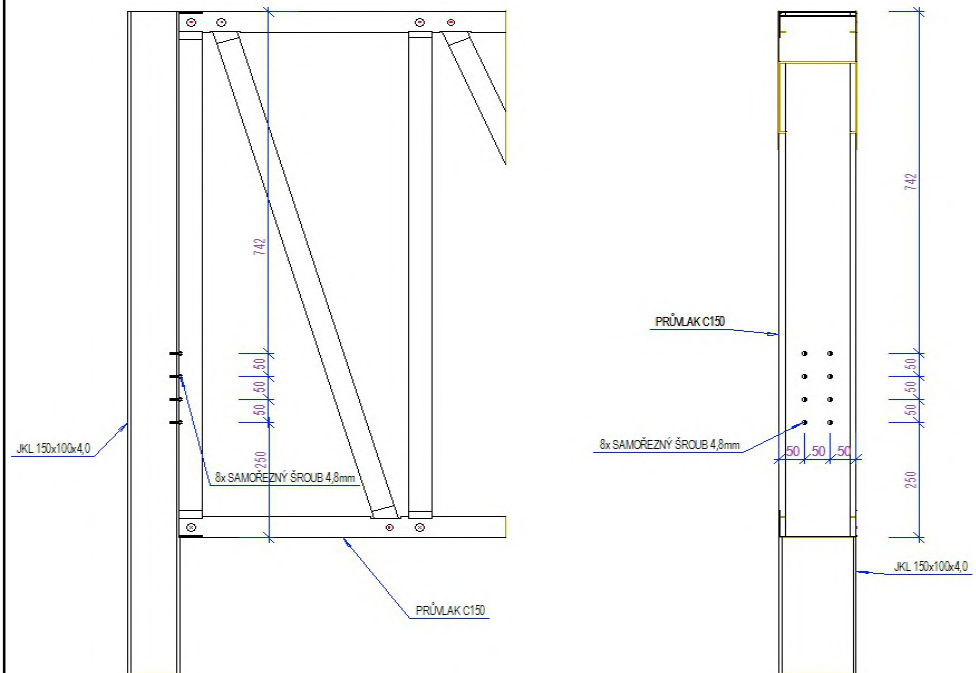
mezilehlé hodnoty interpolací

$$\alpha = 2,1$$

$$F_{b,Rd} = 5,419 \text{ kN}$$

Výsledná únosnost jednoho šroubu  $F_{b,Rd} = 5,42 \text{ kN}$

Počet šroubů v přípoji (ks)	2	4	6	8	10	12
Výsledná únosnost (kN)	10,84	21,68	32,51	43,35	54,19	65,03



Návrh: 8x samořezný šroub  $\varnothing 4,8\text{mm}$

Posouzení:  $\frac{V_{ed}}{F_{b,Rd}} = \frac{35,33}{43,35} = 0,82$  **VYHOVUJE**

**Přípoj sloupů HEA 160 čelní deskou****Vnitřní síly:**

$$V_{ed} = 2,00 \text{ kN}$$

$$N_{ed} = 10 \text{ kN}$$

$$M_{ed} = 0 \text{ kNm}$$

**Návrh svarů:**

a1 - svar sloupu a čelní desky

$$t_{f,s} = 9,0 \text{ mm}$$

$$\gamma_{M0} = 1,0$$

$$f_{yk} = 235 \text{ MPa}$$

$$\beta_w = 0,8$$

$$\gamma_{M2} = 1,25$$

$$f_{uk} = 360 \text{ MPa}$$

$$a_1 \geq \frac{t_f}{2} \times \left( \frac{f_{yk}}{\gamma_{M0}} \right) \times \left( \frac{\sqrt{2} \times \beta_w \times \gamma_{M2}}{f_{uk}} \right) = 4,154 \text{ mm}$$

$$a_1 = 5,0 \text{ mm}$$

**Výpočet únosností řad šroubů v tahu**

Návrh šroubu: M 16 - 8.8

Způsob porušení	Návrhová únosnost
Způsob 1	$F_{t,1,Rd} = \frac{4 \cdot M_{pl,1,Rd}}{m}$
Způsob 2	$F_{t,2,Rd} = \frac{2 \cdot M_{pl,2,Rd} + n \sum F_{t,Rd}}{m + n}$
Způsob 3	$F_{t,3,Rd} = \sum F_{t,Rd}$

kde:

$$A_s = 157 \text{ mm}^2$$

$$f_{ub} = 800 \text{ MPa}$$

$$d_0 = 18 \text{ mm}$$

$$F_{t,Rd} = \frac{0,9 \cdot A_s \cdot f_{ub}}{\gamma_{M2}} = 90,432 \text{ kN}$$

$$M_{pl,1,Rd} = \frac{1}{4} \cdot I_{eff,1} \cdot t_f^2 \cdot \frac{f_y}{\gamma_{M0}}$$

$$M_{pl,2,Rd} = \frac{1}{4} \cdot I_{eff,2} \cdot t_f^2 \cdot \frac{f_y}{\gamma_{M0}}$$

**Návrh rozměrů čelní desky**

$$\text{Rozteče: } e_1 = 46,5 \text{ mm}$$

$$p_1 = 50 \text{ mm}$$

$$e_2 = 40 \text{ mm}$$

$$v = 80 \text{ mm}$$

$$h_d = 152 \text{ mm}$$

$$b_d = 160 \text{ mm}$$

**Výpočet 1. řady šroubů**

$$c_1 = 0,8 \cdot a_1 \cdot \sqrt{2} = 5,66 \text{ mm}$$

$$m_2 = e_1 - \frac{t_{f,s}}{2} - c_1 = 36,34 \text{ mm}$$

$$t_{w,s} = 6 \text{ mm}$$

$$m = \frac{v}{2} - c_1 - \frac{t_{w,s}}{2} = 31,34 \text{ mm}$$

$$\lambda_1 = \frac{m}{m + e_2} = 0,439$$

$$\lambda_2 = \frac{m_2}{m + e_2} = 0,509$$

$$\alpha = 6$$

$$n = \min ( e ; 1,25 \cdot m ) = 39 \text{ mm}$$

#### Efektivní délky pro čelní desku:

Řada šroubů působí samostatně:

Kruhové porušení:  $l_{\text{eff,cp}} = 2 \cdot \pi \cdot m = 196,93 \text{ mm}$

Nekruhové porušení:  $l_{\text{eff,nc}} = \alpha \cdot m = 188,1 \text{ mm}$

Řada šroubů působí jako součást skupiny:

Kruhové porušení:  $l_{\text{eff,cp}} = \pi \cdot m + p = 148,47 \text{ mm}$

Nekruhové porušení:  $l_{\text{eff,nc}} = 0,5 \cdot p + \alpha \cdot m - ( 2 \cdot m + 0,625 \cdot e )$   
 $l_{\text{eff,nc}} = 125,37 \text{ mm}$

Způsob porušení 1:  $l_{\text{eff},1} = l_{\text{eff},1} = \min ( \min l_{\text{eff,cp}} ; \min l_{\text{eff,nc}} )$   
 $l_{\text{eff},1} = 125,4 \text{ mm}$

Způsob porušení 2:  $l_{\text{eff},2} = \min ( l_{\text{eff,nc}} ) = 125,4 \text{ mm}$

$$t_{f,d} = 10 \text{ mm}$$

#### Momenty při kterých se vytvoří plastický kloub:

$$M_{\text{pl},1,\text{Rd}} = \frac{1}{4} \times l_{\text{eff},1} \times t_{f,d}^2 \times \frac{f_y}{\gamma_{\text{M0}}} = 1,4731 \text{ kNm}$$

$$M_{\text{pl},2,\text{Rd}} = \frac{1}{4} \times l_{\text{eff},2} \times t_{f,d}^2 \times \frac{f_y}{\gamma_{\text{M0}}} = 1,4731 \text{ kNm}$$

#### Návrhová únosnost 1. řady šroubů:

Způsob 1  $F_{\text{t},a,\text{Rd}} = \frac{4 \cdot M_{\text{pl},1,\text{Rd}}}{m} = 188,00 \text{ kN}$

Způsob 2  $F_{\text{t},b,\text{Rd}} = \frac{2 \cdot M_{\text{pl},2,\text{Rd}} + n \sum F_{\text{t},\text{Rd}}}{m + n} = 142,26 \text{ kN}$

Způsob 3  $F_{\text{t},c,\text{Rd}} = \sum F_{\text{t},\text{Rd}} = 180,864 \text{ kN}$

$$F_{\text{t},\text{Rd}} = \min ( F_{\text{t},1,\text{Rd}} ; F_{\text{t},2,\text{Rd}} ; F_{\text{t},3,\text{Rd}} ) = 142,26 \text{ kN}$$

#### Výpočet 2. řady šroubů - smyk a otláčení

Únosnost šroubu ve smyku:

$$F_{\text{v},\text{Rd}} = \frac{n_s \cdot \alpha_v \cdot A_s \cdot f_{\text{ub}}}{\gamma_{\text{M2}}} = 60,29 \text{ kN}$$

Únosnost šroubu v otláčení:

$$f_u = \min ( f_{\text{uc}} ; f_{\text{ud}} ) = 360 \text{ MPa}$$

$$t = \min ( t_1 ; t_2 ) = 10 \text{ mm}$$

$$n_s = 1$$

$$\alpha_v = 0,6$$

$$\alpha_b = \min \left( \frac{e_1}{3 \cdot d_0}; \frac{f_{ub}}{f_u}; \frac{p_1}{3 \cdot d_0} - \frac{1}{4}; 1 \right) = 0,6759$$

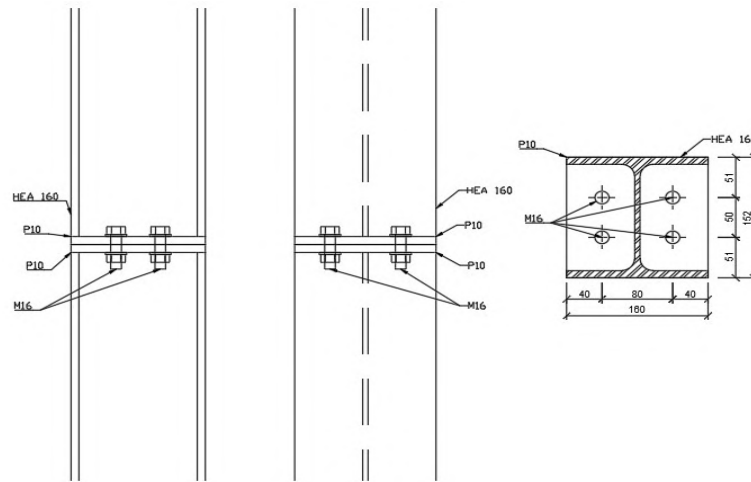
$$k_1 = \min \left( 2,8 \cdot \frac{e_2}{d_0} - 1,7; 1,4 \cdot \frac{p_2}{d_0} - 1,7; 2,5 \right) = 2,5$$

$$F_{b,Rd} = \frac{k_1 \cdot \alpha_b \cdot d \cdot t \cdot f_u}{\gamma_{M2}} = 77,867 \text{ kN}$$

Výsledná únosnost 2. řady šroubů:

$$V_{Rd} = n \cdot \min ( F_{v,Rd}; F_{b,Rd} ) = 120,58 \text{ kN}$$

$$\frac{V_{Ed}}{V_{Rd}} = \frac{2,00}{120,6} = 0,017 \leq 1$$



**Přípoj tažených sloupů D11**Návrhové síly:

$$V_{ed} = 0 \quad \text{kN}$$

$$N_{ed} = 20,05 \quad \text{kN}$$

$$M_{ed} = 0 \quad \text{kNm}$$

$$\text{Tloušťka plechu 1} \quad t_1 = 1,6 \quad \text{mm}$$

$$\text{Tloušťka plechu 2} \quad t_2 = 1,2 \quad \text{mm}$$

$$\text{Průměr závitu šroubu} \quad d = 4,8 \quad \text{mm}$$

$$d_0 = 3,5 \quad \text{mm}$$

## Minimální rozteče

$$e_1 \geq 3d \quad p_1 \geq 3d \quad 3,0\text{mm} \leq d \leq 8,0\text{mm}$$

$$e_2 \geq 1,5d \quad p_2 \geq 3d$$

$$\text{Rozteče} \quad e_1 = 15 \quad \text{mm}$$

$$e_2 = 15 \quad \text{mm}$$

$$p_1 = 15 \quad \text{mm}$$

$$p_2 = 15 \quad \text{mm}$$

$$\text{Mez pevnosti oceli plechu} \quad f_u = 420 \quad \text{MPa}$$

$$\text{Dílčí součinitel} \quad \gamma_{M2} = 1,25$$

$$\text{Počet šroubů v přípoji} \quad n = 1$$

$$\text{Char. únosnost šroubu ve stříhu} \quad F_{v,Rk,i} = 8 \quad \text{kN}$$

Hodnota z tabulky  
výrobce

**Únosnost ve stříhu**

$$F_{v,Rd} = \frac{n \times F_{v,Rk,i}}{\gamma_{M2}} = \frac{1 \times 8}{1,25} = 6,40 \quad \text{kN}$$

**Únosnost v otláčení dle ČSN EN 1993-1-3**

$$\text{Tloušťka tenčího z plechů} \quad t = 1,2 \quad \text{mm}$$

$$\text{Tloušťka tlustšího z plechů} \quad t_1 = 1,6 \quad \text{mm}$$

$$F_{b,Rd} = n \times \frac{\alpha f_u d_0 t}{\gamma_{M2}}$$

$$\text{pro } t=t_1 \quad \longrightarrow \quad \alpha = 3,2 \sqrt{(t/d)} \quad \text{ale } \alpha \leq 2,1$$

$$\text{pro } t_1 \geq 2,5 \times t \text{ a } t < 1,0\text{mm} \quad \longrightarrow \quad \alpha = 3,2 \sqrt{(t/d)} \quad \text{ale } \alpha \leq 2,1$$

$$\text{pro } t_1 \geq 2,5 \times t \text{ a } t < 1,0\text{mm} \quad \longrightarrow \quad \alpha = 2,1$$

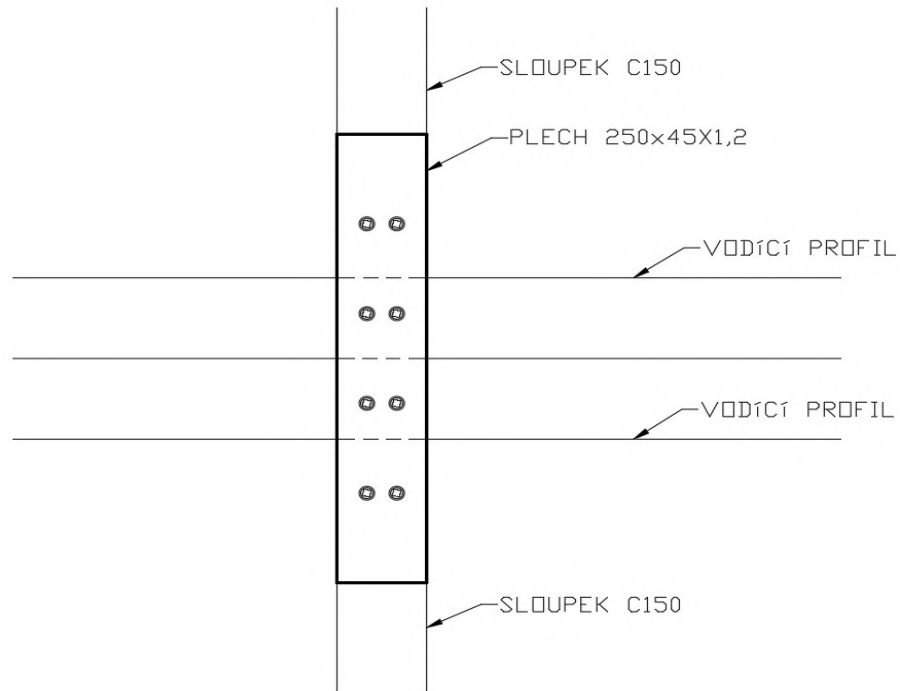
mezilehlé hodnoty interpolací

$$\alpha = 1,711$$

$$F_{b,Rd} = 3,312 \quad \text{kN}$$

Výsledná únosnost jednoho šroubu  $F_{b,Rd} = 3,31 \text{ kN}$

Počet šroubů v přípoji (ks)	2	4	6	8	10	12
Výsledná únosnost (kN)	6,62	13,25	19,87	26,49	33,12	39,74



Návrh: 8x samořezný šroub  $\varnothing 4,8\text{mm}$

Posouzení:  $\frac{N_{ed}}{F_{b,Rd}} = \frac{20,05}{26,49} = 0,76 \quad \text{VYHOVUJE}$

Únosnost plechu 250x45x1,2mm v tahu

$$F_{t,Rd} = \frac{A \times f_y}{\gamma_{M0}} = 18,9 \text{ kN} \rightarrow 2 \times 18,9 = 37,8 \text{ kN}$$

Plech 250x45x1,2mm z obou stran

Posouzení:  $\frac{N_{ed}}{F_{t,Rd}} = \frac{20,05}{37,80} = 0,53 \quad \text{VYHOVUJE}$

$$\begin{aligned} \gamma_{M0} &= 1 \\ A &= 54,0 \text{ mm}^2 \\ f_y &= 350 \text{ Mpa} \end{aligned}$$



**Přípoj táhla na sloup D12**Návrhové síly:

$$V_{ed} = 0,00 \quad \text{kN}$$

$$N_{ed1} = 34,9 \quad \text{kN} \quad \rightarrow 1 \text{ táhlo z obou stran panelu - síla se vydělí 2}$$

$$\rightarrow \text{síla v jednom táhle} \quad \rightarrow 17,45 \quad \text{kN}$$

$$N_{ed2} = 22,67 \quad \text{kN}$$

$$M_{ed} = 0 \quad \text{kNm}$$

$$\text{Tloušťka plechu 1} \quad t_1 = 1,6 \quad \text{mm}$$

$$\text{Tloušťka plechu 2} \quad t_2 = 1,2 \quad \text{mm}$$

$$\text{Průměr závitu šroubu} \quad d = 4,8 \quad \text{mm}$$

$$d_0 = 3,5 \quad \text{mm}$$

## Minimální rozteče

$$e_1 \geq 3d \quad p_1 \geq 3d \quad 3,0\text{mm} \leq d \leq 8,0\text{mm}$$

$$e_2 \geq 1,5d \quad p_2 \geq 3d$$

$$\text{Rozteče} \quad e_1 = 15 \quad \text{mm}$$

$$e_2 = 15 \quad \text{mm}$$

$$p_1 = 15 \quad \text{mm}$$

$$p_2 = 15 \quad \text{mm}$$

$$\text{Mez pevnosti oceli plechu} \quad f_u = 420 \quad \text{MPa}$$

$$\text{Dílčí součinitel} \quad Y_{M2} = 1,25$$

$$\text{Počet šroubů v přípoji} \quad n = 1$$

$$\text{Char. Únosnost šroubu ve stříhu} \quad F_{v,Rk,i} = 8 \quad \text{kN}$$

Hodnota z tabulky  
výrobce

**Únosnost ve stříhu**

$$F_{v,Rd} = \frac{n \times F_{v,Rk,i}}{Y_{M2}} = \frac{1 \times 8}{1,25} = 6,40 \quad \text{kN}$$

**Únosnost v otláčení dle ČSN EN 1993-1-3**

$$\text{Tloušťka tenčího z plechů} \quad t = 1,2 \quad \text{mm}$$

$$\text{Tloušťka tlustšího z plechů} \quad t_1 = 1,6 \quad \text{mm}$$

$$F_{b,Rd} = n \times \frac{\alpha f_u d_0 t}{Y_{M2}}$$

$$\text{pro } t=t_1 \quad \rightarrow \alpha = 3,2 \sqrt{(t/d)} \quad \text{ale } \alpha \leq 2,1$$

$$\text{pro } t_1 \geq 2,5 \times t \text{ a } t < 1,0\text{mm} \quad \rightarrow \alpha = 3,2 \sqrt{(t/d)} \quad \text{ale } \alpha \leq 2,1$$

$$\text{pro } t_1 \geq 2,5 \times t \text{ a } t < 1,0\text{mm} \quad \rightarrow \alpha = 2,1$$

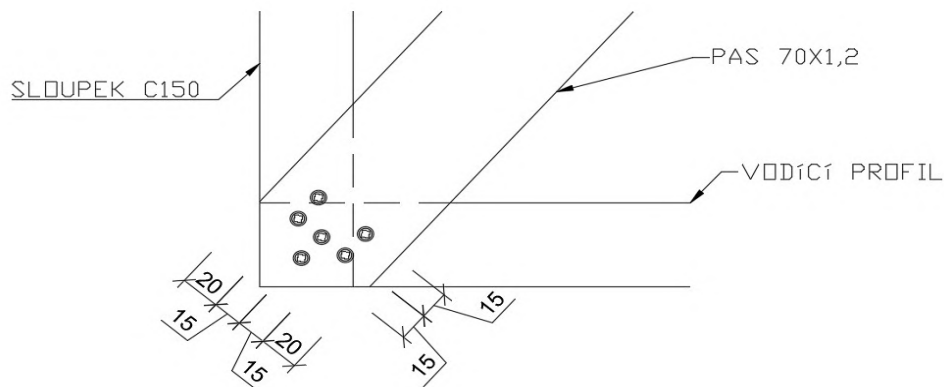
mezilehlé hodnoty interpolací

$$\alpha = 1,711$$

$$F_{b,Rd} = 3,312 \text{ kN}$$

**Výsledná únosnost jednoho šroubu**  $F_{b,Rd} = 3,31 \text{ kN}$

Počet šroubů v přípoji (ks)	2	4	6	8	10	12
Výsledná únosnost (kN)	6,62	13,25	19,87	26,49	33,12	39,74



Návrh: 6x samořezný šroub  $\varnothing 4,8\text{mm}$

Posouzení:  $\frac{N_{ed}}{F_{b,Rd}} = \frac{17,45}{19,87} = 0,88 \quad \text{VYHOVUJE}$

**Únosnost neoslabeného táhla 70x1,2mm v tahu**

$$F_{t,Rd} = \frac{A \times f_y}{\gamma_{M0}} = 29,4 \text{ kN} \rightarrow 2 \times 29,4 = 58,8 \text{ kN}$$

Táhlo 70x1,2mm z obou stran

Posouzení:  $\frac{N_{ed}}{F_{t,Rd}} = \frac{34,90}{58,80} = 0,59 \quad \text{VYHOVUJE}$

**Únosnost oslabeného táhla 70x1,2mm v tahu**

$$F_{t,Rd} = \frac{0,9 \times A_{net} \times f_u}{\gamma_{M2}} = 24,13 \text{ kN} \rightarrow 2 \times 24,13 = 48,26 \text{ kN}$$

Táhlo 70x1,2mm z obou stran

Posouzení:  $\frac{N_{ed1}}{F_{t,Rd}} = \frac{34,90}{48,26} = 0,72 \quad \text{VYHOVUJE}$

Posouzení:  $\frac{N_{ed2}}{F_{t,Rd}} = \frac{22,67}{24,13} = 0,94 \quad \text{VYHOVUJE}$

$$b = 70 \text{ mm}$$

$$t = 1,2 \text{ mm}$$

$$\gamma_{M0} = 1$$

$$A = 84,0 \text{ mm}^2$$

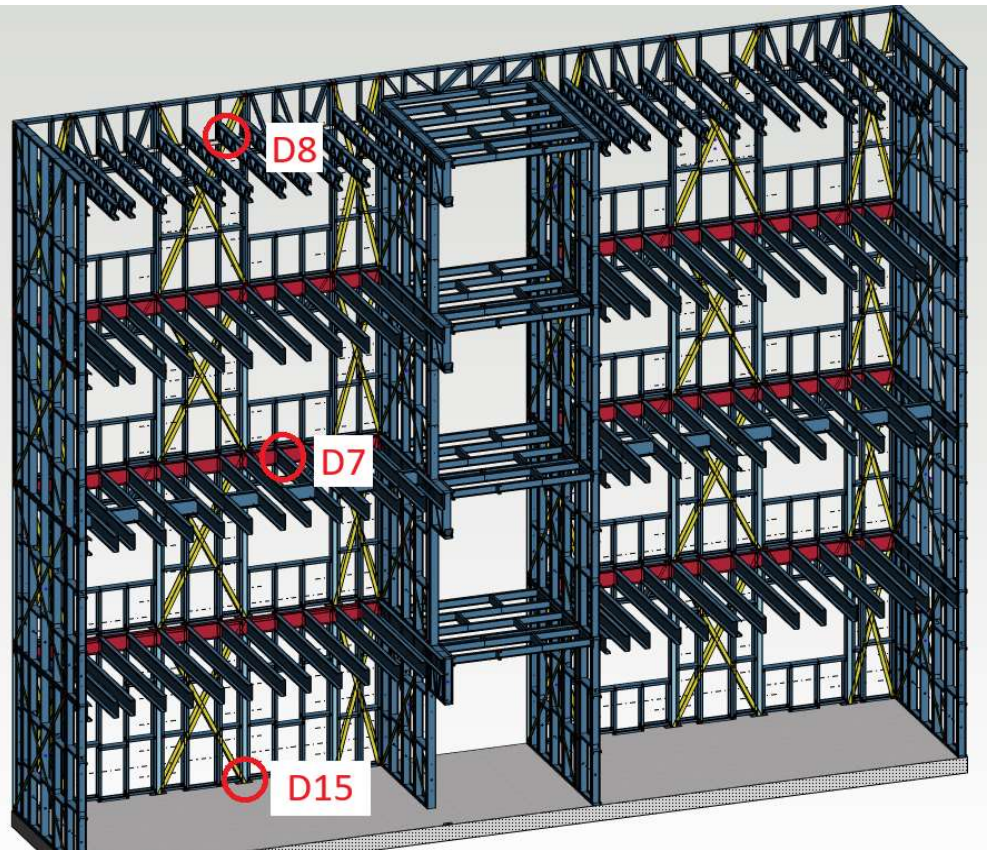
$$f_y = 350 \text{ MPa}$$

$$f_u = 420 \text{ MPa}$$

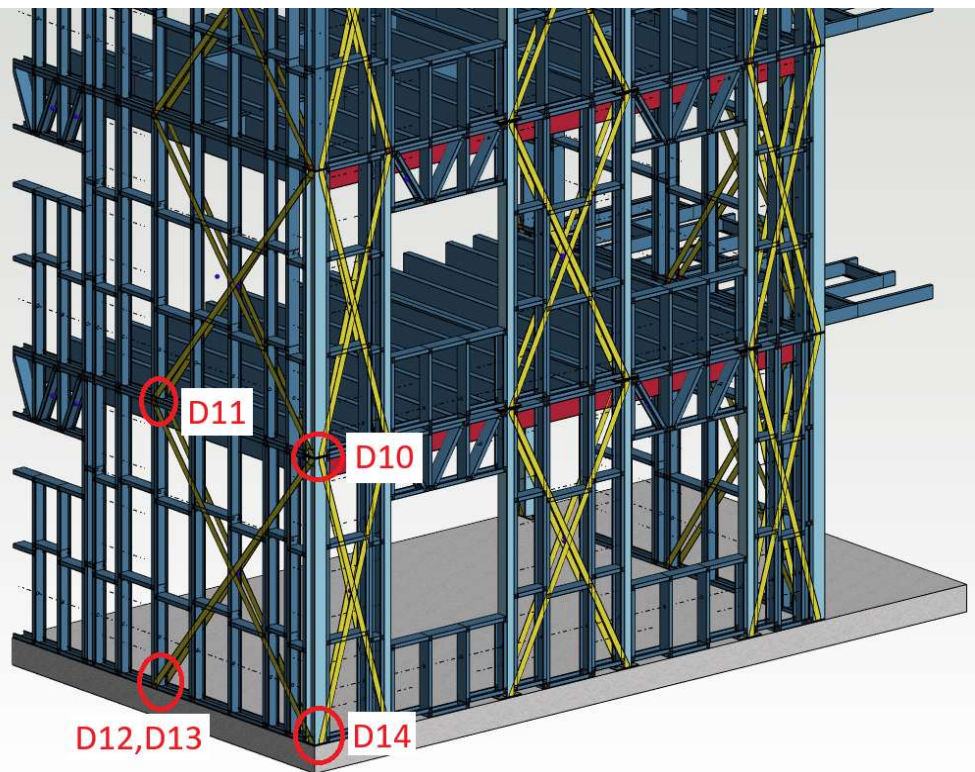
$$\gamma_{M2} = 1,25$$

$$A_{net} = 79,8 \text{ mm}^2$$

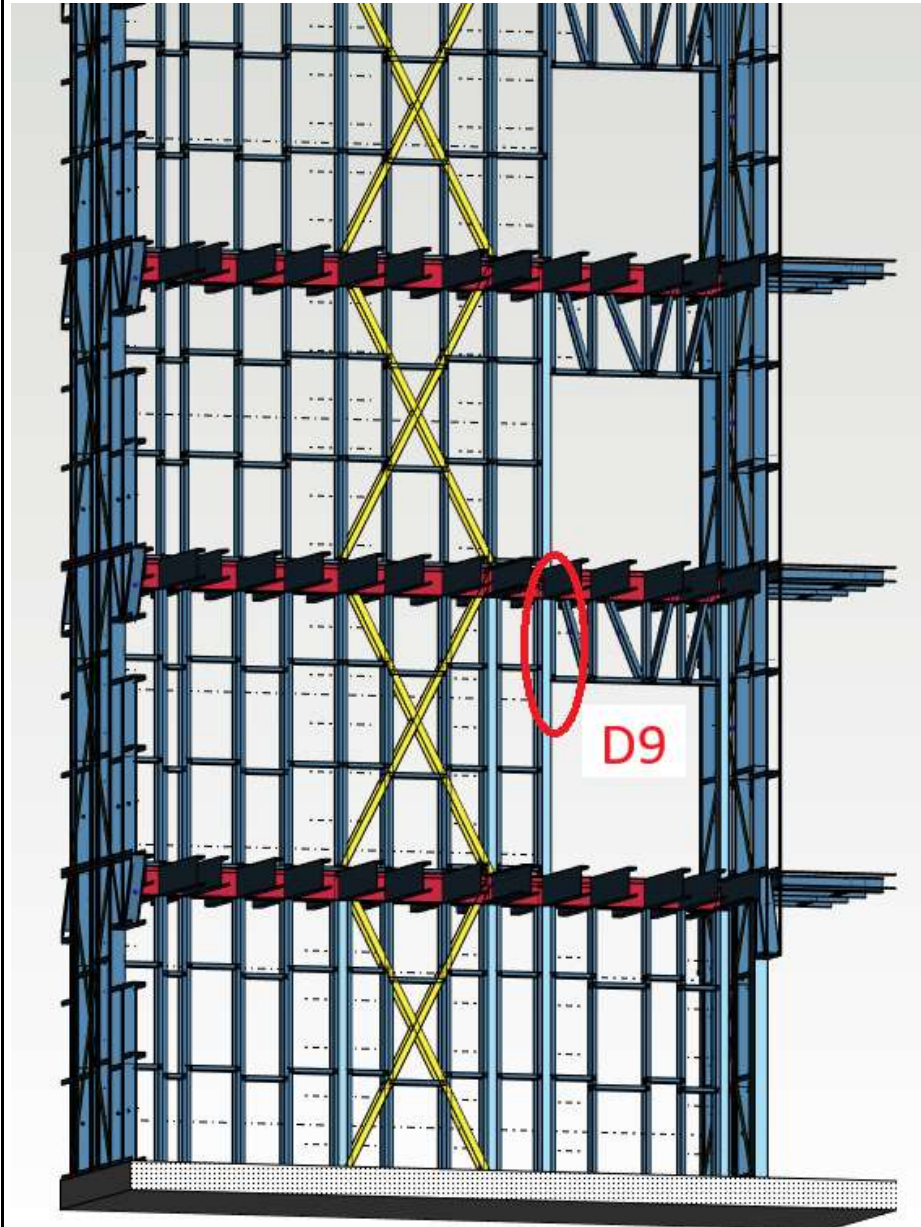
## Přehled detailů v konstrukci



## Přehled detailů



Přehled detailů



**Vodorovné ztužení stropní a střešní konstrukce OSB deskama****Vlastnosti materiálu - ocel**

Mez kluzu	$f_{yk} =$	350	MPa
Mez pevnosti	$f_{uk} =$	420	MPa
Modul pružnosti	$E =$	210000	MPa
Smykový modul	$G =$	80800	MPa
Poissonova konstanta	$\nu =$	0,3	-

**Geometrie ocelového průřezu**

Výška průřezu	$h =$	41,3	mm
Šířka pásnice	$b =$	100	mm
Výška výztuhy	$c =$	10	mm
Nominální tloušťka	$t_{nom} =$	1,2	mm
Výpočetní tloušťka (bez vrstvy zinku Z275 = 0,04mm)	$t =$	1,16	mm
Poloměr zaoblení	$r =$	1,5	mm

**Vlastnosti materiálu - OSB deska**

Charakteristická pevnost v ohybu	$f_{m,k} =$	16,4	MPa
Char. pevnost v tahu rovnob. s vlákny	$f_{t,0,k} =$	9,4	MPa
Modul pružnosti	$E_{0,m} =$	4930	MPa
Char. pevnost v tlaku rovnob. s vlákny	$f_{c,0,k} =$	15,4	MPa
Charakteristická hustota	$\rho_k =$	550	kg/m <sup>3</sup>
Průměrná hustota	$\rho_m =$	550	kg/m <sup>3</sup>

**Geometrie panelu**

Tloušťka OSB desky	$t =$	36	mm
Šířka panelu	$b_i =$	1250	mm
Délka panelu	$L =$	7050	mm

**Spojovací prostředky**

Samovrtné šrouby s křídlovým hrotem

Průměr šroubu	$d =$	5,5	mm
Délka šroubu	$l =$	50	mm
Rozteč spojovacích prostředků	$s =$	125	mm

**Vytažení - plech tl. 1,6mm**

Mez pevnosti plechu	$f_{u,sup} =$	420	Mpa
Tloušťka plechu	$t_{sup} =$	1,6	mm

$$F_{ax,Rk} = 0,65dt_{sup}f_{u,sup} = 2,402 \text{ kN}$$

Návrhová výztužná únosnost panelu

$$F_{i,v,Rd} = \frac{F_{f,Rd} \times b_i \times c_i}{s}$$

$$b_0 = \frac{L}{2} = 3525$$

$$c_i = \begin{cases} 1 & \text{pro } b_i \geq b_0 \\ \frac{b_i}{b_0} & \text{pro } b_i < b_0 \end{cases} = 0,3546$$

### Spoj deska – ocel

– pro tenkou ocelovou desku jednostřížně namáhanou:

$$F_{f,Rk} = \min \left\{ \begin{array}{l} 0,4 f_{h,k} t_1 d \\ 1,15 \sqrt{2 M_{y,Rk} f_{h,k} d} \end{array} \right\} = 1,9307 \text{ kN}$$

$$f_{h,k} = 65 d^{-0,7} t_{OSB}^{0,1} = 28,2 \text{ N/mm}^2$$

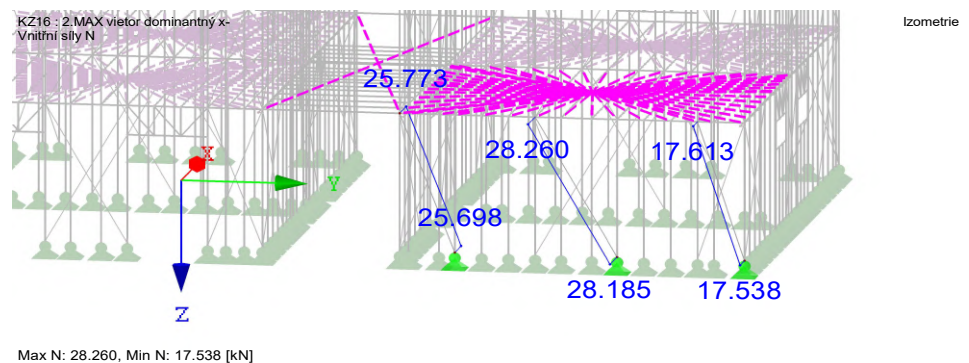
$$f_u = 360 \text{ Mpa}$$

$$M_{y,Rk} = 0,3 f_u d^{2,6} = 9085,9 \text{ N/mm}$$

### Návrhová výztužná únosnost panelu 1

$$F_{1,v,Rd} = \frac{F_{f,Rd} \times b_1 \times c_1}{s} = 6,8466 \text{ kN}$$

### Návrhová síla $F_{v,Ed}$



$$F_1 = 17,613 \text{ kN}$$

$$F_2 = 28,26 \text{ kN}$$

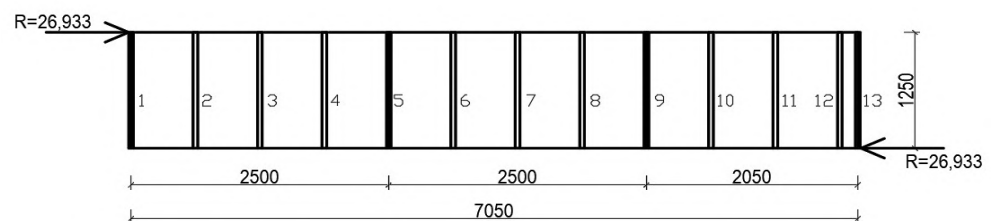
$$F_3 = 25,773 \text{ kN}$$

$$F_{y1} = \cos\alpha \times F_1 = 5,104 \text{ kN}$$

$$F_{y2} = \cos\alpha \times F_2 = 13,212 \text{ kN}$$

$$F_{y3} = \cos\alpha \times F_3 = 8,617 \text{ kN}$$

$$R = F_{y1} + F_{y2} + F_{y3} = 26,93 \text{ kN}$$



$$M = R \times 1,25 = 33,67 \text{ kNm}$$

počet nosníků:

$$n_n = 13 \text{ ks}$$

počet šroubů:

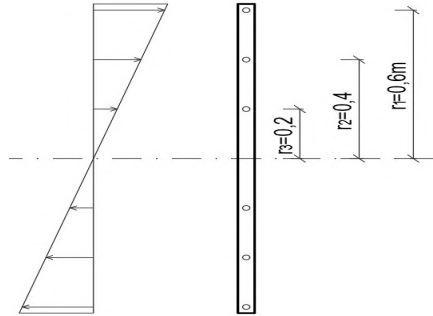
$$n_\xi = 6 \text{ ks}$$

$$F = \frac{M \times r_1}{n \times \sum r_i^2} = 1,39 \text{ kN}$$

$$r_1 = 0,6 \text{ m}$$

$$r_2 = 0,4 \text{ m}$$

$$r_3 = 0,2 \text{ m}$$



$$n_{\text{celk},\xi} = n_n \times n_\xi$$

$$n_{\text{celk},\xi} = 78 \text{ ks}$$

$$F_{v,ed} = F + \frac{R}{n_{\text{celk},\xi}} = 1,73 \text{ kN}$$

$$\text{Posouzení: } \frac{F_{v,ed}}{F_{1,v,Rd}} = \frac{1,73}{6,85} = 0,25 \quad \text{VYHOVUJE}$$

## 7. Kotvení

**Kotvení sloupku C150-1,6 přes uhlíků D13**

**Posouzení L150x18**

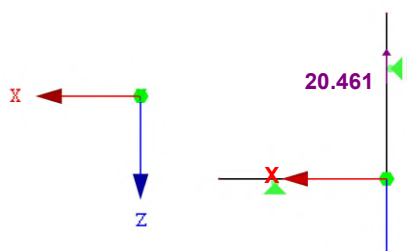
Návrhové síly:

$$V_{ed} = 20,46 \text{ kN}$$

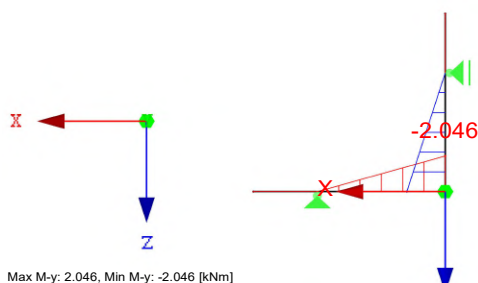
$$N_{ed} = 20,5 \text{ kN}$$

$$M_{ed} = 2,05 \text{ kNm}$$

ZS1 : TAHOVA SILA  
Zatížení [kN]



ZS1 : TAHOVA SILA  
Vnitřní síly M-y



Max M-y: 2.046, Min M-y: -2.046 [kNm]

2x obdélník 150x18

$$h = 140 \text{ mm}$$

$$t = 18 \text{ mm}$$

$$W_y = 11340 \text{ mm}^3$$

Moment únosnosti

$$f_{yk} = 235 \text{ Mpa}$$

$$\gamma_{M1} = 1$$

$$M_{y,Rd} = W_y \frac{f_{yk}}{\gamma_{M1}} = 2,6649 \text{ kNm}$$

$$\text{Posouzení: } \frac{M_{ed}}{M_{Rd}} = \frac{2,05}{2,66} = 0,77 \quad \text{VYHOVUJE}$$

**Návrh kotev pomocí programu Hilti PROFIS Engineering na následujících stránkách:**

1. Kotvení sloupku C150-1,6
2. Kotvení sloupu HEA 160
3. Kotvení sloupu JKL 150x100-4,0



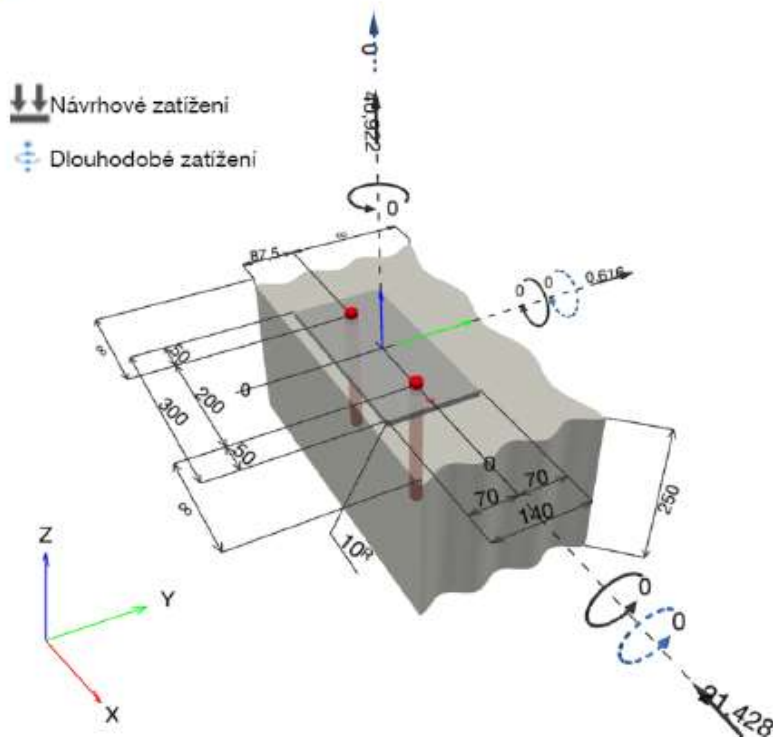
## Kotvení sloupu C150-1,6

## 1 Vstupní data

<b>Typ a velikost kotvy:</b>	<b>HIT-RE 500 V4 + HAS-U 5.8 M20</b>	
Předpokládaná životnost (životnost v letech):	50	
Číslo artiklu:	2223876 HAS-U 5.8 M20x260 (vložit) / 2287552 HIT-RE 500 V4 (chemická hmota)	
Insert item # alternative:	2390211 HAS 5.8 M20x260	
Efektivní kotvení hloubka:	$h_{ef,opt} = 203,0 \text{ mm}$ ( $h_{ef,limit} = 206,0 \text{ mm}$ )	
Materiál:	5.8	
Certifikát č.:	ETA 20/0541	
Vydaný / Platný:	09.06.2023   -	
Posouzení:	Návrhová metoda EN 1992-4, Chemické	
Distanční montáž:	$e_b = 0,0 \text{ mm}$ (bez distanční montáže); $t = 10,0 \text{ mm}$	
Kotevní deska <sup>R</sup> :	$l_x \times l_y \times t = 300,0 \text{ mm} \times 140,0 \text{ mm} \times 10,0 \text{ mm}$ ; (Doporučená tloušťka kotevní desky: nepočítána)	
Profil:	žádný profil	
Základní materiál:	s trhlinami beton, C25/30, $f_{c,cyl} = 25,00 \text{ N/mm}^2$ ; $h = 250,0 \text{ mm}$ , teplota krátkodobá/dlouhodobá: 40/24 °C, Uživatelem definovaný parciální bezpečnostní součinitel materiálu $\gamma_c = 1,500$	
<b>Montáž:</b>	<b>automaticky čistěný kotevní otvor, montážní podmínky: suché</b>	
Výztuž:	Rozteč výztuže < 150 mm (jakýkoliv $\emptyset$ ) nebo < 100 mm ( $\emptyset \leq 10 \text{ mm}$ ) s podélnou výztuží okraje $d \geq 12,0 \text{ [mm]}$ + uzavřená síť (třmínky, háky) $s \leq 100,0 \text{ [mm]}$ Je přítomna výztuž bránící rozštěpení betonu podle EN 1992-4, 7.2.1.7 (2) b) 2)	

<sup>R</sup> - Výpočet kotvy je proveden na základě předpokladu tuhé kotevní desky.

## Geometrie [mm] &amp; Zatížení [kN, kNm]



## 1.1 Kombinace zatížení

Stav	Popis	Síly [kN] / Momenty [kNm]	Seizmický	Požár	Max. využití kotvy [%]
1	Kombinace 1	$N = 40,922$ ; $V_x = -21,428$ ; $V_y = 0,616$ ; $M_x = 0,000$ ; $M_y = 0,000$ ; $M_z = 0,000$ ; $N_{sus} = 0,000$ ; $M_{x,sus} = 0,000$ ; $M_{y,sus} = 0,000$ ;	Ne	ne	100

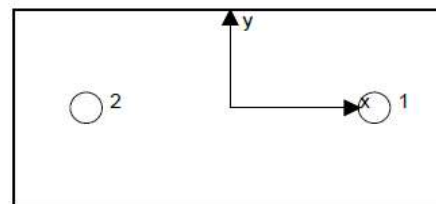
## 2 Zatěžovací stav/Výsledné síly na kotvu

### Reakce kotvy [kN]

Tahová síla: (+ Tah, - Tlak)

Kotva	Tahová síla	Smyková síla	Smyková síla x	Smyková síla y
1	20,461	10,718	-10,714	0,308
2	20,461	10,718	-10,714	0,308

max. tlakové přetvoření betonu: - [%]  
 max. tlakové napětí v betonu: - [N/mm<sup>2</sup>]  
 výsledná tahová síla v (x/y)=(0,0/0,0): 0,000 [kN]  
 výsledná tlaková síla v (x/y)=(0,0/0,0): 0,000 [kN]



Kotevní síly jsou vypočítány na základě předpokladu tuhé kotevní desky.

## 3 Tahové zatížení (EN 1992-4, kap.7.2.1)

	Zatížení [kN]	Únosnost [kN]	Využití $\beta_N$ [%]	Stav
Porušení oceli*	20,461	81,667	26	OK
Kombinované porušení vytažením - vytržením betonového kuželu**	40,922	59,917	69	OK
Porušení vytržením betonového kuželu**	40,922	49,906	82	OK
Porušení rozštěpením**	Není k dispozici	Není k dispozici	Není k dispozici	Není k dispozici

\* nejnepříznivější kotva \*\* skupina kotev (kotvy v tahu)

### 3.1 Porušení oceli

$$N_{Ed} \leq N_{Rd,s} = \frac{N_{Rk,s}}{\gamma_{M,s}} \quad \text{EN 1992-4, Tabulka 7.1}$$

$N_{Rk,s}$ [kN]	$\gamma_{M,s}$	$N_{Rd,s}$ [kN]	$N_{Ed}$ [kN]
122,500	1,500	81,667	20,461

## 3.2 Kombinované porušení vytažením - vytržením betonového kuželu

$$N_{Ed} \leq N_{Rd,p} = \frac{N_{Rk,p}}{\gamma_{M,p}} \quad \text{EN 1992-4, Tabulka 7.1}$$

$$N_{Rk,p} = N_{Rk,p}^0 \cdot \frac{A_{p,N}}{A_{p,N}^0} \cdot \psi_{g,Np} \cdot \psi_{s,Np} \cdot \psi_{re,N} \cdot \psi_{ec1,Np} \cdot \psi_{ec2,Np} \quad \text{EN 1992-4, Eq. (7.13)}$$

$$N_{Rk,p}^0 = \psi_{sus} \cdot \tau_{Rk} \cdot \pi \cdot d \cdot h_{ef} \quad \text{EN 1992-4, Eq. (7.14)}$$

$$\psi_{sus} = 1 \quad \text{EN 1992-4, Eq. (7.14a)}$$

$$s_{cr,Np} = 7,3 \cdot d \cdot \sqrt{\psi_{sus} \cdot \tau_{Rk}} \leq 3 \cdot h_{ef} \quad \text{EN 1992-4, Eq. (7.15)}$$

$$\psi_{g,Np} = \psi_{g,Np}^0 \cdot \left( \frac{s}{s_{cr,Np}} \right)^{0,5} \cdot (\psi_{g,Np}^0 - 1) \geq 1,00 \quad \text{EN 1992-4, Eq. (7.17)}$$

$$\psi_{g,Np}^0 = \sqrt{n} - (\sqrt{n} - 1) \cdot \left( \frac{\tau_{Rk}}{\tau_{Rk,c}} \right)^{1,5} \geq 1,00 \quad \text{EN 1992-4, Eq. (7.18)}$$

$$\tau_{Rk,c} = \frac{k_3}{\pi \cdot d} \cdot \sqrt{h_{ef} \cdot f_{ck}} \quad \text{EN 1992-4, Eq. (7.19)}$$

$$\psi_{s,Np} = 0,7 + 0,3 \cdot \frac{c}{c_{cr,Np}} \leq 1,00 \quad \text{EN 1992-4, Eq. (7.20)}$$

$$\psi_{ec1,Np} = \frac{1}{1 + \left( \frac{2 \cdot e_{c1,N}}{s_{cr,Np}} \right)} \leq 1,00 \quad \text{EN 1992-4, Eq. (7.21)}$$

$$\psi_{ec2,Np} = \frac{1}{1 + \left( \frac{2 \cdot e_{c2,N}}{s_{cr,Np}} \right)} \leq 1,00 \quad \text{EN 1992-4, Eq. (7.21)}$$

$A_{p,N}$ [mm <sup>2</sup> ]	$A_{p,N}^0$ [mm <sup>2</sup> ]	$\tau_{Rk,ucr,20}$ [N/mm <sup>2</sup> ]	$s_{cr,Np}$ [mm]	$c_{cr,Np}$ [mm]	$c_{min}$ [mm]	$f_{c,cyl}$ [N/mm <sup>2</sup> ]
297 528	341 056	16,00	584,0	292,0	87,5	25,00
$\psi_c$	$\tau_{Rk,cr}$ [N/mm <sup>2</sup> ]	$k_3$	$\tau_{Rk,c}$ [N/mm <sup>2</sup> ]	$\psi_{g,Np}^0$	$\psi_{g,Np}$	
1,023	10,23	7,700	8,73	1,000	1,000	
$e_{c1,N}$ [mm]	$\psi_{ec1,Np}$	$e_{c2,N}$ [mm]	$\psi_{ec2,Np}$	$\psi_{s,Np}$	$\psi_{re,Np}$	
0,0	1,000	0,0	1,000	0,790	1,000	
$\psi_{sus}^0$	$\alpha_{sus}$	$\psi_{sus}$				
0,880	0,000	1,000				
$N_{Rk,p}^0$ [kN]	$N_{Rk,p}$ [kN]	$\gamma_{M,p}$	$N_{Rd,p}$ [kN]	$N_{Ed}$ [kN]		
130,427	89,875	1,500	59,917	40,922		

ID skupiny kotev

1, 2

## 3.3 Porušení vytržením betonového kuželu

$$N_{Ed} \leq N_{Rd,c} = \frac{N_{Rk,c}}{\gamma_{M,c}} \quad \text{EN 1992-4, Tabulka 7.1}$$

$$N_{Rk,c} = N_{Rk,c}^0 \cdot \frac{A_{c,N}}{A_{c,N}^0} \cdot \psi_{s,N} \cdot \psi_{re,N} \cdot \psi_{ec1,N} \cdot \psi_{ec2,N} \cdot \psi_{M,N} \quad \text{EN 1992-4, Eq. (7.1)}$$

$$N_{Rk,c}^0 = k_1 \cdot \sqrt{f_{ck}} \cdot h_{ef}^{1,5} \quad \text{EN 1992-4, Eq. (7.2)}$$

$$A_{c,N}^0 = s_{cr,N} \cdot s_{cr,N} \quad \text{EN 1992-4, Eq. (7.3)}$$

$$\psi_{s,N} = 0,7 + 0,3 \cdot \frac{c}{c_{cr,N}} \leq 1,00 \quad \text{EN 1992-4, Eq. (7.4)}$$

$$\psi_{ec1,N} = \frac{1}{1 + \left( \frac{2 \cdot e_{N,1}}{s_{cr,N}} \right)} \leq 1,00 \quad \text{EN 1992-4, Eq. (7.6)}$$

$$\psi_{ec2,N} = \frac{1}{1 + \left( \frac{2 \cdot e_{N,2}}{s_{cr,N}} \right)} \leq 1,00 \quad \text{EN 1992-4, Eq. (7.6)}$$

$$\psi_{M,N} = 1 \quad \text{EN 1992-4, Eq. (7.7)}$$

$A_{c,N}$ [mm <sup>2</sup> ]	$A_{c,N}^0$ [mm <sup>2</sup> ]	$c_{cr,N}$ [mm]	$s_{cr,N}$ [mm]	$f_{c,cyl}$ [N/mm <sup>2</sup> ]		
317 128	370 881	304,5	609,0	25,00		
$e_{c1,N}$ [mm]	$\psi_{ec1,N}$	$e_{c2,N}$ [mm]	$\psi_{ec2,N}$	$\psi_{s,N}$	$\psi_{re,N}$	
0,0	1,000	0,0	1,000	0,786	1,000	
$z$ [mm]	$\psi_{M,N}$	$k_1$	$N_{Rk,c}^0$ [kN]	$\gamma_{M,c}$	$N_{Rd,c}$ [kN]	$N_{Ed}$ [kN]
0,0	1,000	7,700	111,354	1,500	49,906	40,922

ID skupiny kotev

1, 2

#### 4 Smykové zatížení (EN 1992-4, kap. 7.2.2)

	Zatížení [kN]	Únosnost [kN]	Využití $\beta_v$ [%]	Stav
Porušení oceli (bez distanční montáže)*	10,718	58,848	19	OK
Porušení oceli (s distanční montáží)*	Není k dispozici	Není k dispozici	Není k dispozici	Není k dispozici
Porušení vylomením betonu**	21,437	99,811	22	OK
Porušení okraje betonu ve směru y-**	21,428	53,631	40	OK

\* nejnepříznivější kotva \*\* skupina kotev (rovnocenné kotvy)

##### 4.1 Porušení oceli (bez distanční montáže)

$$V_{Ed} \leq V_{Rd,s} = \frac{V_{Rk,s}}{\gamma_{M,s}} \quad \text{EN 1992-4, Tabulka 7.2}$$

$$V_{Rk,s} = k_7 \cdot V_{Rk,s}^0 \quad \text{EN 1992-4, Eq. (7.35)}$$

$V_{Rk,s}^0$ [kN]	$k_7$	$V_{Rk,s}$ [kN]	$\gamma_{M,s}$	$V_{Rd,s}$ [kN]	$V_{Ed}$ [kN]
73,560	1,000	73,560	1,250	58,848	10,718

##### 4.2 Porušení vylomením betonu (relevantní k vytažení)

$$V_{Ed} \leq V_{Rd,op} = \frac{V_{Rk,op}}{\gamma_{M,c,p}} \quad \text{EN 1992-4, Tabulka 7.2}$$

$$V_{Rk,op} = k_g \cdot \min \{N_{Rk,c}; N_{Rk,p}\} \quad \text{EN 1992-4, Eq. (7.39c)}$$

$$N_{Rk,c} = N_{Rk,c}^0 \cdot \frac{A_{c,N}}{A_{c,N}^0} \cdot \psi_{s,N} \cdot \psi_{re,N} \cdot \psi_{ec1,N} \cdot \psi_{ec2,N} \cdot \psi_{M,N} \quad \text{EN 1992-4, Eq. (7.1)}$$

$$N_{Rk,c}^0 = k_1 \cdot \sqrt{f_{ck}} \cdot h_{ef}^{1.5} \quad \text{EN 1992-4, Eq. (7.2)}$$

$$A_{c,N}^0 = s_{cr,N} \cdot s_{cr,N} \quad \text{EN 1992-4, Eq. (7.3)}$$

$$\psi_{s,N} = 0,7 + 0,3 \cdot \frac{c}{c_{cr,N}} \leq 1,00 \quad \text{EN 1992-4, Eq. (7.4)}$$

$$\psi_{ec1,N} = \frac{1}{1 + \left(\frac{2 \cdot e_{v,1}}{s_{cr,N}}\right)} \leq 1,00 \quad \text{EN 1992-4, Eq. (7.6)}$$

$$\psi_{ec2,N} = \frac{1}{1 + \left(\frac{2 \cdot e_{v,2}}{s_{cr,N}}\right)} \leq 1,00 \quad \text{EN 1992-4, Eq. (7.6)}$$

$$\psi_{M,N} = 1 \quad \text{EN 1992-4, Eq. (7.7)}$$

$A_{c,N}$ [mm <sup>2</sup> ]	$A_{c,N}^0$ [mm <sup>2</sup> ]	$c_{cr,N}$ [mm]	$s_{cr,N}$ [mm]	$k_g$	$f_{c,cyl}$ [N/mm <sup>2</sup> ]	
317 128	370 881	304,5	609,0	2,000	25,00	
$e_{c1,v}$ [mm]	$\psi_{ec1,N}$	$e_{c2,v}$ [mm]	$\psi_{ec2,N}$	$\psi_{s,N}$	$\psi_{re,N}$	$\psi_{M,N}$
0,0	1,000	0,0	1,000	0,786	1,000	1,000
$k_1$	$N_{Rk,c}^0$ [kN]	$\gamma_{M,c,p}$	$V_{Rd,op}$ [kN]	$V_{Ed}$ [kN]		
7,700	111,354	1,500	99,811	21,437		

ID skupiny kotev

1, 2

## 4.3 Porušení okraje betonu ve směru y-

$$V_{Ed} \leq V_{Rd,c} = \frac{V_{Rk,c}}{\gamma_{M,c}} \quad \text{EN 1992-4, Tabulka 7.2}$$

$$V_{Rk,c} = k_T \cdot V_{Rk,c}^0 \cdot \frac{A_{c,V}}{A_{c,V}^0} \cdot \psi_{s,V} \cdot \psi_{h,V} \cdot \psi_{\alpha,V} \cdot \psi_{ec,V} \cdot \psi_{re,V} \quad \text{EN 1992-4, Eq. (7.40)}$$

$$V_{Rk,c}^0 = k_g \cdot d_{nom}^\alpha \cdot l_f^\beta \cdot \sqrt{f_{ck}} \cdot c_1^{1,5} \quad \text{EN 1992-4, Eq. (7.41)}$$

$$\alpha = 0,1 \cdot \left( \frac{l_f}{c_1} \right) \quad \text{EN 1992-4, Eq. (7.42)}$$

$$\beta = 0,1 \cdot \left( \frac{d_{nom}}{c_1} \right)^{0,2} \quad \text{EN 1992-4, Eq. (7.43)}$$

$$A_{c,V}^0 = 4,5 \cdot c_1^2 \quad \text{EN 1992-4, Eq. (7.44)}$$

$$\psi_{s,V} = 0,7 + 0,3 \cdot \frac{c_2}{1,5 \cdot c_1} \leq 1,00 \quad \text{EN 1992-4, Eq. (7.45)}$$

$$\psi_{h,V} = \left( \frac{1,5 \cdot c_1}{h} \right)^{0,5} \geq 1,00 \quad \text{EN 1992-4, Eq. (7.46)}$$

$$\psi_{ec,V} = \frac{1}{1 + \left( \frac{2 \cdot e_V}{3 \cdot c_1} \right)} \leq 1,00 \quad \text{EN 1992-4, Eq. (7.47)}$$

$$\psi_{\alpha,V} = \sqrt{\frac{1}{(\cos \alpha_V)^2 + (0,5 \cdot \sin \alpha_V)^2}} \geq 1,00 \quad \text{EN 1992-4, Eq. (7.48)}$$

$l_f$ [mm]	$d_{nom}$ [mm]	$k_g$	$\alpha$	$\beta$	$f_{c,cyl}$ [N/mm <sup>2</sup> ]	
203,0	20,00	1,700	0,152	0,074	25,00	
$c_1$ [mm]	$A_{c,V}$ [mm <sup>2</sup> ]	$A_{c,V}^0$ [mm <sup>2</sup> ]				
87,5	60 703	34 453				
$\psi_{s,V}$	$\psi_{h,V}$	$\alpha_V$ [°]	$\psi_{\alpha,V}$	$e_{c,V}$ [mm]	$\psi_{ec,V}$	$\psi_{re,V}$
1,000	1,000	90,00	2,000	0,0	1,000	1,400
$V_{Rk,c}^0$ [kN]	$k_T$	$\gamma_{M,c}$	$V_{Rd,c}$ [kN]	$V_{Ed}$ [kN]		
16,307	1,0	1,500	53,631	21,428		

## 5 Kombinace zatížení tah/smyk (EN 1992-4, oddíl 7.2.3)

Selhání oceli

$\beta_N$	$\beta_V$	$\alpha$	Využití $\beta_{N,V}$ [%]	Stav
0,251	0,182	2,000	10	OK

$$\beta_N^\alpha + \beta_V^\alpha \leq 1,0$$

Porušení betonu

$\beta_N$	$\beta_V$	$\alpha$	Využití $\beta_{N,V}$ [%]	Stav
0,820	0,400	1,500	100	OK

$$\beta_N^\alpha + \beta_V^\alpha \leq 1,0$$

**Upevnění je bezpečné!**



## 1.1.1 Kombinace zatížení

Stav	Popis	Síly [kN] / Momenty [kNm]	Seizmický	Požár	Max. využití kotvy [%]
1	Kombinace 1	$N = 32,200; V_x = -19,000; V_y = -0,251;$ $M_x = 0,000; M_y = 0,000; M_z = 0,000;$ $N_{sus} = 0,000; M_{x,sus} = 0,000; M_{y,sus} = 0,000;$	Ne	ne	100

## 1.2 Zatěžovací stav/Výsledné síly na kotvu

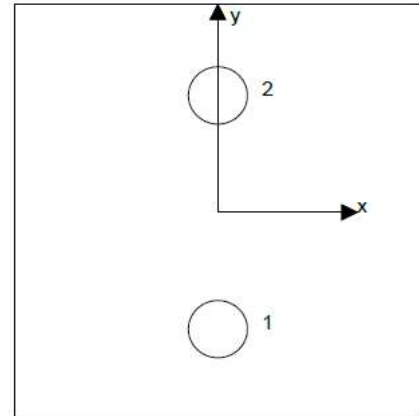
## Reakce kotvy [kN]

Tahová síla: (+ Tah, - Tlak)

Kotva	Tahová síla	Smyková síla	Smyková síla x	Smyková síla y
1	16,287	9,501	-9,500	-0,115
2	16,286	9,501	-9,500	-0,136

výsledná tahová síla v (x/y)=(0,0/0,0): 0,000 [kN]

výsledná tlaková síla v (x/y)=(0,0/0,0): 0,000 [kN]



Síla v kotvě je vypočtena pomocí metody konečných prvků (CBFEM)

## 1.3 Tahové zatížení EN 1992-4, kap.7.2.1

	Zatížení [kN]	Únosnost [kN]	Využití $\beta_N$ [%]	Stav
Porušení oceli*	16,287	81,667	20	OK
Kombinované porušení vytažením - vytržením betonového kuželu**	32,573	67,972	48	OK
Porušení vytržením betonového kuželu**	32,573	45,846	72	OK
Porušení rozštěpením**	32,573	64,084	51	OK

\* nejnepříznivější kotva \*\* skupina kotev (kotvy v tahu)

## 1.3.1 Porušení oceli

$$N_{Ed} \leq N_{Rd,s} = \frac{N_{Rk,s}}{\gamma_{M,s}} \quad \text{EN 1992-4, Tabulka 7.1}$$

$N_{Rk,s}$ [kN]	$\gamma_{M,s}$	$N_{Rd,s}$ [kN]	$N_{Ed}$ [kN]
122,500	1,500	81,667	16,287

## 1.3.2 Kombinované porušení vytažením - vytržením betonového kuželu

$$N_{Ed} \leq N_{Rd,p} = \frac{N_{Rk,p}}{\gamma_{M,p}} \quad \text{EN 1992-4, Tabulka 7.1}$$

$$N_{Rk,p} = N_{Rk,p}^0 \cdot \frac{A_{p,N}}{A_{p,N}^0} \cdot \psi_{g,Np} \cdot \psi_{s,Np} \cdot \psi_{re,N} \cdot \psi_{ec1,Np} \cdot \psi_{ec2,Np} \quad \text{EN 1992-4, Eq. (7.13)}$$

$$N_{Rk,p}^0 = \psi_{sus} \cdot \tau_{Rk} \cdot \pi \cdot d \cdot h_{ef} \quad \text{EN 1992-4, Eq. (7.14)}$$

$$\psi_{sus} = 1 \quad \text{EN 1992-4, Eq. (7.14a)}$$

$$s_{cr,Np} = 7,3 \cdot d \cdot \sqrt{\psi_{sus} \cdot \tau_{Rk}} \leq 3 \cdot h_{ef} \quad \text{EN 1992-4, Eq. (7.15)}$$

$$\psi_{g,Np} = \psi_{g,Np}^0 \cdot \left( \frac{s}{s_{cr,Np}} \right)^{0,5} \cdot (\psi_{g,Np}^0 - 1) \geq 1,00 \quad \text{EN 1992-4, Eq. (7.17)}$$

$$\psi_{g,Np}^0 = \sqrt{n} - (\sqrt{n} - 1) \cdot \left( \frac{\tau_{Rk,c}}{\tau_{Rk,c}^0} \right)^{1,5} \geq 1,00 \quad \text{EN 1992-4, Eq. (7.18)}$$

$$\tau_{Rk,c} = \frac{k_3}{\pi \cdot d} \cdot \sqrt{h_{ef} \cdot f_{ck}} \quad \text{EN 1992-4, Eq. (7.19)}$$

$$\psi_{s,Np} = 0,7 + 0,3 \cdot \frac{c}{c_{cr,Np}} \leq 1,00 \quad \text{EN 1992-4, Eq. (7.20)}$$

$$\psi_{ec1,Np} = \frac{1}{1 + \left( \frac{2 \cdot e_{c1,N}}{s_{cr,Np}} \right)} \leq 1,00 \quad \text{EN 1992-4, Eq. (7.21)}$$

$$\psi_{ec2,Np} = \frac{1}{1 + \left( \frac{2 \cdot e_{c2,N}}{s_{cr,Np}} \right)} \leq 1,00 \quad \text{EN 1992-4, Eq. (7.21)}$$

$A_{p,N}$ [mm <sup>2</sup> ]	$A_{p,N}^0$ [mm <sup>2</sup> ]	$\tau_{Rk,ucr,20}$ [N/mm <sup>2</sup> ]	$s_{cr,Np}$ [mm]	$c_{cr,Np}$ [mm]	$c_{min}$ [mm]	$f_{c,cyl}$ [N/mm <sup>2</sup> ]
181 072	383 688	18,00	619,4	309,7	55,0	25,00
$\psi_c$	$\tau_{Rk,ucr}$ [N/mm <sup>2</sup> ]	$k_3$	$\tau_{Rk,c}$ [N/mm <sup>2</sup> ]	$\psi_{g,Np}^0$	$\psi_{g,Np}$	
1,023	18,41	11,000	13,79	1,000	1,000	
$e_{c1,N}$ [mm]	$\psi_{ec1,Np}$	$e_{c2,N}$ [mm]	$\psi_{ec2,Np}$	$\psi_{s,Np}$	$\psi_{re,Np}$	
0,0	1,000	0,0	1,000	0,753	1,000	
$\psi_{sus}^0$	$\alpha_{sus}$	$\psi_{sus}$				
0,740	0,000	1,000				
$N_{Rk,p}^0$ [kN]	$N_{Rk,p}$ [kN]	$\gamma_{M,p}$	$N_{Rd,p}$ [kN]	$N_{Ed}$ [kN]		
286,811	101,958	1,500	67,972	32,573		

ID skupiny kotev

1, 2

## 1.3.3 Porušení vytržením betonového kuželu

$$N_{Ed} \leq N_{Rd,c} = \frac{N_{Rk,c}}{\gamma_{M,c}} \quad \text{EN 1992-4, Tabulka 7.1}$$

$$N_{Rk,c} = N_{Rk,c}^0 \cdot \frac{A_{c,N}}{A_{c,N}^0} \cdot \psi_{s,N} \cdot \psi_{re,N} \cdot \psi_{ec1,N} \cdot \psi_{ec2,N} \cdot \psi_{M,N} \quad \text{EN 1992-4, Eq. (7.1)}$$

$$N_{Rk,c}^0 = k_1 \cdot \sqrt{f_{ck}} \cdot h_{ef}^{1,5} \quad \text{EN 1992-4, Eq. (7.2)}$$

$$A_{c,N}^0 = s_{cr,N} \cdot s_{cr,N} \quad \text{EN 1992-4, Eq. (7.3)}$$

$$\psi_{s,N} = 0,7 + 0,3 \cdot \frac{c}{c_{cr,N}} \leq 1,00 \quad \text{EN 1992-4, Eq. (7.4)}$$

$$\psi_{ec1,N} = \frac{1}{1 + \left( \frac{2 \cdot e_{N,1}}{s_{cr,N}} \right)} \leq 1,00 \quad \text{EN 1992-4, Eq. (7.6)}$$

$$\psi_{ec2,N} = \frac{1}{1 + \left( \frac{2 \cdot e_{N,2}}{s_{cr,N}} \right)} \leq 1,00 \quad \text{EN 1992-4, Eq. (7.6)}$$

$$\psi_{M,N} = 1 \quad \text{EN 1992-4, Eq. (7.7)}$$

$A_{c,N}$ [mm <sup>2</sup> ]	$A_{c,N}^0$ [mm <sup>2</sup> ]	$c_{cr,N}$ [mm]	$s_{cr,N}$ [mm]	$f_{c,cyl}$ [N/mm <sup>2</sup> ]		
238 078	553 536	372,0	744,0	25,00		
$e_{c1,N}$ [mm]	$\psi_{ec1,N}$	$e_{c2,N}$ [mm]	$\psi_{ec2,N}$	$\psi_{s,N}$	$\psi_{re,N}$	
0,0	1,000	0,0	1,000	0,744	1,000	
$z$ [mm]	$\psi_{M,N}$	$k_1$	$N_{Rk,c}^0$ [kN]	$\gamma_{M,c}$	$N_{Rd,c}$ [kN]	$N_{Ed}$ [kN]
24,7	1,000	11,000	214,803	1,500	45,846	32,573

ID skupiny kotev

1, 2



## 1.3.4 Porušení rozštěpením

$$N_{Ed} \leq N_{Rd,sp} = \frac{N_{Rk,sp}}{\gamma_{Msp}} \quad \text{EN 1992-4, Tabulka 7.1}$$

$$N_{Rk,sp} = N_{Rk,sp}^0 \cdot \frac{A_{c,N}}{A_{c,N}^0} \cdot \psi_{s,N} \cdot \psi_{re,N} \cdot \psi_{ec1,N} \cdot \psi_{ec2,N} \cdot \psi_{h,sp} \quad \text{EN 1992-4, Eq. (7.23)}$$

$$N_{Rk,sp}^0 = \min(N_{Rk,p}^0, N_{Rk,c}^0) \quad \text{EN 1992-4, Eq. (7.3)}$$

$$A_{c,N}^0 = S_{cr,sp} \cdot S_{cr,sp} \quad \text{EN 1992-4, Eq. (7.4)}$$

$$\psi_{s,N} = 0,7 + 0,3 \cdot \frac{c}{c_{cr,sp}} \leq 1,00 \quad \text{EN 1992-4, Eq. (7.4)}$$

$$\psi_{ec1,N} = \frac{1}{1 + \left(\frac{2 \cdot e_{N,1}}{S_{cr,sp}}\right)} \leq 1,00 \quad \text{EN 1992-4, Eq. (7.6)}$$

$$\psi_{ec2,N} = \frac{1}{1 + \left(\frac{2 \cdot e_{N,2}}{S_{cr,sp}}\right)} \leq 1,00 \quad \text{EN 1992-4, Eq. (7.6)}$$

$$\psi_{h,sp} = \left(\frac{h}{h_{min}}\right)^{2/3} \leq \max\left\{1; \left(\frac{h_{ef} + 1,5 \cdot c_1}{h_{min}}\right)^{2/3}\right\} \leq 2,00 \quad \text{EN 1992-4, Eq. (7.24)}$$

$A_{c,N}$ [mm <sup>2</sup> ]	$A_{c,N}^0$ [mm <sup>2</sup> ]	$c_{cr,sp}$ [mm]	$S_{cr,sp}$ [mm]	$\psi_{h,sp}$	$f_{c,cyl}$ [N/mm <sup>2</sup> ]	
132 244	246 016	248,0	496,0	1,086	25,00	
$e_{c1,N}$ [mm]	$\psi_{ec1,N}$	$e_{c2,N}$ [mm]	$\psi_{ec2,N}$	$\psi_{s,N}$	$\psi_{re,N}$	$k_1$
0,0	1,000	0,0	1,000	0,767	1,000	11,000
$N_{Rk,sp}^0$ [kN]	$\gamma_{Msp}$	$N_{Rd,sp}$ [kN]	$N_{Ed}$ [kN]			
214,803	1,500	64,084	32,573			

ID skupiny kotev

1, 2

## 1.4 Smykové zatížení EN 1992-4, kap. 7.2.2

	Zatížení [kN]	Únosnost [kN]	Využití $\beta_v$ [%]	Stav
Porušení oceli (bez distanční montáže)*	9,501	58,800	17	OK
Porušení oceli (s distanční montáží)*	9,501	10,392	92	OK
Porušení vylomením betonu**	19,002	91,692	21	OK
Porušení okraje betonu ve směru y-**	9,503	17,483	55	OK

\* nejnepříznivější kotva \*\* skupina kotev (rovnocenné kotvy)

## 1.4.1 Porušení oceli (bez distanční montáže)

$$V_{Ed} \leq V_{Rd,s} = \frac{V_{Rk,s}}{\gamma_{M,s}} \quad \text{EN 1992-4, Tabulka 7.2}$$

$$V_{Rk,s} = k_7 \cdot V_{Rk,s}^0 \quad \text{EN 1992-4, Eq. (7.35)}$$

$V_{Rk,s}^0$ [kN]	$k_7$	$V_{Rk,s}$ [kN]	$\gamma_{M,s}$	$V_{Rd,s}$ [kN]	$V_{Ed}$ [kN]
73,500	1,000	73,500	1,250	58,800	9,501

## 1.4.2 Porušení oceli (s distanční montáží)

$$V_{Ed} \leq V_{Rd,s,M} = \frac{V_{Rk,s,M}}{\gamma_{M,s}} \quad \text{EN 1992-4, Tabulka 7.2}$$

$$V_{Rk,s,M} = \frac{\alpha_M \cdot M_{Rk,s}}{l_a} \quad \text{EN 1992-4, Eq. 7.37}$$

$$M_{Rk,s} = M_{Rk,s}^0 \cdot \left(1 - \frac{N_{Ed}}{N_{Rd,s}}\right) \quad \text{EN 1992-4, Eq. 7.38}$$

$$l_a = e_c + \frac{t}{2} + a_3 \quad \text{EN 1992-4, Eq. 6.2}$$

$l$ [mm]	$\alpha_M$				
40,0	2,00				
$N_{Ed} / N_{Rd,s}$	$1 - N_{Ed} / N_{Rd,s}$	$M_{Rk,s}^0$ [kNm]	$M_{Rk,s} = M_{Rk,s}^0 (1 - N_{Ed} / N_{Rd,s})$ [kNm]		
0,199	0,801	0,325	0,260		
$V_{Rk,s}^M = \alpha_M \cdot M_{Rk,s} / l$ [kN]	$\gamma_{M,s}$	$V_{Rd,s}^M$ [kN]	$V_{Ed}$ [kN]		
12,989	1,250	10,392	9,501		

## 1.4.3 Porušení vylomením betonu (relevantní k vytažení)

$$V_{Ed} \leq V_{Rd,op} = \frac{V_{Rk,op}}{\gamma_{M,c,p}} \quad \text{EN 1992-4, Tabulka 7.2}$$

$$V_{Rk,op} = k_g \cdot \min \{N_{Rk,c}, N_{Rk,p}\} \quad \text{EN 1992-4, Eq. (7.39c)}$$

$$N_{Rk,c} = N_{Rk,c}^0 \cdot \frac{A_{c,N}^0}{A_{c,N}^0} \cdot \psi_{s,N} \cdot \psi_{re,N} \cdot \psi_{ec1,N} \cdot \psi_{ec2,N} \cdot \psi_{M,N} \quad \text{EN 1992-4, Eq. (7.1)}$$

$$N_{Rk,c}^0 = k_1 \cdot \sqrt{f_{ck}} \cdot h_{ef}^{1,5} \quad \text{EN 1992-4, Eq. (7.2)}$$

$$A_{c,N}^0 = s_{cr,N} \cdot s_{cr,N} \quad \text{EN 1992-4, Eq. (7.3)}$$

$$\psi_{s,N} = 0,7 + 0,3 \cdot \frac{c}{c_{cr,N}} \leq 1,00 \quad \text{EN 1992-4, Eq. (7.4)}$$

$$\psi_{ec1,N} = \frac{1}{1 + \left(\frac{2 \cdot e_{V,1}}{s_{cr,N}}\right)} \leq 1,00 \quad \text{EN 1992-4, Eq. (7.6)}$$

$$\psi_{ec2,N} = \frac{1}{1 + \left(\frac{2 \cdot e_{V,2}}{s_{cr,N}}\right)} \leq 1,00 \quad \text{EN 1992-4, Eq. (7.6)}$$

$$\psi_{M,N} = 1 \quad \text{EN 1992-4, Eq. (7.7)}$$

$A_{c,N}$ [mm <sup>2</sup> ]	$A_{c,N}^0$ [mm <sup>2</sup> ]	$c_{cr,N}$ [mm]	$s_{cr,N}$ [mm]	$k_g$	$f_{c,cyl}$ [N/mm <sup>2</sup> ]	
238 078	553 536	372,0	744,0	2,000	25,00	
$e_{c1,V}$ [mm]	$\psi_{ec1,N}$	$e_{c2,V}$ [mm]	$\psi_{ec2,N}$	$\psi_{s,N}$	$\psi_{re,N}$	$\psi_{M,N}$
0,0	1,000	0,0	1,000	0,744	1,000	1,000
$k_1$	$N_{Rk,c}^0$ [kN]	$\gamma_{M,c,p}$	$V_{Rd,op}$ [kN]	$V_{Ed}$ [kN]		
11,000	214,803	1,500	91,692	19,002		

ID skupiny kotev

1, 2

## 1.4.4 Porušení okraje betonu ve směru y-

$$V_{Ed} \leq V_{Rd,c} = \frac{V_{Rk,c}}{\gamma_{M,c}} \quad \text{EN 1992-4, Tabulka 7.2}$$

$$V_{Rk,c} = k_T \cdot \psi_{b,g} \cdot V_{Rk,c}^0 \cdot \frac{A_{c,V}^0}{A_{c,V}^0} \cdot \psi_{s,V} \cdot \psi_{h,V} \cdot \psi_{\alpha,V} \cdot \psi_{ec,V} \cdot \psi_{re,V} \quad \text{EN 1992-4, Eq. (7.40)}$$

$$\psi_{b,g} = \frac{1}{\alpha_{b,g}} = \frac{1}{1 + \frac{C \cdot t_g}{d^3}} \quad \text{Hilti Method for anchor design in grouted stand-off connections, Hilti, 2023}$$

$$V_{Rk,c}^0 = k_g \cdot d_{nom}^\alpha \cdot l_f^\beta \cdot \sqrt{f_{ck}} \cdot c_1^{1,5} \quad \text{EN 1992-4, Eq. (7.41)}$$

$$\alpha = 0,1 \cdot \left(\frac{l_f}{c_1}\right) \quad \text{EN 1992-4, Eq. (7.42)}$$

$$\beta = 0,1 \cdot \left(\frac{d_{nom}}{c_1}\right)^{0,2} \quad \text{EN 1992-4, Eq. (7.43)}$$

$$A_{c,V}^0 = 4,5 \cdot c_1^2 \quad \text{EN 1992-4, Eq. (7.44)}$$

$$\psi_{s,V} = 0,7 + 0,3 \cdot \frac{c_2}{1,5 \cdot c_1} \leq 1,00 \quad \text{EN 1992-4, Eq. (7.45)}$$

$$\psi_{h,V} = \left(\frac{1,5 \cdot c_1}{h}\right)^{0,5} \geq 1,00 \quad \text{EN 1992-4, Eq. (7.46)}$$

$$\psi_{ec,V} = \frac{1}{1 + \left(\frac{2 \cdot e_V}{3 \cdot c_1}\right)} \leq 1,00 \quad \text{EN 1992-4, Eq. (7.47)}$$

$$\psi_{\alpha,V} = \sqrt{\frac{1}{(\cos \alpha_V)^2 + (0,5 \cdot \sin \alpha_V)^2}} \geq 1,00 \quad \text{EN 1992-4, Eq. (7.48)}$$

$l_f$ [mm]	$d_{nom}$ [mm]	$k_g$	$\alpha$	$\beta$	$f_{c,cyl}$ [N/mm <sup>2</sup> ]	
240,0	20,00	2,400	0,209	0,082	25,00	
$\psi_{b,g}$	$C \left[\frac{1}{\text{mm}^4}\right]$	$d$ [mm]	$t_g$ [mm]			
0,917	0,043	20,0	20,0			
$c_1$ [mm]	$A_{c,V}^0$ [mm <sup>2</sup> ]	$A_{c,V}^0$ [mm <sup>2</sup> ]				
55,0	13 612	13 612				
$\psi_{s,V}$	$\psi_{h,V}$	$\alpha_V$ [°]	$\psi_{\alpha,V}$	$e_{c,V}$ [mm]	$\psi_{ec,V}$	$\psi_{re,V}$
1,000	1,000	88,49	1,998	0,0	1,000	1,000
$V_{Rk,c}^0$ [kN]	$k_T$	$\gamma_{M,c}$	$V_{Rd,c}$ [kN]	$V_{Ed}$ [kN]		
14,319	1,0	1,500	17,483	9,503		

**1.5 Kombinace zatížení tah/smyk (EN 1992-4, oddíl 7.2.3)**

Selhání oceli

$\beta_N$	$\beta_V$	$\alpha$	Využití $\beta_{N,V}$ [%]	Stav
0,199	0,162	2,000	7	OK

$$\beta_N^\alpha + \beta_V^\alpha \leq 1,0$$

Porušení betonu

$\beta_N$	$\beta_V$	$\alpha$	Využití $\beta_{N,V}$ [%]	Stav
0,710	0,544	1,500	100	OK

$$\beta_N^\alpha + \beta_V^\alpha \leq 1,0$$

**2 Návrh kotevní desky****2.1 Vstupní data**

Kotevní deska:	Tvar: Obdélníková $l_x \times l_y \times t = 152,0 \text{ mm} \times 160,0 \text{ mm} \times 20,0 \text{ mm}$ Výpočet: Reálné chování - metoda CBFEM Materiál: S 235; $F_y = 235,00 \text{ N/mm}^2$ ; $\epsilon_{lim} = 5,00\%$
Typ a velikost kotvy:	HIT-HY 200-A V3 + HAS-U 5.8 M20, $h_{ef} = 248,0 \text{ mm}$
Tuhost kotvy:	Kotva se modeluje s ohledem na hodnoty tuhosti určené křivkou zobrazující závislost deformace na zatížení ze zkoušek v nezávislé laboratoři. Upozorňujeme, že není možná jednoduchá záměna kotvy, protože tuhost kotvy má zásadní vliv na výsledné rozložení zatížení.
Návrhová metoda:	Návrh podle EN použití komponentní metody konečných prvků
Distanční montáž:	$e_b = 20,0 \text{ mm}$ (Distanční montáž s podlitím); $t = 20,0 \text{ mm}$
Profil:	IPBI 160 / HE 160 A; $(L \times W \times T \times FT) = 152,0 \text{ mm} \times 160,0 \text{ mm} \times 6,0 \text{ mm} \times 9,0 \text{ mm}$ Materiál: S 235; $F_y = 235,00 \text{ N/mm}^2$ ; $\epsilon_{lim} = 5,00\%$ Excentricita x: 0,0 mm Excentricita z: 0,0 mm
Základní Materiál:	Beton bez trhlin; C25/30; $f_{c,cyl} = 25,00 \text{ N/mm}^2$ ; $h = 800,0 \text{ mm}$ ; $E = 31\,000,00 \text{ N/mm}^2$ ; $G = 12\,916,67 \text{ N/mm}^2$ ; $\nu = 0,20$
Svary (profil ke kotevní desce):	Typ redistribuce: Plastický Materiál: S 235
Rozměr sítě:	Počet prvků na okraji: 8 Min. rozměr prvku: 10,0 mm Max. rozměr prvku: 50,0 mm

**2.2 Shrnutí**

1	Popis	Profil		Patní deska		Svary [%]	
		$\sigma_{Ed}$ [N/mm <sup>2</sup> ]	$\epsilon_{Pl}$ [%]	$\sigma_{Ed}$ [N/mm <sup>2</sup> ]	$\epsilon_{Pl}$ [%]	Typ otvoru [%]	
	Kombinace 1	70,46	0,00	68,30	0,00	4	19

**2.3 Klasifikace kotevní desky**

Následující výsledky jsou uvažované pro rozhodující kombinace zatížení: Kombinace 1

Tahové síly v kotvách	Ekvivalent tuhé kotevní desky (FEM)	Pružná kotevní deska (FEM)
Kotva 1	16,166 kN	16,287 kN
Kotva 2	16,164 kN	16,286 kN

**2.4.1 Ekvivalentní napětí a plastické přetvoření**

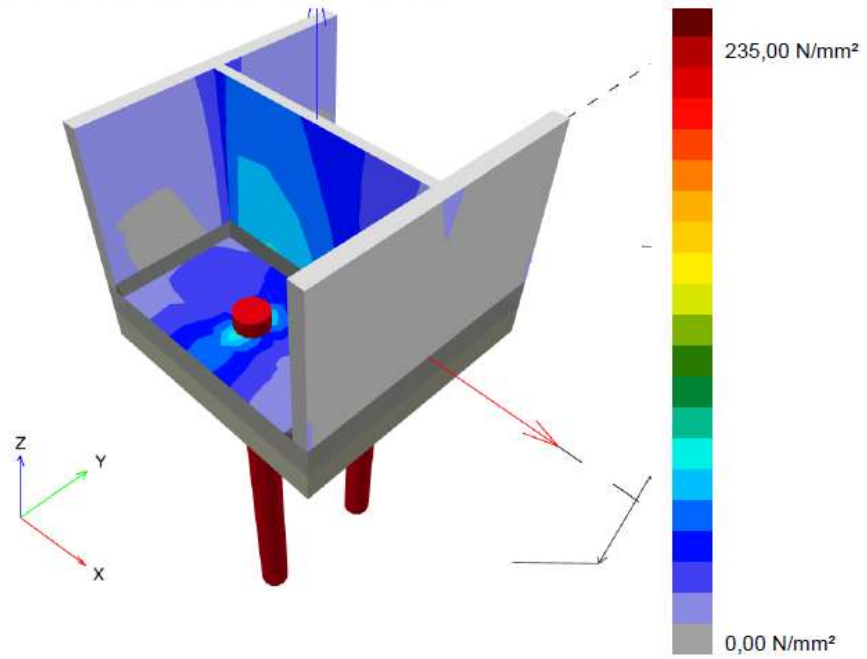
Limitní kritéria stavu dle EN1993-1-5 příloha C.8, (1) 2.

Výsledky

Část	Kombinace zatížení	Materiál	$\sigma_{Ed}$ [N/mm <sup>2</sup> ]	$\epsilon_{Pl}$ [%]	$f_y$ [N/mm <sup>2</sup> ]	$\gamma_{M0}$	$f_y/\gamma_{M0}$ [N/mm <sup>2</sup> ]	$\epsilon_{lim}$ [%]	Status
Deska	Kombinace 1	S 235	68,30	0,00	235,00	1,00	235,00	5,00	OK
Profil	Kombinace 1	S 235	28,13	0,00	235,00	1,00	235,00	5,00	OK
Profil	Kombinace 1	S 235	45,95	0,00	235,00	1,00	235,00	5,00	OK
Profil	Kombinace 1	S 235	70,46	0,00	235,00	1,00	235,00	5,00	OK

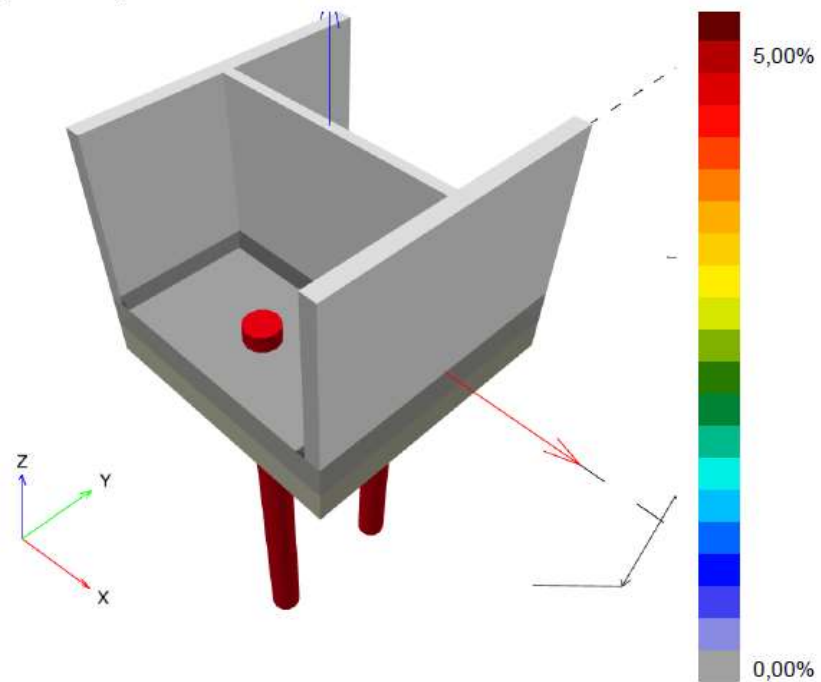
#### 2.4.1.1 Odpovídající napětí

Následující výsledky jsou uvažované pro rozhodující kombinace zatížení: 1 - Kombinace 1



#### 2.4.1.2 Plastické přetvoření

Následující výsledky jsou uvažované pro rozhodující kombinace zatížení: 1 - Kombinace 1



### 2.4.2 Typ otvoru

Rozhodující kombinace zatížení: 1 - Kombinace 1

Odolnost otvoru v desce, EN1993-1 - 8 část 3.6.1:

#### Rovnice

$$F_{b,Rd} = \frac{k_1 a_b f_u d t}{\gamma_{M2}}$$

$$\text{Využití} = \frac{V_{Ed}}{F_{b,Rd}}$$

#### Proměnné

	$k_1$	$a_b$	$f_u$ [N/mm <sup>2</sup> ]	$d$ [mm]	$t$ [mm]	$\gamma_{M2}$
Kotva 1	2,50	1,00	360,00	20,0	20,0	1,25
Kotva 2	2,50	1,00	360,00	20,0	20,0	1,25

#### Výsledky

	$V_{Ed}$ [kN]	$F_{b,Rd}$ [kN]	Využití [%]	Status
Kotva 1	9,501	288,000	4	OK
Kotva 2	9,501	288,000	4	OK

### 2.5 Svary

Profily se modelují bez zohlednění poloměru rohu. Speciální pravidla pro svařování (např. pro profily tvarované za studena ...) nejsou softwarem zohledněny.

#### 2.5.1 Kotevní deska k profilu

Rozhodující kombinace zatížení: 1 - Kombinace 1

Návrh svaru, EN1993-1-8 část 4.5.3.2

Minimální tloušťka svaru stojiny ( $a_{min}$ ): 4,0 mm

Minimální tloušťka svaru příruby ( $a_{min}$ ): 4,0 mm

#### Rovnice

$$\sigma_{w,Ed} = (\sigma_{\perp}^2 + 3(\tau_{\perp}^2 + \tau_{\parallel}^2))^{0.5}$$

$$\sigma_{w,Rd} = \frac{f_u}{\beta_w \gamma_{M2}}$$

$$\sigma_{\perp,Rd} = 0.9 \frac{f_u}{\gamma_{M2}}$$

$$\text{Využití} = \max \left( \frac{\sigma_{w,Ed}}{\sigma_{w,Rd}} ; \frac{|\sigma_{\perp}|}{\sigma_{\perp,Rd}} \right)$$

#### Proměnné

Svar	$\beta_w$	$f_u$ [N/mm <sup>2</sup> ]	$\gamma_{M2}$
Stojina	0,80	360,00	1,25
Příruba	0,80	360,00	1,25

Okraj	$a$ [mm]	$L$ [mm]	$\epsilon_{Pl}$ [%]	$\sigma_{\perp}$ [N/mm <sup>2</sup> ]	$\tau_{\parallel}$ [N/mm <sup>2</sup> ]	$\tau_{\perp}$ [N/mm <sup>2</sup> ]
Member 1-bfl 1	▲4,0	160,0	0,00	19,28	9,83	18,36
Member 1-tfl 1	4,0▲	160,0	0,00	21,52	-10,34	-20,18
Member 1-w 1	▲4,0▲	143,0	0,00	27,98	20,64	27,95
Member 1-w	▲4,0▲	143,0	0,00	27,93	-20,66	-27,96

#### Výsledky

Okraj	$\sigma_{w,Ed}$ [N/mm <sup>2</sup> ]	$\sigma_{w,Rd}$ [N/mm <sup>2</sup> ]	$\sigma_{\perp,Rd}$ [N/mm <sup>2</sup> ]	Využití [%]	Využití <sub>c</sub> [%]	Status
Member 1-bfl 1	40,89	360,00	259,20	12	5	OK
Member 1-tfl 1	44,78	360,00	259,20	13	6	OK
Member 1-w 1	66,37	360,00	259,20	19	12	OK
Member 1-w	66,38	360,00	259,20	19	12	OK

### 3 Souhrn výsledků



Návrh kotevní desky, kotev, svarů a dalších prvků je založen na CBFEM (metoda konečných prvků) a pravidel Eurokódu.

	Kombinace zatížení	Max. využití	Status
Kotvy	Kombinace 1	100%	OK
Patní deska	Kombinace 1	30%	OK
Svary	Kombinace 1	19%	OK
Profil	Kombinace 1	30%	OK

## Upevnění je bezpečné!

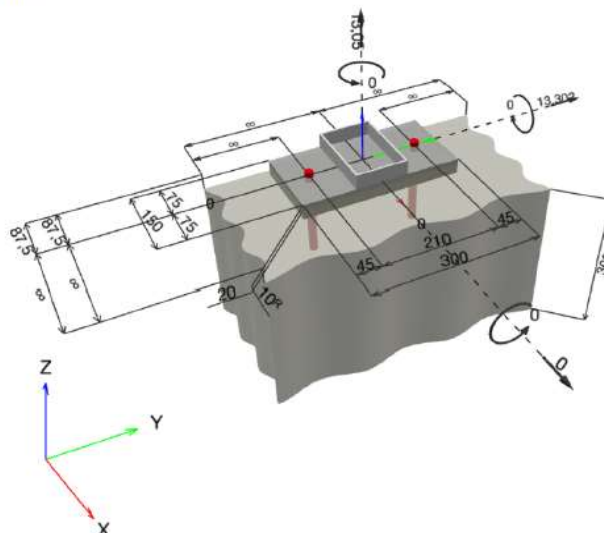
### Kotvení sloupu JKL 150x100-4,0

#### 1 Vstupní data

<b>Typ a velikost kotvy:</b>	<b>HIT-HY 200-A V3 + HIT-Z 100 Years M16</b>	
Předpokládaná životnost (životnost v letech):	100	
Číslo artiklu:	2018418 HIT-Z M16x205 (vložit) / 2378171 HIT-HY 200-A V3 (chemická hmota)	
Efektivní kotvení hloubka:	$h_{ef,opti} = 140,0$ mm ( $h_{ef,limit} = 192,0$ mm)	
Materiál:	DIN EN ISO 4042	
Certifikát č.:	ETA 19/0632	
Vydaný / Platný:	08.06.2023   -	
Posouzení:	SOFA na základě EN 1992-4, mech. kotvy	
Distanční montáž:	bez upnutí (kotva); stupeň zadržení (kotevní deska): 2,00; $e_b = 20,0$ mm; $t = 10,0$ mm Hilti podlití: CB-G EG, epoxidová, $f_{c,GROUT} = 120,00$ N/mm <sup>2</sup>	
Kotevní deska <sup>R</sup> :	$l_x \times l_y \times t = 150,0$ mm x 300,0 mm x 10,0 mm; (Doporučená tloušťka kotevní desky: nepočítána)	
Profil:	Obdélníkový dutý profil, 150 x 100 x 4,0; ( $V \times \check{S} \times T$ ) = 150,0 mm x 100,0 mm x 4,0 mm	
Základní materiál:	bez trhlin beton, C25/30, $f_{c,oyl} = 25,00$ N/mm <sup>2</sup> ; $h = 300,0$ mm, teplota krátkodobá/dlouhodobá: 40/24 °C, Uživatelem definovaný parciální bezpečnostní součinitel materiálu $\gamma_c = 1,500$	
<b>Montáž:</b>	<b>kotevní otvor vrtaný příklepem, montážní podmínky: suché</b>	
Výztuž:	Rozteč výztuže < 150 mm (jakýkoliv Ø) nebo < 100 mm ( $\varnothing \leq 10$ mm) s podélnou výztuží okraje $d \geq 12,0$ [mm] + uzavřená síť (třminky, háky) $s \leq 100,0$ [mm] Je přítomna výztuž bránící rozštěpení betonu podle EN 1992-4, 7.2.1.7 (2) b) 2)	

<sup>R</sup> - Výpočet kotvy je proveden na základě předpokladu tuhé kotevní desky.

#### Geometrie [mm] & Zatížení [kN, kNm]



## 1.1 Kombinace zatížení

Stav	Popis	Síly [kN] / Momenty [kNm]	Seizmický	Požár	Max. využití kotvy [%]
1	Kombinace 1	N = 13,050; V <sub>x</sub> = 0,000; V <sub>y</sub> = 13,302; M <sub>x</sub> = 0,000; M <sub>y</sub> = 0,000; M <sub>z</sub> = 0,000;	Ne	ne	76

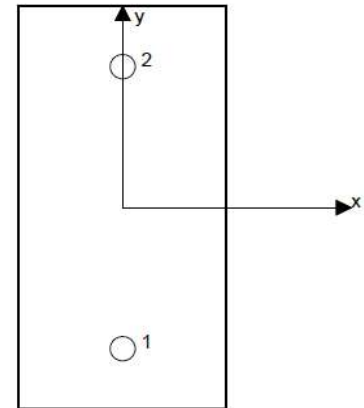
## 2 Zatěžovací stav/Výsledné síly na kotvu

## Reakce kotvy [kN]

Tahová síla: (+ Tah, - Tlak)

Kotva	Tahová síla	Smyková síla	Smyková síla x	Smyková síla y
1	6,525	6,651	0,000	6,651
2	6,525	6,651	0,000	6,651

max. tlakové přetvoření betonu: - [%]  
 max. tlakové napětí v betonu: - [N/mm<sup>2</sup>]  
 výsledná tahová síla v (x/y)=(0,0/0,0): 0,000 [kN]  
 výsledná tlaková síla v (x/y)=(0,0/0,0): 0,000 [kN]



Kotevní síly jsou vypočítány na základě předpokladu tuhě kotevní desky.

## 3 Tahové zatížení (EN 1992-4, kap.7.2.1)

	Zatížení [kN]	Únosnost [kN]	Využití β <sub>N</sub> [%]	Stav
Porušení oceli*	6,525	64,000	11	OK
Porušení vytažením*	6,525	76,667	9	OK
Porušení vytržením betonového kuželu**	13,050	53,241	25	OK
Porušení rozštěpením**	13,050	48,543	27	OK

\* nejnejpříznivější kotva \*\* skupina kotev (kotvy v tahu)

## 3.1 Porušení oceli

$$N_{Ed} \leq N_{Rd,s} = \frac{N_{Rk,s}}{\gamma_{M,s}} \quad \text{EN 1992-4, Tabulka 7.1}$$

N <sub>Rk,s</sub> [kN]	γ <sub>M,s</sub>	N <sub>Rd,s</sub> [kN]	N <sub>Ed</sub> [kN]
96,000	1,500	64,000	6,525

## 3.2 Porušení vytažením

$$N_{Ed} \leq N_{Rd,p} = \frac{\psi_c \cdot N_{Rk,p}}{\gamma_{M,p}} \quad \text{EN 1992-4, Tabulka 7.1}$$

N <sub>Rk,p</sub> [kN]	ψ <sub>c</sub>	γ <sub>M,p</sub>	N <sub>Rd,p</sub> [kN]	N <sub>Ed</sub> [kN]
115,000	1,000	1,500	76,667	6,525

## 3.3 Porušení vytržením betonového kuželu

$$N_{Ed} \leq N_{Rd,c} = \frac{N_{Rk,c}}{\gamma_{M,c}} \quad \text{EN 1992-4, Tabulka 7.1}$$

$$N_{Rk,c} = N_{Rk,c}^0 \cdot \frac{A_{c,N}}{A_{c,N}^0} \cdot \psi_{s,N} \cdot \psi_{re,N} \cdot \psi_{ec1,N} \cdot \psi_{ec2,N} \cdot \psi_{M,N} \quad \text{EN 1992-4, Eq. (7.1)}$$

$$N_{Rk,c}^0 = k_1 \cdot \sqrt{f_{ck}} \cdot h_{ef}^{1,5} \quad \text{EN 1992-4, Eq. (7.2)}$$

$$A_{c,N}^0 = s_{cr,N} \cdot s_{cr,N} \quad \text{EN 1992-4, Eq. (7.3)}$$

$$\psi_{s,N} = 0,7 + 0,3 \cdot \frac{c}{c_{cr,N}} \leq 1,00 \quad \text{EN 1992-4, Eq. (7.4)}$$

$$\psi_{ec1,N} = \frac{1}{1 + \left( \frac{2 \cdot e_{N,1}}{s_{cr,N}} \right)} \leq 1,00 \quad \text{EN 1992-4, Eq. (7.6)}$$

$$\psi_{ec2,N} = \frac{1}{1 + \left( \frac{2 \cdot e_{N,2}}{s_{cr,N}} \right)} \leq 1,00 \quad \text{EN 1992-4, Eq. (7.6)}$$

$$\psi_{M,N} = 1 \quad \text{EN 1992-4, Eq. (7.7)}$$

$A_{c,N}$ [mm <sup>2</sup> ]	$A_{c,N}^0$ [mm <sup>2</sup> ]	$c_{cr,N}$ [mm]	$s_{cr,N}$ [mm]	$f_{c,cyl}$ [N/mm <sup>2</sup> ]		
187 425	176 400	210,0	420,0	25,00		
$e_{c1,N}$ [mm]	$\psi_{ec1,N}$	$e_{c2,N}$ [mm]	$\psi_{ec2,N}$	$\psi_{s,N}$	$\psi_{re,N}$	
0,0	1,000	0,0	1,000	0,825	1,000	
$z$ [mm]	$\psi_{M,N}$	$k_1$	$N_{Rk,c}^0$ [kN]	$\gamma_{M,c}$	$N_{Rd,c}$ [kN]	$N_{Ed}$ [kN]
0,0	1,000	11,000	91,108	1,500	53,241	13,050

ID skupiny kotev

1, 2

## 3.4 Porušení rozštěpením

$$N_{Ed} \leq N_{Rd,sp} = \frac{N_{Rk,sp}}{\gamma_{M,sp}} \quad \text{EN 1992-4, Tabulka 7.1}$$

$$N_{Rk,sp} = N_{Rk,sp}^0 \cdot \frac{A_{c,N}}{A_{c,N}^0} \cdot \psi_{s,N} \cdot \psi_{re,N} \cdot \psi_{ec1,N} \cdot \psi_{ec2,N} \cdot \psi_{h,sp} \quad \text{EN 1992-4, Eq. (7.23)}$$

$$N_{Rk,sp}^0 = \min(N_{Rk,sp}, N_{Rk,c}^0) \quad \text{EN 1992-4, Eq. (7.3)}$$

$$A_{c,N}^0 = s_{cr,sp} \cdot s_{cr,sp} \quad \text{EN 1992-4, Eq. (7.3)}$$

$$\psi_{s,N} = 0,7 + 0,3 \cdot \frac{c}{c_{cr,sp}} \leq 1,00 \quad \text{EN 1992-4, Eq. (7.4)}$$

$$\psi_{ec1,N} = \frac{1}{1 + \left( \frac{2 \cdot e_{N,1}}{s_{cr,sp}} \right)} \leq 1,00 \quad \text{EN 1992-4, Eq. (7.6)}$$

$$\psi_{ec2,N} = \frac{1}{1 + \left( \frac{2 \cdot e_{N,2}}{s_{cr,sp}} \right)} \leq 1,00 \quad \text{EN 1992-4, Eq. (7.6)}$$

$$\psi_{h,sp} = \left( \frac{h}{h_{min}} \right)^{2/3} \leq \max \left\{ 1; \left( \frac{h_{ef} + 1,5 \cdot c_1}{h_{min}} \right)^{2/3} \right\} \leq 2,00 \quad \text{EN 1992-4, Eq. (7.24)}$$

$A_{c,N}$ [mm <sup>2</sup> ]	$A_{c,N}^0$ [mm <sup>2</sup> ]	$c_{cr,sp}$ [mm]	$s_{cr,sp}$ [mm]	$\psi_{h,sp}$	$f_{c,cyl}$ [N/mm <sup>2</sup> ]		
265 203	287 296	268,0	536,0	1,085	25,00		
$e_{c1,N}$ [mm]	$\psi_{ec1,N}$	$e_{c2,N}$ [mm]	$\psi_{ec2,N}$	$\psi_{s,N}$	$\psi_{re,N}$	$k_1$	
0,0	1,000	0,0	1,000	0,798	1,000	11,000	
$N_{Rk,sp}^0$ [kN]	$\gamma_{M,sp}$	$N_{Rd,sp}$ [kN]	$N_{Ed}$ [kN]				
91,108	1,500	48,543	13,050				

ID skupiny kotev

1, 2



#### 4 Smykové zatížení (EN 1992-4, kap. 7.2.2)

	Zatížení [kN]	Únosnost [kN]	Využití $\beta_v$ [%]	Stav
Porušení oceli (bez distanční montáže)*	6,651	38,400	18	OK
Porušení oceli (s distanční montáží)*	6,651	8,839	76	OK
Porušení vylomením betonu**	13,302	136,297	10	OK
Porušení okraje betonu ve směru x-**	13,302	42,969	31	OK

\* nejnejpříznivější kotva \*\* skupina kotev (rovnocenné kotvy)

##### 4.1 Porušení oceli (bez distanční montáže)

$$V_{Ed} \leq V_{Rd,s} = \frac{V_{Rk,s}}{\gamma_{M,s}} \quad \text{EN 1992-4, Tabulka 7.2}$$

$$V_{Rk,s} = k_7 \cdot V_{Rk,s}^0 \quad \text{EN 1992-4, Eq. (7.35)}$$

$V_{Rk,s}^0$ [kN]	$k_7$	$V_{Rk,s}$ [kN]	$\gamma_{M,s}$	$V_{Rd,s}$ [kN]	$V_{Ed}$ [kN]
48,000	1,000	48,000	1,250	38,400	6,651

##### 4.2 Porušení oceli (s distanční montáží)

$$V_{Ed} \leq V_{Rd,s,M} = \frac{V_{Rk,s,M}}{\gamma_{M,s}} \quad \text{EN 1992-4, Tabulka 7.2}$$

$$V_{Rk,s,M} = \frac{\alpha_M \cdot M_{Rk,s}}{I_a} \quad \text{EN 1992-4, Eq. 7.37}$$

$$M_{Rk,s} = M_{Rk,s}^0 \cdot \left(1 - \frac{N_{Ed}}{N_{Rd,s}}\right) \quad \text{EN 1992-4, Eq. 7.38}$$

$$I_a = e_c + \frac{t}{2} + a_3 \quad \text{EN 1992-4, Eq. 6.2}$$

$I$ [mm]	$\alpha_M$	$N_{Ed} / N_{Rd,s}$	$1 - N_{Ed} / N_{Rd,s}$	$M_{Rk,s}^0$ [kNm]	$M_{Rk,s} = M_{Rk,s}^0 (1 - N_{Ed} / N_{Rd,s})$ [kNm]	
33,0	2,00	0,102	0,898	0,203	0,182	
$V_{Rk,s}^M = \alpha_M \cdot M_{Rk,s} / I$ [kN]				$\gamma_{M,s}$	$V_{Rd,s}^M$ [kN]	$V_{Ed}$ [kN]
11,049				1,250	8,839	6,651

##### 4.3 Porušení vylomením betonu

$$V_{Ed} \leq V_{Rd,op} = \frac{V_{Rk,op}}{\gamma_{M,c,p}} \quad \text{EN 1992-4, Tabulka 7.2}$$

$$V_{Rk,op} = k_9 \cdot N_{Rk,c} \quad \text{EN 1992-4, Eq. (7.39a)}$$

$$N_{Rk,c} = N_{Rk,c}^0 \cdot \frac{A_{c,N}}{A_{c,N}^0} \cdot \psi_{s,N} \cdot \psi_{re,N} \cdot \psi_{ec1,N} \cdot \psi_{ec2,N} \cdot \psi_{M,N} \quad \text{EN 1992-4, Eq. (7.1)}$$

$$N_{Rk,c}^0 = k_1 \cdot \sqrt{f_{ck}} \cdot h_{ef}^{1,5} \quad \text{EN 1992-4, Eq. (7.2)}$$

$$A_{c,N}^0 = s_{cr,N} \cdot s_{cr,N} \quad \text{EN 1992-4, Eq. (7.3)}$$

$$\psi_{s,N} = 0,7 + 0,3 \cdot \frac{c}{c_{cr,N}} \leq 1,00 \quad \text{EN 1992-4, Eq. (7.4)}$$

$$\psi_{ec1,N} = \frac{1}{1 + \left(\frac{2 \cdot e_{v,1}}{s_{cr,N}}\right)} \leq 1,00 \quad \text{EN 1992-4, Eq. (7.6)}$$

$$\psi_{ec2,N} = \frac{1}{1 + \left(\frac{2 \cdot e_{v,2}}{s_{cr,N}}\right)} \leq 1,00 \quad \text{EN 1992-4, Eq. (7.6)}$$

$$\psi_{M,N} = 1 \quad \text{EN 1992-4, Eq. (7.7)}$$

$A_{c,N}$ [mm <sup>2</sup> ]	$A_{c,N}^0$ [mm <sup>2</sup> ]	$c_{cr,N}$ [mm]	$s_{cr,N}$ [mm]	$k_9$	$f_{c,cyl}$ [N/mm <sup>2</sup> ]	
187 425	176 400	210,0	420,0	2,560	25,00	
$e_{c1,v}$ [mm]	$\psi_{ec1,N}$	$e_{c2,v}$ [mm]	$\psi_{ec2,N}$	$\psi_{s,N}$	$\psi_{re,N}$	$\psi_{M,N}$
0,0	1,000	0,0	1,000	0,825	1,000	1,000
$k_1$	$N_{Rk,c}^0$ [kN]	$\gamma_{M,c,p}$	$V_{Rd,op}$ [kN]	$V_{Ed}$ [kN]		
11,000	91,108	1,500	136,297	13,302		

ID skupiny kotev

1, 2

## 4.4 Porušení okraje betonu ve směru x-

$$V_{Ed} \leq V_{Rd,c} = \frac{V_{Rk,c}}{\gamma_{M,c}} \quad \text{EN 1992-4, Tabulka 7.2}$$

$$V_{Rk,c} = k_T \cdot \psi_{b,g} \cdot V_{Rk,c}^0 \cdot \frac{A_{c,V}^0}{A_{c,V}^0} \cdot \psi_{s,V} \cdot \psi_{h,V} \cdot \psi_{\alpha,V} \cdot \psi_{ec,V} \cdot \psi_{re,V} \quad \text{EN 1992-4, Eq. (7.40)}$$

$$\psi_{b,g} = \frac{1}{\alpha_{b,g}} = \frac{1}{1 + \frac{C \cdot t_g}{d^2}} \quad \text{Hilti Method for anchor design in grouted stand-off connections, Hilti, 2023}$$

$$V_{Rk,c}^0 = k_g \cdot d_{nom}^\alpha \cdot l_f^\beta \cdot \sqrt{f_{ck}} \cdot c_1^{1,5} \quad \text{EN 1992-4, Eq. (7.41)}$$

$$\alpha = 0,1 \cdot \left(\frac{l_f}{c_1}\right)^{0,5} \quad \text{EN 1992-4, Eq. (7.42)}$$

$$\beta = 0,1 \cdot \left(\frac{d_{nom}}{c_1}\right)^{0,2} \quad \text{EN 1992-4, Eq. (7.43)}$$

$$A_{c,V}^0 = 4,5 \cdot c_1^2 \quad \text{EN 1992-4, Eq. (7.44)}$$

$$\psi_{s,V} = 0,7 + 0,3 \cdot \frac{c_2}{1,5 \cdot c_1} \leq 1,00 \quad \text{EN 1992-4, Eq. (7.45)}$$

$$\psi_{h,V} = \left(\frac{1,5 \cdot c_1}{h}\right)^{0,5} \geq 1,00 \quad \text{EN 1992-4, Eq. (7.46)}$$

$$\psi_{ec,V} = \frac{1}{1 + \left(\frac{2 \cdot e_V}{3 \cdot c_1}\right)} \leq 1,00 \quad \text{EN 1992-4, Eq. (7.47)}$$

$$\psi_{\alpha,V} = \sqrt{\frac{1}{(\cos \alpha_V)^2 + (0,5 \cdot \sin \alpha_V)^2}} \geq 1,00 \quad \text{EN 1992-4, Eq. (7.48)}$$

$l_f$ [mm]	$d_{nom}$ [mm]	$k_g$	$\alpha$	$\beta$	$f_{c,oyl}$ [N/mm <sup>2</sup> ]	
140,0	16,00	2,400	0,126	0,071	25,00	
$\psi_{b,g}$	$C \left[\frac{1}{\text{mm}^2}\right]$	$d$ [mm]	$t_g$ [mm]			
0,903	0,043	16,0	20,0			
$c_1$ [mm]	$A_{c,V}$ [mm <sup>2</sup> ]	$A_{c,V}^0$ [mm <sup>2</sup> ]				
87,5	62 016	34 453				
$\psi_{s,V}$	$\psi_{h,V}$	$\alpha_V$ [°]	$\psi_{\alpha,V}$	$e_{c,V}$ [mm]	$\psi_{ec,V}$	$\psi_{re,V}$
1,000	1,000	90,00	2,000	0,0	1,000	1,000
$V_{Rk,c}^0$ [kN]	$k_T$	$\gamma_{M,c}$	$V_{Rd,c}$ [kN]	$V_{Ed}$ [kN]		
19,828	1,0	1,500	42,969	13,302		

## 5 Kombinace zatížení tah/smyk (EN 1992-4, oddíl 7.2.3)

Selhání oceli

$\beta_N$	$\beta_V$	$\alpha$	Využití $\beta_{N,V}$ [%]	Stav
0,102	0,173	2,000	5	OK

$$\beta_N^\alpha + \beta_V^\alpha \leq 1,0$$

Porušení betonu

$\beta_N$	$\beta_V$	$\alpha$	Využití $\beta_{N,V}$ [%]	Stav
0,269	0,310	1,500	32	OK

$$\beta_N^\alpha + \beta_V^\alpha \leq 1,0$$

**Upevnění je bezpečné!**